

การออกแบบและวิเคราะห์วงจรเรียงกระแสไฟฟ้าแบบหกพัลส์แบบปรับปรุง  
โดยใช้หม้อแปลงอินเตอร์เฟส

DESIGN AND ANALYSIS OF A MODIFIED SIX-PULSE CONVERTER  
USING AN INTERPHASE TRANSFORMER

สกล กลิ่นทรน  
SAKOL KLINRUN

วิทยานิพนธ์นี้เป็นส่วนหนึ่งของการศึกษาตามหลักสูตรปริญญาวิศวกรรมศาสตรมหาบัณฑิต  
สาขาวิชาวิศวกรรมไฟฟ้า  
บัณฑิตวิทยาลัย  
สถาบันเทคโนโลยีพระจอมเกล้าเจ้าคุณทหารลาดกระบัง

พ.ศ. 2549

ISBN 974-15-2440-3

สำนักหอสมุดกลาง พระจอมเกล้าลาดกระบัง

การออกแบบและวิเคราะห์วงจรเรียงกระแสไฟฟ้าแบบหกพัลส์แบบปรับปรุง  
โดยใช้หม้อแปลงอินเตอร์เฟส

DESIGN AND ANALYSIS OF A MODIFIED SIX-PULSE CONVERTER  
USING AN INTERPHASE TRANSFORMER

สกล กลิ่นหรั่ง

SAKOL KLINRUN

เลขหมู่.....  
เลขทะเบียน.....61651  
วัน,เดือน,ปี..... 19 ก.ค. 2549

วิทยานิพนธ์นี้เป็นส่วนหนึ่งของการศึกษาตามหลักสูตรปริญญาวิศวกรรมศาสตรมหาบัณฑิต  
สาขาวิชาวิศวกรรมไฟฟ้า  
บัณฑิตวิทยาลัย

สถาบันเทคโนโลยีพระจอมเกล้าเจ้าคุณทหารลาดกระบัง

พ.ศ.2549

ISBN 974-15-2446-3

**DESIGN AND ANALYSIS OF A MODIFIED SIX-PULSE CONVERTER  
USING AN INTERPHASE TRANSFORMER**

**SAKOL KLINRUN**

**A THESIS SUBMITTED IN PARTIAL FULFILLMENT  
OF THE REQUIREMENT FOR THE DEGREE OF  
MASTER OF ENGINEERING IN ELECTRICAL ENGINEERING  
SCHOOL OF GRADUATE STUDIES  
KING MONGKUT'S INSTITUTE OF TECHNOLOGY LADKRABANG**

**2006**

**ISBN 974-15-2446-3**

**COPYRIGHT 2006**

**SCHOOL OF GRADUATE STUDIES**

**KING MONGKUT'S INSTITUTE OF TECHNOLOGY LADKRABANG**

หัวข้อวิทยานิพนธ์	การออกแบบและวิเคราะห์วงจรเรียงกระแสไฟฟ้าแบบหกพัลส์ แบบปรับปรุงโดยใช้หม้อแปลงอินเตอร์เฟส
นักศึกษา	นายสกล กลิ่นหรั่ง
รหัสนักศึกษา	44611022
ปริญญา	วิศวกรรมศาสตรมหาบัณฑิต
สาขาวิชา	วิศวกรรมไฟฟ้า
พ.ศ.	2549
อาจารย์ผู้ควบคุมวิทยานิพนธ์	รศ.ดร.วิจิตร กิณเรศ

#### บทคัดย่อ

วิทยานิพนธ์ฉบับนี้เป็นการนำเสนอการออกแบบและวิเคราะห์วงจรเรียงกระแสเอช/ดีซี 6 พัลส์ คอนเวอร์เตอร์ที่มีการปรับปรุงรูปคลื่นแรงดันเอาต์พุตและกระแสอินพุต โดยใช้วงจรเรียงกระแส 3 เฟส ที่มีวงจรไทรสเตอร์ช่วย ต่อเข้ากับแทปหม้อแปลงอินเตอร์เฟส โดยมีวัตถุประสงค์เพื่อช่วยในการกำจัด ฮาร์โมนิก ของกระแสทางด้านอินพุต การเพิ่มจำนวนพัลส์แรงดันทางด้านเอาต์พุตและได้มีการออกแบบ การทำงานโดยใช้โปรแกรม MATLAB/SIMULINK เพื่อยืนยันความถูกต้องการทำงานของวงจรพร้อม ด้วยผลการทดลอง มีการออกแบบชุดหม้อแปลงอินเตอร์เฟส และชุดหม้อแปลงวงจรช่วยไทรสเตอร์เพื่อ หาขนาดของหม้อแปลงให้มีสถานะที่เหมาะสมกับการทำงาน และพิจารณาถึงการปรับเปลี่ยนมุมนำ กระแสต่างๆ ให้กับชุดคอนเวอร์เตอร์ทั้ง 2 ส่วนได้มีการทดสอบกับโหลด และสถานะการทำงานต่างๆ ซึ่งผลจากการทดสอบและการจำลองได้แสดงให้เห็นถึงระบบที่นำเสนอได้สมรรถนะเป็นที่น่าพอใจ

<b>Thesis Title</b>	DESIGN AND ANALYSIS OF A MODIFIED SIX-PULSE CONVERTER USING AN INTERPHASE TRANSFORMER
<b>Student ID</b>	Mr. Sakol Klinrun
<b>Degree</b>	Master of Engineering
<b>Programme</b>	Electrical Engineering
<b>Year</b>	2006
<b>Thesis Advisor</b>	Assoc. Prof. Dr.Vijit Kinares

### ABSTRACT

This thesis presents design and analysis of a six-pulse converter with improved output voltage and input current wave-shape using a conventional three-phase full bridge converter having auxiliary thyristors connected to taps on the interphase transformer. The objective of this study is to multiply the pulse number and eliminate the harmonic input current by controlling the firing angle of thyristors. Designed circuit simulation using MATLAB/SIMULINK is also given in order to verify circuit operations together with experimental results. Design of interphase transformer and transformer of auxiliary thyristors unit for suitable operation is given. Also, consideration of firing angle adjustment of thyristors for both parts of the proposed converter is illustrated. Testing under various loads and operating conditions is proposed. Simulation and experiential results show satisfied performance of the proposed system.

## กิตติกรรมประกาศ

ผู้เขียนขอขอบพระคุณ รศ.ดร. วิจิตร กิณเรศ อาจารย์ที่ปรึกษาเป็นอย่างสูงที่ได้ให้คำปรึกษาและแนะนำความรู้ต่างๆ จนวิทยานิพนธ์เล่มนี้สำเร็จลงได้

ขอขอบคุณภาควิศวกรรมไฟฟ้า, ห้องสมุดคณะวิศวกรรมศาสตร์, และเงินทุนสนับสนุนทางสถาบันการศึกษา

ขอกราบขอบพระคุณ บิดา มารดา ผู้มีพระคุณทุกท่านที่คอยให้กำลังใจ และเพื่อนๆ นักศึกษาปริญญาโททุกคนที่ประจำห้องปฏิบัติการ Power Electronics and Machine Control ของภาควิศวกรรมไฟฟ้า ที่มีส่วนช่วยเหลือในการทำวิทยานิพนธ์

สกล กลิ่นหรั่ง

# สารบัญ

	หน้า
บทคัดย่อภาษาไทย.....	I
บทคัดย่อภาษาอังกฤษ.....	II
กิตติกรรมประกาศ.....	III
สารบัญ.....	IV
สารบัญตาราง.....	VIII
สารบัญรูป.....	IX
บทที่ 1 บทนำ.....	1
1.1 ความเป็นมาและความสำคัญของปัญหา.....	1
1.2 ความมุ่งหมายและวัตถุประสงค์.....	1
1.3 ทฤษฎีและแนวคิดที่ใช้ในการวิจัย.....	2
1.4 ขอบเขตการวิจัย.....	2
1.5 ขั้นตอนการศึกษา.....	3
1.6 ประโยชน์ที่ได้จากการวิจัย.....	3
บทที่ 2 พื้นฐานหลักการทำงาน.....	4
2.1 บทนำ.....	4
2.2 หลักการทำงานของวงจรเรียงกระแสไฟฟ้า (AC-DC Converters) แบบควบคุมได้....	4
2.3 วงจรเรียงกระแสแบบ 1 เฟสแบบควบคุมได้.....	4
2.3.1 วงจรเรียงกระแส 1 เฟสแบบครึ่งคลื่นที่ควบคุมได้.....	4
2.3.2 วงจรเรียงกระแส 1 เฟสแบบกึ่งเฟสเดียวที่ควบคุมได้.....	6
2.3.3 วงจรเรียงกระแส 1 เฟสแบบเต็มคลื่นที่ควบคุมได้.....	7
2.3.4 วงจรเรียงกระแส 1 เฟสแบบคู่ที่ควบคุมได้.....	8
2.4 วงจรเรียงกระแสแบบระบบ 3 เฟสแบบควบคุมได้.....	9
2.4.1 วงจรเรียงกระแสครึ่งคลื่น 3 เฟสแบบควบคุมได้.....	9
2.4.2 วงจรเรียงกระแสแบบกึ่ง 3 เฟสแบบควบคุมได้.....	10
2.4.3 วงจรเรียงกระแสแบบเต็มคลื่น 3 เฟสแบบควบคุมได้.....	12
2.4.4 วงจรเรียงกระแสแบบคู่ 3 เฟส.....	13
2.5 การสร้างวงจรเรียงกระแส 3 เฟส 12 พัลส์คอนเวอร์เตอร์.....	14
2.5.1 ระบบแรงดันไฟฟ้ากระแสตรง 12 พัลส์คอนเวอร์เตอร์.....	15

## สารบัญ (ต่อ)

	หน้า
2.5.2 กระแสต้านเอชหรือกระแสไฟสลับทางด้านอินพุท.....	15
2.6 การออกแบบหม้อแปลงหนึ่งเฟสแบบสองขดลวดแยกอิสระ.....	16
2.7 หม้อแปลงไฟฟ้า 1 เฟสแบบออโต.....	17
2.7.1 อัตราส่วนหม้อแปลงไฟฟ้าแบบออโต.....	18
2.7.2 อัตราส่วนของขดลวด.....	19
2.8 หม้อแปลงไฟฟ้าสามเฟสแบบออโต.....	19
2.9 หม้อแปลงไฟฟ้าสามเฟส.....	20
2.9.1 หม้อแปลงหนึ่งเฟสสามตัวต่อร่วมกัน.....	20
2.9.2 หม้อแปลงไฟฟ้าสามเฟสแกนร่วม.....	21
2.10 สรุป.....	21
<b>บทที่ 3 6 พัลส์คอนเวอร์เตอร์แบบปรับปรุง</b>	<b>22</b>
3.1 บทนำ.....	22
3.2 วงจรเรียงกระแส 3 เฟส 6 พัลส์คอนเวอร์เตอร์.....	22
3.3 ตัวประกอบกำลัง.....	23
3.4 ผลกระทบอินดักแตนซ์ด้านระบบเอช ( $L_s$ ).....	25
3.5 วงจรเรียงกระแสไฟฟ้า 3 เฟส 6 พัลส์คอนเวอร์เตอร์แบบปรับปรุง.....	28
3.5.1 การทำงานของวงจร.....	28
3.5.2 วงจรหม้อแปลงอินเตอร์เฟส.....	30
3.5.3 วงจรช่วยไทรสเตอร์.....	31
3.6 สรุปการทำงานของวงจร.....	36
<b>บทที่ 4 การออกแบบและควบคุมการทำงาน</b>	<b>37</b>
4.1 บทนำ.....	37
4.2 การควบคุมมูนนำกระแส.....	37
4.3 การออกแบบชุดหม้อแปลงอินเตอร์เฟส.....	40
4.3.1 การทดสอบหม้อแปลงอินเตอร์เฟสเมื่อเกิดสภาวะไม่สมดุลที่ $k = 0.5:1$ .....	40
4.3.1 การทดสอบหม้อแปลงอินเตอร์เฟสเมื่อเกิดสภาวะไม่สมดุลที่ $k = 1:0.5$ .....	41

## สารบัญ (ต่อ)

	หน้า
4.4 การออกแบบชุดหม้อแปลงวงจรช่วยไตรสเตอร์.....	42
4.5 สรุป.....	43
<b>บทที่ 5</b> วิธีการทดสอบและผลการทดสอบ.....	44
5.1 บทนำ.....	44
5.2 การทดสอบหม้อแปลงวงจรช่วยไตรสเตอร์โดยการกำหนดค่าพารามิเตอร์.....	45
5.3 การทดสอบที่อัตราส่วนหม้อแปลง $a = 1:0.5:0.5$ , $k = 1:1$ .....	46
5.3.1 กำหนดให้มุมนำกระแส $\alpha = 0^\circ$ , $\beta = 0^\circ$ .....	46
5.3.2 กำหนดให้มุมนำกระแส $\alpha = 0^\circ$ , $\beta = 30^\circ$ .....	48
5.3.3 กำหนดให้มุมนำกระแส $\alpha = 30^\circ$ , $\beta = 0^\circ$ .....	50
5.3.4 กำหนดให้มุมนำกระแส $\alpha = 30^\circ$ , $\beta = 30^\circ$ .....	52
5.4 การทดสอบที่อัตราส่วนหม้อแปลง $a = 1:1:1$ , $k = 1:1$ .....	56
5.4.1 กำหนดให้มุมนำกระแส $\alpha = 0^\circ$ , $\beta = 0^\circ$ .....	56
5.4.2 กำหนดให้มุมนำกระแส $\alpha = 0^\circ$ , $\beta = 30^\circ$ .....	58
5.4.3 กำหนดให้มุมนำกระแส $\alpha = 30^\circ$ , $\beta = 0^\circ$ .....	60
5.4.4 กำหนดให้มุมนำกระแส $\alpha = 30^\circ$ , $\beta = 30^\circ$ .....	62
5.5 การทดสอบที่อัตราส่วนหม้อแปลง $a = 1:1.5:1.5$ , $k = 1:1$ .....	66
5.5.1 กำหนดให้มุมนำกระแส $\alpha = 0^\circ$ , $\beta = 0^\circ$ .....	66
5.5.2 กำหนดให้มุมนำกระแส $\alpha = 0^\circ$ , $\beta = 30^\circ$ .....	68
5.5.3 กำหนดให้มุมนำกระแส $\alpha = 30^\circ$ , $\beta = 0^\circ$ .....	70
5.5.4 กำหนดให้มุมนำกระแส $\alpha = 30^\circ$ , $\beta = 30^\circ$ .....	72
5.6 ทดสอบการทำงาน 12 พัลส์คอนเวอร์เตอร์แบบปรับปรุง.....	76
5.6.1 ทดสอบค่าการปรับมุมนำกระแสไตรสเตอร์ตั้งแต่ $10^\circ$ ถึง $60^\circ$ .....	76
5.6.2 ทดสอบแรงดันเอาต์พุต.....	83
5.6.3 การทดสอบกับมอเตอร์ไฟฟ้ากระแสตรง.....	84
5.7 สรุปผลการทดลอง.....	88
<b>บทที่ 6</b> สรุปและข้อเสนอแนะ.....	90
6.1 สรุปผลการทดลอง.....	90

## สารบัญ (ต่อ)

	หน้า
6.1.1 สรุปผลการทำงานของวงจร.....	90
6.1.2 สรุปการทำงานของหม้อแปลงอินเตอร์เฟสและหม้อแปลงวงจรช่วย ไตรสเตอร์.....	90
6.1.3 สรุปการเปรียบเทียบ 12 พัลส์คอนเวอร์เตอร์แบบคั้งเดิมและแบบปรับปรุง.....	91
6.2 สรุปผลการทำงาน.....	92
6.3 ข้อเสนอแนะ.....	93
เอกสารอ้างอิง.....	94
ภาคผนวก	
ภาคผนวก ก .....	95
ภาคผนวก ข .....	100
ภาคผนวก ค .....	121
ประวัติผู้เขียน .....	129

## สารบัญตาราง

ตารางที่	หน้า
5.1 อัตราส่วนหม้อแปลงไทรสเตอร์ช่วย ( $a$ ).....	45
5.2 ค่ามุนำกระแสของวงจกรเรียงกระแส 6 พัลส์คอนเวอร์เตอร์แบบปรับปรุง.....	45
5.3 แสดงผลการทำงานที่การกำหนดค่า $a = 1:0.5:0.5$ , $k = 1:1$ , $V_{LL} = 155v$ .....	54
5.4 แสดงผลการทำงานที่การกำหนดค่า $a = 1:1:1$ , $k = 1:1$ , $V_{LL} = 155v$ .....	64
5.5 แสดงผลการทำงานที่การกำหนดค่า $a = 1:1.5:1.5$ , $k = 1:1$ , $V_{LL} = 155v$ .....	74
5.6 กำหนดให้มุนำกระแส ( $\alpha = \beta$ ) ปรับมุนำกระแสตั้งแต่ $10^\circ$ ถึง $60^\circ$ .....	79
5.7 $PF$ เมื่อค่ามุนำกระแส ( $\alpha = \beta$ ) ปรับมุนำกระแสตั้งแต่ $10^\circ$ ถึง $60^\circ$ .....	82
5.8 การทดสอบมอเตอร์ไฟฟ้ากระแสตรงในสภาวะไม่มีภาระทางกล.....	86
5.9 ค่า THDi ของมอเตอร์ไฟฟ้ากระแสตรงในสภาวะไม่มีภาระทางกล.....	87
6.1 แสดงการเปรียบเทียบราคา 12 พัลส์แบบดั้งเดิม.....	91
6.2 แสดงการเปรียบเทียบราคา 12 พัลส์แบบปรับปรุง.....	91
6.3 แสดงการเปรียบเทียบราคา 12 พัลส์แบบปรับปรุงที่แรงดัน 2 เท่าทางด้านอินพุท.....	92

# สารบัญรูป

รูปที่	หน้า
2.1 วงจรเรียงกระแส 1 เฟสแบบครึ่งคลื่นที่ควบคุมได้.....	5
2.2 รูปคลื่นสัญญาณวงจรเรียงกระแส 1 เฟสแบบครึ่งคลื่นที่ควบคุมได้.....	5
2.3 วงจรเรียงกระแส 1 เฟสแบบกึ่งเฟสเดียวที่ควบคุมได้.....	6
2.4 รูปคลื่นสัญญาณของวงจรเรียงกระแส 1 เฟสแบบกึ่งเฟสเดียวที่ควบคุมได้.....	6
2.5 วงจรเรียงกระแส 1 เฟสแบบเต็มคลื่นที่ใช้หม้อแปลงแทปกกลาง.....	7
2.6 วงจรเรียงกระแส 1 เฟสแบบเต็มคลื่น.....	8
2.7 รูปคลื่นสัญญาณของวงจรเรียงกระแส 1 เฟสแบบเต็มคลื่น.....	8
2.8 วงจรเรียงกระแส 1 เฟสแบบคู่ที่ควบคุมได้.....	9
2.9 วงจรเรียงกระแสครึ่งคลื่น 3 เฟส.....	9
2.10 วงจรเรียงกระแสแบบกึ่ง 3 เฟส.....	10
2.11 รูปคลื่นสัญญาณวงจรเรียงกระแสแบบกึ่ง 3 เฟส.....	12
2.12 วงจรเรียงกระแสแบบเต็มคลื่น 3 เฟส.....	12
2.13 รูปคลื่นสัญญาณวงจรเรียงกระแสแบบเต็มคลื่น 3 เฟส.....	13
2.14 วงจรเรียงกระแสแบบคู่ 3 เฟส.....	14
2.15 วงจรเรียงกระแส 3 เฟส 12 พัลส์คอนเวอร์เตอร์แบบอนุกรม.....	14
2.16 รูปสัญลักษณ์ของหม้อแปลง.....	16
2.17 รูปสัญลักษณ์ของหม้อแปลงไฟฟ้าแบบออโต.....	17
2.18 รูปสัญลักษณ์หม้อแปลงไฟฟ้า 3 เฟสแบบออโต.....	19
2.19 แสดงโครงสร้างหม้อแปลงหนึ่งเฟสสามตัวต่อร่วมกัน.....	20
2.20 แสดงโครงสร้างหม้อแปลงไฟฟ้า 3 เฟสแกนร่วม.....	21
3.1 วงจรเรียงกระแสแบบเต็มคลื่น 3 เฟสที่ใช้ไทรสเตอร์ (SCR) ในการควบคุม.....	22
3.2 สัญญาณแรงดันและกระแสที่ไม่เป็นสัญญาณไซน์.....	23
3.3 วงจรสมมูลของแหล่งจ่ายที่มี $L_s$ ต่อกับชุดคอนเวอร์เตอร์.....	26
3.4 ช่วงเวลาหยุดนำกระแสที่มีผลมาจาก $L_s$ .....	26
3.5 กระแสทางด้านไฟฟ้ากระแสสลับที่มีผลกระทบจาก $L_s$ .....	27
3.6 วงจรเรียงกระแส 3 เฟส 6 พัลส์คอนเวอร์เตอร์แบบปรับปรุง.....	28
3.7 รูปคลื่นสัญญาณที่ได้จากวงจรตามรูปที่ 3.6 โดยกำหนดมุม $\alpha = 30^\circ$ , $(\beta_p, \beta_q = 30^\circ)$ .....	29
3.8 รูปคลื่นสัญญาณแรงดันที่ $V_{Cp}$ ทำงานในซีกบวก.....	29
3.9 รูปคลื่นสัญญาณแรงดันที่ $V_{Cq}$ ทำงานในซีกลบ.....	30

## สารบัญรูป (ต่อ)

รูปที่	หน้า
3.10 วงจรหม้อแปลงอินเตอร์เฟสเมื่อมีการไหลของกระแส $i_n$ .....	30
3.11 การทำงานของวงจรไทรสเตอร์ช่วยในการเพิ่มจำนวนพัลส์.....	31
3.12 วงจรไทรสเตอร์ช่วยในการเพิ่มจำนวนพัลส์ที่แรงดัน $V_x$ .....	32
3.13 แสดงทิศทางการไหลของกระแส Step 1 ที่ $T_o, T_l$ และ $T_p$ ที่แรงดัน $V_{mn}$ เป็นบวก ( $V_{mn} > 0$ )...	34
3.14 แสดงทิศทางการไหลของกระแส Step 2 ที่ $T_l, T_2$ และ $T_q$ ที่แรงดัน $V_{mn}$ เป็นลบ ( $V_{mn} < 0$ )....	34
3.15 แสดงทิศทางการไหลของกระแส Step 3 ที่ $T_2, T_3$ และ $T_p$ ที่แรงดัน $V_{mn}$ เป็นบวก ( $V_{mn} > 0$ )..	34
3.16 แสดงทิศทางการไหลของกระแส Step 4 ที่ $T_3, T_4$ และ $T_q$ ที่แรงดัน $V_{mn}$ เป็นลบ ( $V_{mn} < 0$ )....	35
3.17 แสดงทิศทางการไหลของกระแส Step 5 ที่ $T_4, T_5$ และ $T_p$ ที่แรงดัน $V_{mn}$ เป็นบวก ( $V_{mn} > 0$ )..	35
3.18 แสดงทิศทางการไหลของกระแส Step 6 ที่ $T_5, T_6$ และ $T_q$ ที่แรงดัน $V_{mn}$ เป็นลบ ( $V_{mn} < 0$ )....	35
4.1 อุปกรณ์ไทรสเตอร์เบอร์ SKKT 27/12E.....	37
4.2 วงจรการทำงานภายในของ IC TAC 785 .....	38
4.3 สัญญาณที่ขาต่างๆ ของ TCA 785 .....	39
4.4 หม้อแปลงกระตุ้นสัญญาณ.....	39
4.5 รูปสัญญาณ $V_{\alpha}, i_o, V_{mn}$ และ $i_n$ เมื่อเกิดเฟสไม่สมดุลที่แรงดัน $V_{Tp}$ มีอัตราส่วนที่น้อยกว่า....	40
4.6 รูปสัญญาณ $V_o, V_d$ และ THDi เมื่อเกิดเฟสไม่สมดุลที่แรงดัน $V_{Tp}$ มีอัตราส่วนที่น้อยกว่า....	41
4.7 รูปสัญญาณ $V_{\alpha}, i_o, V_{mn}$ และ $i_n$ เมื่อเกิดเฟสไม่สมดุลที่แรงดัน $V_{Tq}$ มีอัตราส่วนที่น้อยกว่า....	41
4.8 รูปสัญญาณ $V_o, V_d$ และ THDi เมื่อเกิดเฟสไม่สมดุลที่แรงดัน $V_{Tq}$ มีอัตราส่วนที่น้อยกว่า	42
5.1 การจำลองระบบโดยใช้โปรแกรม MATLAB/SIMULINK.....	44
5.2 เครื่องต้นแบบที่ใช้ในการทดสอบ.....	44
5.3 รูปสัญญาณ $V_o, V_d$ ที่มีการกำหนดมุมนำกระแส $\alpha = 0^\circ, \beta = 0^\circ$ ที่ $a = 1:0.5:0.5$ .....	46
5.4 รูปสัญญาณ $V_{mn}, i_n$ ที่มีการกำหนดมุมนำกระแส $\alpha = 0^\circ, \beta = 0^\circ$ , ที่ $a = 1:0.5:0.5$ .....	46
5.5 รูปสัญญาณ $V_{pn}, i_o$ ที่มีการกำหนดมุมนำกระแส $\alpha = 0^\circ, \beta = 0^\circ$ , ที่ $a = 1:0.5:0.5$ .....	46
5.6 รูปสัญญาณ $V_{an}, i_n$ ที่มีการกำหนดมุมนำกระแส $\alpha = 0^\circ, \beta = 0^\circ$ , ที่ $a = 1:0.5:0.5$ .....	47
5.7 รูปสัญญาณ $V_{\alpha}, i_d$ ที่มีการกำหนดมุมนำกระแส $\alpha = 0^\circ, \beta = 0^\circ$ , ที่ $a = 1:0.5:0.5$ .....	47
5.8 ค่า THDi ของกระแส $i_d$ ที่มีการกำหนดมุมนำกระแส $\alpha = 0^\circ, \beta = 0^\circ$ , ที่ $a = 1:0.5:0.5$ .....	47
5.9 รูปสัญญาณ $V_o, V_d$ ที่มีการกำหนดมุมนำกระแส $\alpha = 0^\circ, \beta = 30^\circ$ ที่ $a = 1:0.5:0.5$ .....	48
5.10 รูปสัญญาณ $V_{mn}, i_n$ ที่มีการกำหนดมุมนำกระแส $\alpha = 0^\circ, \beta = 30^\circ$ , ที่ $a = 1:0.5:0.5$ .....	48
5.11 รูปสัญญาณ $V_{pn}, i_o$ ที่มีการกำหนดมุมนำกระแส $\alpha = 0^\circ, \beta = 30^\circ$ , ที่ $a = 1:0.5:0.5$ .....	48
5.12 รูปสัญญาณ $V_{an}, i_n$ ที่มีการกำหนดมุมนำกระแส $\alpha = 0^\circ, \beta = 30^\circ$ , ที่ $a = 1:0.5:0.5$ .....	49





## สารบัญรูป (ต่อ)

รูปที่	หน้า
5.71 รูปสัญญาณ $V_{pn}, i_o$ ที่มีการกำหนดมุมนำกระแส $\alpha = 30^\circ, \beta = 0^\circ$ , ที่ $a = 1:1.5:1.5$ .....	70
5.72 รูปสัญญาณ $V_{an}, i_u$ ที่มีการกำหนดมุมนำกระแส $\alpha = 30^\circ, \beta = 0^\circ$ , ที่ $a = 1:1.5:1.5$ .....	71
5.73 รูปสัญญาณ $V_{ac}, i_d$ ที่มีการกำหนดมุมนำกระแส $\alpha = 30^\circ, \beta = 0^\circ$ , ที่ $a = 1:1.5:1.5$ .....	71
5.74 ค่า THDi ของกระแส $i_d$ ที่มีการกำหนดมุมนำกระแส $\alpha = 30^\circ, \beta = 0^\circ$ , ที่ $a = 1:1.5:1.5$ ....	71
5.75 รูปสัญญาณ $V_o, V_d$ ที่มีการกำหนดมุมนำกระแส $\alpha = 30^\circ, \beta = 30^\circ$ ที่ $a = 1:1.5:1.5$ .....	72
5.76 รูปสัญญาณ $V_{mn}, i_n$ ที่มีการกำหนดมุมนำกระแส $\alpha = 30^\circ, \beta = 30^\circ$ , ที่ $a = 1:1.5:1.5$ .....	72
5.77 รูปสัญญาณ $V_{pn}, i_o$ ที่มีการกำหนดมุมนำกระแส $\alpha = 30^\circ, \beta = 30^\circ$ , ที่ $a = 1:1.5:1.5$ .....	72
5.78 รูปสัญญาณ $V_{an}, i_u$ ที่มีการกำหนดมุมนำกระแส $\alpha = 30^\circ, \beta = 30^\circ$ , ที่ $a = 1:1.5:1.5$ .....	73
5.79 รูปสัญญาณ $V_{ac}, i_d$ ที่มีการกำหนดมุมนำกระแส $\alpha = 30^\circ, \beta = 30^\circ$ , ที่ $a = 1:1.5:1.5$ .....	73
5.80 ค่า THDi ของกระแส $i_d$ ที่มีการกำหนดมุมนำกระแส $\alpha = 30^\circ, \beta = 30^\circ$ , ที่ $a = 1:1.5:1.5$ ..	73
5.81 แสดงกระแสเอาท์พุท $i_o$ อัตราส่วน $a = 1:1.5:1.5, k = 1:1$ ที่มีการปรับมุมนำกระแส $\alpha, \beta$ ..	74
5.82 แสดงแรงดัน $V_o, V_d$ อัตราส่วน $a = 1:1.5:1.5, k = 1:1$ ที่มีการปรับมุมนำกระแส $\alpha, \beta$ .....	75
5.83 แสดงค่า THDi อัตราส่วน $a = 1:1.5:1.5, k = 1:1$ ที่มีการปรับมุมนำกระแส $\alpha, \beta$ .....	75
5.84 รูปสัญญาณแรงดัน $V_o, V_d$ และกระแส $i_d$ ที่มุมนำกระแส $10^\circ$ ที่ $a = 1:1:1, k = 1:1$ .....	76
5.85 รูปสัญญาณแรงดัน $V_o, V_d$ และกระแส $i_d$ ที่มุมนำกระแส $15^\circ$ ที่ $a = 1:1:1, k = 1:1$ .....	76
5.86 รูปสัญญาณแรงดัน $V_o, V_d$ และกระแส $i_d$ ที่มุมนำกระแส $20^\circ$ ที่ $a = 1:1:1, k = 1:1$ .....	77
5.87 รูปสัญญาณแรงดัน $V_o, V_d$ และกระแส $i_d$ ที่มุมนำกระแส $25^\circ$ ที่ $a = 1:1:1, k = 1:1$ .....	77
5.88 รูปสัญญาณแรงดัน $V_o, V_d$ และกระแส $i_d$ ที่มุมนำกระแส $30^\circ$ ที่ $a = 1:1:1, k = 1:1$ .....	77
5.89 รูปสัญญาณแรงดัน $V_o, V_d$ และกระแส $i_d$ ที่มุมนำกระแส $35^\circ$ ที่ $a = 1:1:1, k = 1:1$ .....	78
5.90 รูปสัญญาณแรงดัน $V_o, V_d$ และกระแส $i_d$ ที่มุมนำกระแส $40^\circ$ ที่ $a = 1:1:1, k = 1:1$ .....	78
5.91 รูปสัญญาณแรงดัน $V_o, V_d$ และกระแส $i_d$ ที่มุมนำกระแส $50^\circ$ ที่ $a = 1:1:1, k = 1:1$ .....	78
5.92 รูปสัญญาณแรงดัน $V_o, V_d$ และกระแส $i_d$ ที่มุมนำกระแส $60^\circ$ ที่ $a = 1:1:1, k = 1:1$ .....	79
5.93 แสดงค่าของแรงดัน $V_o$ และแรงดัน $V_d$ โดยกำหนดให้มุมนำกระแส ( $\alpha = \beta$ ) และปรับมุมนำกระแสตั้งแต่ $10^\circ$ ถึง $60^\circ$ .....	80
5.94 แสดงค่าของกระแส $i_o$ โดยกำหนดให้มุมนำกระแส ( $\alpha = \beta$ ) และปรับมุมนำกระแสตั้งแต่ $10^\circ$ ถึง $60^\circ$ .....	80
5.95 แสดงค่าของกระแส $i_d$ โดยกำหนดให้มุมนำกระแส ( $\alpha = \beta$ ) และปรับมุมนำกระแสตั้งแต่ $10^\circ$ ถึง $60^\circ$ .....	81
5.96 แสดงค่า THDi ที่การปรับมุมนำกระแส ( $\alpha = \beta$ ) ตั้งแต่ $10^\circ$ ถึง $60^\circ$ .....	81

## สารบัญรูป (ต่อ)

รูปที่	หน้า
5.97 แสดงค่า $PF$ ที่การปรับมุมนำกระแส ( $\alpha = \beta$ ) ตั้งแต่ $10^\circ$ ถึง $60^\circ$ .....	82
5.98 รูปสัญญาณแรงดัน $V_{mn}$ , $V_o$ , $V_d$ และกระแส $i_o$ ที่มุมนำกระแส $30^\circ$ .....	83
5.99 รูปสัญญาณกระแสและแรงดัน $V_{ac}$ , $i_d$ และ ค่า THDi ของกระแส $i_d$ .....	83
5.100 รูปสัญญาณแรงดัน $V_o$ , $V_{mn}$ , $V_d$ และกระแส $i_o$ ที่มุมนำกระแส $30^\circ$ .....	84
5.101 รูปสัญญาณกระแสและแรงดัน $V_{ac}$ , $i_d$ และ ค่า THDi ของกระแส $i_d$ .....	84
5.102 รูปสัญญาณแรงดัน $i_o$ , $i_d$ และฮาร์มอนิกของกระแส $i_d$ ที่พิกัด 80%.....	85
5.103 รูปสัญญาณแรงดัน $i_o$ , $i_d$ และฮาร์มอนิกของกระแส $i_d$ ที่พิกัด 70%.....	85
5.104 รูปสัญญาณแรงดัน $i_o$ , $i_d$ และฮาร์มอนิกของกระแส $i_d$ ที่พิกัด 60%.....	86
5.105 รูปสัญญาณแรงดัน $i_o$ , $i_d$ และฮาร์มอนิกของกระแส $i_d$ ที่พิกัด 50%.....	86
5.106 แสดงค่าของแรงดัน $V_o$ และแรงดัน $V_{LL}$ ที่มีการปรับเปลี่ยนพิคคโมเตอร์.....	87
5.107 แสดงค่าของกระแส $i_o$ และกระแส $i_d$ ที่มีการปรับเปลี่ยนพิคคโมเตอร์.....	87
5.108 แสดงค่า THDi ของกระแส $i_d$ ที่มีการปรับเปลี่ยนพิคคโมเตอร์.....	88

# บทที่ 1

## บทนำ

### 1.1 ความเป็นมาและความสำคัญของปัญหา

ในปัจจุบันการใช้ระบบกำลังไฟฟ้ากระแสตรงได้มีการใช้อย่างแพร่หลายเพราะมีค่ากำลังงานที่คงที่ไม่แปรเปลี่ยนไปตามเวลาทำให้มีความสามารถในการส่งผ่านพลังงานไฟฟ้าสูงสุด[1][3] เมื่อเทียบกับระบบกำลังไฟฟ้ากระแสสลับ และสามารถนำไปใช้ระบบการส่งผ่านพลังงาน (HVDC), ในอุปกรณ์ไฟฟ้า, ในโรงงานอุตสาหกรรม เช่นระบบควบคุมมอเตอร์[4], ระบบการควบคุมความร้อน เป็นต้น ซึ่งการแปลงระบบไฟฟ้ากระแสสลับให้เป็นระบบไฟฟ้ากระแสตรงนั้นมีอยู่หลายวิธีด้วยกันเช่น วงจรเรียงกระแส 1 เฟสโดยใช้ไดโอดแบบเต็มคลื่น, วงจรเรียงกระแส 3 เฟสแบบมีการควบคุมเฟส วงจรเรียงกระแสเหล่านี้ก่อให้เกิดฮาร์มอนิกทางด้านกับกระแสอินพุทของวงจร ยกตัวอย่างเช่นวงจรเรียงกระแส 3 เฟส 6 พัลส์คอนเวอร์เตอร์ที่ใช้อุปกรณ์ไทรสเตอร์เรียงกระแส และกระแสไหลผ่านก็คือเมื่อ ขนาดของแรงดันทางด้านอินพุทของวงจรเรียงกระแสมีค่ามากกว่าแรงดันด้านเอาต์พุทส่งผลให้รูปคลื่นของกระแสอินพุทผิดเพี้ยนไปจากรูปคลื่นไซน์ ฮาร์มอนิกที่เกิดขึ้นนี้เองจะเข้าไปสร้างปัญหาโดยการเข้าไปรบกวนการทำงานของอุปกรณ์อื่นๆ ในระบบและได้มีงานวิจัยอยู่หลายหลากวิธีที่ต้องการลดค่าฮาร์มอนิกทางด้านกระแสอินพุท โดยให้รูปคลื่นของกระแสอินพุทใกล้เคียงกับสัญญาณรูปคลื่นไซน์มากที่สุด และลดขนาดคริปเปิ้ลของแรงดันทางด้านเอาต์พุท

ในงานวิจัยนี้ได้เห็นถึงคุณลักษณะของการนำเอาวงจรเรียงกระแสไฟฟ้า 3 เฟส 6 พัลส์คอนเวอร์เตอร์ที่มีการเกิดฮาร์มอนิกสูง มาทำการปรับปรุงใหม่เพื่อให้ได้ผลการทำงานที่ดี

### 1.2 ความมุ่งหมายและวัตถุประสงค์

จุดมุ่งหมายในการทำวิทยานิพนธ์นี้เพื่อจัดสร้างชุดทดสอบ การทำงานของระบบ 3 เฟส 6 พัลส์คอนเวอร์เตอร์ที่มีการปรับปรุงใหม่ ให้เป็น 3 เฟส 12 พัลส์คอนเวอร์เตอร์โดยเปรียบเทียบทางทฤษฎี โดยมีวัตถุประสงค์หลักดังต่อไปนี้

1.2.1 เพื่อศึกษาเทคนิคการทำงานของคอนเวอร์เตอร์แบบปรับปรุงใหม่

1.2.2 เพื่อศึกษาสัญญาณทางด้านกระแสอินพุท และแรงดันเอาต์พุทเมื่อกำหนดให้มีการปรับเปลี่ยนมุมนำกระแสให้กับคอนเวอร์เตอร์

1.2.3 เพื่อศึกษาการทำงานระหว่างวงจรไทรสเตอร์ช่วย และหม้อแปลงอินเตอร์เฟส กับการออกแบบหาค่าอัตราส่วนของหม้อแปลงอินเตอร์เฟสและหม้อแปลงวงจรช่วยไทรสเตอร์

1.2.4 เพื่อศึกษาผลกระทบของฮาร์มอนิกที่เกิดขึ้นกับกระแสอินพุทในระบบไฟฟ้ากำลัง

1.2.5 เพื่อศึกษาความแตกต่างและเปรียบเทียบกับการทำงานที่ 12 พัลส์คอนเวอร์เตอร์แบบปรับปรุง และแบบที่มีอยู่เดิม

1.2.6 เพื่อเป็นพื้นฐานในการวิจัยและพัฒนาเทคนิคการเพิ่มจำนวนพัลส์แบบมีการปรับปรุงที่นำไปใช้กับระบบไฟฟ้ากระแสตรงให้ดียิ่งขึ้น

### 1.3 ทฤษฎีและแนวคิดที่ใช้ในการวิจัย

โดยในวิทยานิพนธ์เป็นการนำเอาชุดจำลอง 6 พัลส์คอนเวอร์เตอร์แบบดั้งเดิมที่ยังไม่ได้มีการปรับปรุงให้มีการปรับปรุงสัญญาณกระแสอินพุทและแรงดันเอาต์พุท โดยใช้ชุดอุปกรณ์ไทรสเตอร์เป็นอุปกรณ์ควบคุมมุมนำกระแส หลักการใหม่ที่จะนำเสนอขึ้นคือเทคนิคการออกแบบการสร้างชุดคอนเวอร์เตอร์ โดยจะแบ่งออกเป็น 2 ส่วนด้วยกันคือ ส่วนที่ 1 วงจรเรียงกระแส 3 เฟสแบบเต็มคลื่น ชนิด 6 พัลส์คอนเวอร์เตอร์ เชื่อมต่อกับส่วนที่ 2 วงจรไทรสเตอร์ช่วย โดยใช้หม้อแปลงอินเตอร์เฟส[2][5] ช่วยในการสวิตซ์ซิ่งเพื่อเพิ่มจำนวนพัลส์ โดยใช้ไทรสเตอร์ (SCR) ทำหน้าที่ควบคุมมุมนำกระแส การออกแบบนั้นไม่ซับซ้อนมากนัก และสามารถที่จะลดฮาร์มอนิกทางด้านกระแสอินพุท[2] และช่วยให้การเกิดรีเปลที่แรงดันเอาต์พุทน้อยลง ในส่วนของหม้อแปลงอินเตอร์เฟสจะเป็นตัวช่วยในการแบ่งแรงดัน และดูดซับแรงดันที่แตกต่างระหว่างคอนเวอร์เตอร์ทั้ง 2 ส่วน ที่เกิดขึ้นอย่างรวดเร็ว

ในการวิจัยนี้ใช้แหล่งจ่ายหม้อแปลงไฟฟ้าเพียง 1 ชุดที่มีการต่อแบบ เดลต้า/สตาร์ แต่จะเพิ่มในส่วนหม้อแปลงอินเตอร์เฟส และหม้อแปลงวงจรช่วยไทรสเตอร์ช่วยในการทำงาน ซึ่งจะใช้อุปกรณ์สวิตซ์ซิ่ง 8 ตัวในขณะที่รูปคลื่นสัญญาณเอาต์พุทจะมีลักษณะเป็น 12 พัลส์คอนเวอร์เตอร์ และช่วยลดฮาร์มอนิก ทางด้านกระแสอินพุทและช่วยเพิ่มพัลส์แรงดันเอาต์พุท และลดรีเปลของแรงดันเอาต์พุทเช่นกัน

### 1.4 ขอบเขตการวิจัย

1.4.1 สร้างเครื่องต้นแบบ 6 พัลส์คอนเวอร์เตอร์แบบปรับปรุงโดยได้มีการออกแบบการทำงานโดยใช้โปรแกรม MATLAB/SIMULINK เพื่อยืนยันการทำงานและความถูกต้องของวงจรพร้อมด้วยผลการทดลอง

1.4.2 ทำการศึกษาการออกแบบหม้อแปลงอินเตอร์เฟส และวิเคราะห์อัตราส่วนของหม้อแปลงอินเตอร์เฟสและเมื่อเกิดสภาวะการเปลี่ยนมุมนำกระแสที่ชุดคอนเวอร์เตอร์

1.4.3 เปรียบเทียบข้อดี ข้อเสียระหว่าง 6 พัลส์คอนเวอร์เตอร์แบบที่มีการปรับปรุงใหม่กับ 12 พัลส์คอนเวอร์เตอร์แบบที่มีอยู่เดิม

1.4.4 ทำการวิเคราะห์กระแสฮาร์มอนิกทางด้านอินพุตที่เกิดขึ้นในระบบเมื่อมีการกำหนดให้ม้วนกระแสที่มีสภาวะแตกต่างกัน

## 1.5 ขั้นตอนการศึกษา

วิทยานิพนธ์นี้เป็นการวิจัยต่อเนื่องจากงานวิจัยที่มีอยู่เดิม ซึ่งได้นำเอาการทำงานของ 6 พัลส์คอนเวอร์เตอร์แบบที่มีอยู่เดิมมาทำการปรับปรุงใหม่ เพื่อให้ลดจำนวนฮาร์มอนิกทางด้านกระแสอินพุตลงได้โดยให้รูปคลื่นสัญญาณของกระแสใกล้เคียงรูปคลื่นสัญญาณไซน์มากที่สุด และเพิ่มจำนวนแรงดันพัลส์เอาต์พุตคอนเวอร์เตอร์ และสามารถลดขนาดแรงดันรีปีลลง โดยที่สามารถจะลดอุปกรณ์การทำงานลง โดยใช้แหล่งจ่ายหม้อแปลง 1 ชุดที่มีการต่อแบบ เดลต้า/สตาร์ แต่จะเพิ่มในส่วนหม้อแปลงอินเตอร์เฟส และวงจรทรินสเตอร์ช่วยในการทำงาน ซึ่งจะใช้อุปกรณ์สวิทซ์ซิ่ง 8 ตัว ในขณะที่รูปคลื่นสัญญาณเอาต์พุตจะมีลักษณะเป็น 12 พัลส์คอนเวอร์เตอร์ โดยรายละเอียดที่จะกล่าวถึงในวิทยานิพนธ์ได้แบ่งออกเป็น 6 บท ดังต่อไปนี้

บทที่ 1 เป็นการกล่าวถึงความเป็นมาและความสำคัญของปัญหา จุดมุ่งหมายวัตถุประสงค์ของการศึกษา ทฤษฎีและแนวคิดที่ใช้ในการวิจัย ขอบเขตการวิจัย เนื้อหาโดยย่อในแต่ละบท ตลอดจนประโยชน์ที่ได้จากการวิจัย

บทที่ 2 เป็นการกล่าวถึงทฤษฎีพื้นฐานการทำงานของคอนเวอร์เตอร์ ชนิดของระบบไฟฟ้ากระแสตรงเปรียบเทียบการทำงานและออกแบบระบบไฟฟ้ากระแสตรง ที่ 6 พัลส์คอนเวอร์เตอร์และชนิดของหม้อแปลง

บทที่ 3 เป็นการกล่าวถึงทฤษฎีเกี่ยวกับ 6 พัลส์คอนเวอร์เตอร์ในระบบไฟฟ้ากระแสตรงแบบปรับปรุงที่มีชุดหม้อแปลงวงจรช่วยทรินสเตอร์ และชุดหม้อแปลงอินเตอร์เฟส

บทที่ 4 เป็นการกล่าวถึงระบบการควบคุมการทำงานการออกแบบหม้อแปลง

บทที่ 5 เป็นการกล่าวถึงวิธีการทดสอบและผลการทดสอบกับเครื่องต้นแบบซึ่งจะทำการเปรียบเทียบระหว่างผลจากการทดสอบและการจำลอง

บทที่ 6 เป็นการสรุปผลการทดสอบและสรุปความแตกต่างที่เกิดขึ้นกับการทำงาน 6 พัลส์คอนเวอร์เตอร์ ที่มีการปรับปรุงกับ 12 พัลส์คอนเวอร์เตอร์ที่มีอยู่เดิม

## 1.6 ประโยชน์ที่ได้รับจากการวิจัย

1.6.1 สามารถที่จะลดฮาร์มอนิกทางด้านกระแสอินพุตและลดการเกิดรีปีลที่แรงดันเอาต์พุต

1.6.2 สามารถเพิ่มจำนวนพัลส์ของแรงดันเอาต์พุตมากขึ้นเป็น 12 พัลส์คอนเวอร์เตอร์

1.6.3 สามารถที่จะลดอุปกรณ์ในการทำงาน

1.6.4 การออกแบบชุดหม้อแปลงวงจรช่วยทรินสเตอร์และหม้อแปลงอินเตอร์เฟส

## บทที่ 2

# พื้นฐานหลักการทำงาน

### 2.1 บทนำ

จากพื้นฐานทางวิศวกรรมไฟฟ้าระบบกำลังไฟฟ้ากระแสตรงนั้น (DC) จะมีค่าสม่ำเสมอคงที่โดยไม่แปรเปลี่ยนไปตามเวลา ทำให้มีความสามารถส่งผ่านพลังงานไฟฟ้าสูงสุดเมื่อเทียบกับระบบไฟฟ้ากระแสสลับ (AC) ซึ่งในบทนี้ได้กล่าวถึงชนิดและรูปแบบต่างๆ ของการแปลงไฟฟ้ากระแสสลับให้เป็นไฟฟ้ากระแสตรงที่เรียกว่าการเรียงกระแส การใช้ไดโอดเป็นอุปกรณ์ในการทำงานค่าแรงดันทางด้านเอาต์พุตของวงจรเรียงกระแสจะมีค่าคงที่ แต่ถ้าต้องการเปลี่ยนแปลงและควบคุมแรงดันไฟฟ้าเอาต์พุตให้มีการเปลี่ยนแปลงอย่างต่อเนื่อง จะต้องใช้วงจรแปลงไฟฟ้ากระแสสลับเป็นไฟฟ้ากระแสตรงจึงต้องใช้อุปกรณ์ไทรสเตอร์ เช่น เอสซีอาร์ (SCR) เป็นสวิทช์อิเล็กทรอนิกส์กำลังในการกำหนดมุมจุดชนวน

### 2.2 หลักการทำงานของวงจรเรียงกระแสไฟฟ้า (AC-DC Converters) แบบควบคุมได้

เพื่อแปลงผันไฟฟ้ากระแสสลับเป็นไฟฟ้ากระแสตรง โดยต้องการให้ได้แรงดันไฟฟ้าทางด้านเอาต์พุตให้มีความเป็นระบบไฟฟ้ากระแสตรงมากที่สุด วงจรเรียงกระแสมีทั้งที่เป็นแบบครึ่งคลื่นและแบบเต็มคลื่น แบบครึ่งคลื่นมักจะใช้เมื่อพิกัดกำลังไฟฟ้าที่โหลดมีค่าต่ำ อย่างไรก็ตามวงจรเรียงกระแสแบบครึ่งคลื่น จะมีกระแสไฟฟ้าเฉลี่ยด้านอินพุตที่มีค่าไม่เป็นศูนย์ทำให้เกิดปัญหาที่หม้อแปลงจะเกิดการอิ่มตัวได้ง่ายกว่าวงจรเรียงกระแสแบบเต็มคลื่นและยังสามารถที่จะนำไปใช้กับระบบไฟฟ้ากำลังที่มีพิกัดกำลังไฟฟ้าสูง

ดังนั้นในบทนี้จะศึกษาวงจรเรียงกระแสที่นำเอาอุปกรณ์ไทรสเตอร์ (SCR) มาทำหน้าที่แปลงผันซึ่งจะสามารถควบคุมแรงดันด้านเอาต์พุตได้ด้วยการควบคุมมุมนำกระแส ( $\alpha$ ) โดยแบ่งออกเป็น 2 ระบบด้วยกันคือ ระบบ 1 เฟส และระบบ 3 เฟส

### 2.3 วงจรเรียงกระแสแบบระบบ 1 เฟสแบบควบคุมได้

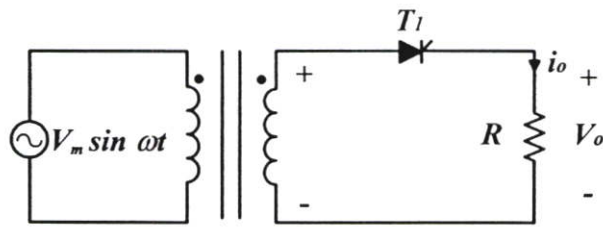
ซึ่งจะแบ่งออกเป็น 4 แบบตามลักษณะของวงจрдังนี้

#### 2.3.1 วงจรเรียงกระแส 1 เฟสแบบครึ่งคลื่นที่ควบคุมได้

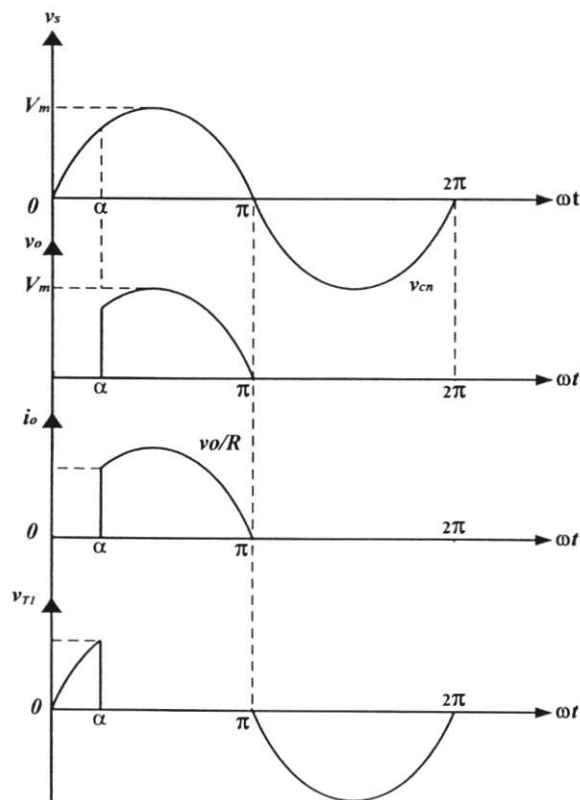
อุปกรณ์อิเล็กทรอนิกส์กำลังที่ใช้ในการควบคุมการแปลงผันกำลังไฟฟ้ากระแสสลับเป็นไฟฟ้ากระแสตรงซึ่งสามารถปรับค่าแรงดันไฟฟ้ากระแสตรงที่โหลดได้โดยต้องใช้ไทรสเตอร์ เช่น เอสซีอาร์ แทนไดโอดคู่ได้จากรูปที่ 2.1 วงจร 1 เฟสครึ่งคลื่นการควบคุมไทรสเตอร์ในวงจรจะต้อง

ควบคุม โดยการป้อนพัลส์จุกชนวนเกิดของไทรสเตอร์ โดยวงจรกำเนิดสัญญาณพัลส์จุกชนวน ซึ่งสามารถควบคุมมุมจุกชนวนเกิดของไทรสเตอร์ ( $\alpha$ ) ได้ระหว่าง  $0^\circ$  ถึง  $180^\circ$  ( $0^\circ < \alpha < 180^\circ$ )

ในการศึกษาคุณลักษณะของวงจรเรียงกระแสที่ควบคุมได้นี้กระแสและแรงดันที่เกิดขึ้นกับโหลดจะขึ้นอยู่กับลักษณะของโหลดว่าเป็นโหลดชนิดใด วงจรที่แสดงอยู่ในรูปที่ 2.1 การใช้เอสซีอาร์เพียงตัวเดียวในการควบคุมแรงดันไฟฟ้าทางด้านเอาต์พุตจะพิจารณารูปสัญญาณแรงดันทางด้านอินพุตที่เป็นรูปคลื่นไซน์ที่มีทั้งซีกบวกและซีกลบถูกป้อนให้กับเอสซีอาร์



รูปที่ 2.1 วงจรเรียงกระแส 1 เฟสแบบครึ่งคลื่นที่ควบคุมได้



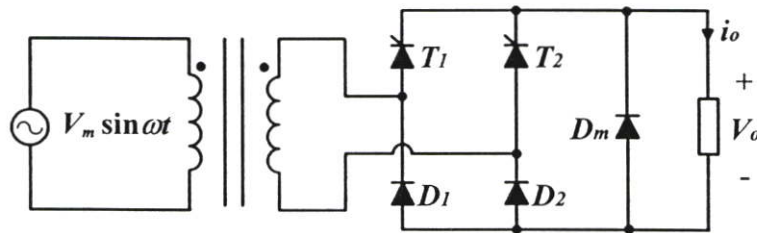
รูปที่ 2.2 รูปคลื่นสัญญาณวงจรเรียงกระแส 1 เฟสแบบครึ่งคลื่นที่ควบคุมได้

แต่จะมีเฉพาะสัญญาณที่เป็นซีกบวกเท่านั้นที่สามารถไหลผ่านเอสซีอาร์ที่ได้รับการไบอัสตรงและในสัญญาณซีกบวกดังกล่าวนี้อย่างสามารถกำหนดจุดที่ให้เอสซีอาร์เริ่มนำกระแสได้ด้วยการ

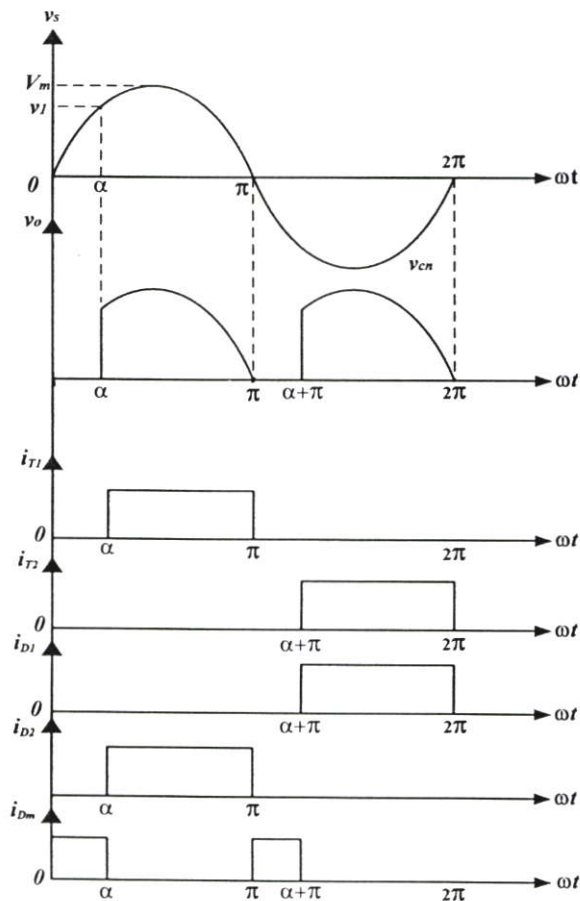
ควบคุมมุมนำกระแส ที่ป้อนขาเกิดของเอสซีอาร์ดังนั้นจึงทำให้สัญญาณทางด้านเอาต์พุตมีเฉพาะ ซีกบวกและมีการเปลี่ยนแปลงค่าตามค่าของมุมนำกระแส

### 2.3.2 วงจรเรียงกระแส 1 เฟสแบบกึ่งเฟสเดียวที่ควบคุมได้

วงจรเรียงกระแสแบบกึ่งเฟสเดียว จากรูปที่ 2.3 ประกอบไปด้วยเอสซีอาร์ 2 ตัวและ ไดโอด 2 ตัวซึ่งจะให้แรงดันเอาต์พุตเป็นสัญญาณแบบเต็มคลื่น โดยที่สัญญาณอินพุตซีกบวกจะ ไหลผ่านทางเอสซีอาร์  $T_1$  และไดโอด  $D_2$  ส่วนสัญญาณอินพุตซีกลบจะไหลผ่านทางเอสซีอาร์  $T_2$  และไดโอด  $D_1$ ,



รูปที่ 2.3 วงจรเรียงกระแส 1 เฟสแบบกึ่งเฟสเดียวที่ควบคุมได้



รูปที่ 2.4 รูปคลื่นสัญญาณของวงจรเรียงกระแส 1 เฟสแบบกึ่งเฟสเดียวที่ควบคุมได้

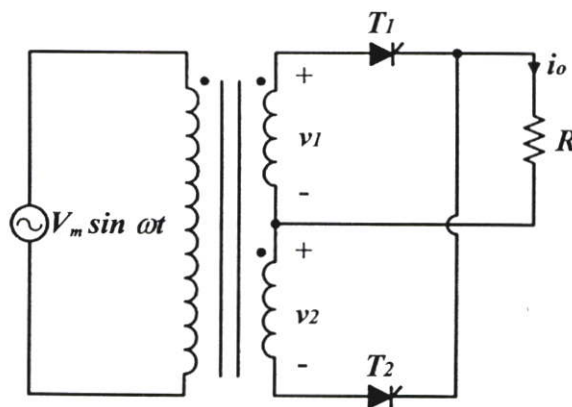
สัญญาณทางด้านเอาต์พุตที่ได้ จะมีการเปลี่ยนแปลงตามค่ามุมนำกระแสเอสซีอาร์โดยที่เอสซีอาร์  $T_1$  จะนำกระแสที่มุม  $(\alpha)$  เอสซีอาร์  $T_2$  จะนำกระแสที่มุม  $(\pi + \alpha)$  สำหรับโหลดเป็นโหลดค่าความต้านทาน

### 2.3.3 วงจรเรียงกระแส 1 เฟสแบบเต็มคลื่นที่ควบคุมได้

แบ่งออกตามจำนวนของไทรสเตอร์และลักษณะของแหล่งจ่ายไฟฟ้าเป็น 2 แบบ

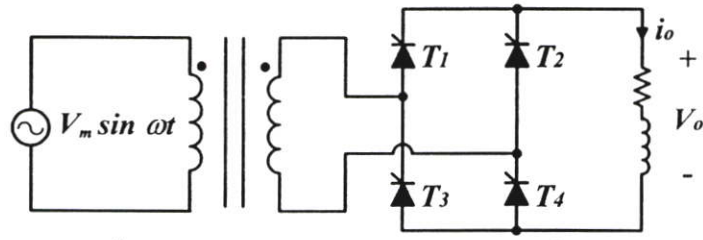
1. วงจรที่ใช้หม้อแปลงแทปกกลางเรียงกระแส 1 เฟสเต็มคลื่นที่ใช้หม้อแปลงมีแทปกกลาง จากรูปที่ 2.5 คือวงจรครึ่งคลื่น 2 วงจรใช้ไทรสเตอร์ 2 ตัวโดยต่อขั้วเอโนดเข้ากับขั้ว ของหม้อแปลง และจุดแทปกกลางของหม้อแปลงต่อเข้ากับขั้วลบของแรงดันตกคร่อมโหลด ส่วนขั้วแคโทดของของไทรสเตอร์ทั้งสองต่อร่วมกันเข้ากับขั้วของแรงดันตกคร่อมโหลด

เมื่อไทรสเตอร์ตัวหนึ่งทำงานจะเป็นผลให้แรงดัน ไซน์กลับที่ตกคร่อมไทรสเตอร์อีกตัวหนึ่งมีค่าเป็นสองเท่าของแรงดันสูงสุด

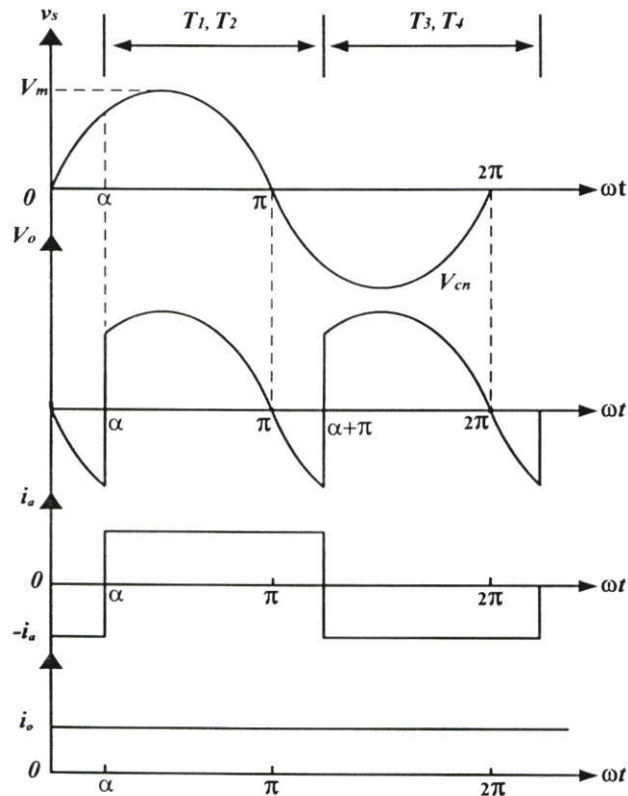


รูปที่ 2.5 วงจรเรียงกระแส 1 เฟสแบบเต็มคลื่นที่ใช้หม้อแปลงแทปกกลาง

2. วงจรควบคุมเต็มบริดจ์ จากรูปที่ 2.6 แบ่งออกเป็น 2 วงจร คือวงจรควบคุมเต็มบริดจ์ และวงจรควบคุมครึ่งบริดจ์วงจรแบบเต็มบริดจ์จะใช้ไทรสเตอร์ 4 ตัวโดยไม่ต้องใช้หม้อแปลงที่มีแทปกกลาง ข้อดีคือสามารถจ่ายกำลังไฟฟ้าจำนวนมากๆ กับโหลดได้เพราะไม่ต้องมีหม้อแปลง ข้อเสียการใช้ไทรสเตอร์ 4 ตัวทำให้การออกแบบวงจรควบคุมการจุดชนวนเกิดซับซ้อนกว่าวงจรที่ใช้หม้อแปลง เพราะต้องจุดชนวนไทรสเตอร์ 2 ตัวให้ทำงานพร้อมๆ กันมุมจุดชนวนไทรสเตอร์  $T_1$  และ  $T_2$  ให้ทำงานที่เวลา  $(\omega t = \alpha)$



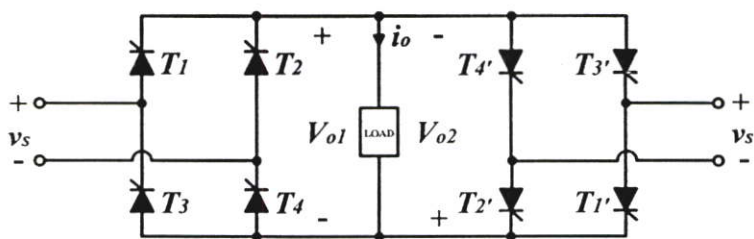
รูปที่ 2.6 วงจรเรียงกระแส 1 เฟสแบบเต็มคลื่น



รูปที่ 2.7 รูปคลื่นสัญญาณของวงจรเรียงกระแส 1 เฟสแบบเต็มคลื่น

### 2.3.4 วงจรเรียงกระแส 1 เฟสแบบคู่ที่ควบคุมได้

วงจรเรียงกระแส 1 เฟสแบบคู่จะใช้วงจรเรียงกระแสแบบเต็มคลื่น 2 วงจรต่อกันจากรูปที่ 2.8 โดยที่วงจรที่ 1 อยู่ทางด้านซ้ายจะให้เอาต์พุตที่เป็นบวกและวงจรที่ 2 อยู่ทางด้านขวาจะให้เอาต์พุตที่โวลตจมีทั้งบวกและลบ จากวงจรทั้งสองถูกต่อเข้ากับโหลดชุดเดียวกันโดยต่อสลับกันตามรูปคั้งนั้นเมื่ วงจรหนึ่งทำงานเป็นการเรียงกระแส อีกวงจรหนึ่งจะทำหน้าที่เป็นอินเวอร์เตอร์ จะทำให้ได้ค่าแรงดันทางด้านเอาต์พุตของวงจรแปลงผันแบบคู่ คือถ้าแรงดันเอาต์พุตชั่วขณะของวงจรที่ 1 และวงจรที่ 2 เป็น  $V_{o1}$  และ  $V_{o2}$  ซึ่งต่างเฟสกัน  $180^\circ$  และมีค่าไม่เท่ากันจะทำให้เกิดกระแสไหลวนระหว่างวงจรทั้งสองซึ่งกระแสนี้จะไม่ไหลผ่านโหลด



รูปที่ 2.8 วงจรเรียงกระแส 1 เฟสแบบคู่ที่ควบคุมได้

## 2.4 วงจรเรียงกระแสแบบระบบ 3 เฟสแบบควบคุมได้

วงจรเรียงกระแสระบบ 3 เฟสจะให้ค่าแรงดันเฉลี่ยทางด้านเอาต์พุตสูงกว่าวงจรเรียงกระแสระบบเฟสเดียวเนื่องจากพื้นที่ของเอาต์พุตเมื่อเทียบกับเวลา วงจรระบบ 3 เฟสจะมีค่าสูงกว่าระบบเฟสเดียว ความราบเรียบและความต่อเนื่องของกระแสที่ดีกว่าระบบเฟสเดียวซึ่งจะแบ่งออกเป็น 4 แบบตามลักษณะของวงจรดังนี้

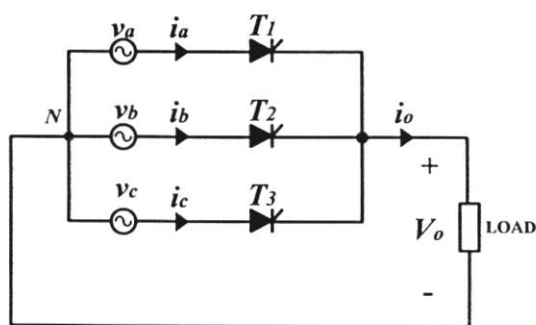
### 2.4.1 วงจรเรียงกระแสครึ่งคลื่น 3 เฟสแบบควบคุมได้

วงจรเรียงกระแส 3 เฟสตามรูปที่ 2.9 มีเอสซีอาร์สามตัวควบคุมการไหลของกระแสไฟฟ้าในแต่ละเฟสไปยังโหลดโดยที่

เฟส  $a$  ควบคุมด้วยเอสซีอาร์  $T_1$

เฟส  $b$  ควบคุมด้วยเอสซีอาร์  $T_2$

เฟส  $c$  ควบคุมด้วยเอสซีอาร์  $T_3$



รูปที่ 2.9 วงจรเรียงกระแสครึ่งคลื่น 3 เฟส

การพิจารณาการทำงานของวงจรเพื่อให้ได้แรงดันทางด้านเอาต์พุต จะพิจารณาจากสัญญาณอินพุตของเฟสที่มีศักย์เป็นบวกสูงสุดเอสซีอาร์ที่ต่ออยู่กับเฟสนั้นก็จะได้รับไบอัสตรง เช่น สัญญาณไฟระบบ 3 เฟสตามรูปที่ 2.9 เฟส  $a$  มีศักย์เป็นสูงสุดตั้งแต่มุม  $(\pi/6)$  หรือ  $30^\circ$  ถึง  $(5\pi/6)$  หรือ  $150^\circ$  ดังนั้นในช่วงค่ามุมดังกล่าว เอสซีอาร์  $T_1$  จะได้รับไบอัสตรงและอยู่ในสภาวะพร้อมที่จะ

นำกระแสถ้ามีสัญญาณพัลส์จุดชนวนที่ขาเกต ก็จะทำให้เอสซีอาร์  $T_1$  นำกระแสได้เป็นผลทำให้แรงดันที่ เฟส  $a$  ไปตกคร่อมที่โหลดและหลังจากค่ามุม  $(5\pi/6)$  ทำให้เอสซีอาร์  $T_2$  ได้รับไบอัสตรงต่อไป

#### 2.4.2 วงจรเรียงกระแสแบบกึ่ง 3 เฟสแบบควบคุมได้

วงจรเรียงกระแสแบบกึ่ง 3 เฟสตามรูปที่ 2.10 จะใช้เอสซีอาร์ 3 ตัวและไดโอด 3 ตัว ทำงานร่วมกับโหลดที่มีการต่อไดโอด  $D_m$  ขนานกับโหลดซึ่งจะทำให้เอาต์พุตที่ได้ไม่มีช่วงลบ หลักการพิจารณาการทำงานของวงจรจะพิจารณาจากแรงดันอินพุตที่เป็นระบบไฟ 3 เฟส โดยที่ค่าแรงดันเฟส (line-neutral voltage) ของเฟส  $a$  เฟส  $b$  และเฟส  $c$  จะต่างเฟสกัน  $120^\circ$  ซึ่งแรงดันเฟสและแรงดันระหว่างสาย (line-line voltage) สามารถเขียนเป็นสมการได้ดังนี้

$$v_{an} = V_m \sin(\omega t) \quad (2.1)$$

$$v_{bn} = V_m \sin(\omega t - \frac{2\pi}{3}) \quad (2.2)$$

$$v_{cn} = V_m \sin(\omega t - \frac{4\pi}{3}) \text{ หรือ } V_m \sin(\omega t + \frac{2\pi}{3}) \quad (2.3)$$

แรงดันระหว่างสาย (line-line voltage)

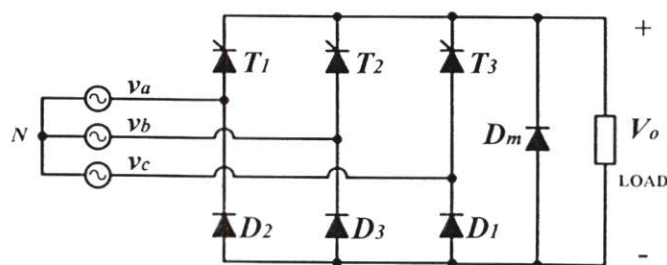
$$v_{ac} = v_{an} - v_{cn} = \sqrt{3}V_m \sin(\omega t - \frac{\pi}{6}) \quad (2.4)$$

$$v_{ba} = v_{bn} - v_{an} = \sqrt{3}V_m \sin(\omega t - \frac{5\pi}{6}) \quad (2.5)$$

$$v_{cb} = v_{cn} - v_{bn} = \sqrt{3}V_m \sin(\omega t + \frac{\pi}{2}) \quad (2.6)$$

$$v_{ab} = v_{an} - v_{bn} = \sqrt{3}V_m \sin(\omega t + \frac{\pi}{6}) \quad (2.7)$$

โดยที่  $V_m$  เป็นค่าแรงดันเฟสสูงสุดของระบบการต่อไฟ 3 เฟสแบบสตาร์



รูปที่ 2.10 วงจรเรียงกระแสแบบกึ่ง 3 เฟส

วงจรเรียงกระแส 3 เฟสจากรูปที่ 2.10 ค่าแรงดันทางด้านเอาต์พุตที่ได้จะเป็นค่าแรงดันระหว่างสายซึ่งจะเป็นสายของเฟสใดนั้นมีหลักการพิจารณาดังนี้ แรงดันเอาต์พุตจะได้จากเฟสที่มีศักย์ต่ำที่สุดในขณะนั้นเมื่อเทียบกับแรงดันเฟสที่ศักย์สูงกว่า ถ้าแรงดันของเฟสที่มีศักย์สูงกว่ามี 2 เฟส ก็สามารถกำหนดได้ว่าให้เฟสใดออกที่เอาต์พุตโดยการกำหนดมุมนำกระแสให้กับเอสซีอาร์ที่ต่ออยู่กับเฟสนั้น เช่น ที่มุม ( $\omega t = 0^\circ$ ) ของสัญญาณอินพุตแทนค่าในสมการที่ (2.8) จะได้ว่า

$$\text{ที่ } v_{an} \text{ จะได้ว่า} \quad v_{an} = V_m \sin(0) \quad (2.8)$$

$$v_{an} = 0 \quad (2.9)$$

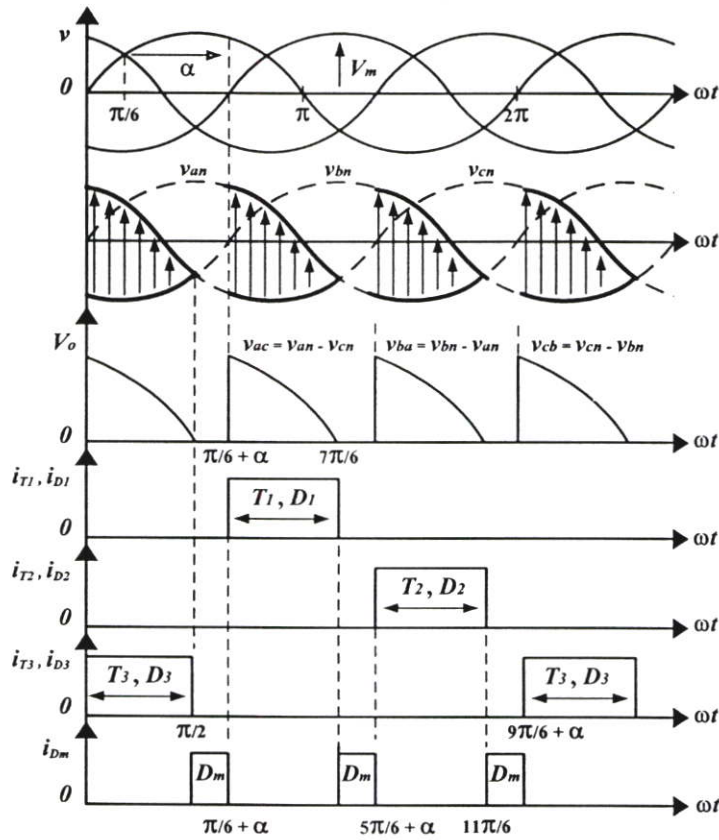
$$\text{ที่ } v_{bn} \text{ จะได้ว่า} \quad v_{bn} = V_m \sin\left(0 - \frac{2\pi}{3}\right) \quad (2.10)$$

$$v_{bn} = -0.866 V_m \quad (2.11)$$

$$\text{ที่ } v_{cn} \text{ จะได้ว่า} \quad v_{cn} = V_m \sin\left(0 + \frac{2\pi}{3}\right) \quad (2.12)$$

$$v_{cn} = 0.866 V_m \quad (2.13)$$

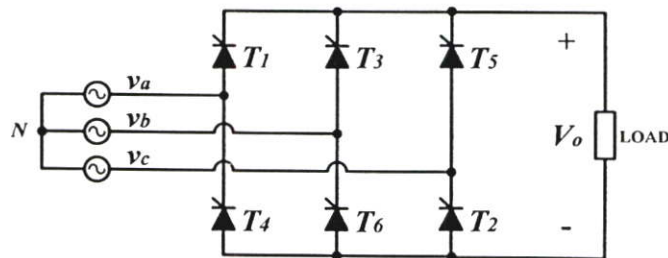
จากแรงดันไฟฟ้าระบบ 3 เฟสสรุปได้ว่าที่มุมศูนย์องศาแรงดัน  $v_{bn}$  มีศักย์ไฟฟ้าต่ำกว่าแรงดันไฟฟ้า  $v_{an}$  และแรงดันไฟฟ้า  $v_{cn}$  สามารถกำหนดได้ว่าแรงดันที่ออกทางเอาต์พุตจะเป็น เฟส  $b$  คู่กับเฟส  $a$  หรือเฟส  $c$  เมื่อ เฟส  $b$  ( $v_{bn}$ ) คู่กับเฟส  $c$  ( $v_{cn}$ ) เอาต์พุตที่ได้จะเป็น  $v_{cb}$  แต่ถ้า เฟส  $b$  ( $v_{bn}$ ) คู่กับเฟส  $a$  ( $v_{an}$ ) เอาต์พุตที่ได้จะเป็น  $v_{ab}$  ดูได้จากรูปที่ 2.11 รูปคลื่นสัญญาณวงจรเรียงกระแสแบบกึ่ง 3 เฟส



รูปที่ 2.11 รูปคลื่นสัญญาณวงจรเรียงกระแสแบบกึ่ง 3 เฟส

2.4.3 วงจรเรียงกระแสแบบเต็มคลื่น 3 เฟสแบบควบคุมได้

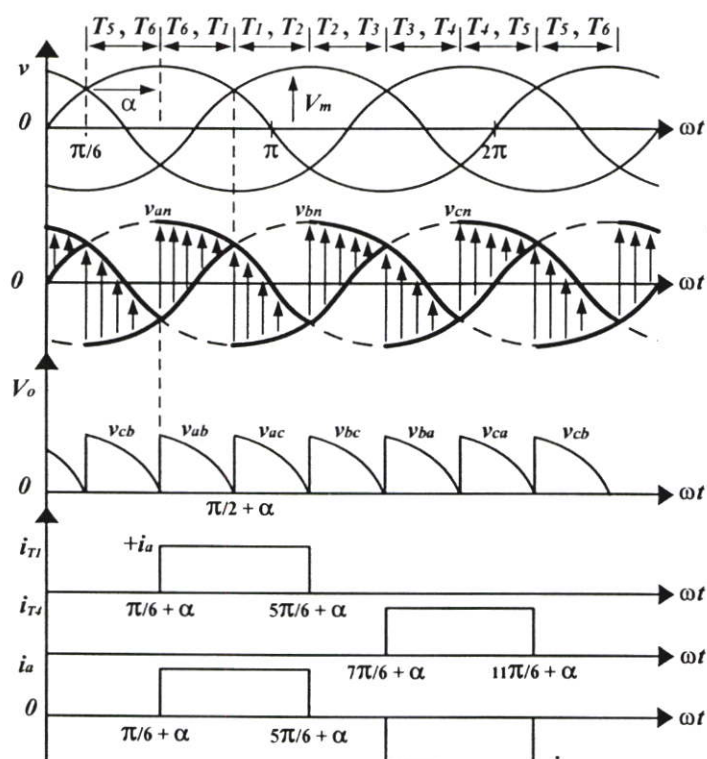
วงจรเรียงกระแสแบบเต็มคลื่น 3 เฟสตามรูปที่ 2.12 ใช้เอสซีอาร์ 6 ตัวต่อเป็นแบบบริดจ์ 3 เฟส โดยที่สัญญาณทางคานเอาท์ทุกสามารถกำหนดได้ว่าจะให้เฟสไดออกคู่กัน โดยการควบคุมการนำกระแสให้กับเอสซีอาร์ที่ต่ออยู่เฟสนั้นๆ เอสซีอาร์ 3 ตัวบน ( $T_1$ ,  $T_3$  และ  $T_5$ ) จะควบคุมแรงดันของเฟสที่ศักย์ไฟฟ้าสูง ส่วนเอสซีอาร์อีก 3 ตัวล่าง ( $T_2$ ,  $T_4$  และ  $T_6$ ) จะควบคุมแรงดันของเฟสที่มีศักย์ไฟฟ้าต่ำ



รูปที่ 2.12 วงจรเรียงกระแสแบบเต็มคลื่น 3 เฟส

จากรูปสัญญาณแรงดันเอาต์พุตที่มุม ( $\pi/6$  ถึง  $\pi/6+\alpha$ ) สัญญาณเอาต์พุตได้จากเฟส  $b$  เทียบกับเฟส  $c$  ดังนั้นเอสซีอาร์ตัวที่นำกระแสคือ  $T_5$  และ  $T_6$  โดยที่

เอสซีอาร์  $T_5$  ควบคุมแรงดันของเฟส  $c$  ซึ่งเป็นเฟสที่มีศักย์ไฟฟ้าสูง และเอสซีอาร์  $T_6$  ควบคุมแรงดันของเฟส  $b$  ซึ่งเป็นเฟสที่มีศักย์ไฟฟ้าต่ำที่มุม ( $\pi/6+\alpha$  ถึง  $\pi/2+\alpha$ ) สัญญาณเอาต์พุตได้จากเฟส  $b$  ดังนั้นเอสซีอาร์ตัวที่นำกระแสคือ  $T_1$  และ  $T_6$  กล่าวคือที่เอสซีอาร์  $T_1$  ควบคุมแรงดันของเฟส  $a$  ซึ่งเป็นเฟสที่มีศักย์ไฟฟ้าสูง และที่เอสซีอาร์  $T_6$  ควบคุมแรงดันของเฟส  $b$  ซึ่งเป็นเฟสที่มีศักย์ไฟฟ้าต่ำดูได้จากรูปที่ 2.13

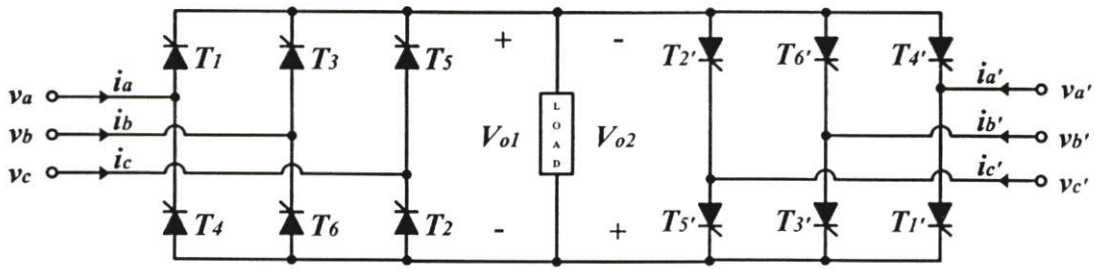


รูปที่ 2.13 รูปคลื่นสัญญาณวงจรเรียงกระแสแบบเต็มคลื่น 3 เฟส

ในส่วนของทฤษฎีหลักจะกล่าวถึงในบทต่อไป

#### 2.4.4 วงจรเรียงกระแสแบบคู่ 3 เฟส

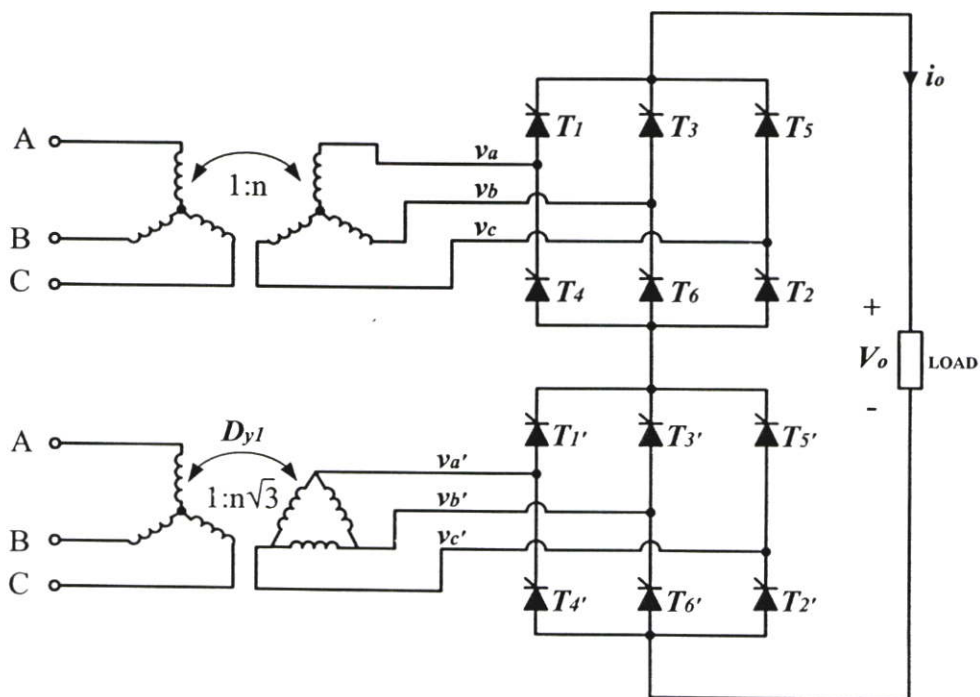
วงจรเรียงกระแสแบบคู่ 3 เฟสจะใช้วงจรเรียงกระแสแบบเต็มคลื่น 3 เฟส 2 วงจรต่อสลับกันตามรูปที่ 2.14 โดยที่วงจรที่ 1 อยู่ทางด้านซ้ายจะให้เอาต์พุตเป็น  $V_{o1}$  และวงจรที่ 2 อยู่ทางด้านขวาจะให้เอาต์พุตเป็น  $-V_{o2}$  เอาต์พุตทั้งสองต่อขนานเข้ากับโหลด



รูปที่ 2.14 วงจรเรียงกระแสแบบกู่ 3 เฟส

## 2.5 การสร้างวงจรเรียงกระแส 3 เฟส 12 พัลส์คอนเวอร์เตอร์

ในการสร้างชุด 12 พัลส์คอนเวอร์เตอร์ที่ใช้ในระบบไฟฟ้ากระแสตรงนี้ประกอบไปด้วย วงจรเรียงกระแส 3 เฟสแบบควบคุมได้ หรือเรียกอีกอย่างว่า วงจรเรียงกระแส 3 เฟส 6 พัลส์คอนเวอร์เตอร์ 2 ชุดต่ออนุกรมกันดังในรูปที่ 2.15 ใช้อุปกรณ์เอสซีอาร์ในการควบคุมมุมนำกระแส 12 ตัวโดยที่ต้องใช้วงจรเรียงกระแส 3 เฟส 6 พัลส์คอนเวอร์เตอร์ชุดบนต่ออยู่กับหม้อแปลงสตาร์/สตาร์ และวงจรเรียงกระแส 3 เฟส 6 พัลส์คอนเวอร์เตอร์ชุดล่างนี้จะต้องต่ออยู่กับหม้อแปลงสตาร์/เดลต้า และเนื่องจากการต่อหม้อแปลง สตาร์/เดลต้า นี้เองทำให้เอาท์พุทของ 6 พัลส์คอนเวอร์เตอร์ชุดล่างมีแรงดันเฟสล่าหลัง 6 พัลส์ ชุดบนอยู่  $30^\circ$  เนื่องจากที่หม้อแปลงมีการต่อแบบ Dy1 จึงทำให้แรงดันด้านดีซีของชุด 12 พัลส์คอนเวอร์เตอร์มีขนาดเป็นสองเท่าของ 6 พัลส์คอนเวอร์เตอร์



รูปที่ 2.15 วงจรเรียงกระแส 3 เฟส 12 พัลส์คอนเวอร์เตอร์ต่อแบบอนุกรม

### 2.5.1 ระบบแรงดันไฟฟ้ากระแสตรง 12 พัลส์คอนเวอร์เตอร์

ในการทดสอบระบบส่งกำลังไฟฟ้ากระแสตรง[9] จากรูปที่ 2.15 ในการปรับมุมการนำกระแสไทรสเตอร์ตั้งแต่ 0-180 องศา พบว่าเมื่อปรับมุมนำกระแสมากถึง 90 องศา คอนเวอร์เตอร์ทำงานในโหมดอินเวอร์เตอร์ และมีการส่งคืนกำลังไฟฟ้ากลับไปยังด้านระบบแรงดันไฟฟ้ากระแสสลับ ส่วนทางด้านแรงดัน  $v_o$  สัญญาณทางด้านเอาต์พุตจะมีค่าของริปลีตเท่ากับ 12 เท่าของความถี่ทางด้านอินพุต (50Hz)

โดยแรงดันเฉลี่ยของชุด 12 พัลส์คอนเวอร์เตอร์ได้จากการนำแรงดันของชุด 6 พัลส์คอนเวอร์เตอร์มารวมกันตามสมการที่ (2.14)

$$V_o = V_{dcY} - V_{dc\Delta} = \frac{3\sqrt{2}V_{LL}}{\pi} \cos \alpha + \frac{3\sqrt{2}V_{LL}}{\pi} \cos \alpha \quad (2.14)$$

$$V_o = \frac{6\sqrt{2}V_{LL}}{\pi} \cos \alpha \quad (2.15)$$

หรือ 
$$V_o = 2.7V_{LL} \cos \alpha \quad (2.16)$$

### 2.5.2 กระแสด้านเอซีหรือกระแสไฟสลับทางด้านอินพุต

จากรูป 2.15 วงจรชุด 12 พัลส์คอนเวอร์เตอร์ พิจารณาสัญญาณกระแสทางด้านระบบไฟฟ้ากระแสสลับในขณะที่มีการต่อหม้อแปลงแบบ สตาร์/สตาร์ จะมีรูปสัญญาณเป็น (Quasi Step) และสัญญาณกระแสทางด้านระบบเอซีในขณะที่มีการต่อหม้อแปลงแบบ สตาร์/เดลต้า จะมีรูปสัญญาณเป็น (6-Step) และกระแสรวมทั้งระบบจะได้เป็น (12-Step) เราสามารถวิเคราะห์สัญญาณกระแสฮาร์มอนิกต่างๆ โดยใช้อนุกรมฟูเรียร์ได้

สำหรับหม้อแปลงที่มีการต่อขดลวดเป็นแบบ สตาร์/สตาร์ รูปสัญญาณที่ได้สามารถที่จะวิเคราะห์หาค่ากระแสที่ไหลได้ดังสมการที่ 2.17

$$i_Y(t) = \frac{2\sqrt{3}}{\pi} I_d \left( \cos \omega t - \frac{1}{5} \cos 5\omega t + \frac{1}{7} \cos 7\omega t - \frac{1}{11} \cos 11\omega t + \frac{1}{13} \cos 13\omega t - \dots \right) \quad (2.17)$$

สำหรับหม้อแปลงที่มีการต่อขดลวดเป็นแบบ สตาร์/เดลต้า สามารถวิเคราะห์หาค่าของกระแสที่ไหลได้ดังสมการที่ 2.18

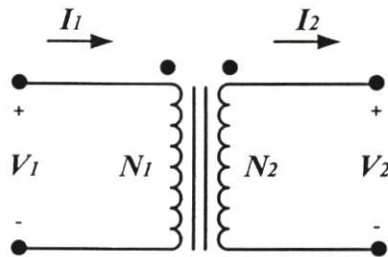
$$i_{\Delta}(t) = \frac{2\sqrt{3}}{\pi} I_d \left( \cos \omega t + \frac{1}{5} \cos 5\omega t - \frac{1}{7} \cos 7\omega t - \frac{1}{11} \cos 11\omega t + \frac{1}{13} \cos 13\omega t + \dots \right) \quad (2.18)$$

กระแสรวม 12 พัลส์ สามารถวิเคราะห์หาค่าของกระแสที่ไหลได้จากสมการที่ 2.19

$$i_{ac}(t) = i_Y(t) + i_\Delta(t) = \frac{4\sqrt{3}}{\pi} I_d \left( \cos \omega t - \frac{1}{11} \cos 11\omega t + \frac{1}{13} \cos 13\omega t \dots \right) \quad (2.19)$$

## 2.6 การออกแบบหม้อแปลงหนึ่งเฟสแบบสองขดลวดแยกอิสระ

หลักการเบื้องต้นของหม้อแปลงไฟฟ้าที่ใช้ในระบบไฟฟ้ากำลังนั้น เริ่มจากการพิจารณาจากการนำเอาหม้อแปลงไฟฟ้าหนึ่งเฟสมาต่อกัน ดังนั้นความสัมพันธ์ของแรงดันไฟฟ้าหนึ่งเฟสเป็นพื้นฐานหลักการสำคัญในการนำไปประยุกต์ใช้กับหม้อแปลงไฟฟ้าสามเฟส



รูปที่ 2.16 รูปสัญลักษณ์ของหม้อแปลง

จากรูปที่ 2.16 เป็นรูปแสดงหลักการพันขดลวดสองชุดบนแกนเหล็กของหม้อแปลงไฟฟ้าหนึ่งเฟสที่มีสองขดลวดแยกอิสระแบบเซลล์ หม้อแปลงไฟฟ้าตามอุดมคติจะถือว่าการสร้างเส้นแรงแม่เหล็กจะเป็นไซน์ตามรูปคลื่นของแรงดันไฟฟ้ากระแสสลับ และค่าความซึมซาบสนามแม่เหล็กของแกนเหล็กจะมีค่าเป็น  $\infty$  ในขณะที่ค่าความแตกต่างค่าความต้านทานของขดลวดเป็นศูนย์ 0 ดังนั้นเส้นแรงแม่เหล็กที่ไหลในแกนเหล็กจะเป็นผลให้เกิดแรงดันไฟฟ้าเหนี่ยวนำขึ้นในขดลวดจากผลอัตราการเปลี่ยนแปลงของเส้นแรงแม่เหล็ก โดยจะมีค่าเท่ากับแรงดันไฟฟ้าที่ป้อนเข้าขั้ว  $V_1$  ซึ่งได้แสดงทิศทางการเหนี่ยวนำโดยใช้จุดดำ (Dot mark) จากรูปที่ 2.16

สมการที่ได้ 
$$\frac{V_1}{V_2} \approx \frac{N_1}{N_2} \quad (2.20)$$

เมื่อขดลวดชุดที่ 1 เป็นขดลวดชุดที่ได้รับแรงดันไฟฟ้าเข้าไปที่ขั้วเพื่อทำการเหนี่ยวนำทำให้เกิดเส้นแรงแม่เหล็กหลักขึ้นในแกนเหล็ก ขดลวดชุดที่ได้รับไฟจ่ายเข้าไปจะเรียกว่าขดลวดชุดหลัก ในขณะที่เดียวกันขดลวดชุดที่ 2 เป็นขดลวดชุดที่ได้รับผลของเส้นแรงแม่เหล็กหลักที่เหนี่ยวนำให้เกิดแรงดันไฟฟ้าเพื่อจ่ายใช้งานแก่ภาระโหลดเรียกขดลวดชุดจ่ายไฟออกนี้ว่า ขดลวดชุดรอง

จะได้ความสัมพันธ์หลักที่ส่งผลต่อการเปลี่ยนแปลงของค่าต่างๆ ทางด้าน ไฟเข้าและ ทางด้านไฟออกในการส่งถ่ายพลังงานของหม้อแปลงไฟฟ้าเป็นไปตามความสัมพันธ์ของขดลวดชุดหลักและขดลวดชุดรองที่เรียกว่า อัตราส่วนจำนวนรอบ  $a$

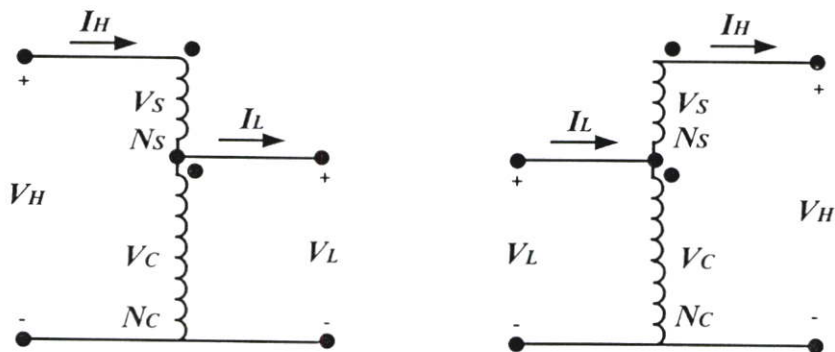
$$a \cong \frac{V_1}{V_2} \cong \frac{N_1}{N_2} \cong \frac{I_2}{I_1} \tag{2.21}$$

ในขณะที่ไม่มีการจ่ายโหลดภาระในหม้อแปลงแบบอุดมคติแล้วกระแส  $I_2 = 0$  ดังนั้นกระแส  $I_1 = 0$  ด้วยเมื่อมีการต่อโหลดภาระ  $Z_2$  เข้าไปทางขดลวดที่สองในรูปที่ 2.16 จะได้

$$Z_2 = \frac{V_2}{I_2} \tag{2.22}$$

### 2.7 หม้อแปลงไฟฟ้า 1 เฟสแบบออโต

ในหม้อแปลงไฟฟ้าที่มีสนามแม่เหล็กคล้องร่วมกันโดยทั่วไปนั้นจะมีวงจรทางไฟฟ้าแยกอิสระออกจากกัน (isolated) โดยมีการพันขดลวดชุดแรก และขดลวดชุดที่สองแยกออกจากกันสองขดอิสระ เรียกว่าหม้อแปลงไฟฟ้าแบบสองขดลวดแยกอิสระ (two-winding transformer) ทำให้การเกิดการผิดปกติจากทางด้านหนึ่ง จะไม่มีผลกระทบมากนักกับอีกด้านหนึ่งซึ่งโดยปกติแล้วในระบบไฟฟ้ากำลังจะเป็นพวกหม้อแปลงไฟฟ้าที่มีค่าอัตราส่วนหม้อแปลงค่อนข้างมาก แต่ถ้าไม่คำนึงถึงผลกระทบต่อกันของทั้งสองด้านมากนัก และมีค่าการเปลี่ยนแปลงแรงดันไฟฟ้าขาเข้าต่อแรงดันไฟฟ้าขาออกเกือบเท่ากัน จะสามารถใช้หม้อแปลงที่วงจรหม้อแปลงไฟฟ้าทางด้านขาเข้าและขาออกต่อถึงกันได้ โดยการใช้ขดลวดชุดแรกและชุดที่สองร่วมกัน เป็นขดลวดชุดเดียวที่มีแทปเรียกชื่อว่าหม้อแปลงไฟฟ้าแบบออโตผลดีที่เห็นได้ชัดของหม้อแปลงแบบนี้ก็คือ ขนาดจะเล็กลง น้ำหนักเบา ราคาถูก รีแอกแตนซ์รั่วมีค่าน้อยกำลังไฟฟ้าสูญเสียต่ำแต่ประสิทธิภาพสูงกว่าและเมื่อเทียบกับหม้อแปลงแบบแยกขดลวดสองชุดแยกอิสระ



รูปที่ 2.17 รูปสัญลักษณ์ของหม้อแปลงไฟฟ้าแบบออโต

ในความสัมพันธ์ระหว่างกระแสและแรงดันไฟฟ้าของหม้อแปลงไฟฟ้าแบบออโต ในการคำนวณหาอัตราการเปลี่ยนแปลงระดับแรงดันไฟฟ้า และกระแสของทางด้านขาเข้ากับขาออกของหม้อแปลงไฟฟ้าแบบขดลวดสองชุดแยกอิสระ แล้วนำมาต่ออนุกรมขดลวดทั้งสองด้านเข้าด้วยกัน ดังแสดงในรูปที่ 2.17 ซึ่งแสดงหม้อแปลงไฟฟ้าแบบออโต ดังนั้นจะเห็นได้ว่าหม้อแปลงไฟฟ้าแบบออโตนั้นจะมีขดลวดทั้งหมดเพียงชุดเดียวต่อเฟส ในขณะที่แรงดันไฟฟ้าขาออกจะเท่ากับออกมาจากขดลวดชุดเดียวกันกับทางด้านไฟฟ้าเข้าซึ่งจะแบ่งเป็นช่วงคือ ขดลวดร่วม (common winding)  $N_c$  เป็นส่วนของขดลวดที่ใช้ร่วมกันกับระหว่างทางด้านไฟสูงและไฟต่ำโดยเป็นช่วงขดลวดของขั้วทางไฟแรงต่ำขดลวดอนุกรม (series)  $N_s$  เป็นส่วนของขดลวดที่ต่ออนุกรมกับส่วนของขดลวดรวมเพื่อใช้ร่วมกันทางด้านไฟแรงสูง

ดังนั้นขดลวดที่ต่ออยู่ระหว่างขั้วทางด้านไฟแรงสูง ก็จะเป็นขดลวดสองส่วนนี้รวมกับ (Series – common winding) นั่นคือแท้จริงแล้วหม้อแปลงไฟฟ้าแบบออโตนั้นก็คือหม้อแปลงไฟฟ้าแบบสองขดลวดแยกอิสระที่มีการต่อร่วมกันเป็นแบบพิเศษให้เป็นขดลวดชุดเดียวกัน โดยที่ตรงส่วนขดลวดร่วม  $N_c$  จะมีจำนวนรอบมากและมีขนาดขดลวดนำทองแดงเล็กกว่าขดลวดอนุกรม  $N_s$

ในหม้อแปลงไฟฟ้าแบบออโตที่ปรับค่าได้ (Variable autotransformer) จะเป็นหม้อแปลงไฟฟ้าที่ตรงส่วนแทปสามารถปรับเลื่อนได้นั้นในส่วนของอัตราส่วน (ratio) อยู่สองอัตราส่วน ใช้งานที่แยกเป็นดังนี้

### 2.7.1 อัตราส่วนหม้อแปลงไฟฟ้าแบบออโต

การคิดหม้อแปลงไฟฟ้าแบบออโตในอุดมคติจะไม่คิดถึงค่าสูญเสียใดๆ อัตราส่วนแรงดันไฟฟ้าและกระแสระหว่างขั้วขาเข้าและขาออกของวงจรหม้อแปลงไฟฟ้า

$$a \cong \frac{V_H}{V_L} \quad (2.23)$$

หรือ 
$$a \cong \frac{N_H}{N_L} \cong \frac{N_C + N_S}{N_C} \quad (2.24)$$

และ 
$$a \cong \frac{I_L}{I_H} \quad (2.25)$$

โดย  $a > 1$

จะเห็นได้ว่าอัตราส่วน  $a$  จะมีค่ามากกว่า 1 เสมอในหม้อแปลงไฟฟ้าแบบออโต

### 2.7.2 อัตราส่วนของขดลวด

เป็นการหาความสัมพันธ์ของแรงดันไฟฟ้าและกระแสของขดลวดอนุกรมและขดลวดร่วม

$$\frac{V_s}{V_c} = \frac{N_s}{N_c} \quad (2.26)$$

และ

$$I_c = I_L - I_H \quad (2.27)$$

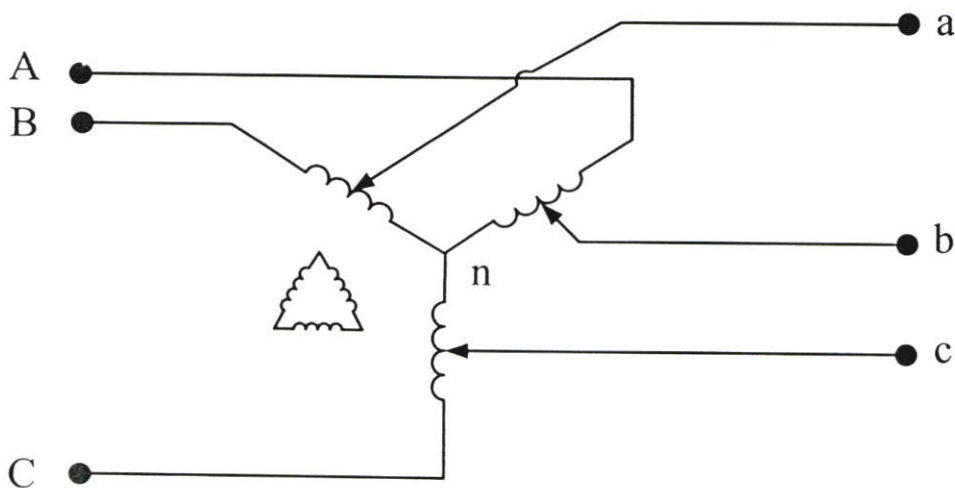
จากสมการ 2.21 จะได้

$$\frac{N_s}{N_L} \equiv a - 1 \quad (2.28)$$

ขณะที่ตัวห้อยเลข 1 หมายถึง ไฟทางด้านเข้า และตัวห้อยเลข 2 หมายถึง ไฟทางด้านออก

### 2.8 หม้อแปลงไฟฟ้าสามเฟสแบบออโต

ในระบบการส่งจ่ายกำลังไฟฟ้าสามเฟสจะพบว่า ในบางช่วงของระบบสายส่งต้องการหม้อแปลงไฟฟ้าที่มีความแตกต่างของแรงดันไฟฟ้าทางด้านเข้า และแรงดันไฟฟ้าทางด้านออกไม่มากนัก เพื่อใช้ในขบวนการรักษาระดับแรงดันไฟฟ้า มักจะนิยมใช้หม้อแปลงไฟฟ้าสามเฟสแบบออโตซึ่งมีขนาดเล็กและประหยัดกว่าทั้งทางด้านราคา รูปร่างและกำลังไฟฟ้าสูญเสียของระบบ



รูปที่ 2.18 รูปสัญลักษณ์หม้อแปลงไฟฟ้า 3 เฟสแบบออโต

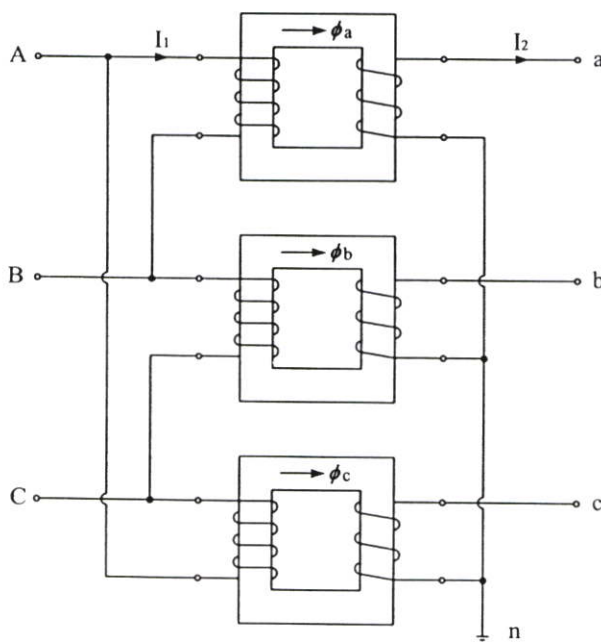
จากรูป 2.18 แสดงให้เห็นตัวอย่างของการต่อหม้อแปลงไฟฟ้าสามเฟสแบบอโตะที่ใช้กันอยู่ทั่วไป โดยที่การต่อ  $\Delta$  เพื่อการแก้ปัญหาการไม่สมดุลและกระแสลัดวงจรของระบบ

## 2.9 หม้อแปลงไฟฟ้าสามเฟส

ในระบบส่งจ่ายกำลังไฟฟ้าหม้อแปลงไฟฟ้าที่ใช้จะเป็นหม้อแปลงไฟฟ้าสามเฟส เพื่อให้มีความสามารถที่จะส่งจ่ายกำลังไฟฟ้ามากๆ ได้เพียงพอซึ่งจะเห็นได้ว่าโดยหลักการแล้วหม้อแปลงไฟฟ้าสามเฟสจะได้อาจมาจากการใช้หม้อแปลงไฟฟ้าหนึ่งเฟสสามตัวมาต่อระบบร่วมกัน ช่วยส่งจ่ายกำลังไฟฟ้า ซึ่งสามารถแบ่งลักษณะได้ดังนี้

### 2.9.1 หม้อแปลงหนึ่งเฟสสามตัวต่อร่วมกัน

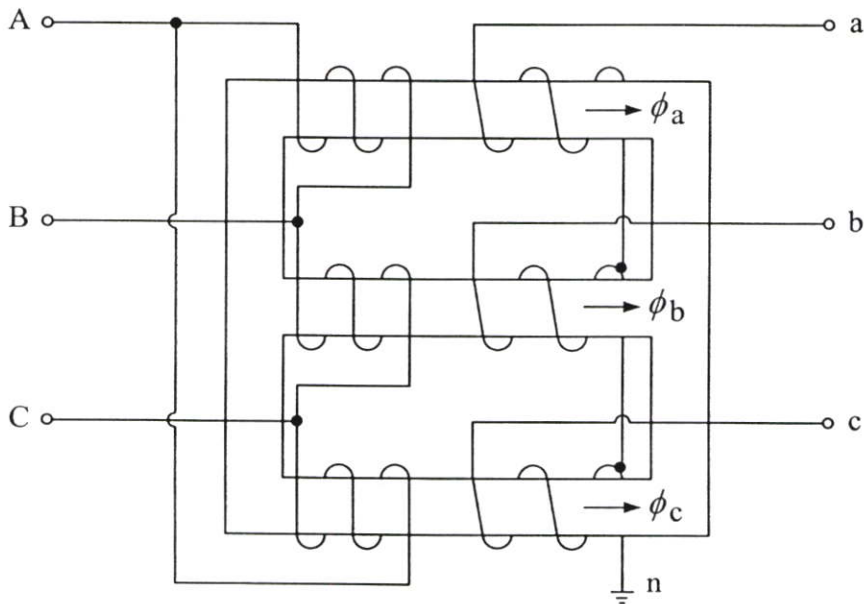
จะต้องมีพิกัดคุณสมบัติเท่ากันทุกประการ ดังนั้นพิกัดกำลังไฟฟ้าของหม้อแปลงไฟฟ้าสามเฟส จะเป็นสามเท่าของพิกัดกำลังไฟฟ้าของหม้อแปลงไฟฟ้าหนึ่งเฟสแต่ละตัว และจากผลการต่อขั้วปลายสายของขดลวด จะให้ผลของแรงดันไฟฟ้าทางด้านเข้าและแรงดันไฟฟ้าทางด้านออกแตกต่างกันออกไปตามชนิดและลักษณะการต่อ แต่อย่างไรก็ตามค่าอิมพีแดนซ์ต่อยูนิตของหม้อแปลงสามเฟสจะต้องเท่ากัน ไม่ว่าจะคิดทางด้านเข้าหรือทางด้านออก แสดงในรูปที่ 2.19 จะเห็นว่าวงจรแม่เหล็กของแต่ละเฟสแยกออกจากกันอย่างอิสระ และพิกัดกำลังไฟฟ้าของแต่ละเฟสจะมีพิกัดหนึ่งในสามของพิกัดกำลังรวมของหม้อแปลงสามเฟส ถ้าเกิดมีความเสียหายขึ้นที่เฟสหนึ่งเฟสใดก็จะสามารถที่จะทำการตรวจสอบเช็ค ซ่อมแซม หรือเปลี่ยน เฉพาะเฟสนั้นๆ ได้ง่ายแต่หม้อแปลงแบบนี้จะมีขนาดใหญ่และราคาแพง



รูปที่ 2.19 แสดงโครงสร้างหม้อแปลงหนึ่งเฟสสามตัวต่อร่วมกัน

## 2.9.2 หม้อแปลงไฟฟ้าสามเฟสแกนร่วม

ซึ่งเป็นหม้อแปลงแบบประหยัดโดยเป็นระบบสามเฟสสมดุลแล้ว  $\phi_a, \phi_b, \phi_c$  ในแต่ละเวลารวมกันมีค่าเป็นศูนย์ ดังนั้น จึงไม่ต้องมีแกนเหล็กให้ฟลักซ์แม่เหล็กเดินทางกลับจากรูปที่ 2.20 สามารถประหยัดแกนเหล็กที่ใช้เป็นผลให้ค่าความสูญเสียในแกนเหล็กมีค่าน้อยราคาถูกลง แต่การซ่อมบำรุงรักษายากกว่า



รูปที่ 2.20 แสดงโครงสร้างหม้อแปลงไฟฟ้า 3 เฟสแกนร่วม

โดยหลักการแล้วหม้อแปลงไฟฟ้าสามเฟสก็คือการนำหลักการเอาหม้อแปลงไฟฟ้าเฟสเดียวสามตัวมาต่อเข้าด้วยกัน

## 2.10 สรุป

ในบทนี้เนื้อหาส่วนใหญ่จะเป็นการกล่าวถึงทฤษฎีพื้นฐานวงจรเรียงกระแสแบบ ที่มีการควบคุมเฟส โดยจะมีการกล่าวถึงบางวงจรซึ่งยังมีอีกมากมายสำหรับวงจรเรียงกระแส และในส่วนตัวอนท้ายบทยังได้กล่าวถึงทฤษฎีพื้นฐานของวงจรและโครงสร้างของหม้อแปลงในอุดมคติเพื่อที่จะแสดงร่วมกับความเข้าใจในบทถัดไป โดยในวิทยานิพนธ์เล่มนี้ได้เน้นถึงการออกแบบร่วมระหว่างวงจรเรียงกระแส 6 พัลส์คอนเวอร์เตอร์แบบที่มีการควบคุมมุมเฟส และการออกแบบหม้อแปลงในการเพิ่มจำนวนพัลส์

### บทที่ 3

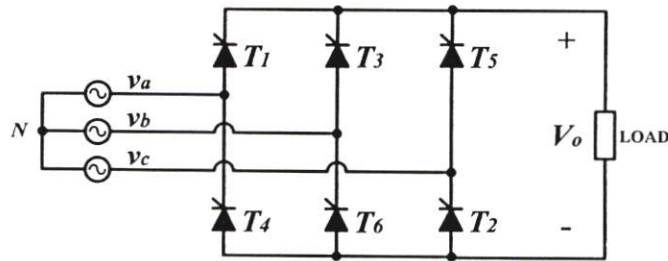
## 6 พัลส์คอนเวอร์เตอร์แบบปรับปรุง

### 3.1 บทนำ

การออกแบบคอนเวอร์เตอร์แบบปรับปรุง โดยใช้หม้อแปลงอินเตอร์เฟสในการช่วยนั้น ในการทำวิทยานิพนธ์นี้จะนำคอนเวอร์เตอร์ 3 เฟส 6 พัลส์คอนเวอร์เตอร์แบบเต็มคลื่นที่สามารถควบคุมได้โดยใช้อุปกรณ์ไทรสเตอร์ (SCR) เป็นอุปกรณ์ในการควบคุมมูนนำกระแสจากรูปที่ 3.1 นำมาทำการปรับปรุงใหม่ ซึ่งในบทที่ 3 นี้จะกล่าวถึงการทำงานที่ 3 เฟส 6 พัลส์คอนเวอร์เตอร์แบบปรับปรุงโดยใช้หม้อแปลงอินเตอร์เฟสช่วยในเพิ่มจำนวนพัลส์ ตามรูปที่ 3.6

### 3.2 วงจรเรียงกระแสไฟฟ้า 3 เฟส 6 พัลส์คอนเวอร์เตอร์

ซึ่งได้กล่าวไปบ้างแล้วในบทที่ 2 หัวข้อที่ 2.4.3 วงจรเรียงกระแส 3 เฟสแบบควบคุมเฟส โดยใช้ไทรสเตอร์จากรูป 3.1 ไทรสเตอร์จะยังไม่นำกระแสไฟฟ้าจนกว่าไทรสเตอร์จะได้รับการไบอัสไปด้านหน้าและมีกระแสที่ขาเกตของไทรสเตอร์[6] ดังนั้นการแปลงแรงดันไฟฟ้าด้านเอาต์พุตจะเป็นค่ายอดของแรงดันไฟฟ้าระหว่างเฟสของแหล่งจ่าย สามารถกำหนดช่วงเวลาได้โดยค่าของช่วงเวลา คือมุม ( $\alpha$ ) จะถูกอ้างอิงค่าแรงดันไฟฟ้าเอาต์พุตเฉลี่ยจะมีความสัมพันธ์กับมุม ( $\alpha$ ) นำกระแสและค่ายอดของแรงดันไฟฟ้าระหว่างเฟส ซึ่งค่าแรงดันไฟฟ้าด้านเอาต์พุตเฉลี่ยจะได้ว่า



รูปที่ 3.1 วงจรเรียงกระแสแบบเต็มคลื่น 3 เฟสที่ใช้ไทรสเตอร์ (SCR) ในการควบคุม

โดยแรงดัน Line-Neutral

$$v_{an} = V_m \sin(\omega t) \quad (3.1)$$

$$v_{bn} = V_m \sin(\omega t - \frac{2\pi}{3}) \quad (3.2)$$

$$v_{cn} = V_m \sin(\omega t + \frac{2\pi}{3}) \quad (3.3)$$

และแรงดัน Line-to-Line

$$v_{ab} = v_{an} - v_{bn} = \sqrt{3}V_m \sin(\omega t + \frac{\pi}{6}) \quad (3.4)$$

$$v_{bc} = v_{bn} - v_{cn} = \sqrt{3}V_m \sin(\omega t - \frac{\pi}{2}) \quad (3.5)$$

$$v_{ca} = v_{cn} - v_{an} = \sqrt{3}V_m \sin(\omega t + \frac{\pi}{2}) \quad (3.6)$$

แรงดันทางด้านไฟฟ้ากระแสตรงหาได้โดยไม่คิดผลกระทบจากอินดักแตนซ์ในหม้อแปลง ( $L_s$ )

$$V_{dc} = \frac{3}{\pi} \int_{\pi/6+\alpha}^{\pi/2+\alpha} V_{ab} d(\omega t) \quad (3.7)$$

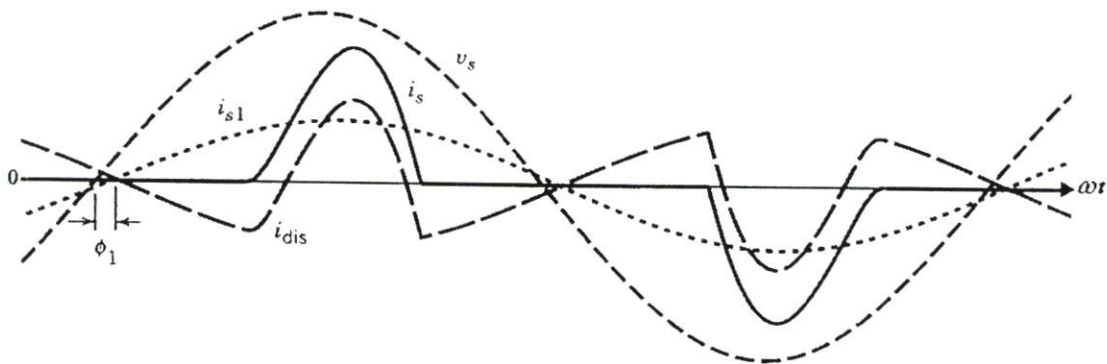
$$V_{dc} = \frac{3}{\pi} \int_{\pi/6+\alpha}^{\pi/2+\alpha} \sqrt{3}V_m \sin(\omega t + \frac{\pi}{6}) d(\omega t) \quad (3.8)$$

$$V_{dc} = 3 \frac{\sqrt{3}}{\pi} V_m \cos \alpha, \text{ หรือ } V_{dc} = \frac{3\sqrt{2}}{\pi} V_{LL} \cos \alpha \quad (3.9)$$

หรือ 
$$V_{dc} = 1.35 V_{LL} \cos \alpha \quad (3.10)$$

### 3.3 ตัวประกอบกำลัง

ค่าเพาเวอร์แฟคเตอร์ เป็นการบ่งบอกถึงความสามารถในการนำกำลังไฟฟ้ามาใช้งานให้เกิดประโยชน์ได้มากน้อยเพียงใดเมื่อเทียบกับกำลังไฟฟ้าทั้งหมดที่ให้กับระบบ หรือสามารถนิยามว่าเป็นอัตราส่วนของกำลังไฟฟ้าจริง (Real power,  $P$ ) ต่อกำลังไฟฟ้าปรากฏ (Apparent power,  $S$ ) ในกรณีที่กระแสและแรงดันทางด้านอินพุทของระบบเป็นรูปสัญญาณไซน์[6] สามารถเขียนสมการได้ดังสมการที่ 3.11



รูปที่ 3.2 สัญญาณแรงดันและกระแสที่ไม่เป็นสัญญาณไซน์

$$\text{Power factor} = \frac{P}{S} \quad (3.11)$$

ในกรณีที่สัญญาณกระแสทางคานอินพุทไม่เป็นสัญญาณไซน์ ตามรูปที่ 3.2 เราสามารถหาค่ากำลังไฟฟ้าจริงได้จาก

$$P = \frac{1}{T_I} \int_0^{T_I} P(t) dt \quad (3.12)$$

$$P = \frac{1}{T_I} \int_0^{T_I} v_s(t) i_s(t) dt \quad (3.13)$$

เมื่อ  $T_I$  = คาบเวลาที่ความถี่ 50Hz

$P(t)$  = กำลังไฟฟ้าจริง

และถ้าสัญญาณแรงดันเป็นสัญญาณไซน์เราสามารถหาค่า  $v_s$  ได้จากสมการที่ 3.14

$$v_s = \sqrt{2} V_s \sin \omega t \quad (3.14)$$

เนื่องจากกระแสทางคานอินพุท ( $i_s$ ) เกิดการผิดเพี้ยน (Distortion) ซึ่งสามารถแยกองค์ประกอบของกระแสออกเป็นสองส่วนคือกระแส Fundamental ( $i_{s1}$ ) หรือ Line frequency ( $f_1$ ) และองค์ประกอบกระแสฮาร์โมนิกเป็นจำนวนเท่าของความถี่หลัก  $f_h = hf_1$

$$i_s(t) = i_{s1}(t) + \sum_{h \neq 1} i_{sh}(t) \quad (3.15)$$

สามารถจัดรูปสมการใหม่ได้เป็น

$$i_s(t) = \sqrt{2} I_{s1} \sin(\omega_1 t - \phi_1) + \sum_{h \neq 1} \sqrt{2} I_{sh} (\sin \omega_h t - \phi_h) \quad (3.16)$$

เมื่อให้  $\phi_1$  เป็นมุมต่างเฟสระหว่างกระแสกับแรงคานอินพุทที่เป็นสัญญาณไซน์ซึ่งจากสมการที่ 3.13 ถึง 3.14 และ 3.16 สามารถเขียนสมการของกำลังไฟฟ้าจริงได้จาก

$$P = \frac{1}{T_1} \int_0^{T_1} \sqrt{2}V_s \sin \omega_1 t \cdot \sqrt{2}I_{sh} \sin(\omega_1 t - \phi_1) dt \quad (3.17)$$

$$P = V_s I_{s1} \cos \phi_1 \quad (3.18)$$

จาสมการที่ 3.11 สามารถเขียนใหม่ได้เป็น

$$PF = \frac{V_s I_{s1}}{V_s I_s} \cos \phi_1 \quad (3.19)$$

$$PF = \frac{I_{s1}}{I_s} \cos \phi_1 \quad (3.20)$$

สามารถหาค่าตัวประกอบกำลังในกรณีกระแสที่ไม่เป็นไซน์จาก

$$PF = \frac{I_{s1}}{I_s} DPF \quad (3.21)$$

โดยที่  $DPF = \cos \phi_1$ , โดยย่อมาจาก Displacement power factor และ

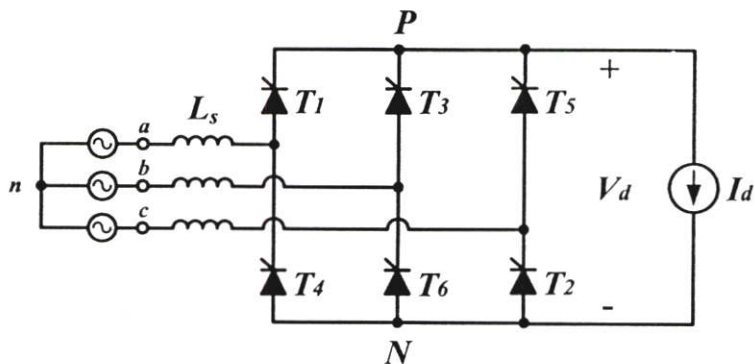
$$\%THDi = 100 * \sqrt{\sum_{h \neq 1} \left( \frac{I_{sh}}{I_s} \right)^2} \quad (3.22)$$

### 3.4 ผลกระทบอินดักแตนซ์ด้านระบบเอซี ( $L_s$ )

โดยปรกติทั่วไประบบไฟฟ้ากระแสสลับจะมีค่าอินดักแตนซ์ที่แฝงอยู่ในหม้อแปลง ดังแสดงในรูปที่ 3.3 ซึ่งค่า  $L_s$  โดยประมาณไม่เกิน 5% ของความต้านทานทั้งหมด

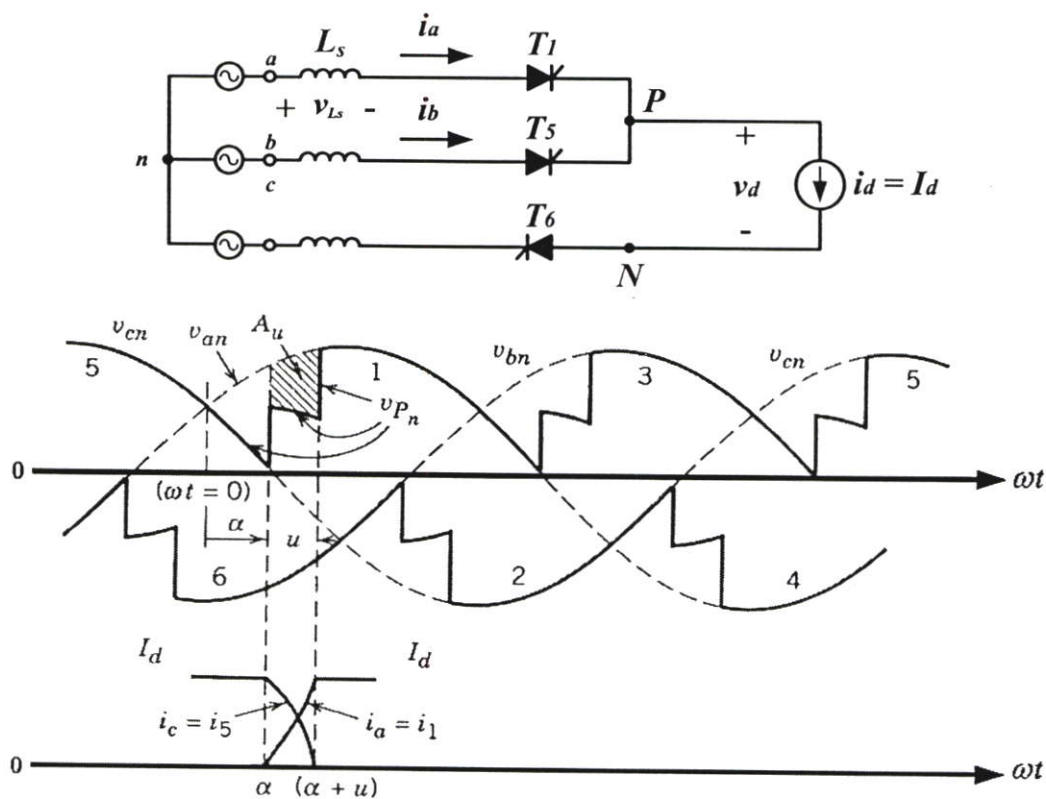
$$\omega L_s \geq 0.05 \frac{V_{LL} / \sqrt{3}}{I_{s1}} \quad (3.23)$$

เมื่อพิจารณาช่วงการหยุคนำกระแสของทรานซิสเตอร์ที่แสดงตามรูปที่ 3.3 โดยลำดับการทำงานของทรานซิสเตอร์เริ่มจาก  $T_5$  กำลังหยุคนำกระแสและในขณะเดียวกัน  $T_1$  กำลังเริ่มนำกระแส โดยที่  $T_6$  ยังนำกระแสอยู่จะมีผลของ  $L_s$  เข้ามาเกี่ยวข้องด้วยดังรูปที่ 3.4



รูปที่ 3.3 วงจรสมมูลของแหล่งจ่ายที่มี  $L_s$  ต่อกับชุดคอนเวอร์เตอร์

มีผลให้แรงดันเอาต์พุตน้อยลงเท่ากับพื้นที่ใต้กราฟของ  $A_u$  และช่วงเวลาหยุดนำกระแสของ  $T_5$  ใช้เวลานานมากขึ้นเท่ากับ  $\alpha+u$  และช่วงเวลานำกระแสของ  $T_1$  เท่ากับ  $\alpha+u$  โดยที่ช่วงเวลาคอมมิวเตชันจะเท่ากับ  $\alpha < \omega t < \alpha+u$  จากรูปที่ 3.4 ซึ่งทำให้เกิดการลัดวงจรขึ้นได้และแรงดันทางด้านไฟฟ้ากระแสตรงลดลงอีกทั้งยังทำให้ค่า %THDv ของระบบสูงขึ้นดังรูปที่ 3.4 เป็นการแสดงผลกระทบของ  $L_s$  ที่มีต่อระบบ โดยสามารถคำนวณค่า  $A_u$  ได้จากสมการ (3.26)



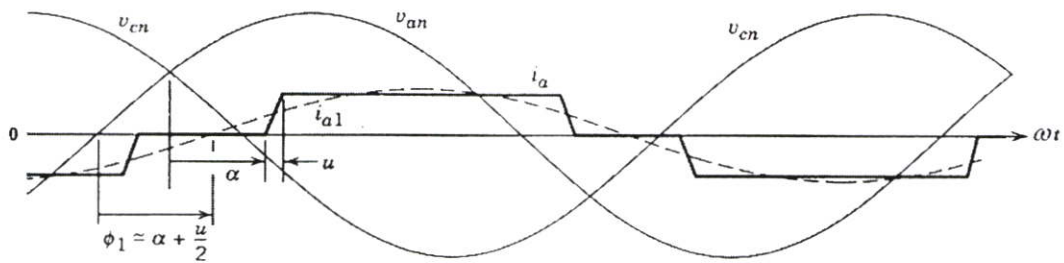
รูปที่ 3.4 ช่วงเวลาหยุดนำกระแสที่มีผลมาจาก  $L_s$

จากรูปที่ 3.4 สามารถเขียนสมการ KVL เพื่อหา  $V_{pn}$  ได้จาก

$$V_{pn} = V_{an} - V_{L_s} \quad (3.24)$$

โดยที่

$$V_{L_s} = L_s \frac{di_a}{dt} \quad (3.25)$$



รูปที่ 3.5 กระแสทางคานไฟฟ้ากระแสสลับที่มีผลกระทบจาก  $L_s$

จากรูปที่ 3.5 เมื่อระบบมีผลของ  $L_s$  เกิดขึ้นจะทำให้ช่วงเวลาขาขึ้นและขาลงของสัญญาณกระแสมีค่าเวลามากขึ้น ซึ่งจะทำให้เกิดมุม Over Lap ขึ้น จากรูปที่ 3.4 และสามารถที่จะหาพื้นที่  $A_u$  ได้ตามสมการ

$$A_u = \int_0^{\alpha+u} V_{L_s} d(\omega t) \quad (3.26)$$

และจากสมการที่ (3.25) แทนลงในสมการ (3.26) โดยแบ่งช่วงเวลา  $\omega t = \alpha$  ถึง  $\omega t = \alpha+u$

$$A_u = \omega L_s \int_0^{I_d} di_a \quad (3.27)$$

$$A_u = \omega L_s I_d \quad (3.28)$$

สามารถหาค่าแรงดันเอาต์พุตเฉลี่ยได้จาก

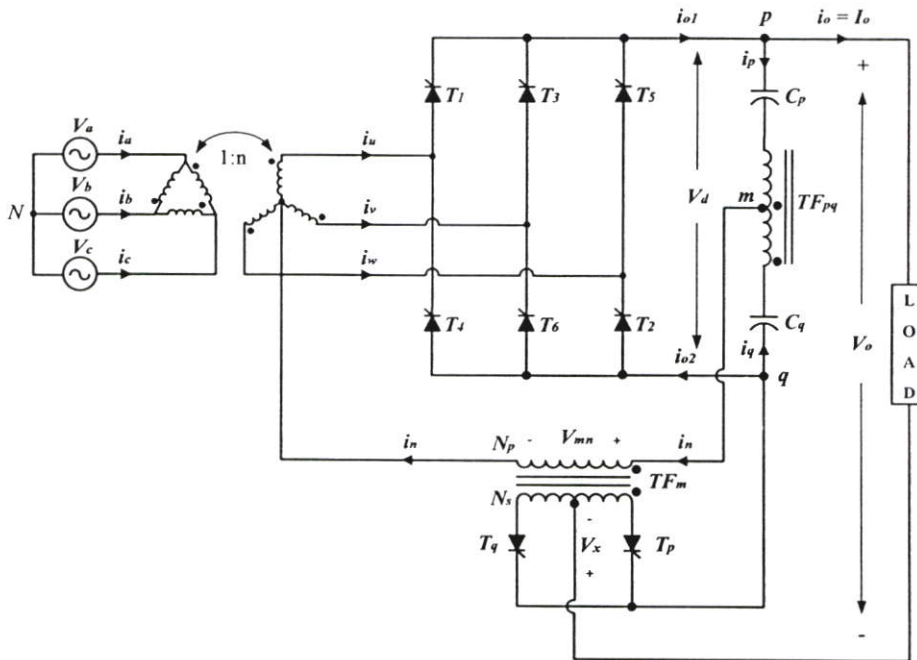
$$V_d = \frac{3\sqrt{2}V_{LL}}{\pi} \cos\alpha - \frac{3\omega L_s}{\pi} I_d \quad (3.29)$$

โดยความสัมพันธ์ของค่า Over Lap สามารถหาได้จาก

$$\cos(\alpha + u) = \cos\alpha - \frac{2\omega L_s}{\sqrt{2}V_{LL}} I_d \quad (3.30)$$

การเกิด Over Lap เมื่อมีการกำหนดการปรับมุมนำกระแสของชุดคอนเวอร์เตอร์พบว่าเมื่อปรับมุมนำกระแสมากขึ้นทำให้ค่าของเวลาหยุดนำกระแส  $u$  มีค่าลดลงจากสมการที่ (3.30) ช่วงเวลาของ Over Lap ขึ้นอยู่กับมุมนำกระแสและกระแสทางด้านไฟฟ้ากระแสตรง โดยที่  $I_d$  มีค่ามาก  $A_u$  ก็จะมีค่ามากตาม

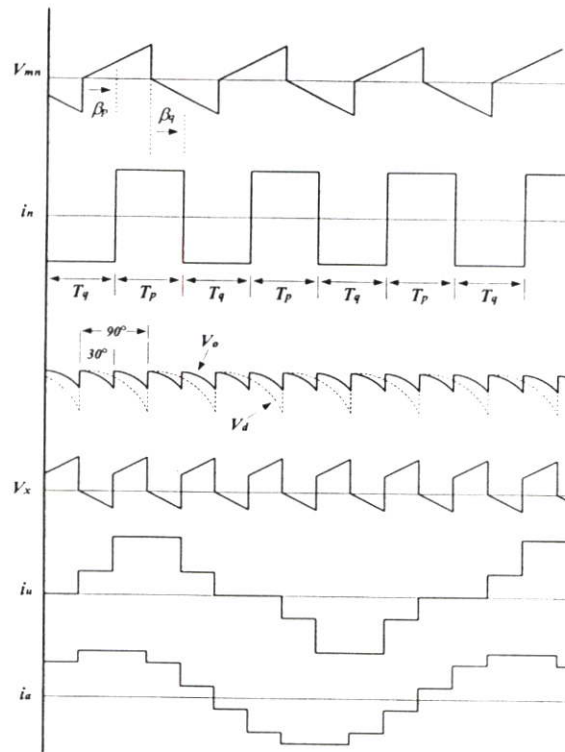
### 3.5 วงจรเรียงกระแสไฟฟ้า 3 เฟส 6 พัลส์คอนเวอร์เตอร์แบบปรับปรุง



รูปที่ 3.6 วงจรเรียงกระแส 3 เฟส 6 พัลส์คอนเวอร์เตอร์แบบปรับปรุง

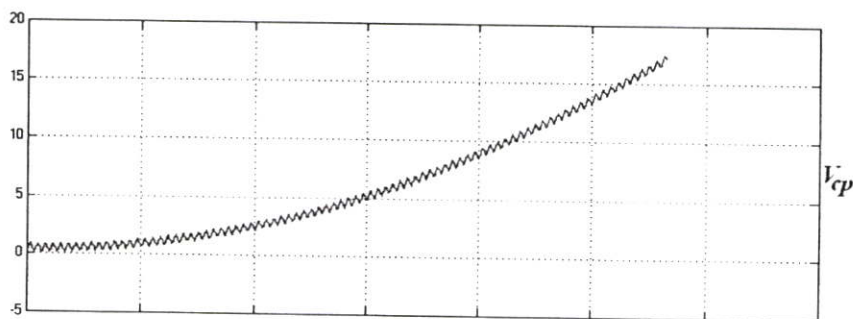
#### 3.5.1 การทำงานของวงจร

จากรูปที่ 3.6 แสดงถึงวงจรคอนเวอร์เตอร์ที่มีการปรับปรุงรูปคลื่นแรงดันเอาต์พุต และกระแสอินพุตซึ่งจะเพิ่มในส่วนของวงจรทรินสเตอร์ช่วยที่ต่ออยู่กับหม้อแปลง  $T_{Fm}$  ต่อระหว่างหม้อแปลงอินเตอร์เฟส  $T_{Fpq}$  (เพื่อช่วยในการฉีดกระแส  $i_n$ ) และกระแส  $i_n$  จะไหลกลับเข้าสู่จุดนิวตรอนของหม้อแปลงสตาร์ ส่วนของแรงดันไฟฟ้ากระแสตรง ที่  $V_d$  จะเพิ่มในส่วนของตัวเก็บประจุ  $C_p$  และ  $C_q$  เพื่อช่วยลดค่าของแรงดันรีปเปล โดยสมมติให้รีปเปลของแรงดันไฟฟ้ากระแสตรงมีค่าน้อย และกำหนดให้ค่าของค่า  $C$  ทั้ง 2 ตัวมีค่าการเก็บประจุมากๆ กระแส  $i_n$  ที่มาจากหม้อแปลงอินเตอร์เฟส  $T_{Fpq}$  เมื่อไหลเข้าสู่หม้อแปลงวงจรทรินสเตอร์ช่วย  $T_{Fm}$  จะสร้างแรงดัน  $V_{mn}$  ทางด้านขดลวดปฐมภูมิ ซึ่งจะมีลักษณะสัญญาณรูปคลื่นแรงดัน  $V_{mn}$  เป็นแรงดันพินเลื้อยจากรูปที่ 3.7 แรงดัน  $V_{mn}$  หาได้จากสมการที่ (3.34) ขณะที่กระแส  $i_n$  จะได้รูปคลื่นสัญญาณสี่เหลี่ยม หาได้จากสมการที่ (3.32) และ (3.33) เมื่อกำหนดให้มุมนำกระแสของคอนเวอร์เตอร์ทั้ง 2 ส่วน ให้เท่ากับ  $30^\circ$



รูปที่ 3.7 รูปคลื่นสัญญาณที่ได้จากวงจรตามรูปที่ 3.6 โดยกำหนดมุม  $\alpha = 30^\circ$ ,  $(\beta_r, \beta_q = 30^\circ)$

จากรูปที่ 3.7 การเกิดสัญญาณแรงดัน  $V_{mn}$  จะขึ้นอยู่กับการทำงานที่จุด 6 พัลส์คอนเวอร์เตอร์เมื่อแรงดัน  $V_d$  เมื่อเริ่มนำกระแสที่  $C_p, C_q$  และจะคลายประจุออกให้กระแส  $i_p$  และ  $i_q$  จะไหลเข้าหม้อแปลงอินเตอร์เฟสและไหลออกเข้าที่หม้อแปลงวงจรทรินสเตอร์ช่วย

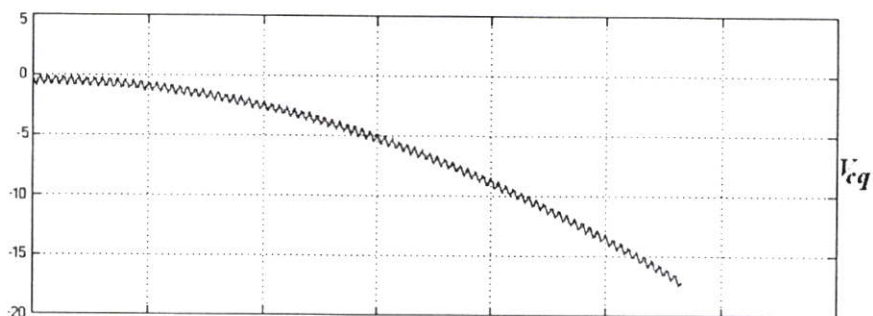


รูปที่ 3.8 รูปคลื่นสัญญาณแรงดันที่  $V_{cp}$  ทำงานในซีกบวก

เมื่อ  $T_p$  ทำงานกระแส  $i_n$  จะทำงานในช่วงการเก็บประจุบวกของแรงดัน  $V_{Cp}$  และเมื่อ  $T_q$  ทำงานกระแส  $i_n$  จะทำงานในช่วงการเก็บประจุลบของแรงดัน  $V_{Cq}$  และแรงดัน  $V_{mn}$  จะขึ้นอยู่กับช่วงของกระแส  $i_n$  ที่การทำงาน  $T_p, T_q$  สลับโหมคกันกับการทำงานที่ 6 พัลส์คอนเวอร์เตอร์

เช่นการทำงานที่  $T_6$  กับ  $T_1$  เมื่อ  $T_p$  นำกระแสจะมีกระแส  $i_p$  ไหลผ่าน  $C_p$  ที่เป็นซีกบวกและฉีดกระแส  $i_n$  ช่วงบวกเข้าหม้อแปลง  $T_{Fm}$  ที่แรงดัน  $V_{mn}$  จะเกิดแรงดันช่วงบวกในขอบขาขึ้น

และเมื่อ  $T_1$  กับ  $T_2$  เมื่อ  $T_q$  นำกระแสจะมีกระแส  $i_q$  ไหลผ่าน  $C_q$  ที่เป็นลบและฉีดกระแส  $i_n$  เข้าหุ้มแปลง  $T_{Fm}$  แรงดัน  $V_{mn}$  จะเกิดแรงดันช่วงลบในขอบข้าง



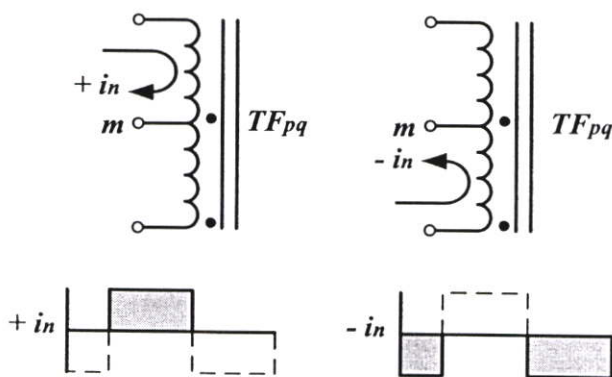
รูปที่ 3.9 รูปคลื่นสัญญาณแรงดันที่  $V_{Cq}$  ทำงานในซีกลบ

และสัญญาณกระแส  $i_n$  จะเกิดจาก  $T_p$ ,  $T_q$  ทำงานและกระแส  $i_p$ ,  $i_q$  จะไหลเข้าหุ้มแปลงอินเวอร์เตอร์เฟสและไหลออกที่จุด  $m$  ดังนั้นกระแส  $i_n$  จะเกิดทุกๆ ช่วงเมื่อกระแสไหลผ่านไทรสเตอร์  $T_p$  และ  $T_q$  จากรูปที่ 3.10 กระแส  $i_p$  และ  $i_q$  หาได้จากสมการที่ (3.31)

$$i_p = i_q = \frac{i_n}{2} \quad (3.31)$$

### 3.5.2 วงจรหม้อแปลงอินเวอร์เตอร์เฟส

เมื่อกระแส  $i_p$  และ  $i_q$  ไหลผ่านตัวเก็บประจุ  $C_p$  กับ  $C_q$  และไหลเข้าหุ้มแปลงอินเวอร์เตอร์เฟสเพื่อสร้างกระแส  $i_n$  ซึ่งจะมีลักษณะเป็นรูปคลื่นสัญญาณสี่เหลี่ยมซึ่งการเกิดกระแส  $i_n$  นั้นจะขึ้นอยู่กับสภาวะการทำงานที่ต่อเนื่องจากไทรสเตอร์  $T_p$  และ  $T_q$



รูปที่ 3.10 วงจรหม้อแปลงอินเวอร์เตอร์เฟสเมื่อมีการไหลของกระแส  $i_n$

ดังนั้นกระแส  $i_n$  จะหาค่าได้จากสมการที่ (3.32) และ (3.33)

$$i_n = I_o \frac{N_s}{N_p} \tag{3.32}$$

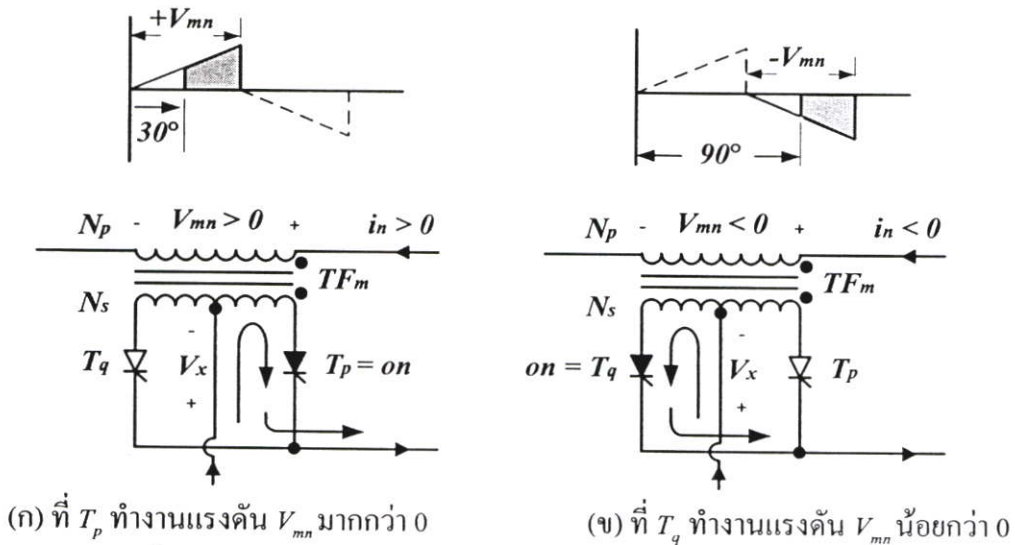
และ 
$$i_n = -I_o \frac{N_s}{N_p} \tag{3.33}$$

การคำนวณที่หม้อแปลงอินเตอร์เฟสเริ่มจากสมมติให้ค่าอินดักแตนซ์ในหม้อแปลง  $L_s$  มีค่าเท่ากับ 0 การออกแบบชุดหม้อแปลงอินเตอร์เฟสจะหาค่าแรงดันได้จากสมการที่ (3.10) ที่แรงดัน  $V_d$  จากรูปที่ 3.6 แรงดันจากจุด  $p$  ถึงจุด  $m$  แรงดัน  $V_{pm} = V_d/2$  และ  $V_{qm} = V_d/2$  จะเห็นได้ว่าแรงดันที่หม้อแปลงอินเตอร์เฟสจะเท่ากับที่แรงดัน  $V_d$  และที่หม้อแปลงช่วยไทรสเตอร์  $T_{Fm}$  จากสมการที่ (3.34) แรงดัน  $V_{mn} = V_{pn} - V_d/2$  หมายความว่าแรงดันที่จุด  $V_{pm} = V_{mn} - V_{pn}$  ดังนั้นการออกแบบจำเป็นต้องคิดที่แรงดัน  $V_{mn}$  เพื่อการไหลกลับของกระแส  $i_n$

ดังนั้นสรุปได้ว่า ที่แรงดันหม้อแปลงอินเตอร์เฟสจะเท่ากับแรงดัน  $V_{pm} + V_{qm} = V_d$  หรือเท่ากับ  $2V_d/2 + 2V_d/2$  และการหาขนาดของหม้อแปลงจะขึ้นอยู่กับสภาวะโหลด ซึ่งจะแสดงการออกแบบหม้อแปลงอินเตอร์เฟสอยู่ในบทถัดไป

### 3.5.3 วงจรช่วยไทรสเตอร์

จากมุมนำกระแสกำหนดให้  $\alpha$  แทนมุมนำกระแสของคอนเวอร์เตอร์ส่วนที่ 1 ที่การทำงาน 6 พัลส์คอนเวอร์เตอร์ และที่  $(\beta_p, \beta_q = \beta)$  แทนมุมนำกระแสของคอนเวอร์เตอร์ส่วนที่ 2 ดังนั้นมุมที่เลื่อน  $\beta_q = 30^\circ + (\alpha + \beta_p)$  หรือที่มุม  $\beta_q = 90^\circ$  เริ่มนำกระแส

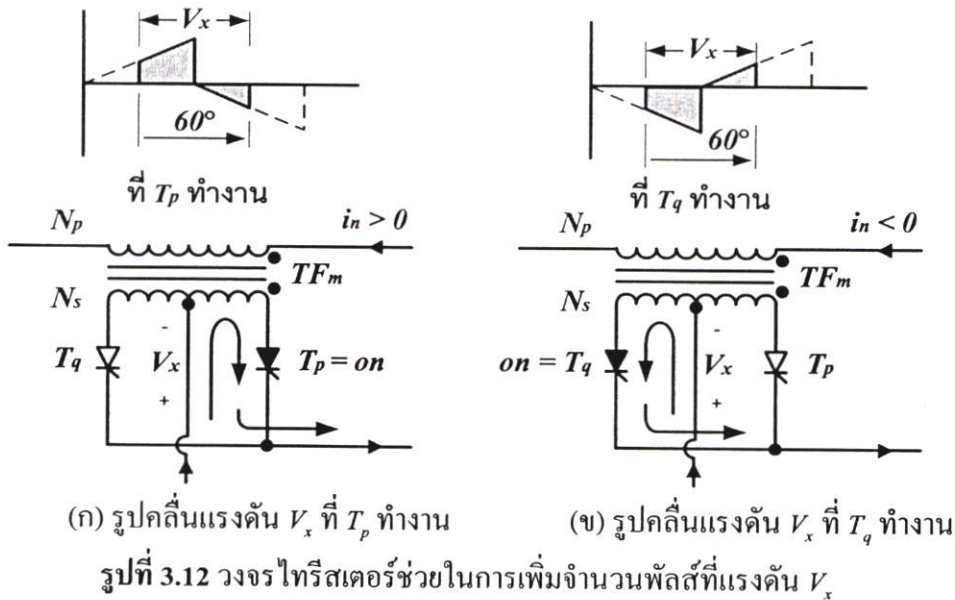


รูปที่ 3.11 การทำงานของวงจรไทรสเตอร์ช่วยในการเพิ่มจำนวนพัลส์

จากรูปที่ 3.11 (ก) ถ้าสัญญาณแรงดัน  $V_{mn}$  เป็นบวก ( $V_{mn} > 0$ ) ไทริสเตอร์  $T_p$  จะนำกระแส ส่วน  $T_q$  จะหยุดนำกระแส ขณะเดียวกันจากรูปที่ 3.11 (ข) ถ้าแรงดัน  $V_{mn}$  เป็นลบ ที่ ( $V_{mn} < 0$ ) ไทริสเตอร์  $T_q$  จะนำกระแส ส่วน  $T_p$  จะหยุดนำกระแส ดังนั้นแรงดัน  $V_x$  จะหาได้จากสมการที่ (3.34)

$$V_{mn} = V_{pn} - \frac{V_d}{2} \tag{3.34}$$

จากรูปที่ 3.12 แสดงรูปสัญญาณแรงดัน  $V_x$  เมื่อ  $T_p, T_q$  นำกระแสจะเกิดแรงดันตกคร่อมที่ ไทริสเตอร์  $T_p, T_q$  ซึ่งแรงดันที่ตกคร่อม  $V_x$  จะเกิดสัญญาณแรงดันขึ้นเมื่อ ไทริสเตอร์  $T_p$  นำกระแสอยู่ และ ไทริสเตอร์  $T_q$  หยุดนำกระแส และเมื่อ ไทริสเตอร์  $T_q$  เริ่มนำกระแส ไทริสเตอร์  $T_p$  ถูกไปอัสกลับ ทำให้หยุดนำกระแส แรงดัน  $V_x$  ที่ตกคร่อม  $T_p, T_q$  ทั้งสองจะมีค่าอยู่ที่ประมาณ 0.5-2V



จากรูปที่ 3.6 ที่จุด  $p$  และจุด  $q$  แรงดัน  $V_d$  เท่ากับ 6 พัลส์คอนเวอร์เตอร์ ดังนั้นแรงดัน  $V_o$  และ  $V_x$  จะได้จากสมการที่ (3.35) ถึง (3.37)

$$V_o = V_d + V_x \tag{3.35}$$

$T_p$  ทำงาน แรงดัน  $V_x$  เท่ากับ

$$V_x = V_{mn} \frac{N_s}{N_p} \tag{3.36}$$

$T_q$  ทำงาน แรงดัน  $V_x$  เท่ากับ

$$V_x = -V_{mn} \frac{N_s}{N_p} \tag{3.37}$$

สำหรับกระแสไฟฟ้า  $i_n$  ทางด้านหม้อแปลงแบบ เคลด้า/สตาร์ สามารถวิเคราะห์หาค่ากระแสที่ไหลรวม  $i_n$  ได้จากสมการที่ (3.38) ถึง (3.40) ขณะให้  $n$  คืออัตราส่วนระหว่างหม้อแปลง เคลด้า/สตาร์

$$i_{ab} = n.i_u + \frac{i_n}{3} \quad (3.38)$$

$$i_{bc} = n.i_v + \frac{i_n}{3} \quad (3.39)$$

$$i_{ca} = n.i_w + \frac{i_n}{3} \quad (3.40)$$

ดังนั้น  $i_a$

$$i_a = i_{ab} - i_{ca} \quad (3.41)$$

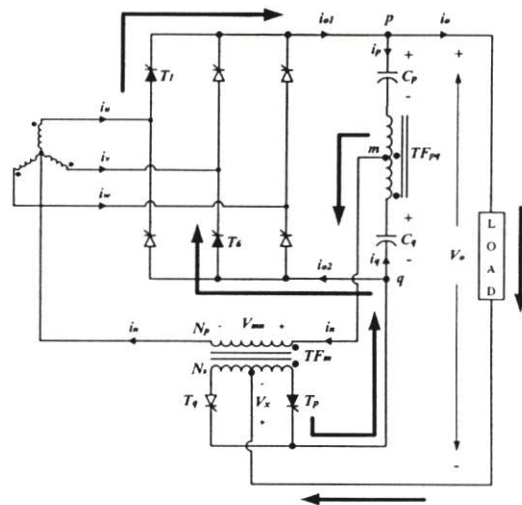
กระแสทางเอาต์พุต  $i_{o1}$  และ  $i_{o2}$  ที่เชื่อมต่อระหว่างคอนเวอร์เตอร์ส่วนที่ 1 และคอนเวอร์เตอร์ส่วนที่ 2 ได้จากสมการที่ (3.42) และ (3.43)

$$i_{o1} = I_o + \frac{i_n}{2} \quad (3.42)$$

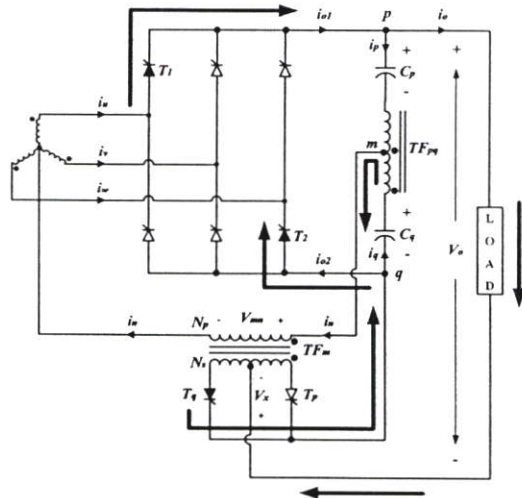
$$i_{o2} = I_o - \frac{i_n}{2} \quad (3.43)$$

ส่วนทางด้านของกระแสทางด้านอินพุตจะขึ้นอยู่กับ การฉีดกระแส  $i_n$  และอัตราส่วน  $a$  ของหม้อแปลงวงจรทรานซิสเตอร์ช่วย ที่  $a = (N_p/N_s)$  กำหนดที่ 1:1:1 เนื่องจากแรงดันเข้าให้เท่ากับแรงดันทางด้านออกก่อน เพื่อให้เฟสสมดุลและเป็นการไม่ให้ขนาดของแรงดันพัลส์เอาต์พุตเกินการผิดเพี้ยนไป ส่วนของอัตราส่วนหม้อแปลงอินเตอร์เฟส  $k = (N_{ip}/N_{is})$  ก็จะกำหนดที่ 1:1 เช่นกัน

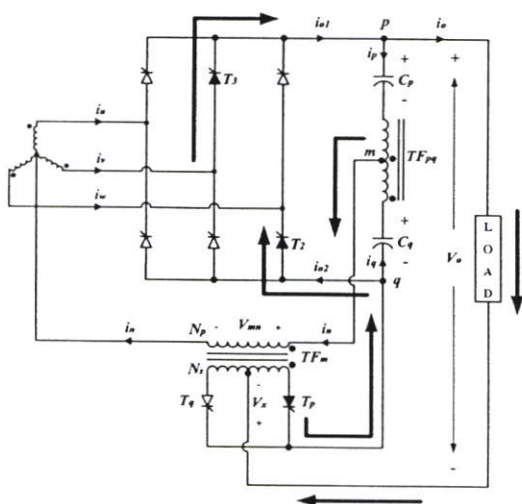
เมื่อให้คอนเวอร์เตอร์ส่วนที่ 1 มุมนำกระแส  $\alpha = 30^\circ$  การคิดมุมนำกระแสคอนเวอร์เตอร์ในส่วนที่ 2 มุมนำกระแส  $\beta$  จะได้ว่า  $\beta_p, \beta_q = 30^\circ$  ดังนั้นมุมที่เลื่อน  $\beta_q = 30^\circ + (\alpha + \beta_p)$  มุมที่เลื่อนไปจะได้  $\beta_q = 90^\circ$



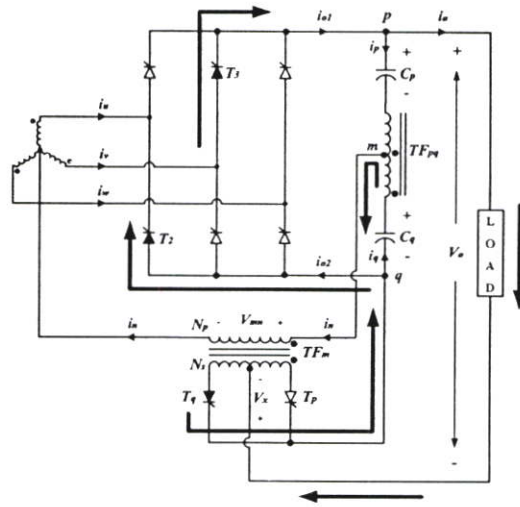
รูปที่ 3.13 แสดงทิศทางการไหลของกระแส Step 1 ที่  $T_1$ ,  $T_4$  และ  $T_1$  ที่แรงดัน  $V_{mn}$  เป็นบวก ( $V_{mn} > 0$ )



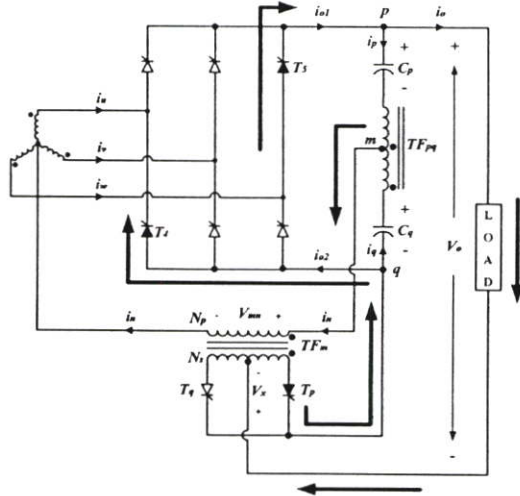
รูปที่ 3.14 แสดงทิศทางการไหลของกระแส Step 2 ที่  $T_1$ ,  $T_q$  และ  $T_2$  ที่แรงดัน  $V_{mn}$  เป็นลบ ( $V_{mn} < 0$ )



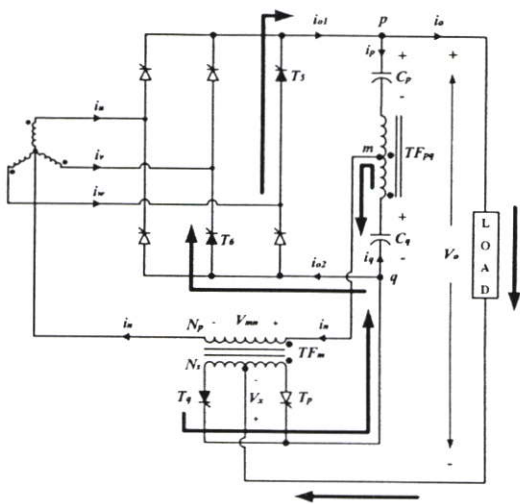
รูปที่ 3.15 แสดงทิศทางการไหลของกระแส Step 3 ที่  $T_2$ ,  $T_p$  และ  $T_3$  ที่แรงดัน  $V_{mn}$  เป็นบวก ( $V_{mn} > 0$ )



รูปที่ 3.16 แสดงทิศทางการไหลของกระแส Step 4 ที่  $T_3$ ,  $T_4$  และ  $T_4$  ที่แรงดัน  $V_{mn}$  เป็นลบ ( $V_{mn} < 0$ )



รูปที่ 3.17 แสดงทิศทางการไหลของกระแส Step 5 ที่  $T_4$ ,  $T_p$  และ  $T_5$  ที่แรงดัน  $V_{mn}$  เป็นบวก ( $V_{mn} > 0$ )



รูปที่ 3.18 แสดงทิศทางการไหลของกระแส Step 6 ที่  $T_5$ ,  $T_q$  และ  $T_6$  ที่แรงดัน  $V_{mn}$  เป็นลบ ( $V_{mn} < 0$ )

จากรูปที่ 3.13 ถึง 3.18 จะเห็นว่าให้การทำงานเป็น Step เพื่อให้เข้าใจง่ายขึ้น จากรูปที่ 3.13 การทำงานที่ Step 1 เมื่อการทำงานตามวงจรเรียงกระแส 3 เฟส 6 พัลส์คอนเวอร์เตอร์ที่  $T_0, T_1$  นำกระแสจะมีกระแสไหลออก  $i_{o1}$  จะไหลเข้าจุด  $p$  และถูกแบ่งกระแสที่  $i_p$  และ  $i_o$  เมื่อ  $i_o$  ไหลเข้าทางด้านขั้วบวกของโหลด และไหลออกที่ขั้วลบโดยจะไหลเข้าทางหม้อแปลงวงจรทรานซิสเตอร์ช่วย เมื่อแรงดัน  $V_{mn}$  เป็นแรงดันทางด้านบวกก็จะให้  $T_p$  นำกระแสจะมีกระแสไหลเข้าจุด  $q$  และก็จะถูกแบ่งกระแสเป็น  $i_{o2}$  และ  $i_q$  เพื่อที่จะสร้างสัญญาณพัลส์เพิ่มใน Step 2 เมื่อ  $T_1, T_2$  นำกระแสก็จะมีกระแสไหลออก  $i_{o1}$  ไหลเข้าจุด  $p$  และถูกแบ่งกระแสที่  $i_p$  เมื่อ  $i_o$  ไหลเข้าทางด้านขั้วบวกของโหลด และไหลออกที่ขั้วลบโดยให้ไหลเข้าทางหม้อแปลงวงจรช่วยทรานซิสเตอร์ เมื่อแรงดัน  $V_{mn}$  เป็นแรงดันทางด้านลบก็จะให้  $T_q$  นำกระแสเพื่อที่จะสร้างพัลส์เพิ่มนั่นเอง ดังนั้นการทำงานใน Step ต่อไปก็จะ มีลักษณะการทำงานคล้ายๆ กัน

### 3.6 สรุปการทำงานของวงจร

จากวงจรเรียงกระแสไฟฟ้า 6 พัลส์คอนเวอร์เตอร์แบบปรับปรุงจะเห็นว่าจะมีส่วนที่สำคัญของวงจรก็คือชุดหม้อแปลงอินเตอร์เฟส ที่เชื่อมต่ออยู่ระหว่างวงจรเรียงกระแส 6 พัลส์คอนเวอร์เตอร์กับวงจรช่วยทรานซิสเตอร์ เพื่อการเพิ่มจำนวนพัลส์การออกแบบหม้อแปลงอินเตอร์เฟสมีส่วนสำคัญมาก เพื่อไม่ให้เป็นการสิ้นเปลืองและมีขนาดที่เหมาะสม ซึ่งได้แสดงการออกแบบและการวิเคราะห์หาค่าที่เหมาะสมจากหัวข้อที่ 3.5.3 การออกแบบให้หม้อแปลงอินเตอร์เฟสให้มีขนาดใหญ่เกินไปจะทำให้มีค่าใช้จ่ายสูงและเกิดผลกระทบของ  $L_s$  และเช่นเดียวกันถ้าออกแบบให้มีขนาดเล็กเกินไปจะทำให้หม้อแปลงอินเตอร์เฟสเกิดการอิ่มตัวเร็วเกินไป อาจจะทำให้เกิดความเสียหายได้ ส่วนการหาค่าได้อธิบายอยู่ในบทถัดไป

## บทที่ 4

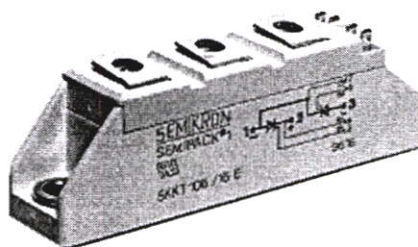
### ออกแบบและควบคุมการทำงาน

#### 4.1 บทนำ

ในการควบคุมการทำงานของวงจรเรียงกระแส 3 เฟสที่ใช้ไทรสเตอร์นำกระแสจำเป็นต้องปรับมุมนำกระแสให้กับชุดของคอนเวอร์เตอร์ ซึ่งในการสร้างชุด 6 พัลส์คอนเวอร์เตอร์แบบปรับปรุงใหม่ ที่ใช้ชุดหม้อแปลงอินเตอร์เฟสในการเพิ่มจำนวนพัลส์ร่วมกับวงจรไทรสเตอร์ช่วยในระบบไฟฟ้ากระแสตรงนั้น ได้มีการนำเสนอการออกแบบและการควบคุมดังนี้

#### 4.2 การควบคุมมุมนำกระแส

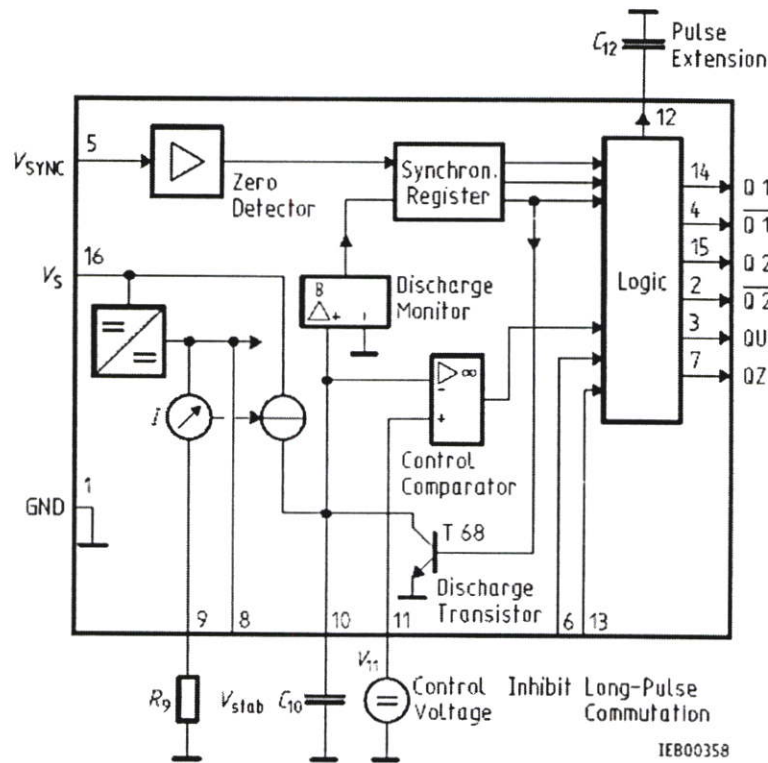
ในการควบคุมการนำกระแสของชุด 6 พัลส์คอนเวอร์เตอร์แบบปรับปรุงใหม่ ที่ใช้ชุดหม้อแปลงอินเตอร์เฟสในการเพิ่มจำนวนพัลส์ อุปกรณ์ที่ใช้เป็นไทรสเตอร์ MODULE รุ่น SKKT 27/12E จากรูปที่ 4.1 พิกัดแรงดัน 1300V และกระแส 32A ที่พิกัดซึ่งมีรายละเอียดของไทรสเตอร์อยู่ในภาคผนวก ข



รูปที่ 4.1 อุปกรณ์ไทรสเตอร์เบอร์ SKKT 27/12E

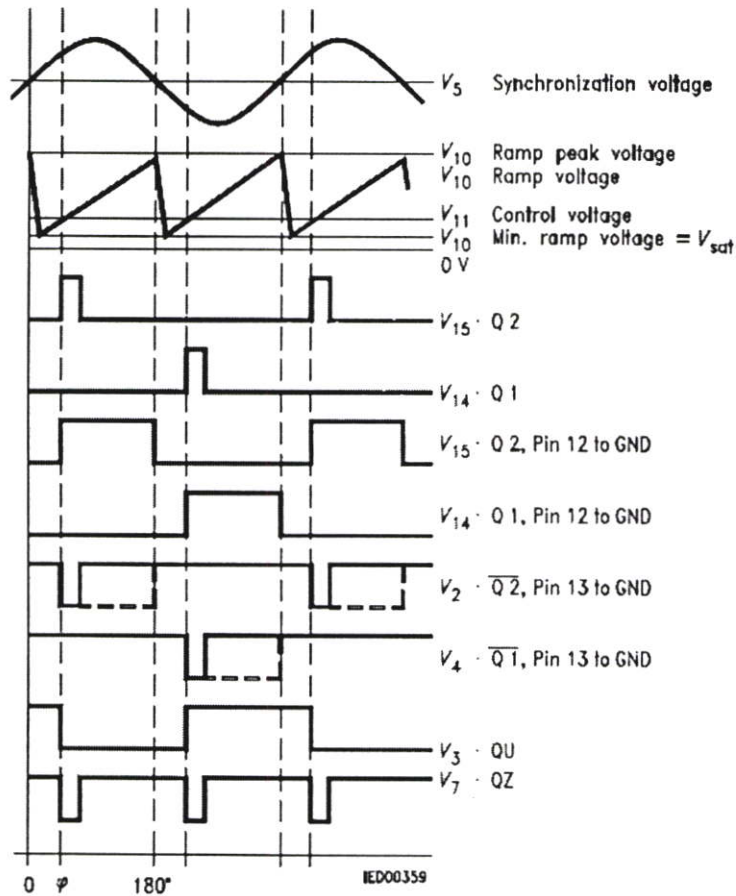
และได้ใช้ IC สำเร็จรูปเบอร์ TCA785 เป็นชุดกำเนิดสัญญาณพัลส์เพื่อจุดชนวนอุปกรณ์ไทรสเตอร์ให้นำกระแสซึ่งสามารถปรับมุมนำกระแสของ SCR ได้โดยการปรับแรงดันควบคุมดีซีที่ขา 11 ของ IC ตามรูปที่ 4.2

โดยหลักการสร้างสัญญาณทริกเกจของ SCR เริ่มจากการทำให้ SCR ในวงจรคอนเวอร์เตอร์มีลำดับการทำงานให้ถูกต้องตามสัญญาณแรงดันไฟฟ้ากระแสสลับทางด้านอินพุท โดยนำสัญญาณไฟฟ้ากระแสสลับที่ได้มาลดทอน ให้เท่ากับ  $\pm 0.7 \text{ VAC}$  เข้าที่ขา 5 ของ IC ตามรูปที่ 4.2



รูปที่ 4.2 วงจรการทำงานภายในของ IC TAC 785

จากนั้นสัญญาณที่ได้จะผ่านวงจรตรวจจับแรงดันศูนย์ไปยังส่วนของวงจรซิงโครไนซ์จิสเตอร์ ซึ่งควบคุมการสร้างสัญญาณแรมพ์ที่เกิดจากการเก็บประจุของ  $C_{10}$  ด้วยกระแสคงที่ซึ่งกำหนดความชันของสัญญาณแรมพ์โดยการปรับตัวต้านทาน  $R_9$  แล้วนำไปเปรียบเทียบกับแรงดันไฟฟ้ากระแสตรงที่ขา 11 จากนั้นสัญญาณที่ขา 10 และขา 11 จะถูกนำไปสร้างสัญญาณพัลส์เพื่อนำไปจุดชนวนไทรสเตอร์ โดยที่สัญญาณพัลส์ที่สร้างขึ้นจะถูกส่งออกที่ขา 14 และขา 15 ของไอซีและมีมุมต่างเฟสกัน  $180^\circ$  ตามรูปที่ 4.3 ภาคผนวก ข



รูปที่ 4.3 สัญญาณที่ขาต่างๆ ของ TCA 785

ในการควบคุมการนำกระแสของ 6 พัลส์คอนเวอร์เตอร์แบบที่มีการปรับปรุงจะใช้ IC TCA785 ทั้งหมด 4 ชุดและทั้งหมดจะต้องเข้าหือแปลงสัญญาณกระตุ้นเพื่อเพิ่มกระในการจุดชนวนไทรสเตอร์ โดยจะใช้หือแปลงกระตุ้นสัญญาณเบอร์ SKPT 27 ตามรูปที่ 4.4 สามารถเลือกขนาดได้โดยดูได้จากภาคผนวก ข

#### Pulse Transformers SKPT 27



รูปที่ 4.4 หือแปลงกระตุ้นสัญญาณ

### 4.3 การออกแบบชุดหม้อแปลงอินเตอร์เฟส

ออกแบบหม้อแปลงอินเตอร์เฟสจากหัวข้อ 3.5.3 และการออกแบบหม้อแปลงจากสมการที่ 2.21 เมื่อ  $a$  เท่ากับอัตราส่วนของหม้อแปลงที่  $a \cong \frac{V_1}{V_2} \cong \frac{N_1}{N_2} \cong \frac{I_2}{I_1}$  ขณะที่แรงดัน  $V_d$  หาได้จาก  $V_d = 1.35V_{LL} \cdot \cos(\alpha)$  จากสมการที่ 3.10 โดยที่กำหนดมุมนำกระแสให้กับชุดวงจรเรียงกระแส 3 เฟส 6 พัลส์คอนเวอร์เตอร์ที่มุม  $\alpha = 30^\circ$  โดยสมมติให้ค่าพารามิเตอร์ที่แรงดันด้านเข้าเท่ากับ  $V_{LL} = 155V$ , ที่โหลดเท่ากับ 400W จากสมการ  $V_d$  แทนค่า  $V_{LL}$  จะได้ว่า

$$V_d = 1.35 \times 155 \times \cos(30^\circ)$$

$$V_d = 181V$$

ที่แรงดันที่หม้อแปลงอินเตอร์เฟส  $V_{TFpq} = V_d = V_{pq} = 181V$  ค่าของกระแส  $I$  จากโหลด 400W

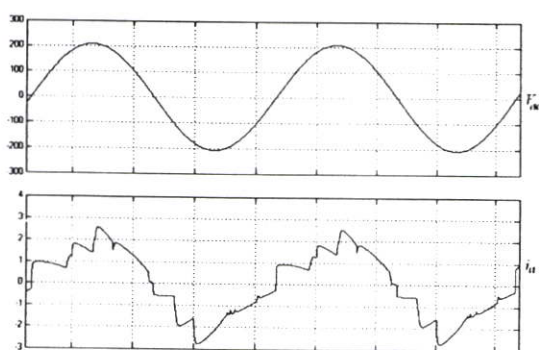
จะได้ว่า

$$I = 400/181 = 2.2A$$

ดังนั้นพิกัดของหม้อแปลงอินเตอร์เฟสจะเท่ากับที่แรงดันทางเข้าของหม้อแปลงที่ 181V โดยออกแบบที่ 200V และขนาดของกระแสเท่ากับ 2.2A จากการที่กำหนดให้แรงดันที่หม้อแปลงอินเตอร์เฟสมีภาวะที่เฟสสมดุล

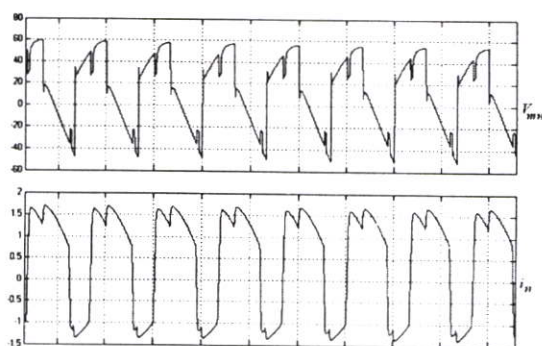
#### 4.3.1 การทดสอบหม้อแปลงอินเตอร์เฟสเมื่อเกิดสภาวะไม่สมดุลที่ $k = 0.5:1$

ทำการทดสอบด้วยการจำลองระบบเมื่อกำหนดให้มุมนำกระแส  $\alpha = 30^\circ$ , ( $\beta_p, \beta_q = 30^\circ$ ) ให้กับคอนเวอร์เตอร์โดยที่กำหนดให้ค่าพารามิเตอร์  $V_{LL} = 155V$ , โหลด = 400W ให้อัตราส่วนของหม้อแปลงวงจรช่วยไทรสเตอร์เท่ากับ  $a = 1:1:1$



(ก) รูปสัญญาณ  $V_{ac}, i_a$  ที่ได้จากการจำลอง

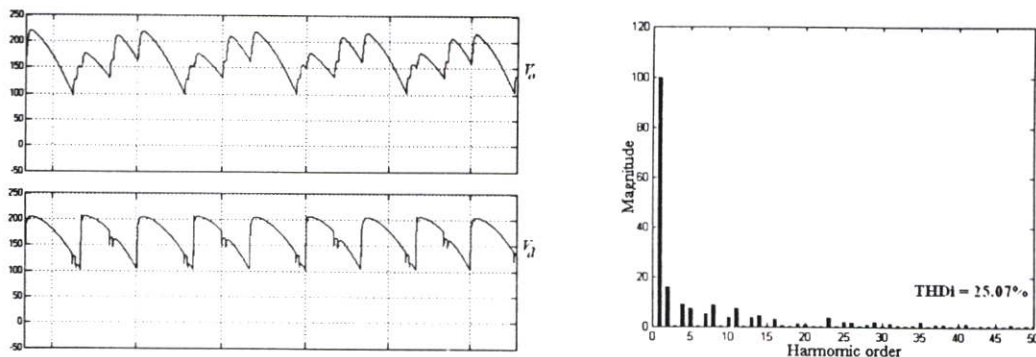
$$V_{ac} = 100V/div, i_a = 1A/div$$



(ข) รูปสัญญาณ  $V_{mn}, i_n$  ที่ได้จากการจำลอง

$$V_{mn} = 20V/div, i_n = 0.5A/div$$

รูปที่ 4.5 รูปสัญญาณ  $V_{ac}, i_a, V_{mn}$  และ  $i_n$  เมื่อเกิดเฟสไม่สมดุลที่แรงดัน  $V_{TFp}$  มีอัตราส่วนที่น้อยกว่า



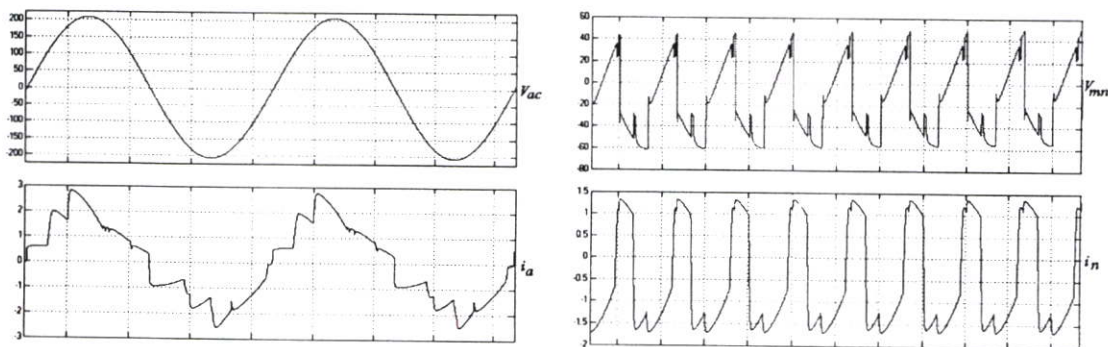
(ก) รูปสัญญาณ  $V_o, V_d$  ที่ได้จากการจำลอง (ข) ค่า THDi ของกระแส  $i_d$  ได้จากการจำลอง

$$V_o = 50V/div, V_d = 50V/div$$

รูปที่ 4.6 รูปสัญญาณ  $V_o, V_d$  และ THDi เมื่อเกิดเฟสไม่สมดุลที่แรงดัน  $V_{TFp}$  มีอัตราส่วนที่น้อยกว่า

จากการจำลองระบบ เมื่อมีการกำหนดให้อัตราส่วนของหม้อแปลงอินเตอร์เฟสที่เฟสไม่สมดุลจากรูปที่ 4.5 (ก) และ รูปที่ 4.6 (ข) กระแส  $i_d$  จะผิดเพี้ยนไปจากคลื่นรูปไซน์มากทำให้เกินฮาร์มอนิกสูง และจากรูปที่ 4.5 (ข) การปรับมุนำกระแสที่วงจรช่วยไทรสเตอร์ไม่สามารถทำได้เนื่องจากแรงดัน  $V_{mn}$  มีการแบ่งแรงดันที่ไม่เท่ากันและการฉีดกระแส  $i_n$  ที่ไม่สมดุล ส่วนแรงดันเอาต์พุตจะเกิดรีเปิ้ลที่สูงขึ้นและไม่ราบเรียบดูได้จากรูปที่ 4.6 (ก)

#### 4.3.2 การทดสอบหม้อแปลงอินเตอร์เฟสเมื่อเกิดสภาวะไม่สมดุลที่ $k = 1:0.5$



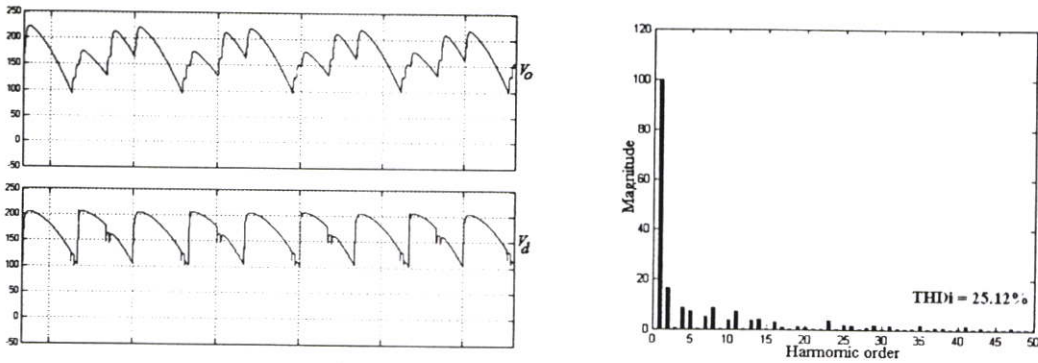
(ก) รูปสัญญาณ  $V_{ac}, i_a$  ที่ได้จากการจำลอง

$$V_{ac} = 50V/div, i_a = 1A/div$$

(ข) รูปสัญญาณ  $V_{mn}, i_n$  ที่ได้จากการจำลอง

$$V_{mn} = 20V/div, i_n = 0.5A/div$$

รูปที่ 4.7 รูปสัญญาณ  $V_{ac}, i_a, V_{mn}$  และ  $i_n$  เมื่อเกิดเฟสไม่สมดุลที่แรงดัน  $V_{TFq}$  มีอัตราส่วนที่น้อยกว่า



(ก) รูปสัญญาณ  $V_o$ ,  $V_d$  ที่ได้จากการจำลอง (ข) ค่า THDi ของกระแส  $i_d$  ได้จากการจำลอง

$$V_o = 50\text{V/div}, V_d = 50\text{V/div}$$

รูปที่ 4.8 รูปสัญญาณ  $V_o$ ,  $V_d$  และ THDi เมื่อเกิดเฟสไม่สมดุลที่แรงดัน  $V_{TFq}$  มีอัตราส่วนที่น้อยกว่า

จากการจำลองจากรูปที่ 4.7 และ 4.8 เมื่อกำหนดให้  $k = 1:0.5$  ที่แรงดัน  $V_q$  มีค่าอัตราส่วนที่น้อยกว่า  $V_p$  จะเห็นว่าการทำงานจะคล้ายกันเพียงแต่สัญญาณรูปคลื่น  $V_{mn}$ ,  $i_n$  และ  $i_d$  จากรูปที่ 4.5 และ 4.7 จะกลับกัน แต่ที่แรงดันเอาต์พุต  $V_o$  จะมีค่าเท่ากัน

ดังนั้นจึงสรุปได้ว่าจากการจำลองระบบในรูปที่ 4.5 ถึง 4.8 ได้แสดงถึงการทำงานที่หม้อแปลงอินเตอร์เฟสเมื่อเฟสไม่สมดุลจะมีผลกระทบกับการทำงานที่ 6 พัลส์คอนเวอร์เตอร์แบบปรับปรุ้ง ดังนั้นการออกแบบอัตราส่วน  $k$  ที่หม้อแปลงอินเตอร์เฟส จะต้องออกแบบให้มีขนาดของอัตราส่วนที่เท่ากัน  $k = 1:1$  เพื่อให้เกิดเฟสสมดุลและการแบ่งแรงดันระหว่างหม้อแปลงต้องเท่ากัน

#### 4.4 การออกแบบชุดหม้อแปลงวงจรช่วยไทรสเตอร์

จากหัวข้อ 4.3 เมื่อนำค่ามาคำนวณหาค่าการออกแบบหม้อแปลงวงจรช่วยไทรสเตอร์สามารถที่จะนำค่าแรงดัน  $V_p$ ,  $V_q$  ที่ไหลออกจากหม้อแปลงอินเตอร์เฟสจะได้ว่า

$$V_p = V_d / 2 \quad (4.1)$$

$$\text{และ } V_q \quad V_q = V_d / 2 \quad (4.2)$$

ที่หม้อแปลงวงจรไทรสเตอร์จากแรงดัน  $V_{pm}$ ,  $V_{qm}$  มีการแบ่งแรงดันให้เป็นเฟสสมดุล  $V_p$  และ  $V_q$  จากสมการที่ (4.1) และ (4.2) จะได้ว่า

$$V_p, V_q = 181/2 = 90.5\text{V}$$

จาก  $V_p$  และ  $V_q$  เท่ากับ 90.5V ดังนั้นการออกแบบให้ค่าแรงดันด้านเข้าชุดหม้อแปลงวงจรช่วยไทรสเตอร์  $V_{mn}$  ให้มีค่าประมาณ 100V การหาค่าของกระแสขึ้นอยู่กับสภาวะโหลด จากการที่

กำหนดให้โหลดมีค่าเท่ากัน ดังนั้นค่าของกระแสที่หม้อแปลงวงจรช่วยไทรสเตอร์จะมีค่าเท่ากับค่าของหม้อแปลงอินเตอร์เฟส การหาอัตราส่วนที่หม้อแปลงวงจรช่วยไทรสเตอร์ช่วยก็จะออกแบบเช่นเดียวกันกับหม้อแปลงอินเตอร์เฟสที่สภาวะเฟสสมดุล อัตราส่วน  $a$  ที่แรงดันทางด้านออกที่หม้อแปลงวงจรช่วยไทรสเตอร์จะต้องมีขนาดอัตราส่วนที่เท่ากัน ซึ่งได้แสดงผลการทดลองในบทถัดไป

#### 4.5 สรุป

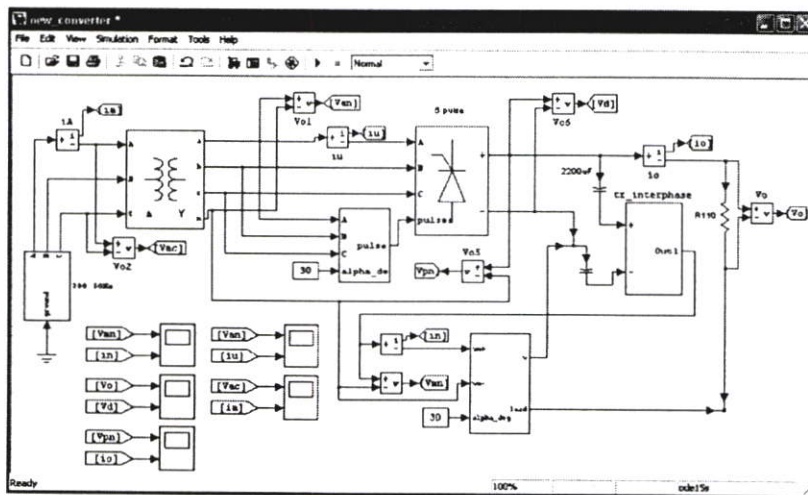
จากการออกแบบหม้อแปลงอินเตอร์เฟสจะเห็นว่าที่แรงดันอินพุท จะหาค่าได้จากแรงดัน  $V_d$  และจากรูปที่ 4.5 ถึง 4.8 จะเห็นว่าการออกแบบเฟสไม่สมดุลนั้นมีผลกระทบต่อระบบจึงไม่สามารถนำมาใช้งานได้จึงจำเป็นต้องออกแบบให้อัตราส่วน  $k$  มีค่าเท่ากัน  $k = 1:1$  และการออกแบบหม้อแปลงวงจรช่วยไทรสเตอร์หาค่าได้ที่  $V_d/2$  ซึ่งผลกระทบที่เกิดจากอัตราส่วน  $a$  ของหม้อแปลงวงจรช่วยไทรสเตอร์ได้แสดงอยู่ในบทถัดไป ส่วนของกระแสที่หม้อแปลงจะขึ้นอยู่กับสภาวะโหลด จากหัวข้อที่ 4.3 สามารถนำไปหาค่าพิกัดของไทรสเตอร์

## บทที่ 5

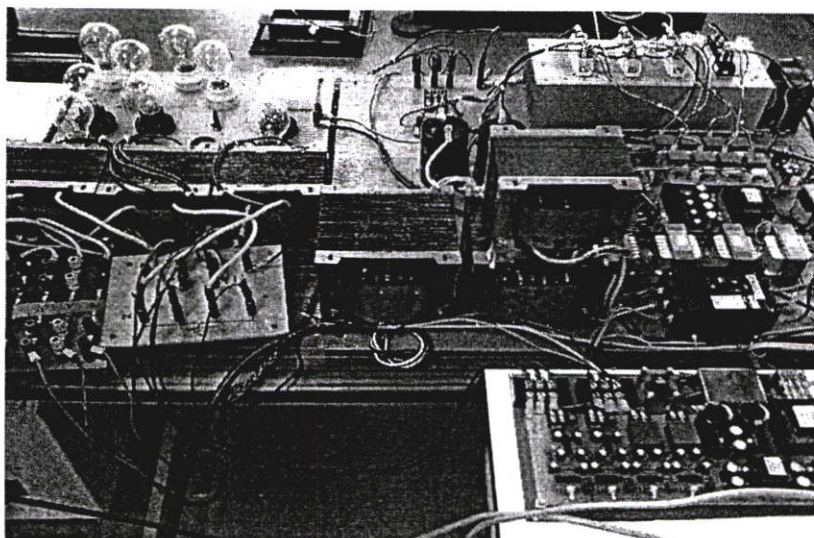
### วิธีการทดสอบและผลการทดสอบ

#### 5.1 บทนำ

ในการวิเคราะห์ระบบจะใช้โปรแกรม MATLAB/SIMULINK ประมวลผลเพื่อทำการเปรียบเทียบการทำงานของระบบทดสอบจริงกับการจำลองระบบ เพื่อดูความแตกต่างของสัญญาณ โดยนำวงจรเรียงกระแส เอชซี/ดีซี 6 พัลส์คอนเวอร์เตอร์แบบควบคุมเฟสที่มีการปรับปรุงมาทำการทดสอบโดยการกำหนดค่าพารามิเตอร์ของอุปกรณ์ต่างๆ ให้มีค่าเท่ากัน



รูปที่ 5.1 การจำลองระบบโดยใช้โปรแกรม MATLAB/SIMULINK



รูปที่ 5.2 เครื่องค้นแบบที่ใช้ในการทดสอบ

## 5.2 การทดสอบหม้อแปลงวงจรช่วยไตรสเตอร์โดยการกำหนดค่าพารามิเตอร์

โดยได้กำหนดค่าพารามิเตอร์ดังนี้  $V_{LL} = 155V$ , โหลดหลอดไฟ 4 หลอดหลอดละ 100W  $C_p, C_q = 2200 \mu F$  และการกำหนดมุมนำกระแสที่แตกต่างกัน โดยที่ค่าอัตราส่วนของหม้อแปลง  $a$  เป็นค่าอัตราส่วนที่หม้อแปลงวงจรช่วยไตรสเตอร์และ  $k$  เป็นค่าอัตราส่วนที่หม้อแปลงอินเตอร์เฟส การหาอัตราส่วนหม้อแปลงอินเตอร์เฟสซึ่งได้อธิบายไว้ในบทที่ 4 ส่วนในบทนี้จะทำการทดสอบที่หม้อแปลงวงจรช่วยไตรสเตอร์ที่อัตราส่วนทางด้านแรงดันเข้า และทางด้านออกที่ไม่เท่ากัน แต่แรงดันที่แทปหม้อแปลงทางด้านแรงดันออกให้มีค่าที่เท่ากันเพื่อให้เฟสสมดุล จากตารางที่ 5.1 และทดสอบการปรับเปลี่ยนมุมนำกระแสให้กับคอนเวอร์เตอร์จากตารางที่ 5.2 โดยการต่อโหลดทางด้านระบบไฟฟ้ากระแสตรงเป็นค่าความต้านทาน (โหลดไฟ) ตามรูปที่ 5.2 ที่พิกัดกระแส  $i_o$  มีค่าไม่เกิน 2A โดยมีลำดับขั้นการทดสอบดังนี้

1. ทดสอบการเปลี่ยนแปลงอัตราส่วนหม้อแปลงไตรสเตอร์ช่วยตารางที่ 5.1
2. กำหนดมุมนำกระแสตามตารางที่ 5.2
3. ปรับแรงดันอินพุทให้ได้พิกัด  $V_{LL} = 155V$  และทำการบันทึกสัญญาณ
4. บันทึกค่า %THDi

ตารางที่ 5.1 อัตราส่วนหม้อแปลงไตรสเตอร์ช่วย ( $a$ )

หม้อแปลงช่วยไตรสเตอร์ ( $a$ )	
1	0.5:0.5
1	1:1
1	1.5:1.5

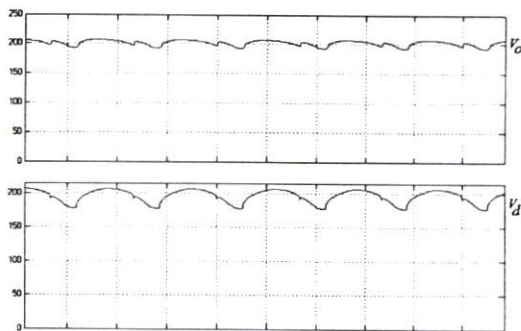
ทำการทดสอบที่ชุดหม้อแปลงไตรสเตอร์ที่ อัตราส่วนตามตารางที่ 5.1 โดยกำหนดให้ อัตราส่วนหม้อแปลงอินเตอร์เฟส ( $k$ ) จะให้ค่าเท่ากับ 1:1 จากการวิเคราะห์ในบทที่ 4 ให้ ( $\beta = \beta_p = \beta_q$ )

ตารางที่ 5.2 ค่ามุมนำกระแสของวงจรเรียงกระแส 6 พัลส์คอนเวอร์เตอร์แบบปรับปรุง

มุมนำกระแส ( $\alpha$ )	มุมนำกระแส ( $\beta$ )
0°	0°
0°	30°
30°	0°
30°	30°

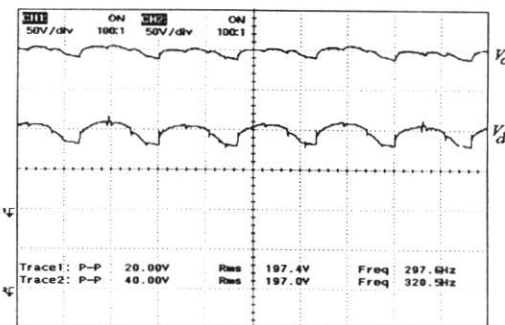
### 5.3 การทดสอบที่อัตราส่วนหม้อแปลง $a = 1:0.5:0.5, k = 1:1$

#### 5.3.1 กำหนดให้มุมนำกระแส $\alpha = 0^\circ, \beta = 0^\circ$



(ก) รูปสัญญาณ  $V_o, V_d$  ที่ได้จากการจำลอง

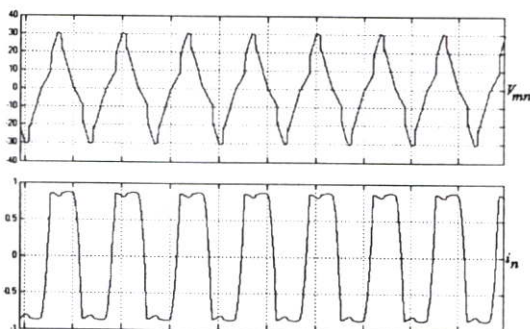
$$V_o = 50\text{V/div}, V_d = 50\text{V/div}$$



(ข) รูปสัญญาณ  $V_o, V_d$  ที่ได้จากการทดลอง

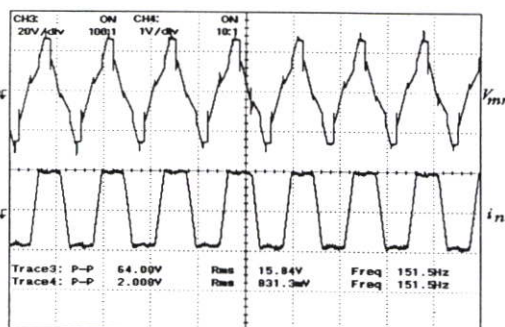
$$V_o = 50\text{V/div}, V_d = 50\text{V/div}$$

รูปที่ 5.3 รูปสัญญาณ  $V_o, V_d$  ที่มีการกำหนดมุมนำกระแส  $\alpha = 0^\circ, \beta = 0^\circ$  ที่  $a = 1:0.5:0.5$



(ก) รูปสัญญาณ  $V_{mn}, i_n$  ที่ได้จากการจำลอง

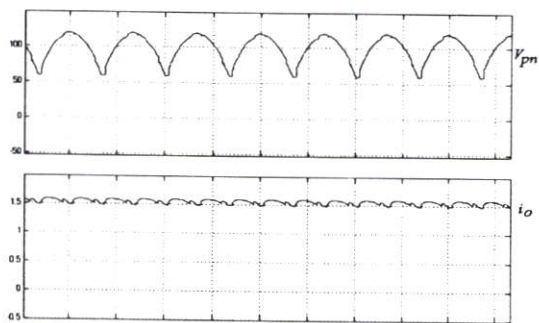
$$V_{mn} = 10\text{V/div}, i_n = 0.5\text{A/div}$$



(ข) รูปสัญญาณ  $V_{mn}, i_n$  ที่ได้จากการทดลอง

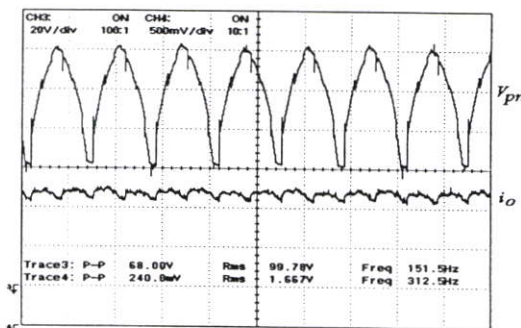
$$V_{mn} = 20\text{V/div}, i_n = 1\text{A/div}$$

รูปที่ 5.4 รูปสัญญาณ  $V_{mn}, i_n$  ที่มีการกำหนดมุมนำกระแส  $\alpha = 0^\circ, \beta = 0^\circ$  ที่  $a = 1:0.5:0.5$



(ก) รูปสัญญาณ  $V_{pn}, i_o$  ที่ได้จากการจำลอง

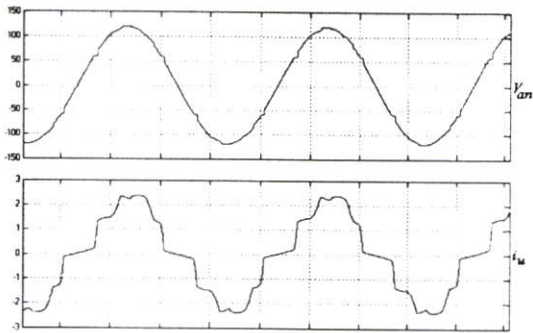
$$V_{pn} = 50\text{V/div}, i_o = 0.5\text{A/div}$$



(ข) รูปสัญญาณ  $V_{pn}, i_o$  ที่ได้จากการทดลอง

$$V_{pn} = 20\text{V/div}, i_o = 500\text{mA/div}$$

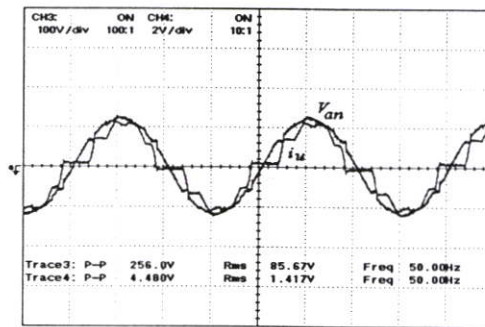
รูปที่ 5.5 รูปสัญญาณ  $V_{pn}, i_o$  ที่มีการกำหนดมุมนำกระแส  $\alpha = 0^\circ, \beta = 0^\circ$  ที่  $a = 1:0.5:0.5$



(ก) รูปสัญญาณ  $V_{an}$ ,  $i_u$  ที่ได้จากการจำลอง

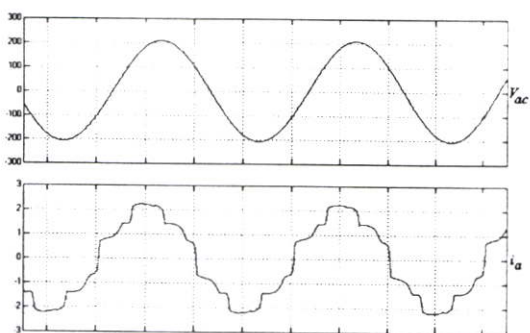
$$V_{an} = 50\text{V/div}, i_u = 1\text{A/div}$$

รูปที่ 5.6 รูปสัญญาณ  $V_{an}$ ,  $i_u$  ที่มีการกำหนดมุมนำกระแส  $\alpha = 0^\circ, \beta = 0^\circ$  ที่  $a = 1:0.5:0.5$



(ข) รูปสัญญาณ  $V_{an}$ ,  $i_u$  ที่ได้จากการทดลอง

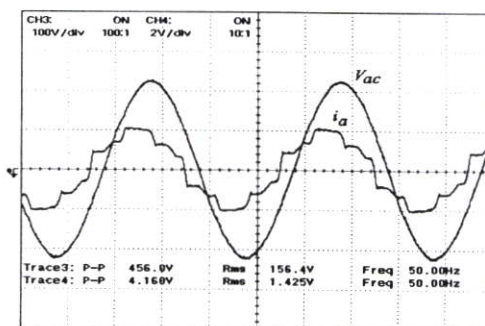
$$V_{an} = 100\text{V/div}, i_u = 2\text{A/div}$$



(ก) รูปสัญญาณ  $V_{ac}$ ,  $i_a$  ที่ได้จากการจำลอง

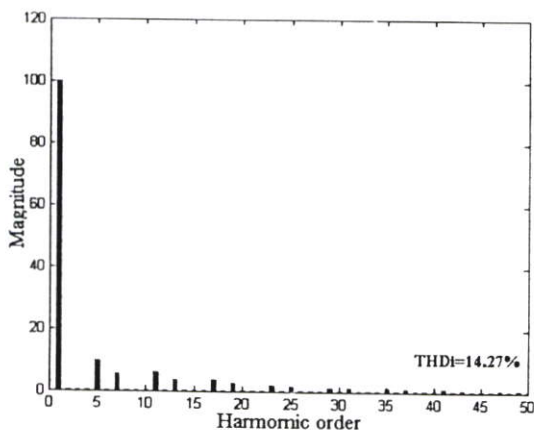
$$V_{ac} = 100\text{V/div}, i_a = 1\text{A/div}$$

รูปที่ 5.7 รูปสัญญาณ  $V_{ac}$ ,  $i_a$  ที่มีการกำหนดมุมนำกระแส  $\alpha = 0^\circ, \beta = 0^\circ$  ที่  $a = 1:0.5:0.5$

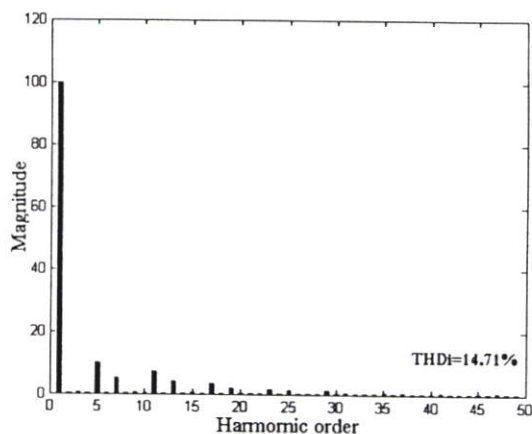


(ข) รูปสัญญาณ  $V_{ac}$ ,  $i_a$  ที่ได้จากการทดลอง

$$V_{ac} = 100\text{V/div}, i_o = 2\text{A/div}$$



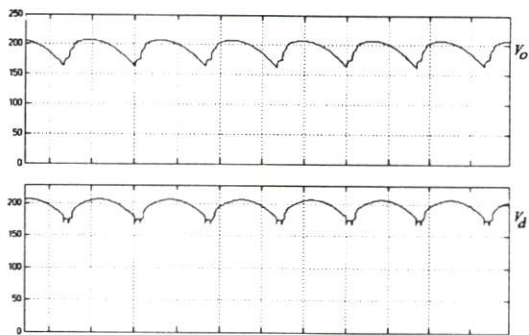
(ก) ค่า THDi ของกระแส  $i_u$  ได้จากการจำลอง



(ข) ค่า THDi ของกระแส  $i_u$  ได้จากการทดลอง

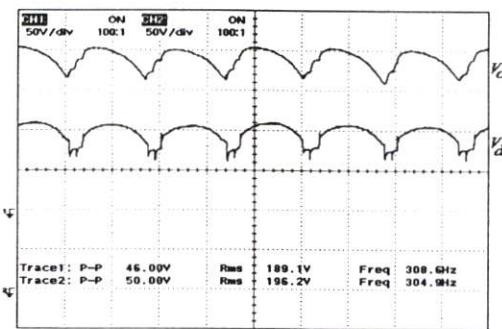
รูปที่ 5.8 ค่า THDi ของกระแส  $i_u$  ที่มีการกำหนดมุมนำกระแส  $\alpha = 0^\circ, \beta = 0^\circ$  ที่  $a = 1:0.5:0.5$

5.3.2 กำหนดให้มุมนำกระแส  $\alpha = 0^\circ, \beta = 30^\circ$



(ก) รูปสัญญาณ  $V_o, V_d$  ที่ได้จากการจำลอง

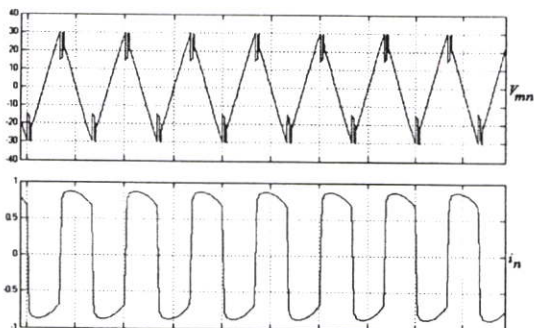
$V_o = 50\text{V/div}, V_d = 50\text{V/div}$



(ข) รูปสัญญาณ  $V_o, V_d$  ที่ได้จากการทดลอง

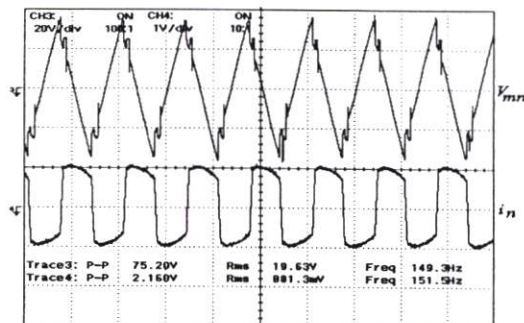
$V_o = 50\text{V/div}, V_d = 50\text{V/div}$

รูปที่ 5.9 รูปสัญญาณ  $V_o, V_d$  ที่มีการกำหนดมุมนำกระแส  $\alpha = 0^\circ, \beta = 30^\circ$  ที่  $a = 1:0.5:0.5$



(ก) รูปสัญญาณ  $V_{mn}, i_n$  ที่ได้จากการจำลอง

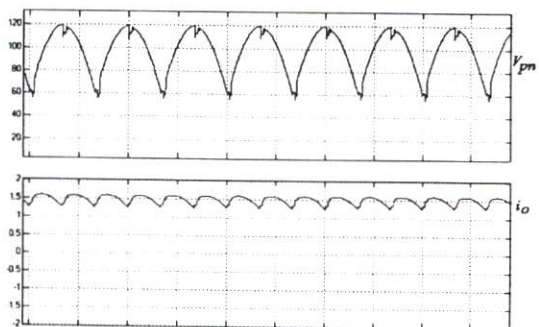
$V_{mn} = 10\text{V/div}, i_n = 0.5\text{A/div}$



(ข) รูปสัญญาณ  $V_{mn}, i_n$  ที่ได้จากการทดลอง

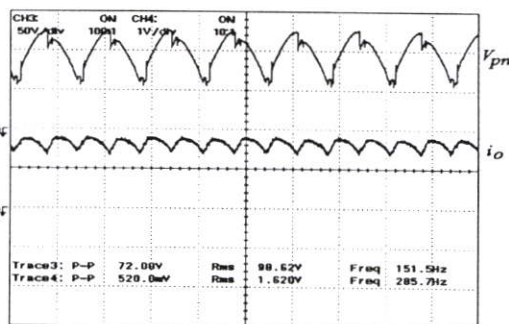
$V_{mn} = 20\text{V/div}, i_n = 1\text{A/div}$

รูปที่ 5.10 รูปสัญญาณ  $V_{mn}, i_n$  ที่มีการกำหนดมุมนำกระแส  $\alpha = 0^\circ, \beta = 30^\circ$  ที่  $a = 1:0.5:0.5$



(ก) รูปสัญญาณ  $V_{pn}, i_o$  ที่ได้จากการจำลอง

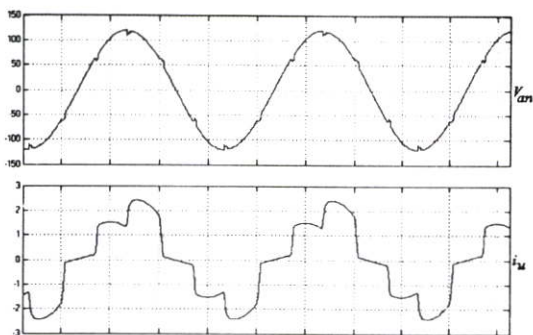
$V_{pn} = 20\text{V/div}, i_o = 0.5\text{A/div}$



(ข) รูปสัญญาณ  $V_{pn}, i_o$  ที่ได้จากการทดลอง

$V_{pn} = 50\text{V/div}, i_o = 1\text{A/div}$

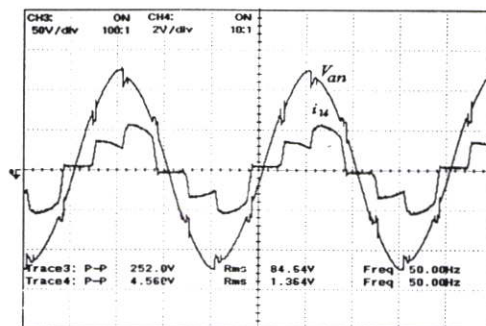
รูปที่ 5.11 รูปสัญญาณ  $V_{pn}, i_o$  ที่มีการกำหนดมุมนำกระแส  $\alpha = 0^\circ, \beta = 30^\circ$  ที่  $a = 1:0.5:0.5$



(ก) รูปสัญญาณ  $V_{an}, i_u$  ที่ได้จากการจำลอง

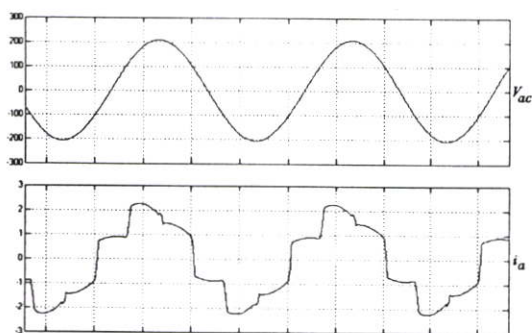
$$V_{an} = 50\text{V/div}, i_u = 1\text{A/div}$$

รูปที่ 5.12 รูปสัญญาณ  $V_{an}, i_u$  ที่มีการกำหนดมุมนำกระแส  $\alpha = 0^\circ, \beta = 30^\circ$  ที่  $a = 1:0.5:0.5$



(ข) รูปสัญญาณ  $V_{an}, i_u$  ที่ได้จากการทดลอง

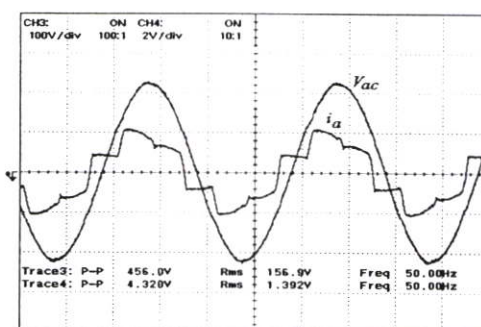
$$V_{an} = 50\text{V/div}, i_u = 2\text{A/div}$$



(ก) รูปสัญญาณ  $V_{ac}, i_a$  ที่ได้จากการจำลอง

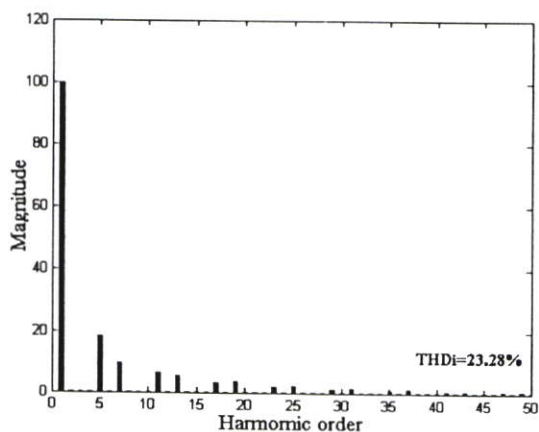
$$V_{ac} = 100\text{V/div}, i_a = 1\text{A/div}$$

รูปที่ 5.13 รูปสัญญาณ  $V_{ac}, i_a$  ที่มีการกำหนดมุมนำกระแส  $\alpha = 0^\circ, \beta = 30^\circ$  ที่  $a = 1:0.5:0.5$

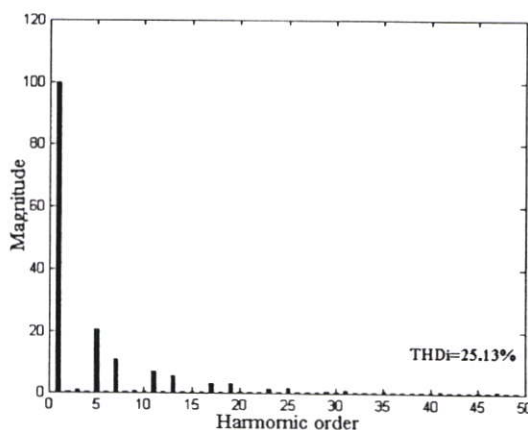


(ข) รูปสัญญาณ  $V_{ac}, i_a$  ที่ได้จากการทดลอง

$$V_{ac} = 100\text{V/div}, i_a = 2\text{A/div}$$



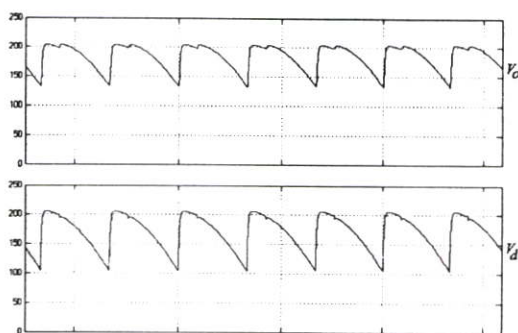
(ก) ค่า THDi ของกระแส  $i_u$  ได้จากการจำลอง



(ข) ค่า THDi ของกระแส  $i_u$  ได้จากการทดลอง

รูปที่ 5.14 ค่า THDi ของกระแส  $i_u$  ที่มีการกำหนดมุมนำกระแส  $\alpha = 0^\circ, \beta = 30^\circ$  ที่  $a = 1:0.5:0.5$

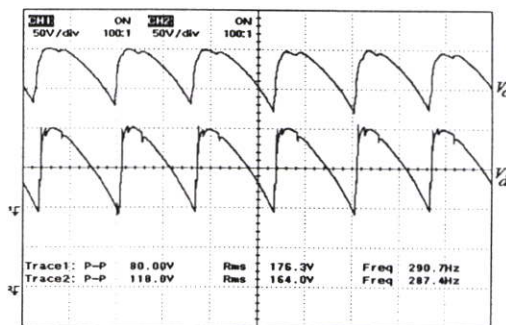
### 5.3.3 กำหนดให้มุมนำกระแส $\alpha = 30^\circ, \beta = 0$



(ก) รูปสัญญาณ  $V_o, V_d$  ที่ได้จากการจำลอง

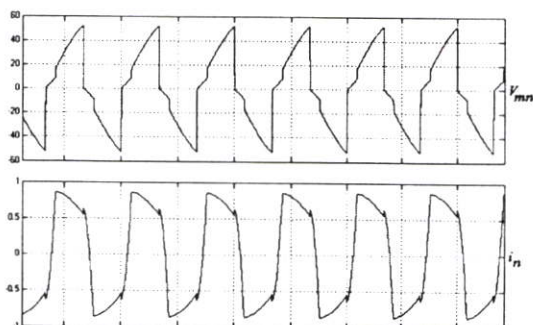
$$V_o = 50\text{V/div}, V_d = 50\text{V/div}$$

รูปที่ 5.15 รูปสัญญาณ  $V_o, V_d$  ที่มีการกำหนดมุมนำกระแส  $\alpha = 30^\circ, \beta = 0^\circ$  ที่  $a = 1:0.5:0.5$



(ข) รูปสัญญาณ  $V_o, V_d$  ที่ได้จากการทดลอง

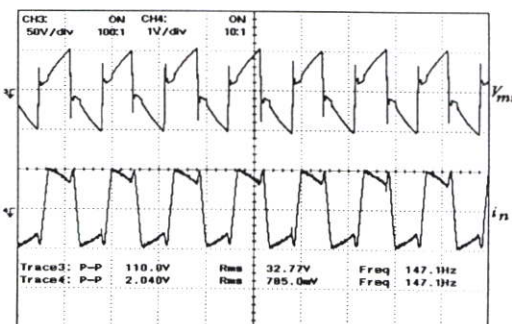
$$V_o = 50\text{V/div}, V_d = 50\text{V/div}$$



(ก) รูปสัญญาณ  $V_{mn}, i_n$  ที่ได้จากการจำลอง

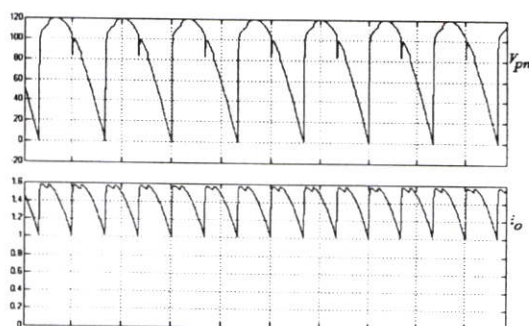
$$V_{mn} = 20\text{V/div}, i_n = 0.5\text{A/div}$$

รูปที่ 5.16 รูปสัญญาณ  $V_{mn}, i_n$  ที่มีการกำหนดมุมนำกระแส  $\alpha = 30^\circ, \beta = 0^\circ$  ที่  $a = 1:0.5:0.5$



(ข) รูปสัญญาณ  $V_{mn}, i_n$  ที่ได้จากการทดลอง

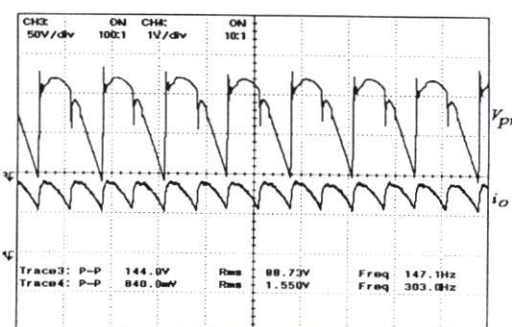
$$V_{mn} = 50\text{V/div}, i_n = 1\text{A/div}$$



(ก) รูปสัญญาณ  $V_{pn}, i_o$  ที่ได้จากการจำลอง

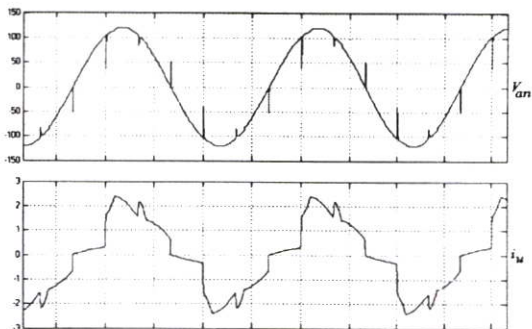
$$V_{pn} = 20\text{V/div}, i_o = 0.2\text{A/div}$$

รูปที่ 5.17 รูปสัญญาณ  $V_{pn}, i_o$  ที่มีการกำหนดมุมนำกระแส  $\alpha = 30^\circ, \beta = 0^\circ$  ที่  $a = 1:0.5:0.5$



(ข) รูปสัญญาณ  $V_{pn}, i_o$  ที่ได้จากการทดลอง

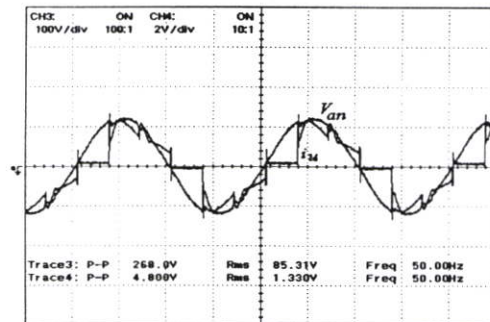
$$V_{pn} = 50\text{V/div}, i_o = 1\text{A/div}$$



(ก) รูปสัญญาณ  $V_{an}, i_a$  ที่ได้จากการจำลอง

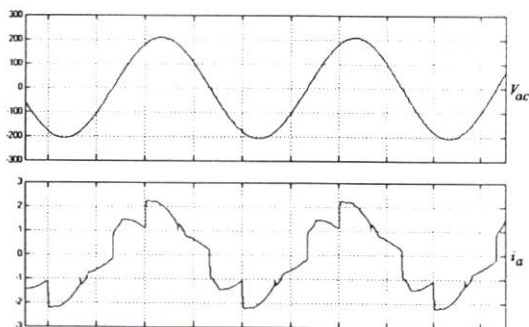
$$V_{an} = 50V/div, i_a = 1A/div$$

รูปที่ 5.18 รูปสัญญาณ  $V_{an}, i_a$  ที่มีการกำหนดมุมนำกระแส  $\alpha = 30^\circ, \beta = 0^\circ$  ที่  $a = 1:0.5:0.5$



(ข) รูปสัญญาณ  $V_{an}, i_a$  ที่ได้จากการทดลอง

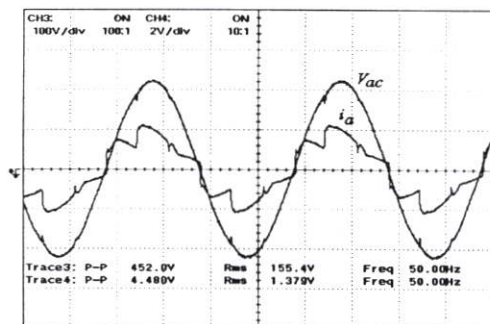
$$V_{an} = 100V/div, i_a = 2A/div$$



(ก) รูปสัญญาณ  $V_{ac}, i_a$  ที่ได้จากการจำลอง

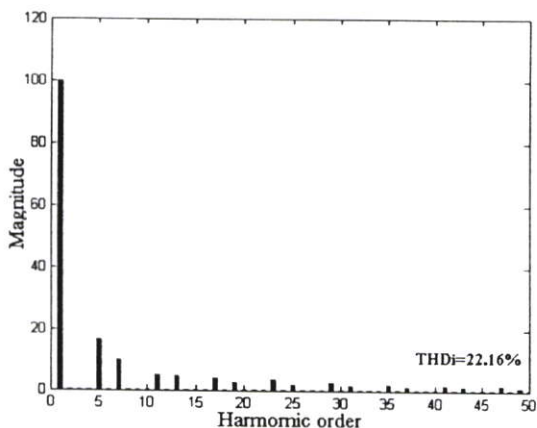
$$V_{ac} = 100V/div, i_a = 1A/div$$

รูปที่ 5.19 รูปสัญญาณ  $V_{ac}, i_a$  ที่มีการกำหนดมุมนำกระแส  $\alpha = 30^\circ, \beta = 0^\circ$  ที่  $a = 1:0.5:0.5$

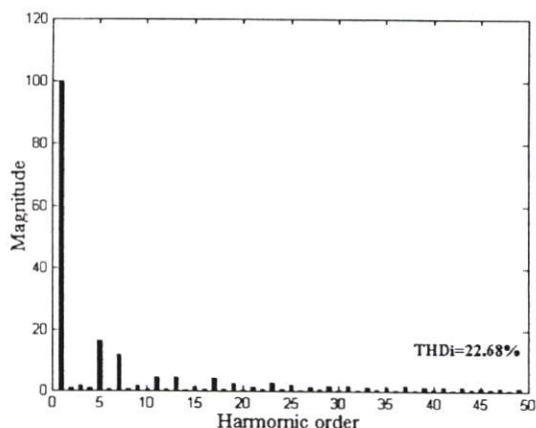


(ข) รูปสัญญาณ  $V_{ac}, i_a$  ที่ได้จากการทดลอง

$$V_{ac} = 100V/div, i_a = 2A/div$$



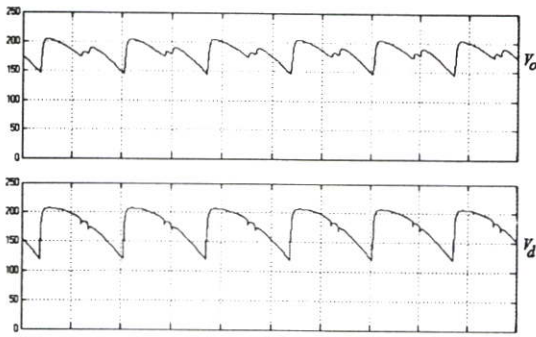
(ก) ค่า THDi ของกระแส  $i_a$  ได้จากการจำลอง



(ข) ค่า THDi ของกระแส  $i_a$  ได้จากการทดลอง

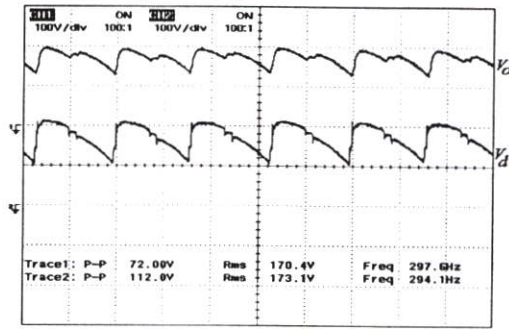
รูปที่ 5.20 ค่า THDi ของกระแส  $i_a$  ที่มีการกำหนดมุมนำกระแส  $\alpha = 30^\circ, \beta = 0^\circ$  ที่  $a = 1:0.5:0.5$

5.3.4 กำหนดให้มุมนำกระแส  $\alpha = 30^\circ, \beta = 30^\circ$



(ก) รูปสัญญาณ  $V_o, V_d$  ที่ได้จากการจำลอง

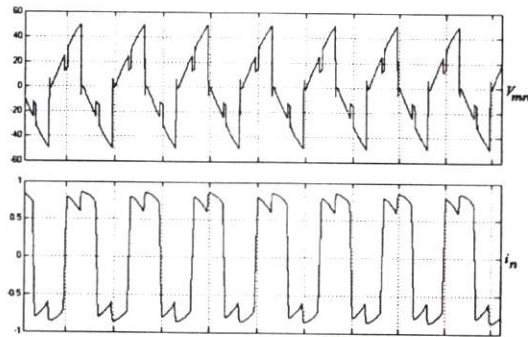
$V_o = 50\text{V/div}, V_d = 50\text{V/div}$



(ข) รูปสัญญาณ  $V_o, V_d$  ที่ได้จากการทดลอง

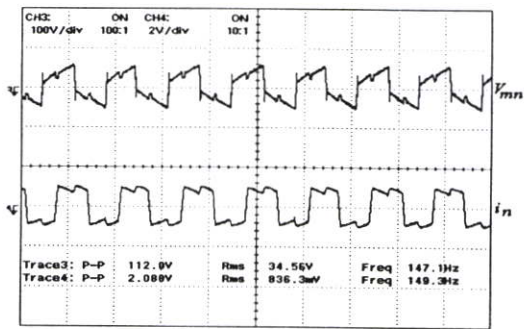
$V_o = 100\text{V/div}, V_d = 100\text{V/div}$

รูปที่ 5.21 รูปสัญญาณ  $V_o, V_d$  ที่มีการกำหนดมุมนำกระแส  $\alpha = 30^\circ, \beta = 30^\circ$  ที่  $a = 1:0.5:0.5$



(ก) รูปสัญญาณ  $V_{mn}, i_n$  ที่ได้จากการจำลอง

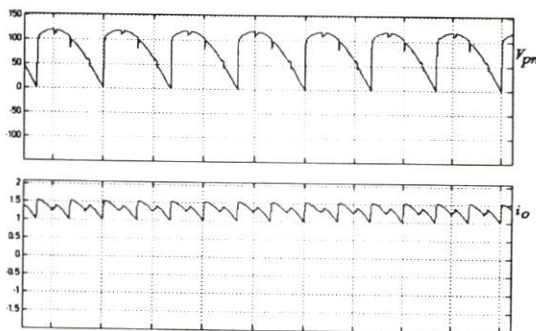
$V_{mn} = 20\text{V/div}, i_n = 0.5\text{A/div}$



(ข) รูปสัญญาณ  $V_{mn}, i_n$  ที่ได้จากการทดลอง

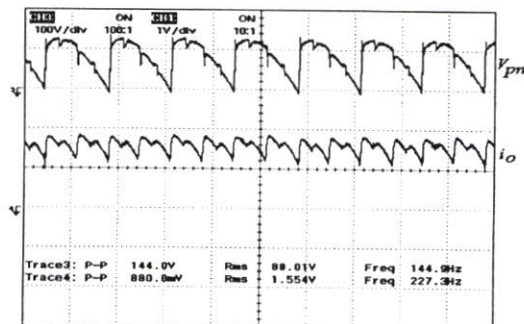
$V_{mn} = 100\text{V/div}, i_n = 2\text{A/div}$

รูปที่ 5.22 รูปสัญญาณ  $V_{mn}, i_n$  ที่มีการกำหนดมุมนำกระแส  $\alpha = 30^\circ, \beta = 30^\circ$  ที่  $a = 1:0.5:0.5$



(ก) รูปสัญญาณ  $V_{pn}, i_o$  ที่ได้จากการจำลอง

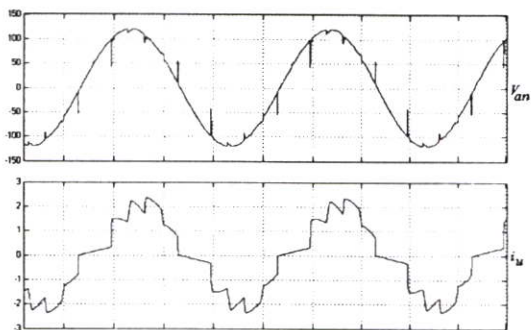
$V_{pn} = 50\text{V/div}, i_o = 0.5\text{A/div}$



(ข) รูปสัญญาณ  $V_{pn}, i_o$  ที่ได้จากการทดลอง

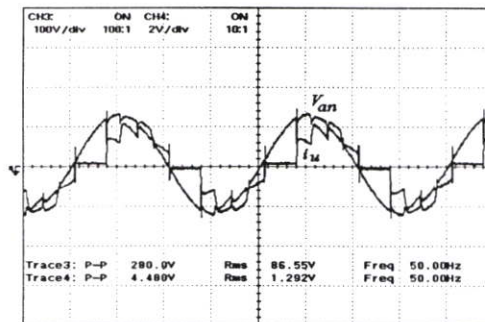
$V_{pn} = 100\text{V/div}, i_o = 1\text{A/div}$

รูปที่ 5.23 รูปสัญญาณ  $V_{pn}, i_o$  ที่มีการกำหนดมุมนำกระแส  $\alpha = 30^\circ, \beta = 30^\circ$  ที่  $a = 1:0.5:0.5$



(ก) รูปสัญญาณ  $V_{an}, i_u$  ที่ได้จากการจำลอง

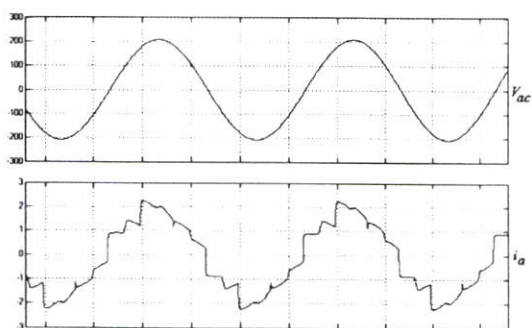
$$V_{an} = 50\text{V/div}, i_u = 1\text{A/div}$$



(ข) รูปสัญญาณ  $V_{an}, i_u$  ที่ได้จากการทดลอง

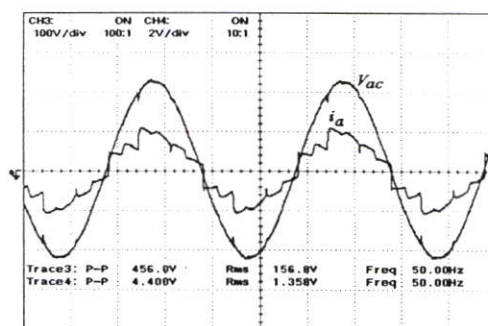
$$V_{an} = 100\text{V/div}, i_u = 2\text{A/div}$$

รูปที่ 5.24 รูปสัญญาณ  $V_{an}, i_u$  ที่มีการกำหนดมุมนำกระแส  $\alpha = 30^\circ, \beta = 30^\circ$  ที่  $a = 1:0.5:0.5$



(ก) รูปสัญญาณ  $V_{ac}, i_a$  ที่ได้จากการจำลอง

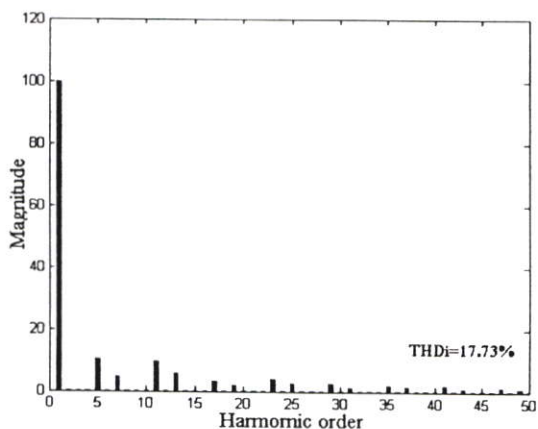
$$V_{ac} = 100\text{V/div}, i_a = 1\text{A/div}$$



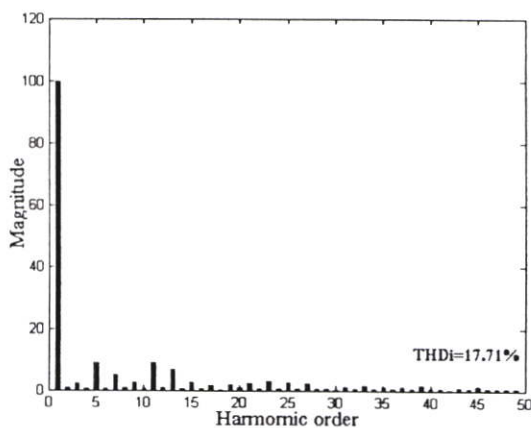
(ข) รูปสัญญาณ  $V_{ac}, i_a$  ที่ได้จากการทดลอง

$$V_{ac} = 100\text{V/div}, i_a = 2\text{A/div}$$

รูปที่ 5.25 รูปสัญญาณ  $V_{ac}, i_a$  ที่มีการกำหนดมุมนำกระแส  $\alpha = 30^\circ, \beta = 30^\circ$  ที่  $a = 1:0.5:0.5$



(ก) ค่า THDi ของกระแส  $i_u$  ได้จากการจำลอง



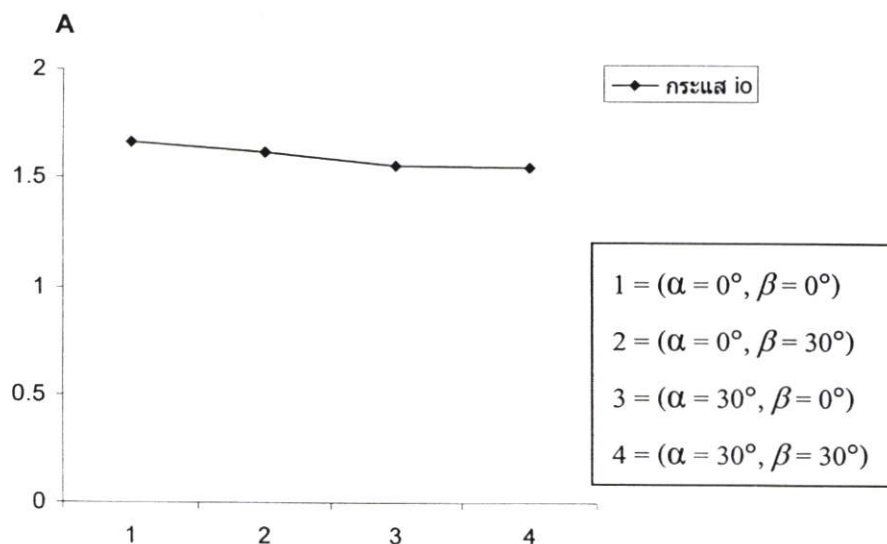
(ข) ค่า THDi ของกระแส  $i_a$  ได้จากการทดลอง

รูปที่ 5.26 ค่า THDi ของกระแส  $i_u$  ที่มีการกำหนดมุมนำกระแส  $\alpha = 30^\circ, \beta = 30^\circ$  ที่  $a = 1:0.5:0.5$

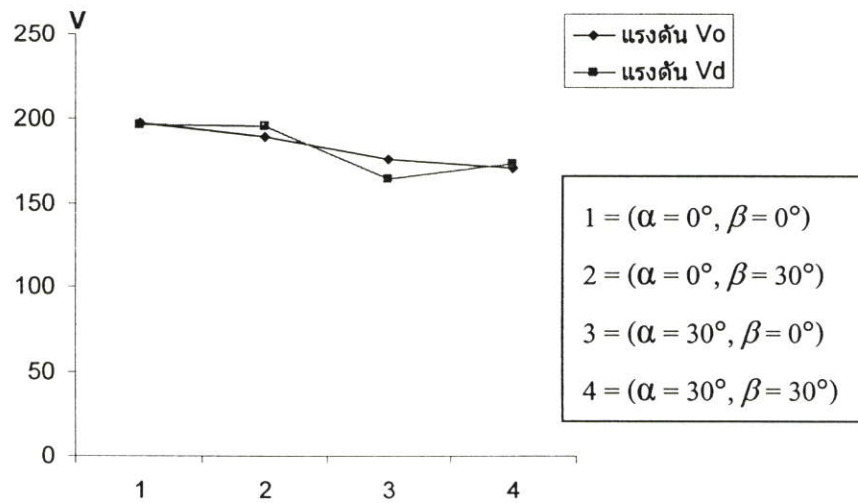
ตารางที่ 5.3 แสดงผลการทำงานที่การกำหนดค่า  $a = 1:0.5:0.5$ ,  $k = 1:1$ ,  $V_{LL} = 155V$

$\alpha$	$\beta$	$V_o$ (V)	$V_d$ (V)	$i_o$ (A)	THDi(%)
$0^\circ$	$0^\circ$	197.4	197.0	1.66	14.71
$0^\circ$	$30^\circ$	189.1	196.2	1.62	25.13
$30^\circ$	$0^\circ$	176.3	164.0	1.554	22.68
$30^\circ$	$30^\circ$	170.4	173.1	1.55	17.71

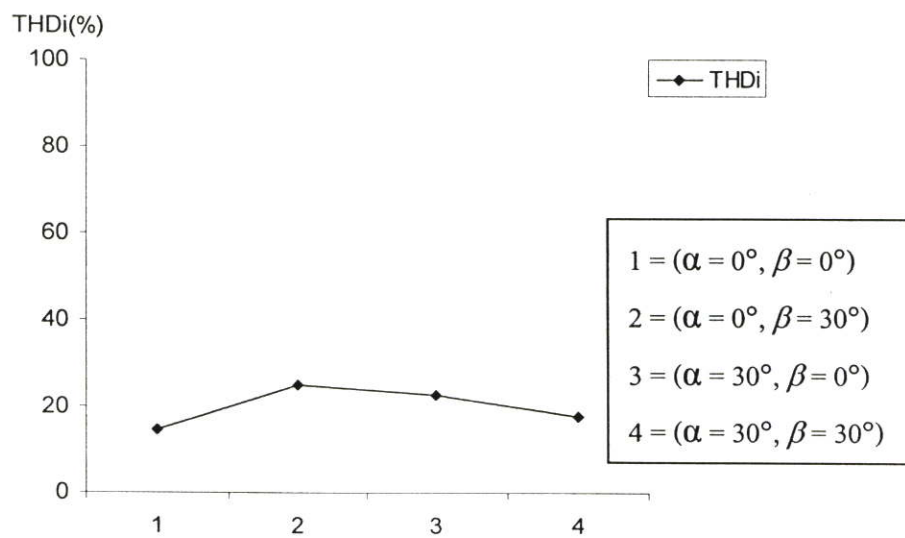
จากการทดสอบผลจากตารางที่ 5.3 แสดงให้เห็นว่าการกำหนดมุมนำกระแสที่  $0^\circ$  ค่า THDi จะมีค่าต่ำสุดและที่แรงดัน  $V_o$  จะมีค่าแรงดันเอาต์พุตที่สูง เมื่อมีการปรับมุมนำกระแสที่แตกต่างกัน ที่อัตราส่วน  $a = 1:0.5:0.5$  ค่าของแรงดัน  $V_o$  จากรูปที่ 5.9 ที่วงจร 6 พัลส์คอนเวอร์เตอร์ เมื่อไทรสเตอร์เริ่มนำกระแสที่มุม  $\alpha = 0^\circ$  แรงดันพัลส์  $V_d$  ที่ได้จะไม่เกิดมุมทริกของสัญญาณพัลส์ และที่แรงดัน  $V_o$  ไทรสเตอร์  $T_p$  และ  $T_q$  นำกระแสที่มุม  $\beta = 30^\circ$  ทำให้แรงดันทางเอาต์พุต  $V_o$  เกิดมุมทริกที่  $30^\circ$  ทำให้เกิดสัญญาณแรงดันพัลส์เท่ากับ 6 พัลส์คอนเวอร์เตอร์ และจากรูปที่ 5.15 ที่วงจร 6 พัลส์คอนเวอร์เตอร์ เมื่อไทรสเตอร์เริ่มนำกระแสที่มุม  $\alpha = 30^\circ$  แรงดันพัลส์  $V_d$  จะเท่ากับ 6 คอนเวอร์เตอร์ และที่แรงดันพัลส์  $V_o$  ไทรสเตอร์  $T_p$  และ  $T_q$  นำกระแสที่มุม  $\beta = 0^\circ$  สัญญาณแรงดันพัลส์  $V_o$  ที่ได้จะไม่เกิดมุมทริกของสัญญาณไทรสเตอร์ ทำให้แรงดันพัลส์  $V_o$  เท่ากับ 6 พัลส์คอนเวอร์เตอร์ จากรูปที่ 5.21 ที่วงจร 6 พัลส์คอนเวอร์เตอร์ เมื่อไทรสเตอร์เริ่มนำกระแสที่มุม  $\alpha = 30^\circ$  แรงดันพัลส์  $V_d$  จะเท่ากับ 6 คอนเวอร์เตอร์ และที่แรงดันพัลส์  $V_o$  ไทรสเตอร์  $T_p$  และ  $T_q$  นำกระแสที่มุม  $\beta = 30^\circ$  สัญญาณแรงดันพัลส์  $V_o$  ที่ได้จะเท่ากับ 12 พัลส์คอนเวอร์เตอร์ แต่สัญญาณ  $V_o$  ที่ได้จะเห็นว่าสัญญาณแรงดันพัลส์ช่วงไทรสเตอร์  $T_p$ ,  $T_q$  นำกระแสรูปคลื่นสัญญาณพัลส์จะไม่เต็มพัลส์สัญญาณ



รูปที่ 5.27 แสดงกระแสเอาต์พุต  $i_o$  อัตราส่วน  $a = 1:0.5:0.5$ ,  $k = 1:1$  ที่มีการปรับมุมนำกระแส  $\alpha, \beta$



รูปที่ 5.28 แสดงแรงดัน  $V_o$ ,  $V_d$  อัตราส่วน  $a = 1:0.5:0.5$ ,  $k = 1:1$  ที่มีการปรับมุมนำกระแส  $\alpha$ ,  $\beta$

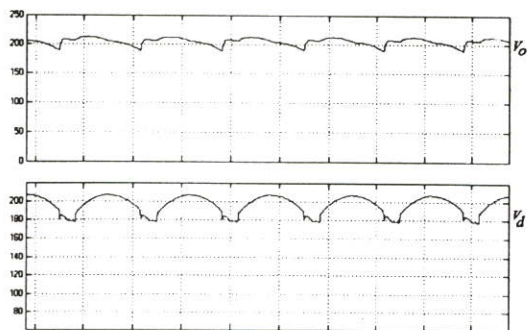


รูปที่ 5.29 แสดงค่า THDi อัตราส่วน  $a = 1:0.5:0.5$ ,  $k = 1:1$  ที่มีการปรับมุมนำกระแส  $\alpha$ ,  $\beta$

จากรูปที่ 5.29 ค่า THDi ที่ได้จากข้อมูลชุดที่ 1 และชุดที่ 4 ค่าของ THDi จะมีค่าน้อยกว่าข้อมูลชุดที่ 2 กับ 3 แสดงให้เห็นว่าการกำหนดมุมให้  $(\alpha, \beta)$  ที่ไม่เท่ากันจะมีผลต่อการทำงานของระบบ

### 5.4 การทดสอบที่อัตราส่วนหม้อแปลง $a = 1:1:1, k = 1:1$

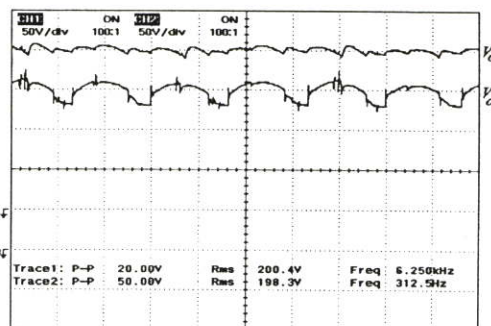
#### 5.4.1 กำหนดให้มุมนำกระแส $\alpha = 0^\circ, \beta = 0^\circ$



(ก) รูปสัญญาณ  $V_o, V_d$  ที่ได้จากการจำลอง

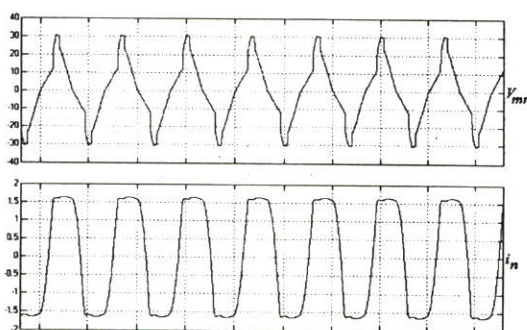
$$V_o = 50\text{V/div}, V_d = 20\text{V/div}$$

รูปที่ 5.30 รูปสัญญาณ  $V_o, V_d$  ที่มีการกำหนดมุมนำกระแส  $\alpha = 0^\circ, \beta = 0^\circ$  ที่  $a = 1:1:1$



(ข) รูปสัญญาณ  $V_o, V_d$  ที่ได้จากการทดลอง

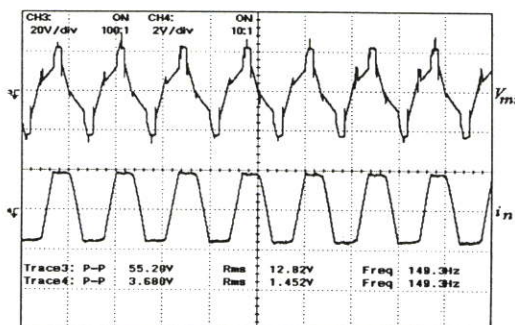
$$V_o = 50\text{V/div}, V_d = 50\text{V/div}$$



(ก) รูปสัญญาณ  $V_{mn}, i_n$  ที่ได้จากการจำลอง

$$V_{mn} = 10\text{V/div}, i_n = 0.5\text{A/div}$$

รูปที่ 5.31 รูปสัญญาณ  $V_{mn}, i_n$  ที่มีการกำหนดมุมนำกระแส  $\alpha = 0^\circ, \beta = 0^\circ$  ที่  $a = 1:1:1$



(ข) รูปสัญญาณ  $V_{mn}, i_n$  ที่ได้จากการทดลอง

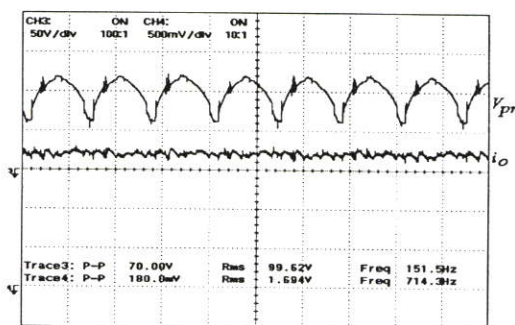
$$V_{mn} = 20\text{V/div}, i_n = 2\text{A/div}$$



(ก) รูปสัญญาณ  $V_{pn}, i_o$  ที่ได้จากการจำลอง

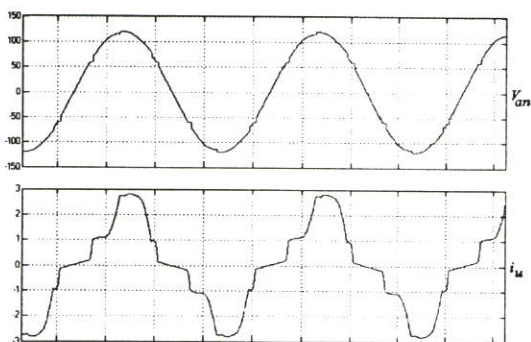
$$V_{pn} = 50\text{V/div}, i_o = 0.5\text{A/div}$$

รูปที่ 5.32 รูปสัญญาณ  $V_{pn}, i_o$  ที่มีการกำหนดมุมนำกระแส  $\alpha = 0^\circ, \beta = 0^\circ$  ที่  $a = 1:1:1$



(ข) รูปสัญญาณ  $V_{pn}, i_o$  ที่ได้จากการทดลอง

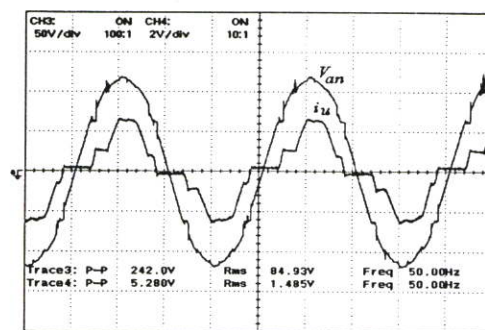
$$V_{pn} = 50\text{V/div}, i_o = 500\text{mA/div}$$



(ก) รูปสัญญาณ  $V_{an}$ ,  $i_u$  ที่ได้จากการจำลอง

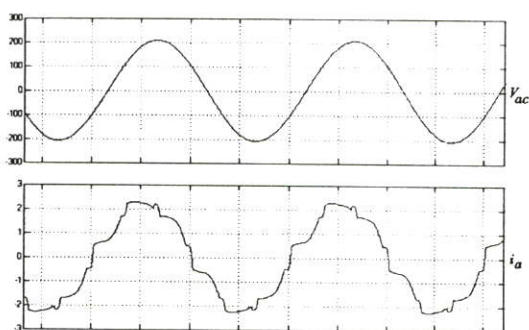
$$V_{an} = 50\text{V/div}, i_u = 1\text{A/div}$$

รูปที่ 5.33 รูปสัญญาณ  $V_{an}$ ,  $i_u$  ที่มีการกำหนดมุมนำกระแส  $\alpha = 0^\circ, \beta = 0^\circ$  ที่  $a = 1:1:1$



(ข) รูปสัญญาณ  $V_{an}$ ,  $i_u$  ที่ได้จากการทดลอง

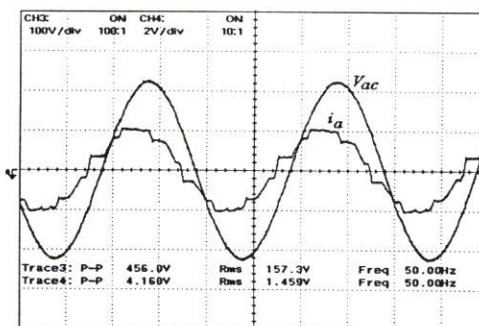
$$V_{an} = 50\text{V/div}, i_u = 2\text{A/div}$$



(ก) รูปสัญญาณ  $V_{ac}$ ,  $i_a$  ที่ได้จากการจำลอง

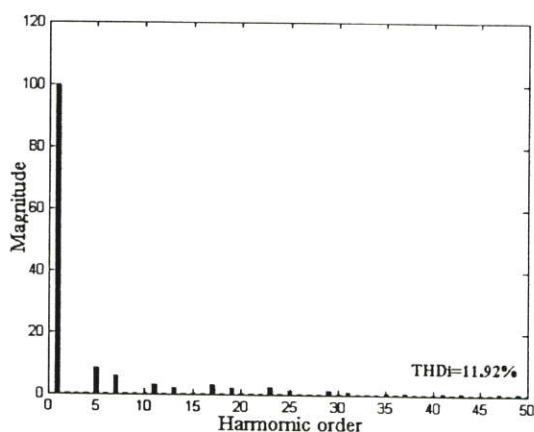
$$V_{ac} = 100\text{V/div}, i_a = 1\text{A/div}$$

รูปที่ 5.34 รูปสัญญาณ  $V_{ac}$ ,  $i_a$  ที่มีการกำหนดมุมนำกระแส  $\alpha = 0^\circ, \beta = 0^\circ$  ที่  $a = 1:1:1$

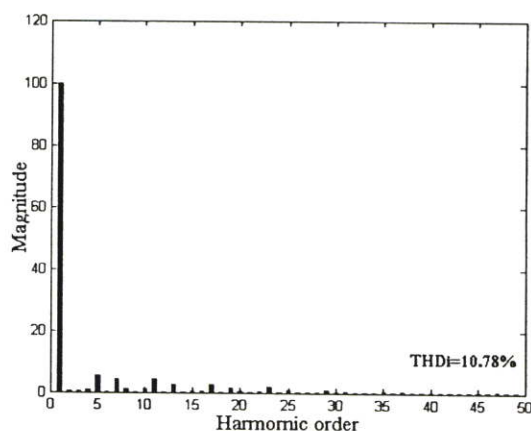


(ข) รูปสัญญาณ  $V_{ac}$ ,  $i_a$  ที่ได้จากการทดลอง

$$V_{ac} = 100\text{V/div}, i_a = 2\text{A/div}$$



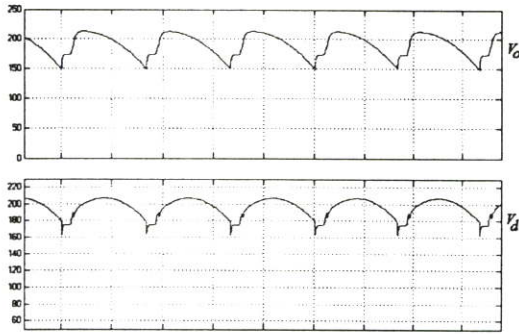
(ก) ค่า THDi ของกระแส  $i_u$  ได้จากการจำลอง



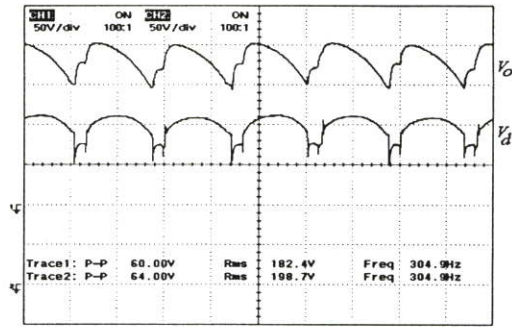
(ข) ค่า THDi ของกระแส  $i_u$  ได้จากการทดลอง

รูปที่ 5.35 ค่า THDi ของกระแส  $i_u$  ที่มีการกำหนดมุมนำกระแส  $\alpha = 0^\circ, \beta = 0^\circ$  ที่  $a = 1:1:1$

5.4.2 กำหนดให้มุมนำกระแส  $\alpha = 0^\circ, \beta = 30^\circ$

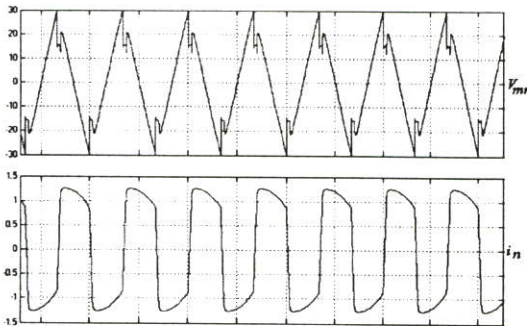


(ก) รูปสัญญาณ  $V_o, V_d$  ที่ได้จากการจำลอง  
 $V_o = 50\text{V/div}, V_d = 20\text{V/div}$

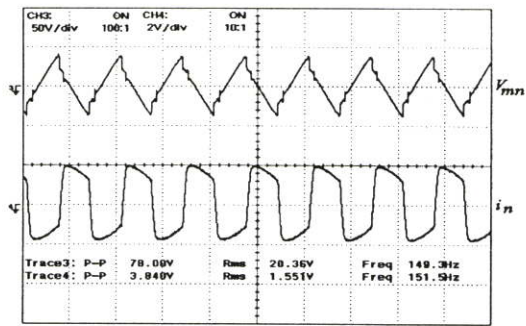


(ข) รูปสัญญาณ  $V_o, V_d$  ที่ได้จากการทดลอง  
 $V_o = 50\text{V/div}, V_d = 50\text{V/div}$

รูปที่ 5.36 รูปสัญญาณ  $V_o, V_d$  ที่มีการกำหนดมุมนำกระแส  $\alpha = 0^\circ, \beta = 30^\circ$  ที่  $a = 1:1:1$

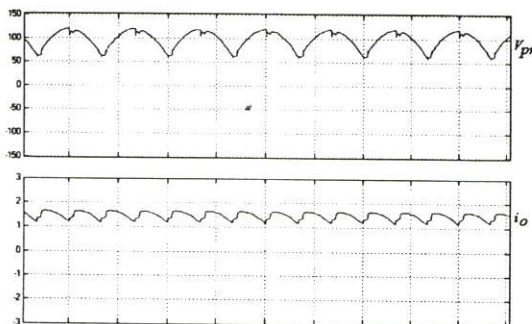


(ก) รูปสัญญาณ  $V_{mn}, i_n$  ที่ได้จากการจำลอง  
 $V_{mn} = 10\text{V/div}, i_n = 0.5\text{A/div}$

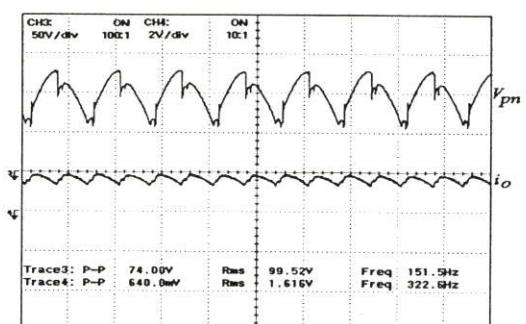


(ข) รูปสัญญาณ  $V_{mn}, i_n$  ที่ได้จากการทดลอง  
 $V_{mn} = 50\text{V/div}, i_n = 2\text{A/div}$

รูปที่ 5.37 รูปสัญญาณ  $V_{mn}, i_n$  ที่มีการกำหนดมุมนำกระแส  $\alpha = 0^\circ, \beta = 30^\circ$  ที่  $a = 1:1:1$

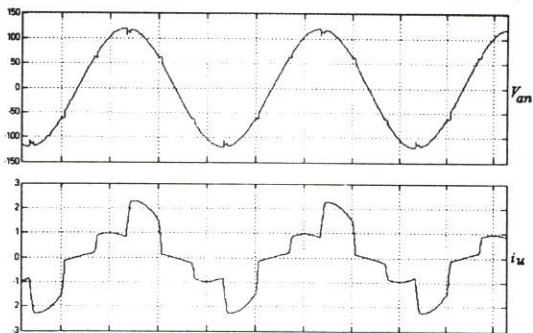


(ก) รูปสัญญาณ  $V_{pn}, i_o$  ที่ได้จากการจำลอง  
 $V_{pn} = 50\text{V/div}, i_o = 1\text{A/div}$



(ข) รูปสัญญาณ  $V_{pn}, i_o$  ที่ได้จากการทดลอง  
 $V_{pn} = 50\text{V/div}, i_o = 2\text{A/div}$

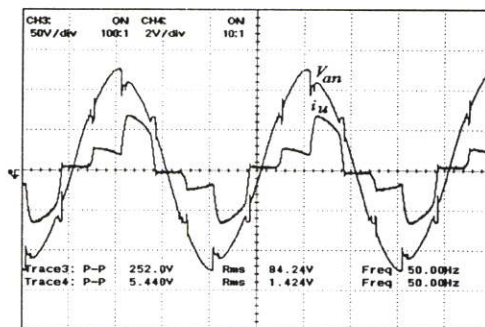
รูปที่ 5.38 รูปสัญญาณ  $V_{pn}, i_o$  ที่มีการกำหนดมุมนำกระแส  $\alpha = 0^\circ, \beta = 30^\circ$  ที่  $a = 1:1:1$



(ก) รูปสัญญาณ  $V_{an}, i_u$  ที่ได้จากการจำลอง

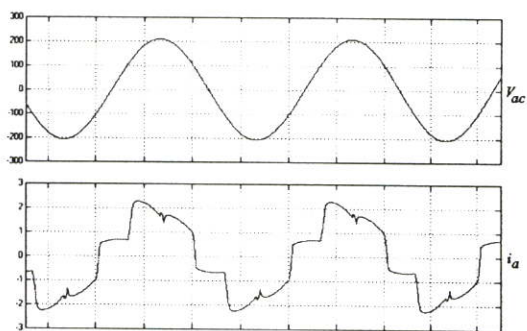
$$V_{an} = 50\text{V/div}, i_u = 1\text{A/div}$$

รูปที่ 5.39 รูปสัญญาณ  $V_{an}, i_u$  ที่มีการกำหนดมุมนำกระแส  $\alpha = 0^\circ, \beta = 30^\circ$  ที่  $a = 1:1:1$



(ข) รูปสัญญาณ  $V_{an}, i_u$  ที่ได้จากการทดลอง

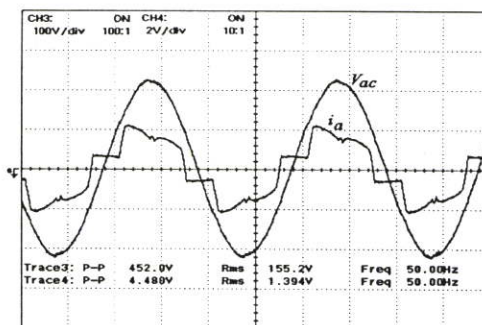
$$V_{an} = 50\text{V/div}, i_u = 2\text{A/div}$$



(ก) รูปสัญญาณ  $V_{ac}, i_a$  ที่ได้จากการจำลอง

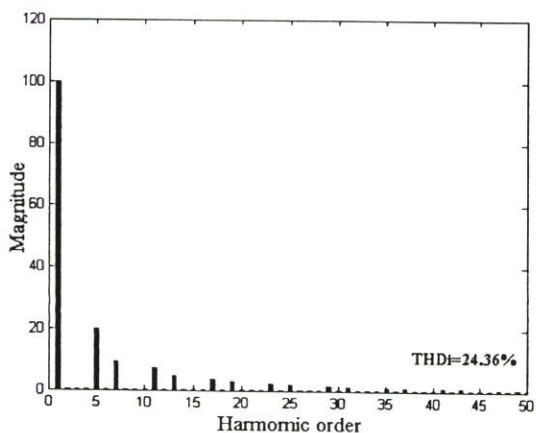
$$V_{ac} = 100\text{V/div}, i_a = 1\text{A/div}$$

รูปที่ 5.40 รูปสัญญาณ  $V_{ac}, i_a$  ที่มีการกำหนดมุมนำกระแส  $\alpha = 0^\circ, \beta = 30^\circ$  ที่  $a = 1:1:1$

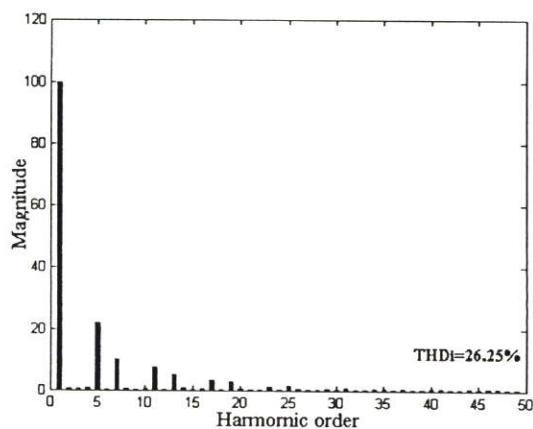


(ข) รูปสัญญาณ  $V_{ac}, i_a$  ที่ได้จากการทดลอง

$$V_{ac} = 100\text{V/div}, i_a = 2\text{A/div}$$



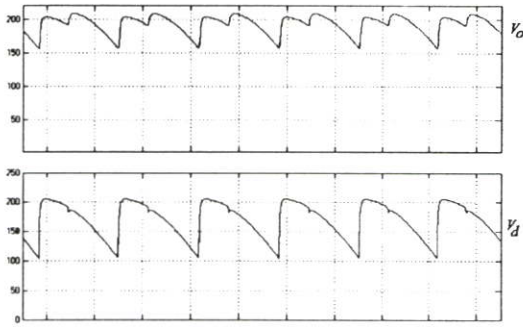
(ก) ค่า THDi ของกระแส  $i_u$  ที่ได้จากการจำลอง



(ข) ค่า THDi ของกระแส  $i_a$  ได้จากการทดลอง

รูปที่ 5.41 ค่า THDi ของกระแส  $i_u$  ที่มีการกำหนดมุมนำกระแส  $\alpha = 0^\circ, \beta = 30^\circ$  ที่  $a = 1:1:1$

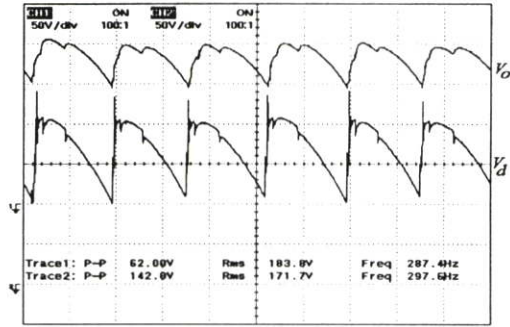
5.4.3 กำหนดให้มุมนำกระแส  $\alpha = 30^\circ, \beta = 0^\circ$



(ก) รูปสัญญาณ  $V_o, V_d$  ที่ได้จากการจำลอง

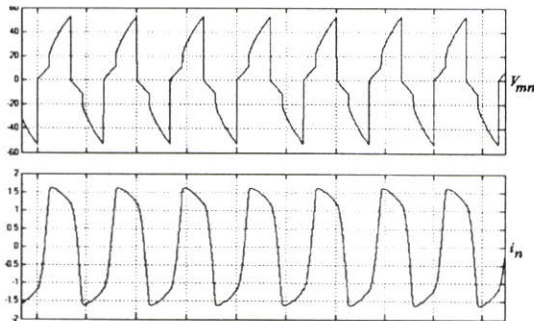
$V_o = 50\text{V/div}, V_d = 50\text{V/div}$

รูปที่ 5.42 รูปสัญญาณ  $V_o, V_d$  ที่มีerkกำหนดมุนนำกระแส  $\alpha = 30^\circ, \beta = 0^\circ$  ที่  $a = 1:1:1$



(ข) รูปสัญญาณ  $V_o, V_d$  ที่ได้จากการทดลอง

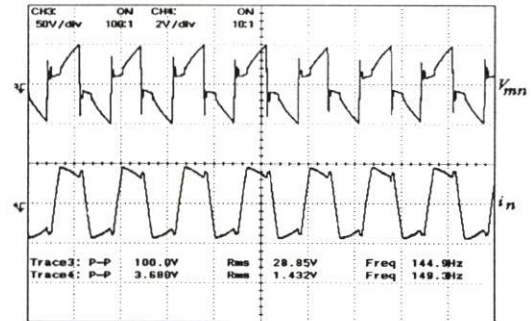
$V_o = 50\text{V/div}, V_d = 50\text{V/div}$



(ก) รูปสัญญาณ  $V_{mn}, i_n$  ที่ได้จากการจำลอง

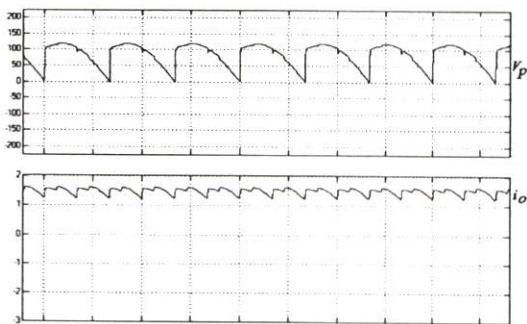
$V_{mn} = 20\text{V/div}, i_n = 0.5\text{A/div}$

รูปที่ 5.43 รูปสัญญาณ  $V_{mn}, i_n$  ที่มีerkกำหนดมุนนำกระแส  $\alpha = 30^\circ, \beta = 0^\circ$  ที่  $a = 1:1:1$



(ข) รูปสัญญาณ  $V_{mn}, i_n$  ที่ได้จากการทดลอง

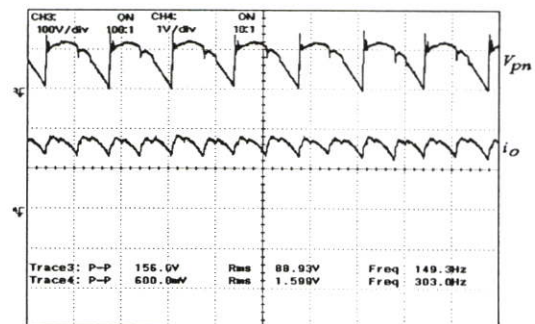
$V_{mn} = 50\text{V/div}, i_n = 2\text{A/div}$



(ก) รูปสัญญาณ  $V_{pn}, i_o$  ที่ได้จากการจำลอง

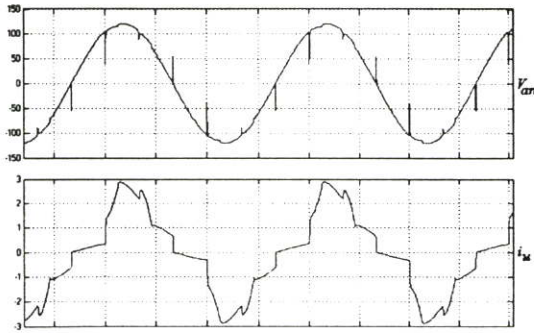
$V_{pn} = 50\text{V/div}, i_o = 1\text{A/div}$

รูปที่ 5.44 รูปสัญญาณ  $V_{pn}, i_o$  ที่มีerkกำหนดมุนนำกระแส  $\alpha = 30^\circ, \beta = 0^\circ$  ที่  $a = 1:1:1$



(ข) รูปสัญญาณ  $V_{pn}, i_o$  ที่ได้จากการทดลอง

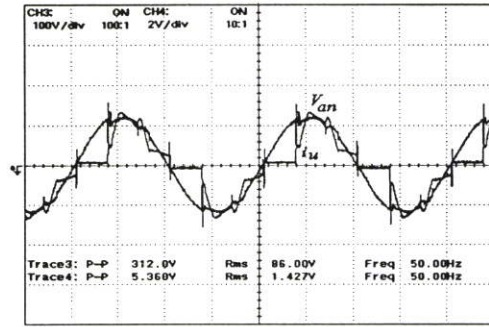
$V_{pn} = 100\text{V/div}, i_o = 1\text{A/div}$



(ก) รูปสัญญาณ  $V_{an}, i_a$  ที่ได้จากการจำลอง

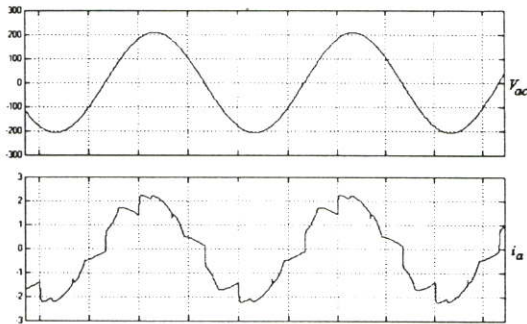
$$V_{an} = 50\text{V/div}, i_a = 1\text{A/div}$$

รูปที่ 5.45 รูปสัญญาณ  $V_{an}, i_a$  ที่มีการกำหนดมุมนำกระแส  $\alpha = 30^\circ, \beta = 0^\circ$  ที่  $a = 1:1:1$



(ข) รูปสัญญาณ  $V_{an}, i_a$  ที่ได้จากการทดลอง

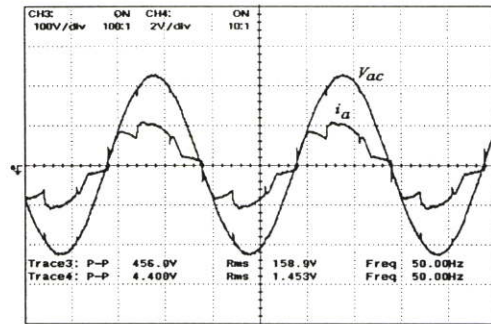
$$V_{an} = 100\text{V/div}, i_a = 2\text{A/div}$$



(ก) รูปสัญญาณ  $V_{ac}, i_a$  ที่ได้จากการจำลอง

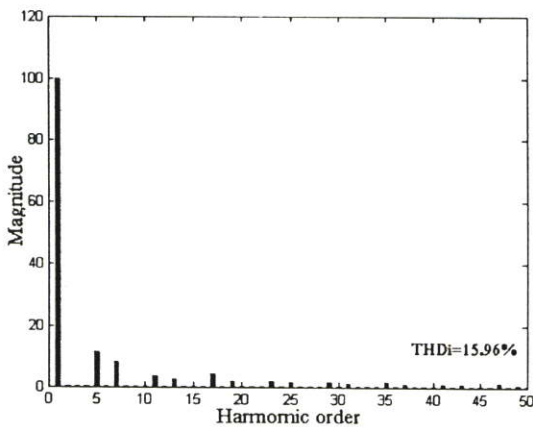
$$V_{ac} = 100\text{V/div}, i_a = 1\text{A/div}$$

รูปที่ 5.46 รูปสัญญาณ  $V_{ac}, i_a$  ที่มีการกำหนดมุมนำกระแส  $\alpha = 30^\circ, \beta = 0^\circ$  ที่  $a = 1:1:1$

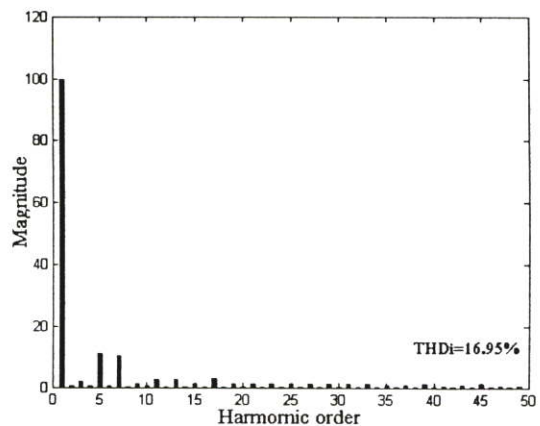


(ข) รูปสัญญาณ  $V_{ac}, i_a$  ที่ได้จากการทดลอง

$$V_{ac} = 100\text{V/div}, i_a = 2\text{A/div}$$



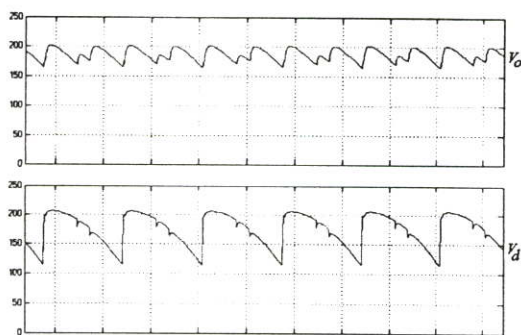
(ก) ค่า THDi ของกระแส  $i_a$  ได้จากการจำลอง



(ข) ค่า THDi ของกระแส  $i_a$  ได้จากการทดลอง

รูปที่ 5.47 ค่า THDi ของกระแส  $i_a$  ที่มีการกำหนดมุมนำกระแส  $\alpha = 30^\circ, \beta = 0^\circ$  ที่  $a = 1:1:1$

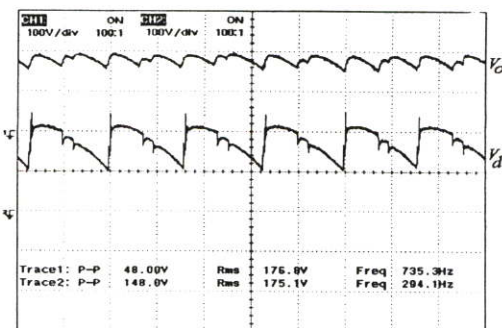
### 5.4.4 กำหนดให้มุมนำกระแส $\alpha = 30^\circ, \beta = 30^\circ$



(ก) รูปสัญญาณ  $V_o, V_d$  ที่ได้จากการจำลอง

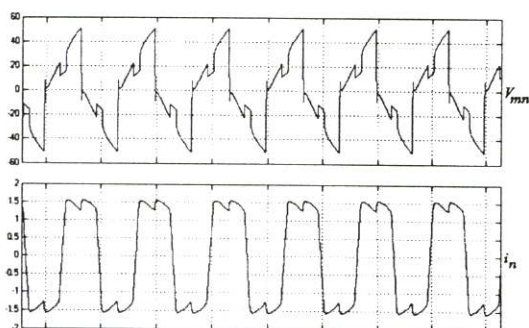
$$V_o = 50\text{V/div}, V_d = 50\text{V/div}$$

รูปที่ 5.48 รูปสัญญาณ  $V_o, V_d$  ที่มีการกำหนดมุมนำกระแส  $\alpha = 30^\circ, \beta = 30^\circ$  ที่  $a = 1:1:1$



(ข) รูปสัญญาณ  $V_o, V_d$  ที่ได้จากการทดลอง

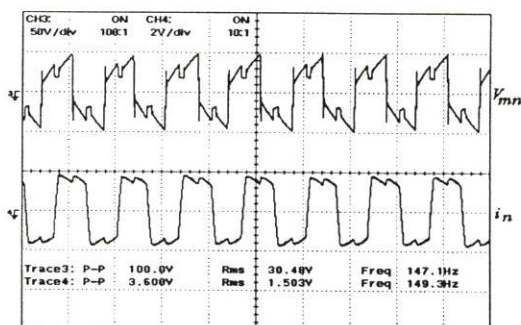
$$V_o = 100\text{V/div}, V_d = 100\text{V/div}$$



(ก) รูปสัญญาณ  $V_{mn}, i_n$  ที่ได้จากการจำลอง

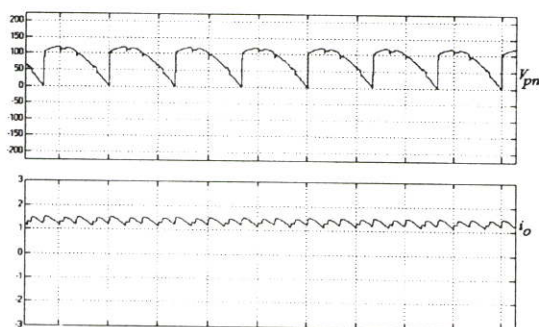
$$V_{mn} = 20\text{V/div}, i_n = 0.5\text{A/div}$$

รูปที่ 5.49 รูปสัญญาณ  $V_{mn}, i_n$  ที่มีการกำหนดมุมนำกระแส  $\alpha = 30^\circ, \beta = 30^\circ$  ที่  $a = 1:1:1$



(ข) รูปสัญญาณ  $V_{mn}, i_n$  ที่ได้จากการทดลอง

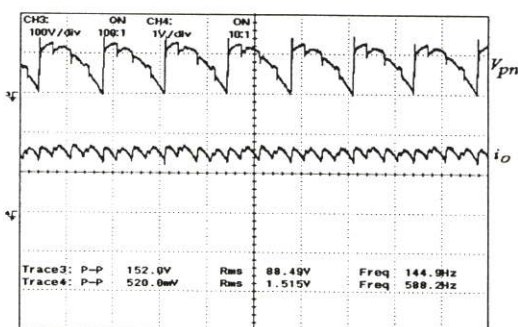
$$V_{mn} = 50\text{V/div}, i_n = 2\text{A/div}$$



(ก) รูปสัญญาณ  $V_{pn}, i_o$  ที่ได้จากการจำลอง

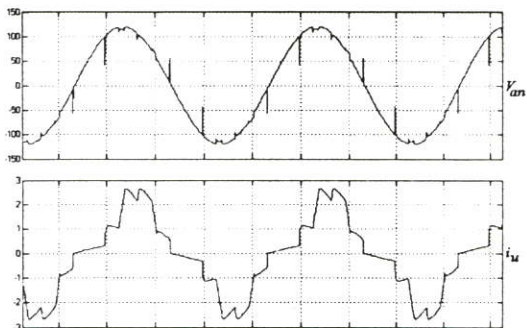
$$V_{pn} = 50\text{V/div}, i_o = 1\text{A/div}$$

รูปที่ 5.50 รูปสัญญาณ  $V_{pn}, i_o$  ที่มีการกำหนดมุมนำกระแส  $\alpha = 30^\circ, \beta = 30^\circ$  ที่  $a = 1:1:1$



(ข) รูปสัญญาณ  $V_{pn}, i_o$  ที่ได้จากการทดลอง

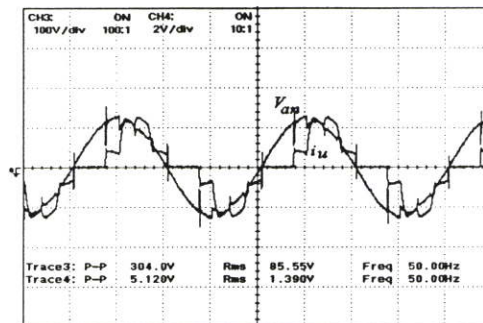
$$V_{pn} = 100\text{V/div}, i_o = 1\text{A/div}$$



(ก) รูปสัญญาณ  $V_{an}$ ,  $i_a$  ที่ได้จากการจำลอง

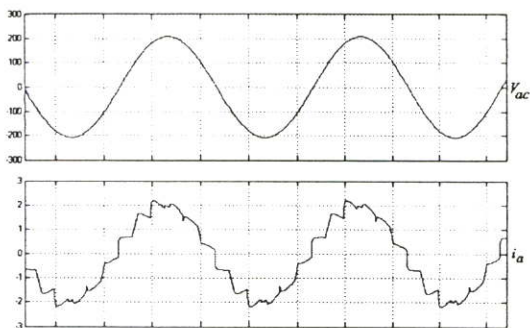
$$V_{an} = 50\text{V/div}, i_a = 1\text{A/div}$$

รูปที่ 5.51 รูปสัญญาณ  $V_{an}$ ,  $i_a$  ที่มีการกำหนดมุมนำกระแส  $\alpha = 30^\circ$ ,  $\beta = 30^\circ$  ที่  $a = 1:1:1$



(ข) รูปสัญญาณ  $V_{an}$ ,  $i_a$  ที่ได้จากการทดลอง

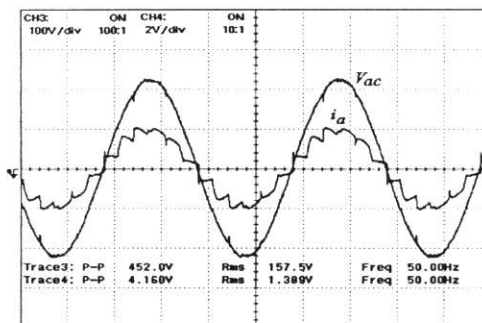
$$V_{an} = 100\text{V/div}, i_a = 2\text{A/div}$$



(ก) รูปสัญญาณ  $V_{ac}$ ,  $i_a$  ที่ได้จากการจำลอง

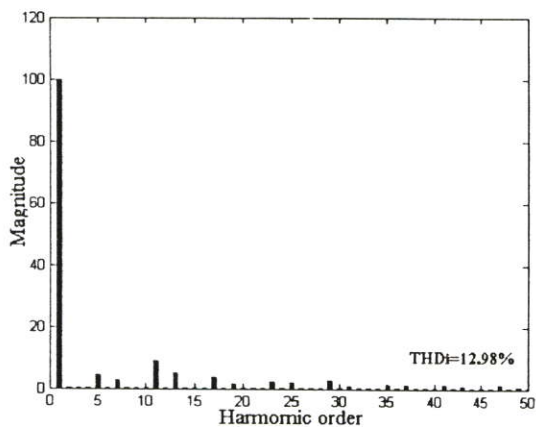
$$V_{ac} = 100\text{V/div}, i_a = 1\text{A/div}$$

รูปที่ 5.52 รูปสัญญาณ  $V_{ac}$ ,  $i_a$  ที่มีการกำหนดมุมนำกระแส  $\alpha = 30^\circ$ ,  $\beta = 30^\circ$  ที่  $a = 1:1:1$

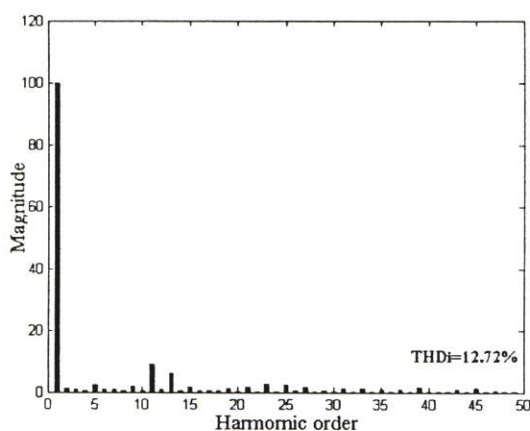


(ข) รูปสัญญาณ  $V_{ac}$ ,  $i_a$  ที่ได้จากการทดลอง

$$V_{ac} = 100\text{V/div}, i_a = 2\text{A/div}$$



(ก) ค่า THDi ของกระแส  $i_a$  ได้จากการจำลอง



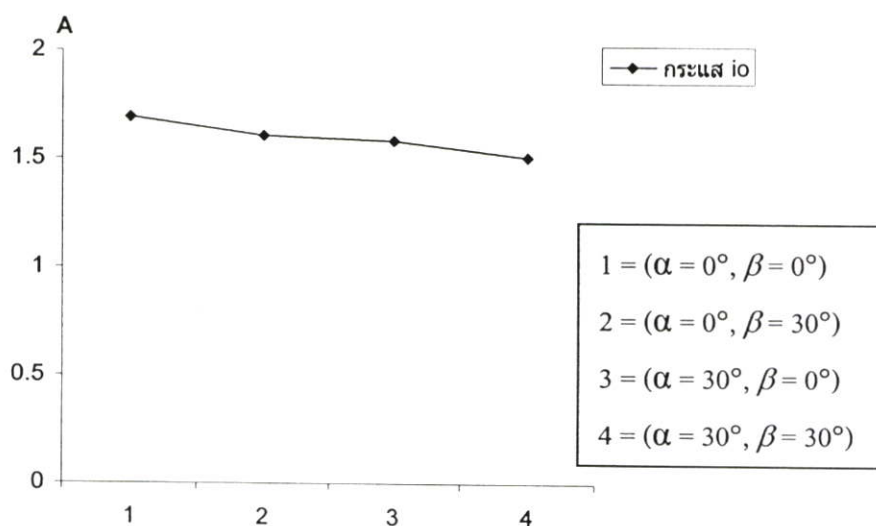
(ข) ค่า THDi ของกระแส  $i_a$  ได้จากการทดลอง

รูปที่ 5.53 ค่า THDi ของกระแส  $i_a$  ที่มีการกำหนดมุมนำกระแส  $\alpha = 30^\circ$ ,  $\beta = 30^\circ$  ที่  $a = 1:1:1$

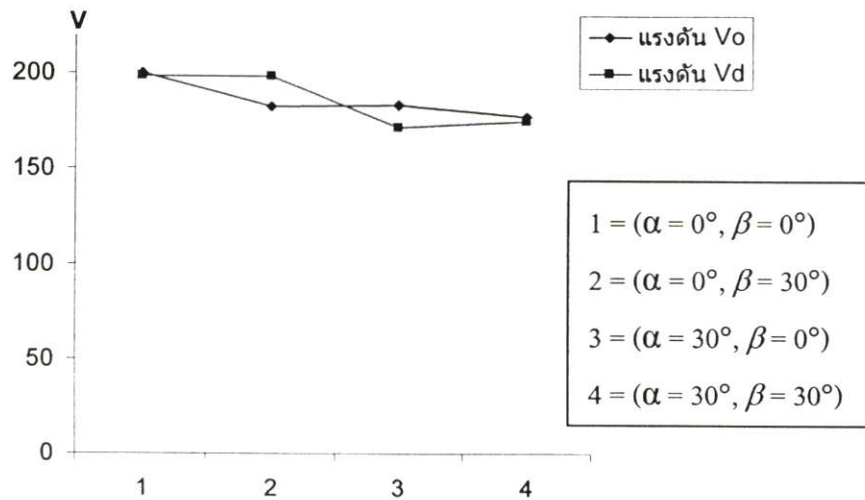
ตารางที่ 5.4 แสดงผลการทำงานที่การกำหนดค่า  $a = 1:1:1, k = 1:1, V_{LL} = 155V$

$\alpha$	$\beta$	$V_o$ (V)	$V_d$ (V)	$i_o$ (A)	THDi (%)
$0^\circ$	$0^\circ$	200.4	198.3	1.69	10.75
$0^\circ$	$30^\circ$	182.4	198.7	1.61	26.25
$30^\circ$	$0^\circ$	183.8	171.7	1.59	16.95
$30^\circ$	$30^\circ$	176.8	175.1	1.51	12.72

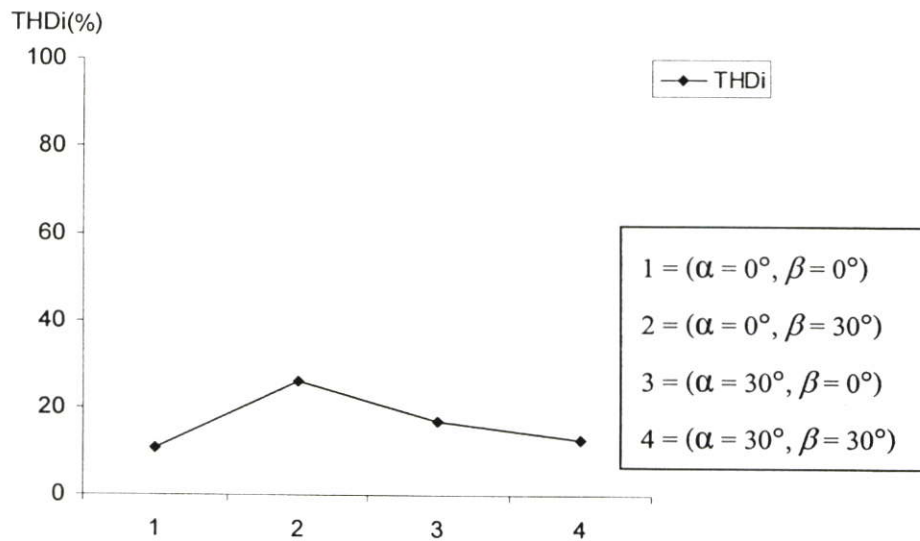
จากการทดสอบผลจากตารางที่ 5.4 เมื่อปรับมุมนำกระแสที่แตกต่างกัน ที่อัตราส่วน  $a = 1:1:1$  ค่าของแรงดัน  $V_o$  จากรูปที่ 5.36 ที่วงจร 6 พัลส์คอนเวอร์เตอร์ เมื่อไทรสเตอร์เริ่มนำกระแสที่มุม  $\alpha = 0^\circ$  แรงดันพัลส์  $V_d$  ที่ได้จะไม่เกิดมูมทริกของสัญญาณพัลส์ และที่แรงดัน  $V_o$  ไทรสเตอร์  $T_p$  และ  $T_q$  นำกระแสที่มุม  $\beta = 30^\circ$  ทำให้แรงดันทางเอาท์พุทเกิดมูมทริกที่  $30^\circ$  ทำให้เกิดสัญญาณแรงดันพัลส์  $V_o$  เท่ากัน 6 พัลส์คอนเวอร์เตอร์ และจากรูปที่ 5.42 ที่วงจร 6 พัลส์คอนเวอร์เตอร์ เมื่อไทรสเตอร์เริ่มนำกระแสที่มุม  $\alpha = 30^\circ$  แรงดันพัลส์  $V_d$  จะเท่ากับ 6 คอนเวอร์เตอร์ และที่แรงดันพัลส์  $V_o$  ไทรสเตอร์  $T_p$  และ  $T_q$  นำกระแสที่มุม  $\beta = 0^\circ$  สัญญาณแรงดันพัลส์  $V_o$  ที่ได้จะไม่เกิดมูมทริกของสัญญาณไทรสเตอร์ ทำให้แรงดันพัลส์  $V_o$  เท่ากับ 6 พัลส์คอนเวอร์เตอร์ จากรูปที่ 5.48 ที่วงจร 6 พัลส์คอนเวอร์เตอร์ เมื่อไทรสเตอร์เริ่มนำกระแสที่มุม  $\alpha = 30^\circ$  แรงดันพัลส์  $V_d$  จะเท่ากับ 6 คอนเวอร์เตอร์ และที่แรงดันพัลส์  $V_o$  ไทรสเตอร์  $T_p$  และ  $T_q$  นำกระแสที่มุม  $\beta = 30^\circ$  สัญญาณแรงดันพัลส์  $V_o$  ที่ได้จะเท่ากับ 12 พัลส์คอนเวอร์เตอร์ สัญญาณ  $V_o$  ที่ได้จะเห็นว่าสัญญาณแรงดันพัลส์ช่วงไทรสเตอร์  $T_p, T_q$  นำกระแสรูปคลื่นสัญญาณพัลส์จะเต็มพัลส์สัญญาณ



รูปที่ 5.54 แสดงกระแสเอาท์พุท  $i_o$  อัตราส่วน  $a = 1:1:1, k = 1:1$  ที่มีการปรับมุมนำกระแส  $\alpha, \beta$



รูปที่ 5.55 แสดงแรงดัน  $V_o, V_d$  อัตราส่วน  $a = 1:1:1, k = 1:1$  ที่มีการปรับมุมนำกระแส  $\alpha, \beta$

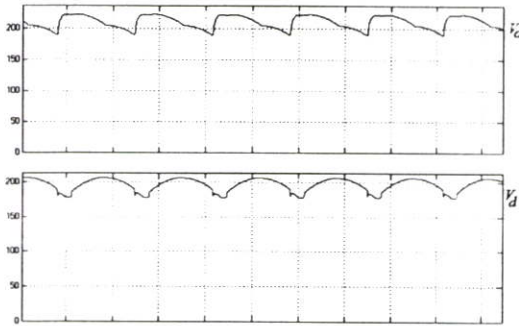


รูปที่ 5.56 แสดงค่า THDi อัตราส่วน  $a = 1:1:1, k = 1:1$  ที่มีการปรับมุมนำกระแส  $\alpha, \beta$

จากรูปที่ 5.56 ค่า THDi ที่ได้จากข้อมูลชุดที่ 1 และชุดที่ 4 ค่าของ THDi จะมีค่าน้อยกว่าข้อมูลชุดที่ 2 กับ 3 แสดงให้เห็นว่าการกำหนดมุมให้ ( $\alpha, \beta$ ) ที่ไม่เท่ากันจะมีผลต่อการทำงานของระบบ

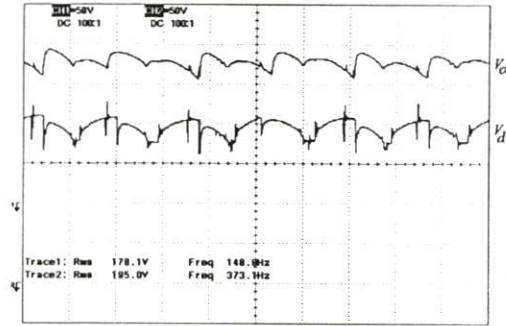
### 5.5 การทดสอบที่อัตราส่วนหม้อแปลง $a = 1:1.5:1.5, k = 1:1$

#### 5.5.1 กำหนดให้มุมนำกระแส $\alpha = 0^\circ, \beta = 0^\circ$



(ก) รูปสัญญาณ  $V_o, I_d$  ที่ได้จากการจำลอง

$V_o = 50\text{V/div}, I_d = 50\text{A/div}$



(ข) รูปสัญญาณ  $V_o, I_d$  ที่ได้จากการทดลอง

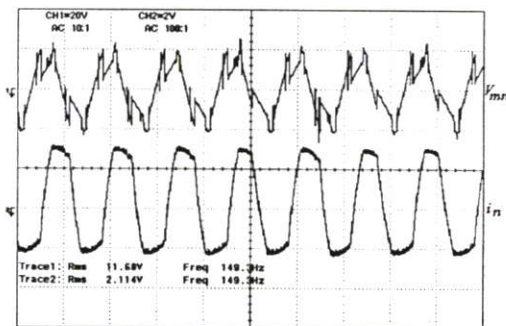
$V_o = 50\text{V/div}, I_d = 50\text{A/div}$

รูปที่ 5.57 รูปสัญญาณ  $V_o, I_d$  ที่มีการกำหนดมุมนำกระแส  $\alpha = 0^\circ, \beta = 0^\circ$  ที่  $a = 1:1.5:1.5$



(ก) รูปสัญญาณ  $V_{mn}, I_n$  ที่ได้จากการจำลอง

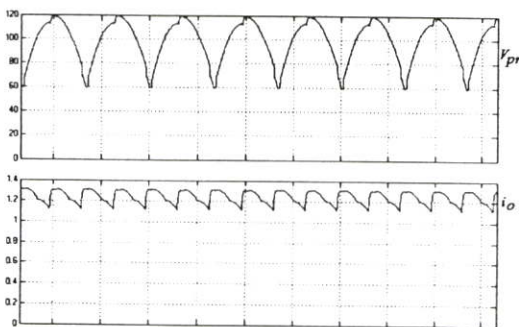
$V_{mn} = 10\text{V/div}, I_n = 0.5\text{A/div}$



(ข) รูปสัญญาณ  $V_{mn}, I_n$  ที่ได้จากการทดลอง

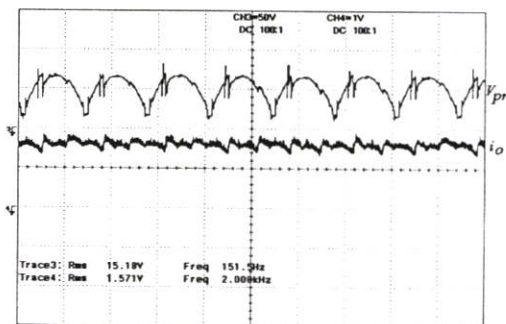
$V_{mn} = 20\text{V/div}, I_n = 2\text{A/div}$

รูปที่ 5.58 รูปสัญญาณ  $V_{mn}, I_n$  ที่มีการกำหนดมุมนำกระแส  $\alpha = 0^\circ, \beta = 0^\circ$  ที่  $a = 1:1.5:1.5$



(ก) รูปสัญญาณ  $V_{pn}, I_o$  ที่ได้จากการจำลอง

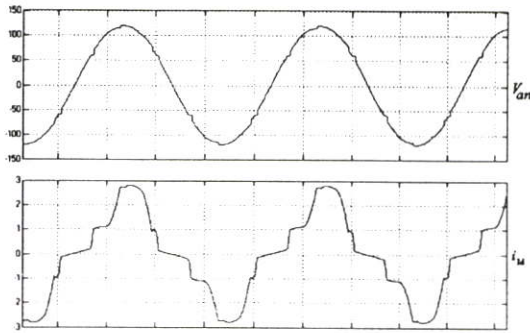
$V_{pn} = 20\text{V/div}, I_o = 0.2\text{A/div}$



(ข) รูปสัญญาณ  $V_{pn}, I_o$  ที่ได้จากการทดลอง

$V_{pn} = 50\text{V/div}, I_o = 1\text{A/div}$

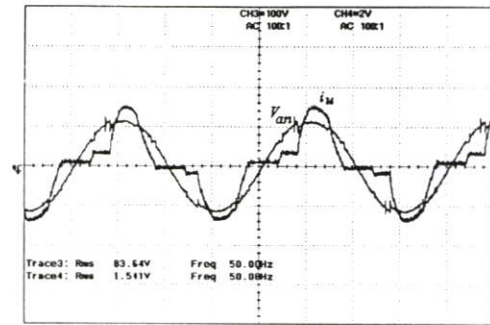
รูปที่ 5.59 รูปสัญญาณ  $V_{pn}, I_o$  ที่มีการกำหนดมุมนำกระแส  $\alpha = 0^\circ, \beta = 0^\circ$  ที่  $a = 1:1.5:1.5$



(ก) รูปสัญญาณ  $V_{an}, i_u$  ที่ได้จากการจำลอง

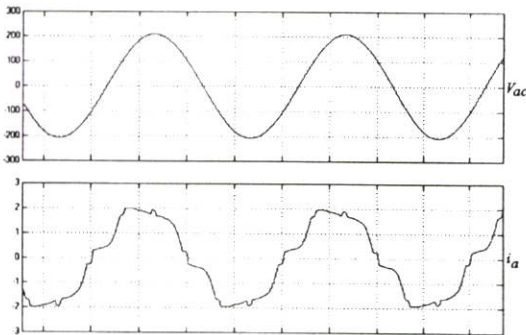
$V_{an} = 50V/div, i_u = 1A/div$

รูปที่ 5.60 รูปสัญญาณ  $V_{an}, i_u$  ที่มีการกำหนดมุมนำกระแส  $\alpha = 0^\circ, \beta = 0^\circ$  ที่  $a = 1:1.5:1.5$



(ข) รูปสัญญาณ  $V_{an}, i_u$  ที่ได้จากการทดลอง

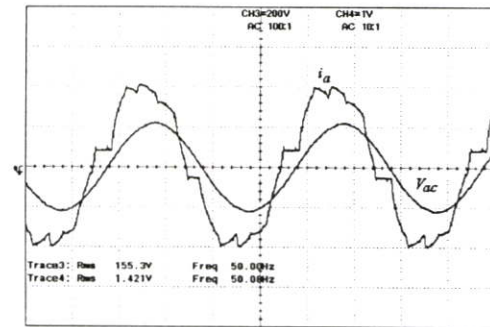
$V_{an} = 100V/div, i_u = 2A/div$



(ก) รูปสัญญาณ  $V_{ac}, i_a$  ที่ได้จากการจำลอง

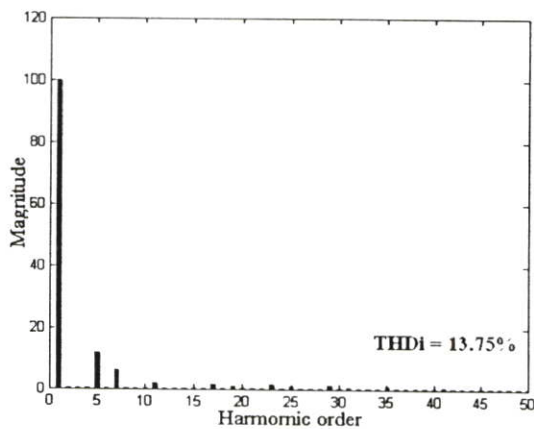
$V_{ac} = 100V/div, i_a = 1A/div$

รูปที่ 5.61 รูปสัญญาณ  $V_{ac}, i_a$  ที่มีการกำหนดมุมนำกระแส  $\alpha = 0^\circ, \beta = 0^\circ$  ที่  $a = 1:1.5:1.5$



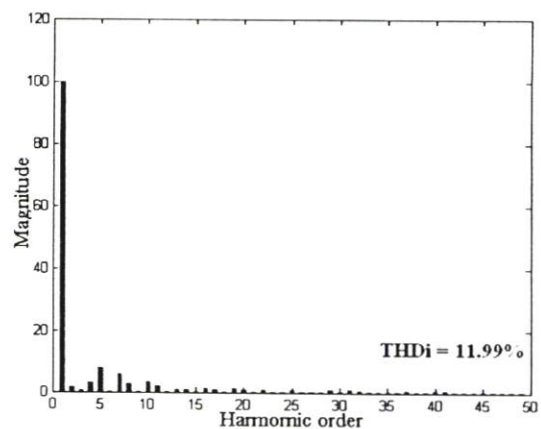
(ข) รูปสัญญาณ  $V_{ac}, i_a$  ที่ได้จากการทดลอง

$V_{ac} = 200V/div, i_a = 1A/div$



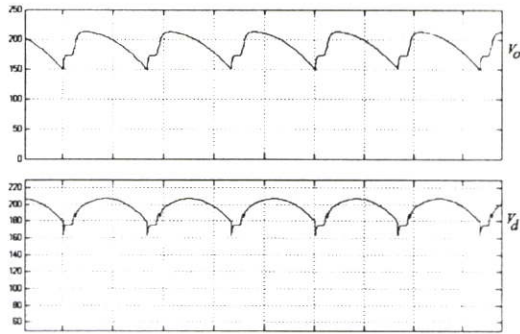
(ก) ค่า THDi ของกระแส  $i_u$  ได้จากการจำลอง

รูปที่ 5.62 ค่า THDi ของกระแส  $i_u$  ที่มีการกำหนดมุมนำกระแส  $\alpha = 0^\circ, \beta = 0^\circ$  ที่  $a = 1:1.5:1.5$



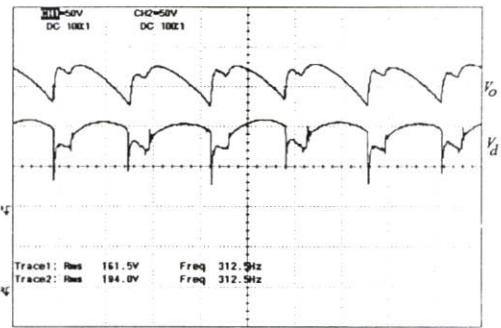
(ข) ค่า THDi ของกระแส  $i_u$  ได้จากการทดลอง

5.5.2 กำหนดให้มุมนำกระแส  $\alpha = 0^\circ, \beta = 30^\circ$



(ก) รูปสัญญาณ  $V_o, V_d$  ที่ได้จากการจำลอง

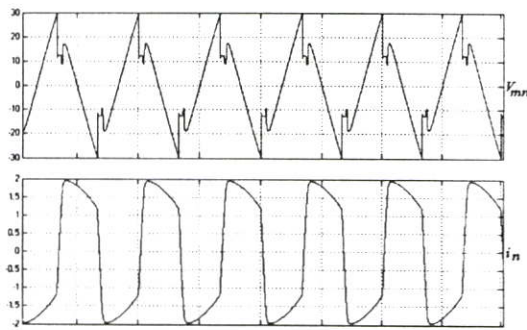
$V_o = 50\text{V/div}, V_d = 20\text{V/div}$



(ข) รูปสัญญาณ  $V_o, V_d$  ที่ได้จากการทดลอง

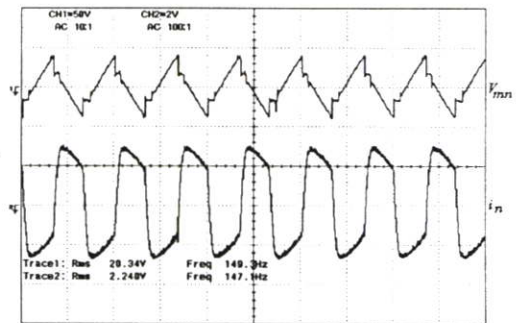
$V_o = 50\text{V/div}, V_d = 50\text{V/div}$

รูปที่ 5.63 รูปสัญญาณ  $V_o, V_d$  ที่มีการกำหนดมุมนำกระแส  $\alpha = 0^\circ, \beta = 30^\circ$  ที่  $a = 1:1.5:1.5$



(ก) รูปสัญญาณ  $V_{mn}, i_n$  ที่ได้จากการจำลอง

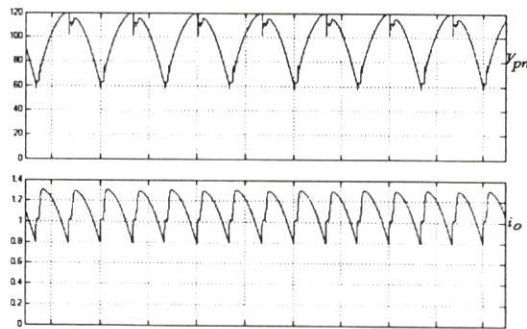
$V_{mn} = 10\text{V/div}, i_n = 0.5\text{A/div}$



(ข) รูปสัญญาณ  $V_{mn}, i_n$  ที่ได้จากการทดลอง

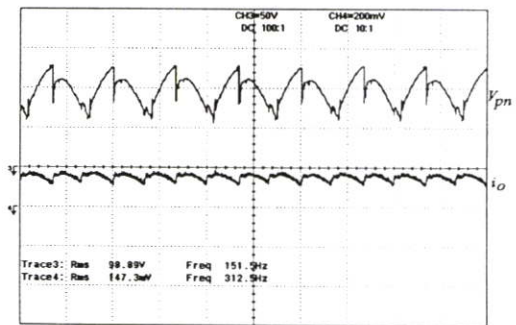
$V_{mn} = 50\text{V/div}, i_n = 2\text{A/div}$

รูปที่ 5.64 รูปสัญญาณ  $V_{mn}, i_n$  ที่มีการกำหนดมุมนำกระแส  $\alpha = 0^\circ, \beta = 30^\circ$  ที่  $a = 1:1.5:1.5$



(ก) รูปสัญญาณ  $V_{pn}, i_o$  ที่ได้จากการจำลอง

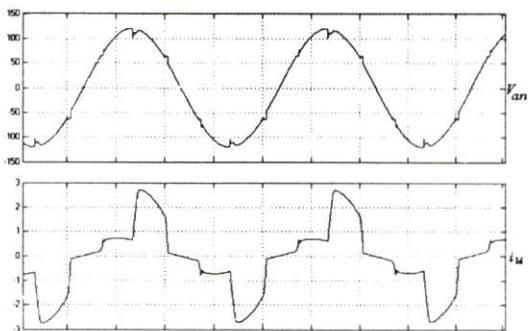
$V_{pn} = 20\text{V/div}, i_o = 0.2\text{A/div}$



(ข) รูปสัญญาณ  $V_{pn}, i_o$  ที่ได้จากการทดลอง

$V_{pn} = 50\text{V/div}, i_o = 200\text{mA/div}$

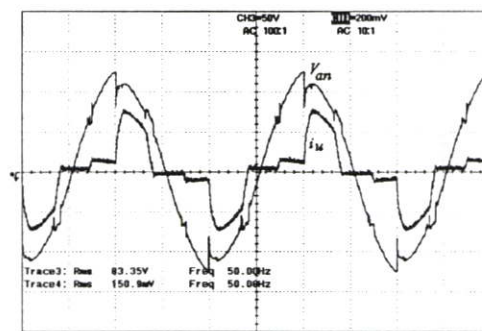
รูปที่ 5.65 รูปสัญญาณ  $V_{pn}, i_o$  ที่มีการกำหนดมุมนำกระแส  $\alpha = 0^\circ, \beta = 30^\circ$  ที่  $a = 1:1.5:1.5$



(ก) รูปสัญญาณ  $V_{an}, i_u$  ที่ได้จากการจำลอง

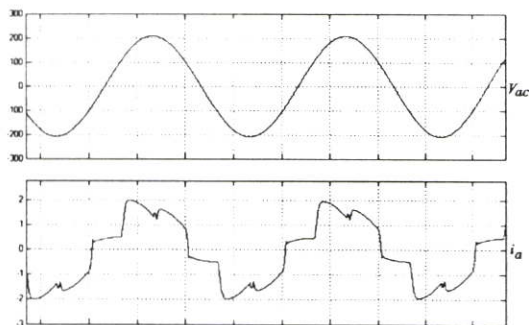
$$V_{an} = 50\text{V/div}, i_u = 1\text{A/div}$$

รูปที่ 5.66 รูปสัญญาณ  $V_{an}, i_u$  ที่มีการกำหนดมุมนำกระแส  $\alpha = 0^\circ, \beta = 30^\circ$  ที่  $a = 1:1.5:1.5$



(ข) รูปสัญญาณ  $V_{an}, i_u$  ที่ได้จากการทดลอง

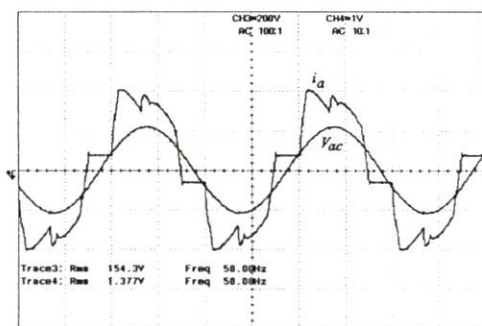
$$V_{an} = 50\text{V/div}, i_u = 200\text{mA/div}$$



(ก) รูปสัญญาณ  $V_{ac}, i_a$  ที่ได้จากการจำลอง

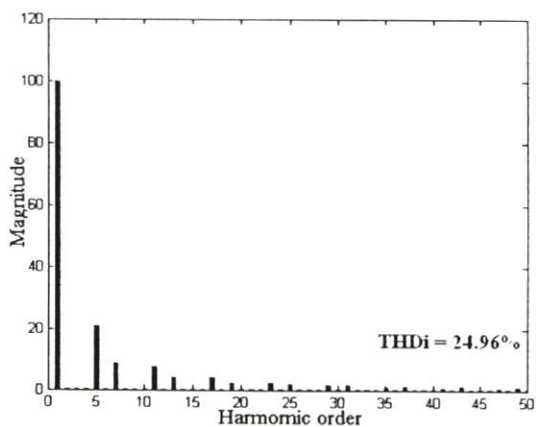
$$V_{ac} = 100\text{V/div}, i_a = 1\text{A/div}$$

รูปที่ 5.67 รูปสัญญาณ  $V_{ac}, i_a$  ที่มีการกำหนดมุมนำกระแส  $\alpha = 0^\circ, \beta = 30^\circ$  ที่  $a = 1:1.5:1.5$

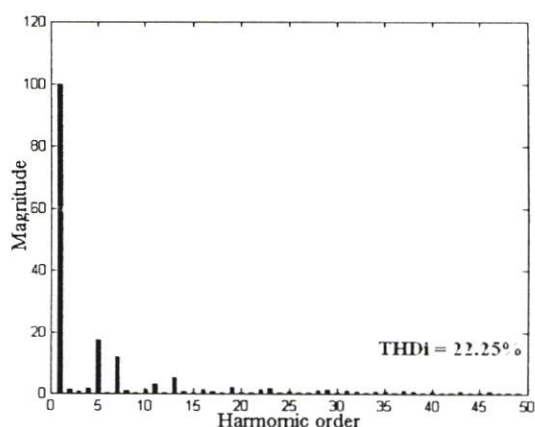


(ข) รูปสัญญาณ  $V_{ac}, i_a$  ที่ได้จากการทดลอง

$$V_{ac} = 200\text{V/div}, i_a = 1\text{A/div}$$



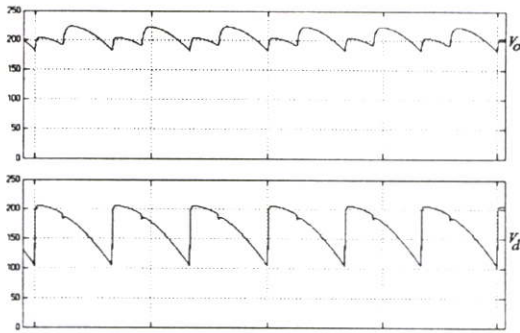
(ก) ค่า THDi ของกระแส  $i_u$  ที่ได้จากการจำลอง



(ข) ค่า THDi ของกระแส  $i_u$  ได้จากการทดลอง

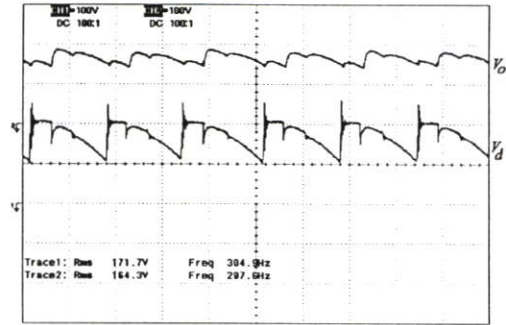
รูปที่ 5.68 ค่า THDi ของกระแส  $i_u$  ที่มีการกำหนดมุมนำกระแส  $\alpha = 0^\circ, \beta = 30^\circ$  ที่  $a = 1:1.5:1.5$

5.5.3 กำหนดให้มุมนำกระแส  $\alpha = 30^\circ, \beta = 0^\circ$



(ก) รูปคลื่นสัญญาณ  $V_o, V_d$  ที่ได้จากการจำลอง

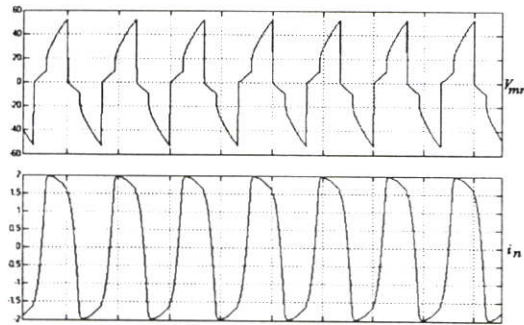
$V_o = 50\text{V/div}, V_d = 50\text{V/div}$



(ข) รูปสัญญาณ  $V_o, V_d$  ที่ได้จากการทดลอง

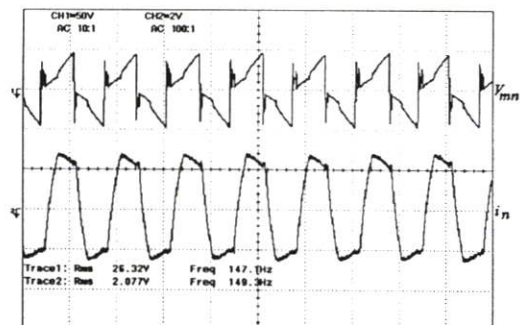
$V_o = 100\text{V/div}, V_d = 100\text{V/div}$

รูปที่ 5.69 รูปสัญญาณ  $V_o, V_d$  ที่มีการกำหนดมุมนำกระแส  $\alpha = 30^\circ, \beta = 0^\circ$  ที่  $a = 1:1.5:1.5$



(ก) รูปสัญญาณ  $V_{mn}, i_n$  ที่ได้จากการจำลอง

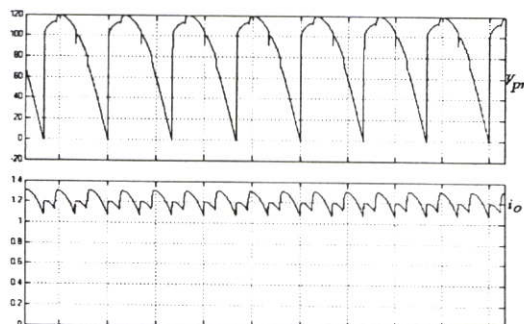
$V_{mn} = 20\text{V/div}, i_n = 0.5\text{A/div}$



(ข) รูปสัญญาณ  $V_{mn}, i_n$  ที่ได้จากการทดลอง

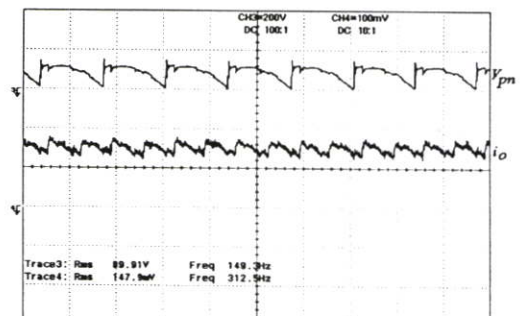
$V_{mn} = 50\text{V/div}, i_n = 2\text{A/div}$

รูปที่ 5.70 รูปสัญญาณ  $V_{mn}, i_n$  ที่มีการกำหนดมุมนำกระแส  $\alpha = 30^\circ, \beta = 0^\circ$  ที่  $a = 1:1.5:1.5$



(ก) รูปสัญญาณ  $V_{pn}, i_o$  ที่ได้จากการจำลอง

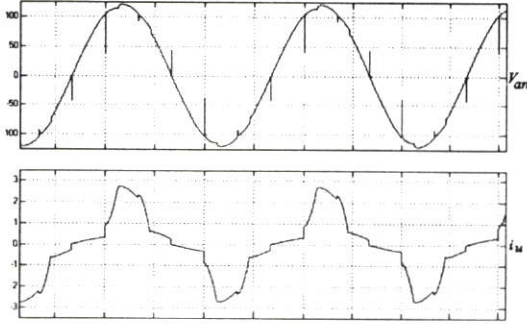
$V_{pn} = 20\text{V/div}, i_o = 0.2\text{A/div}$



(ข) รูปสัญญาณ  $V_{pn}, i_o$  ที่ได้จากการทดลอง

$V_{pn} = 200\text{V/div}, i_o = 100\text{mA/div}$

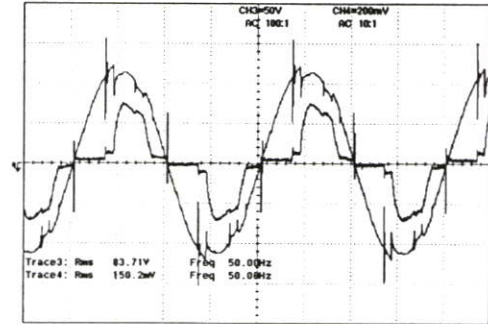
รูปที่ 5.71 รูปสัญญาณ  $V_{pn}, i_o$  ที่มีการกำหนดมุมนำกระแส  $\alpha = 30^\circ, \beta = 0^\circ$  ที่  $a = 1:1.5:1.5$



(ก) รูปสัญญาณ  $V_{an}, i_u$  ที่ได้จากการจำลอง

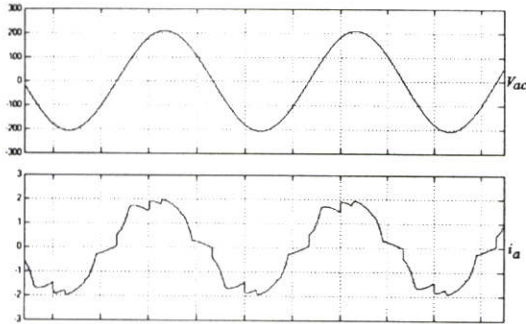
$$V_{an} = 50\text{V/div}, i_u = 1\text{A/div}$$

รูปที่ 5.72 รูปสัญญาณ  $V_{an}, i_u$  ที่มีการกำหนดมุมนำกระแส  $\alpha = 30^\circ, \beta = 0^\circ$  ที่  $a = 1:1.5:1.5$



(ข) รูปสัญญาณ  $V_{an}, i_u$  ที่ได้จากการทดลอง

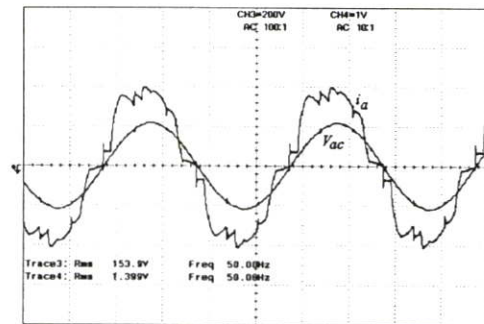
$$V_{an} = 50\text{V/div}, i_u = 200\text{mA/div}$$



(ก) รูปสัญญาณ  $V_{ac}, i_a$  ที่ได้จากการจำลอง

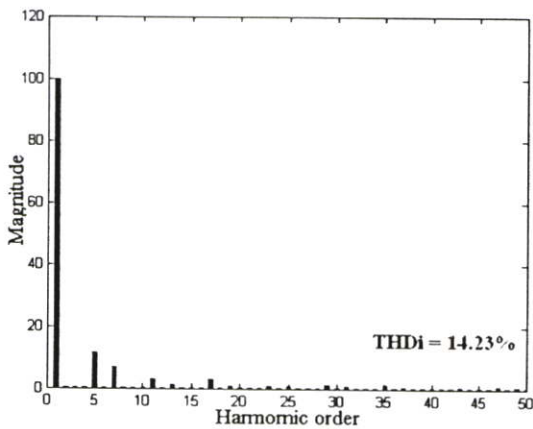
$$V_{ac} = 100\text{V/div}, i_a = 1\text{A/div}$$

รูปที่ 5.73 รูปสัญญาณ  $V_{ac}, i_a$  ที่มีการกำหนดมุมนำกระแส  $\alpha = 30^\circ, \beta = 0^\circ$  ที่  $a = 1:1.5:1.5$

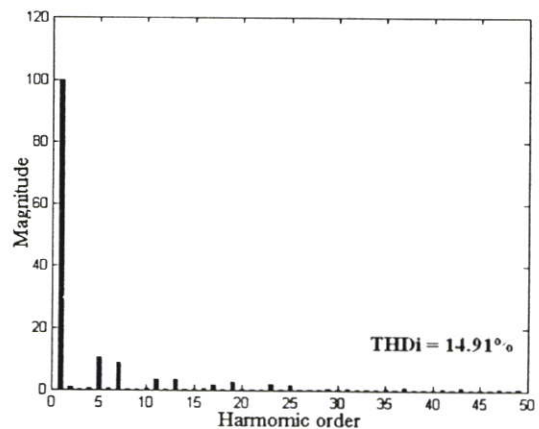


(ข) รูปสัญญาณ  $V_{ac}, i_a$  ที่ได้จากการทดลอง

$$V_{ac} = 200\text{V/div}, i_a = 1\text{A/div}$$



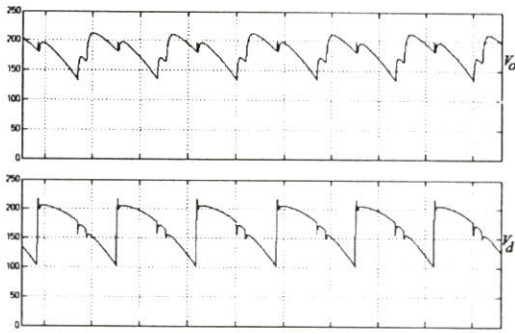
(ก) ค่า THDi ของกระแส  $i_u$  ได้จากการจำลอง



(ข) ค่า THDi ของกระแส  $i_u$  ได้จากการทดลอง

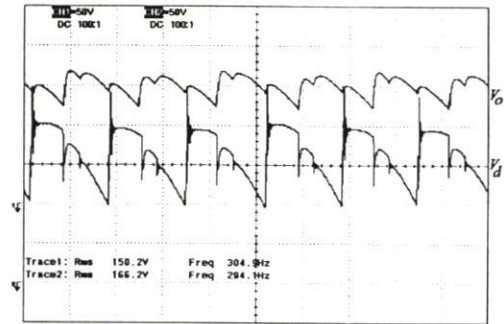
รูปที่ 5.74 ค่า THDi ของกระแส  $i_u$  ที่มีการกำหนดมุมนำกระแส  $\alpha = 30^\circ, \beta = 0^\circ$  ที่  $a = 1:1.5:1.5$

### 5.5.4 กำหนดให้มุมนำกระแส $\alpha = 30^\circ$ , $\beta = 30^\circ$



(ก) รูปสัญญาณ  $V_o$ ,  $V_d$  ที่ได้จากการจำลอง

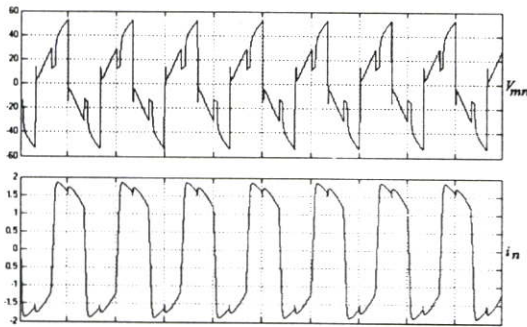
$$V_o = 50\text{V/div}, V_d = 50\text{V/div}$$



(ข) รูปสัญญาณ  $V_o$ ,  $V_d$  ที่ได้จากการทดลอง

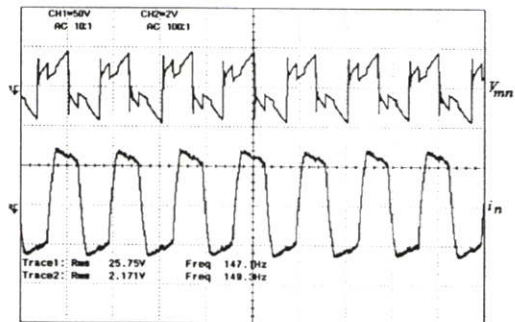
$$V_o = 50\text{V/div}, V_d = 50\text{V/div}$$

รูปที่ 5.75 รูปสัญญาณ  $V_o$ ,  $V_d$  ที่มีการกำหนดมุมนำกระแส  $\alpha = 30^\circ$ ,  $\beta = 30^\circ$  ที่  $a = 1:1.5:1.5$



(ก) รูปสัญญาณ  $V_{mn}$ ,  $i_n$  ที่ได้จากการจำลอง

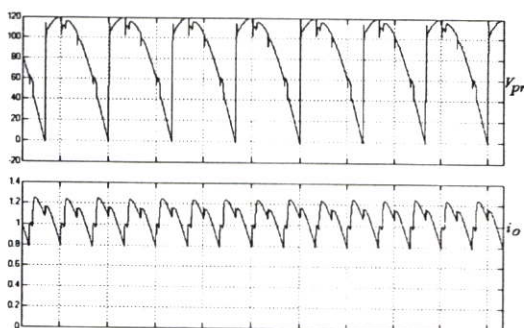
$$V_{mn} = 20\text{V/div}, i_n = 0.5\text{A/div}$$



(ข) รูปสัญญาณ  $V_{mn}$ ,  $i_n$  ที่ได้จากการทดลอง

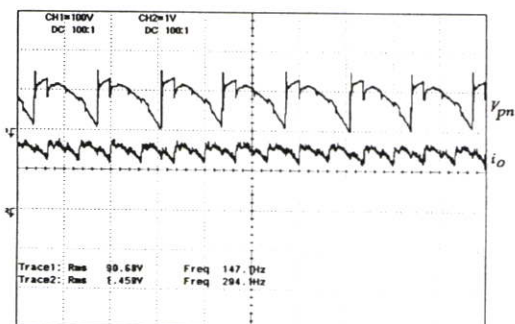
$$V_{mn} = 50\text{V/div}, i_n = 2\text{A/div}$$

รูปที่ 5.76 รูปสัญญาณ  $V_{mn}$ ,  $i_n$  ที่มีการกำหนดมุมนำกระแส  $\alpha = 30^\circ$ ,  $\beta = 30^\circ$  ที่  $a = 1:1.5:1.5$



(ก) รูปสัญญาณ  $V_{pn}$ ,  $i_o$  ที่ได้จากการจำลอง

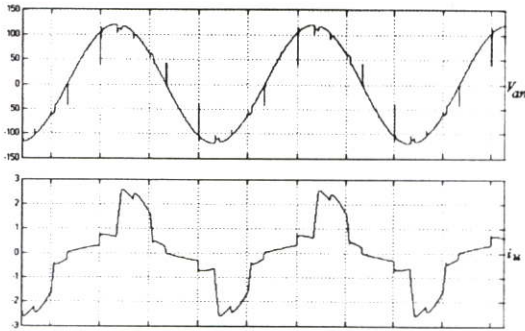
$$V_{pn} = 20\text{V/div}, i_o = 0.2\text{A/div}$$



(ข) รูปสัญญาณ  $V_{pn}$ ,  $i_o$  ที่ได้จากการทดลอง

$$V_{pn} = 100\text{V/div}, i_o = 1\text{A/div}$$

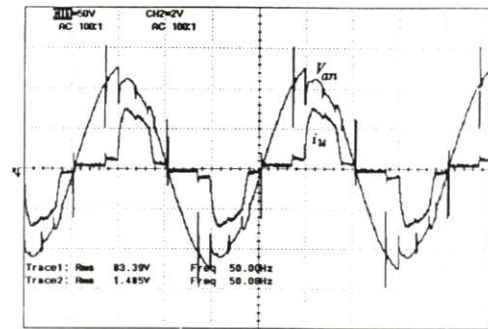
รูปที่ 5.77 รูปสัญญาณ  $V_{pn}$ ,  $i_o$  ที่มีการกำหนดมุมนำกระแส  $\alpha = 30^\circ$ ,  $\beta = 30^\circ$  ที่  $a = 1:1.5:1.5$



(ก) รูปสัญญาณ  $V_{an}, i_u$  ที่ได้จากการจำลอง

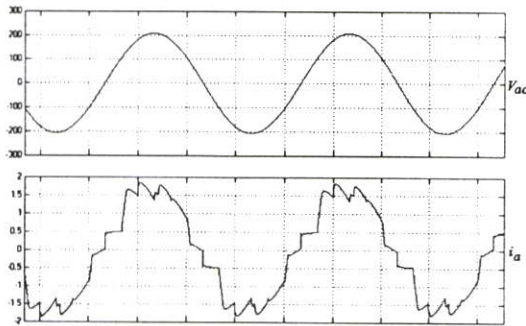
$$V_{an} = 50\text{V/div}, i_u = 1\text{A/div}$$

รูปที่ 5.78 รูปสัญญาณ  $V_{an}, i_u$  ที่มีการกำหนดมุมนำกระแส  $\alpha = 30^\circ, \beta = 30^\circ$  ที่  $a = 1:1.5:1.5$



(ข) รูปสัญญาณ  $V_{an}, i_u$  ที่ได้จากการทดลอง

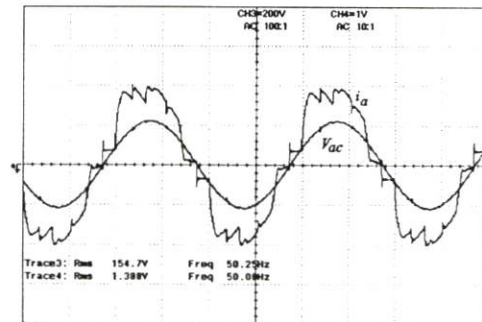
$$V_{an} = 50\text{V/div}, i_u = 2\text{A/div}$$



(ก) รูปสัญญาณ  $V_{ac}, i_a$  ที่ได้จากการจำลอง

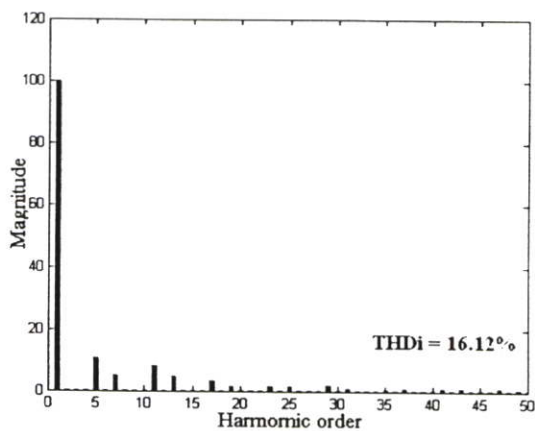
$$V_{ac} = 100\text{V/div}, i_a = 0.5\text{A/div}$$

รูปที่ 5.79 รูปสัญญาณ  $V_{ac}, i_a$  ที่มีการกำหนดมุมนำกระแส  $\alpha = 30^\circ, \beta = 30^\circ$  ที่  $a = 1:1.5:1.5$

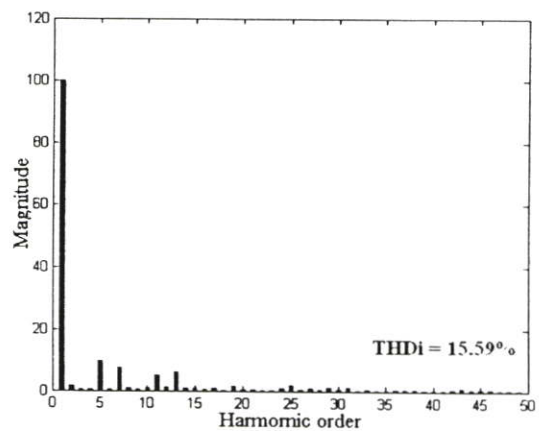


(ข) รูปสัญญาณ  $V_{ac}, i_a$  ที่ได้จากการทดลอง

$$V_{ac} = 200\text{V/div}, i_a = 1\text{A/div}$$



(ก) ค่า THDi ของกระแส  $i_u$  ได้จากการจำลอง



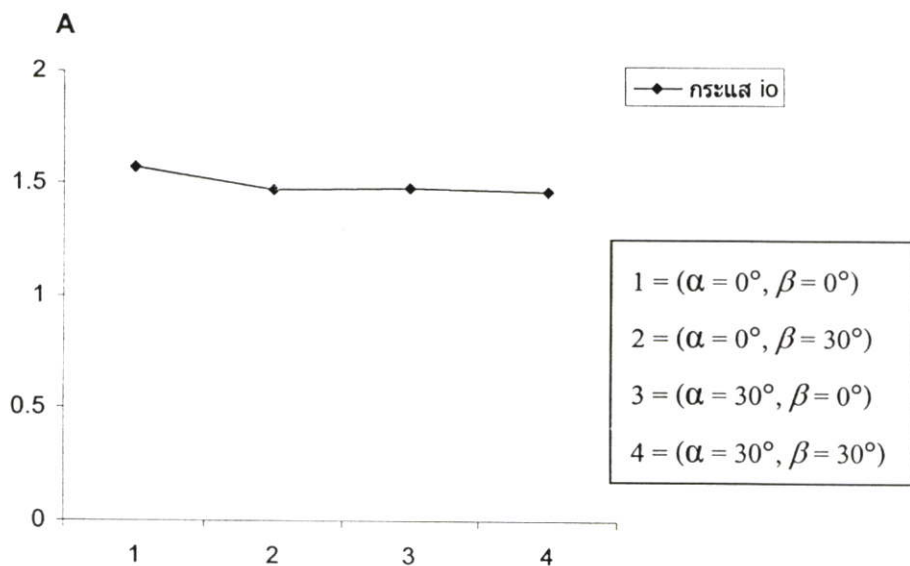
(ข) ค่า THDi ของกระแส  $i_a$  ได้จากการทดลอง

รูปที่ 5.80 ค่า THDi ของกระแส  $i_u$  ที่มีการกำหนดมุมนำกระแส  $\alpha = 30^\circ, \beta = 30^\circ$  ที่  $a = 1:1.5:1.5$

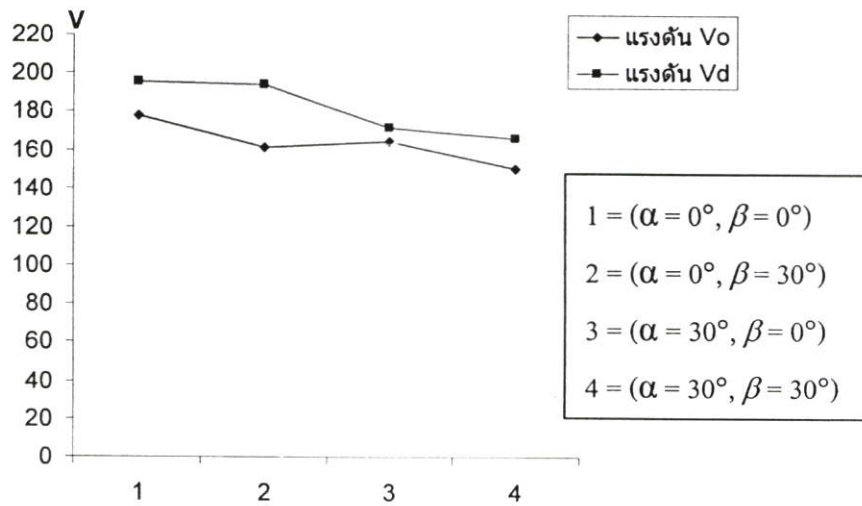
ตารางที่ 5.5 แสดงผลการทำงานที่การกำหนดค่า  $a = 1:1.5:1.5$ ,  $k = 1:1$ ,  $V_{LL} = 155V$

$\alpha$	$\beta$	$V_o$ (V)	$V_d$ (V)	$i_o$ (A)	THDi (%)
$0^\circ$	$0^\circ$	178.1	195	1.57	11.99
$0^\circ$	$30^\circ$	161.5	194	1.47	22.25
$30^\circ$	$0^\circ$	164.3	171.7	1.48	14.91
$30^\circ$	$30^\circ$	150.2	166.2	1.46	15.59

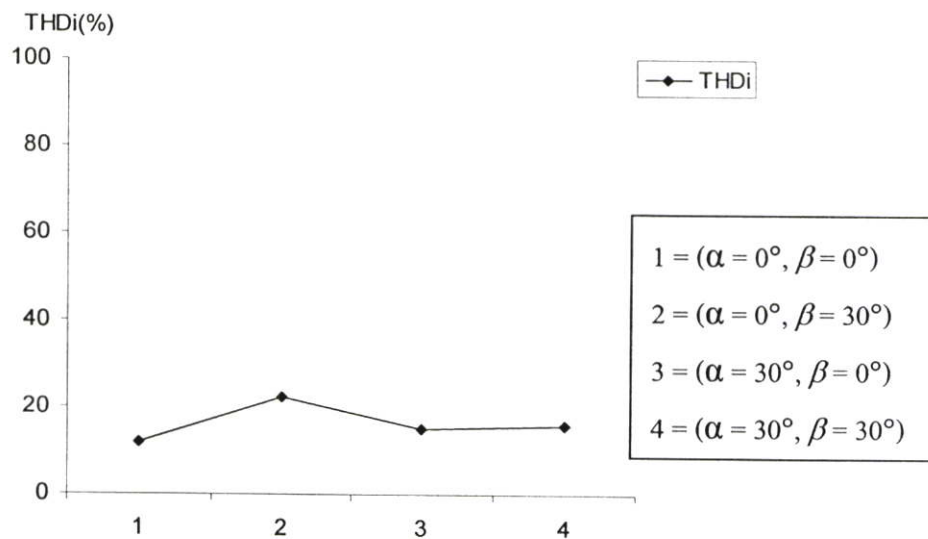
จากการทดสอบผลจากตารางที่ 5.5 เมื่อปรับมุมนำกระแสที่แตกต่างกัน ที่อัตราส่วน  $a = 1:1.5:1.5$  ค่าของแรงดัน  $V_o$  จากรูปที่ 5.63 ที่วงจร 6 พัลส์คอนเวอร์เตอร์ เมื่อไทรสเตอร์เริ่มนำกระแสที่มุม  $\alpha = 0^\circ$  แรงดันพัลส์  $V_d$  ที่ได้จะไม่เกิดมุมทริกของสัญญาณไทรสเตอร์ และที่แรงดัน  $V_o$  ไทรสเตอร์  $T_p$  และ  $T_q$  นำกระแสที่มุม  $\beta = 30^\circ$  ทำให้แรงดันทางเอาต์พุตเกิดมุมทริกที่  $30^\circ$  ทำให้เกิดสัญญาณแรงดันพัลส์  $V_o$  เท่ากับ 6 พัลส์คอนเวอร์เตอร์ และจากรูปที่ 5.69 ที่วงจร 6 พัลส์คอนเวอร์เตอร์ เมื่อไทรสเตอร์เริ่มนำกระแสที่มุม  $\alpha = 30^\circ$  แรงดันพัลส์  $V_d$  จะเท่ากับ 6 คอนเวอร์เตอร์ และที่แรงดันพัลส์  $V_o$  ไทรสเตอร์  $T_p$  และ  $T_q$  นำกระแสที่มุม  $\beta = 0^\circ$  สัญญาณแรงดันพัลส์  $V_o$  ที่ได้จะไม่เกิดมุมทริกของสัญญาณไทรสเตอร์ ทำให้แรงดันพัลส์  $V_o$  เท่ากับ 6 พัลส์คอนเวอร์เตอร์ จากรูปที่ 5.78 ที่วงจร 6 พัลส์คอนเวอร์เตอร์ เมื่อไทรสเตอร์เริ่มนำกระแสที่มุม  $\alpha = 30^\circ$  แรงดันพัลส์  $V_d$  จะเท่ากับ 6 คอนเวอร์เตอร์ และที่แรงดันพัลส์  $V_o$  ไทรสเตอร์  $T_p$  และ  $T_q$  นำกระแสที่มุม  $\beta = 30^\circ$  สัญญาณแรงดันพัลส์  $V_o$  ที่ได้จะมีลักษณะที่ไม่เท่ากับ 12 พัลส์คอนเวอร์เตอร์ สัญญาณ  $V_o$  ที่ได้จะเห็นว่าสัญญาณแรงดันพัลส์ช่วงไทรสเตอร์  $T_p$ ,  $T_q$  ที่อัตราส่วนของหม้อแปลงไทรสเตอร์ที่มีการเพิ่มแรงดันที่  $a = 1:1.5:1.5$  จะมีรีปเปิ้ลที่สูงขึ้นทำให้รูปคลื่นสัญญาณแรงดันพัลส์เพี้ยนไปจาก 12 พัลส์



รูปที่ 5.81 แสดงกระแสเอาต์พุต  $i_o$  อัตราส่วน  $a = 1:1.5:1.5$ ,  $k = 1:1$  ที่มีการปรับมุมนำกระแส  $\alpha, \beta$



รูปที่ 5.82 แสดงแรงดัน  $V_o$ ,  $V_d$  อัตราส่วน  $a = 1:1.5:1.5$ ,  $k = 1:1$  ที่มีการปรับมุมนำกระแส  $\alpha$ ,  $\beta$



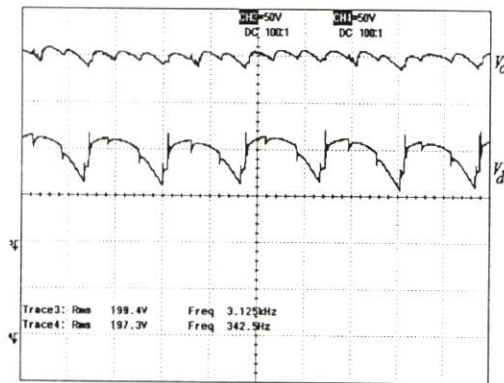
รูปที่ 5.83 แสดงค่า THDi อัตราส่วน  $a = 1:1.5:1.5$ ,  $k = 1:1$  ที่มีการปรับมุมนำกระแส  $\alpha$ ,  $\beta$

จากรูปที่ 5.83 ค่า THDi ที่ได้จากข้อมูลชุดที่ 1 และชุดที่ 3 ค่าของ THDi จะมีค่าน้อยกว่าข้อมูลชุดที่ 2 กับ 4 จะเห็นว่าอัตราส่วนของหม้อแปลงวงจรไทรสเตอร์ช่วยเมื่อมีอัตราส่วนทางด้านเอาต์พุตที่สูงขึ้นจะทำให้เกิดripple ของแรงดันสูงขึ้นตามทำให้สัญญาณกระแสอินพุต  $i_d$  ผิดเพี้ยนไปจากรูปคลื่นไซน์

## 5.6 ทดสอบการทำงาน 12 พัลส์คอนเวอร์เตอร์แบบปรับปรุง

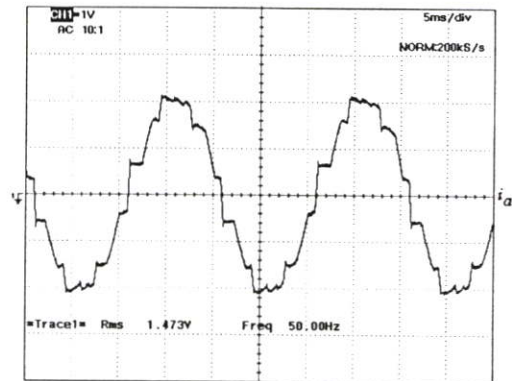
### 5.6.1 ทดสอบค่าการปรับมุมนำกระแสไทรสเตอร์ตั้งแต่ $10^\circ$ ถึง $60^\circ$

ทดสอบโดยจะให้พิกัดแรงดันไฟฟ้ากระแสตรง  $V_{LL}$  ให้เท่ากับประมาณ 150V และกระแส  $i_o$  มีค่าไม่เกิน 2A ความถี่ 50Hz และกำหนดมุมนำกระแสที่คอนเวอร์เตอร์เท่ากับและปรับมุมนำกระแสตั้งแต่  $10^\circ$  จนถึง  $60^\circ$  ings โดยค่าโหลดคงที่ จากอัตราส่วนหม้อแปลงได้จากหัวข้อที่ทดสอบ 5.3 ถึง 5.5 จะเห็นว่าอัตราส่วนที่หม้อแปลงอินเตอร์เฟสและหม้อแปลงวงจรช่วยไทรสเตอร์ ค่าอัตราส่วนที่เหมาะสมจะเท่ากับ  $a = 1:1:1$  และ  $k = 1:1$  นำมาทำการทดสอบเพื่อดูความแตกต่างของแรงดันเอาต์พุต และกระแสอินพุตเมื่อมีการปรับเปลี่ยนมุมนำกระแส



(ก) รูปสัญญาณ  $V_o$ ,  $V_d$  ที่มุมนำกระแส  $10^\circ$

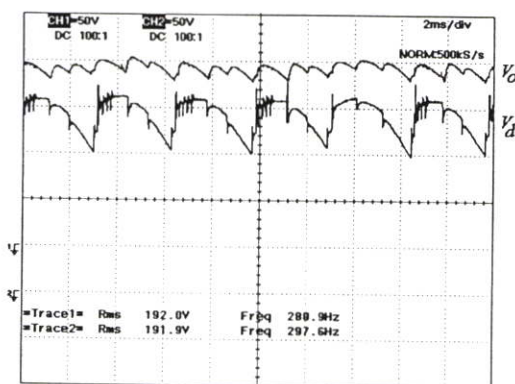
$$V_o = 50\text{V/div}, V_d = 50\text{V/div}$$



(ข) รูปสัญญาณ  $i_a$  ที่มุมนำกระแส  $10^\circ$

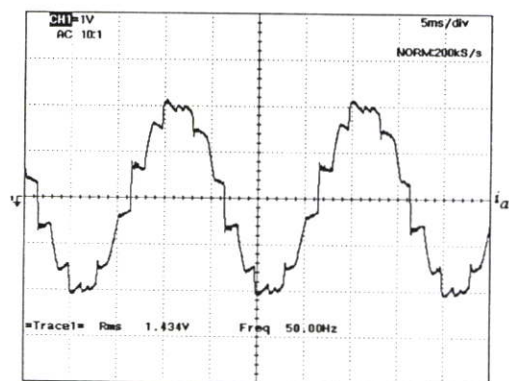
$$i_a = 1\text{A/div}$$

รูปที่ 5.84 รูปสัญญาณแรงดัน  $V_o$ ,  $V_d$  และกระแส  $i_a$  ที่มุมนำกระแส  $10^\circ$  ที่  $a = 1:1:1, k = 1:1$



(ก) รูปสัญญาณ  $V_o$ ,  $V_d$  ที่มุมนำกระแส  $15^\circ$

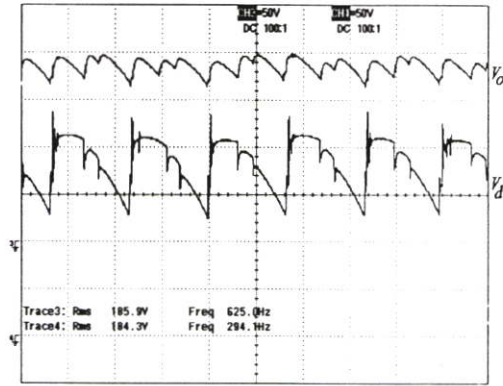
$$V_o = 50\text{V/div}, V_d = 50\text{V/div}$$



(ข) รูปสัญญาณ  $i_a$  ที่มุมนำกระแส  $15^\circ$

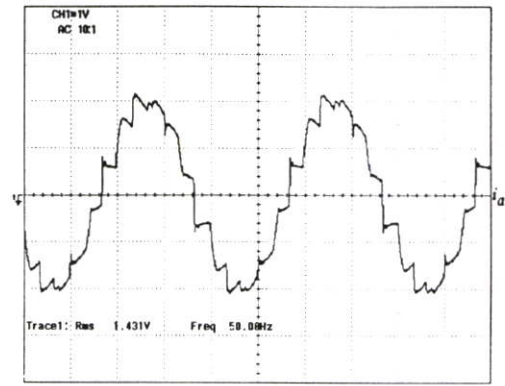
$$i_a = 1\text{A/div}$$

รูปที่ 5.85 รูปสัญญาณแรงดัน  $V_o$ ,  $V_d$  และกระแส  $i_a$  ที่มุมนำกระแส  $15^\circ$  ที่  $a = 1:1:1, k = 1:1$



(ก) รูปสัญญาณ  $V_o$ ,  $V_d$  ที่มุมนำกระแส  $20^\circ$

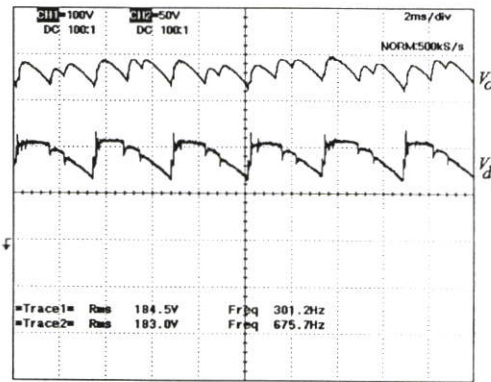
$$V_o = 50\text{V/div}, V_d = 50\text{V/div}$$



(ข) รูปสัญญาณ  $i_a$  ที่มุมนำกระแส  $20^\circ$

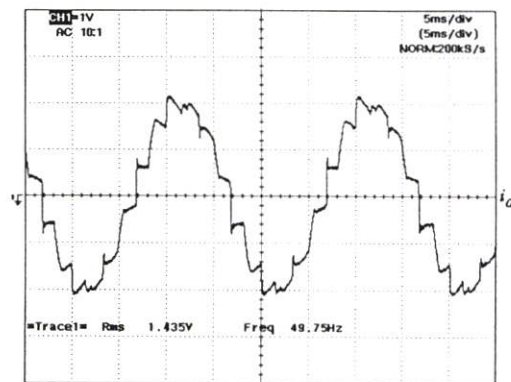
$$i_a = 1\text{A/div}$$

รูปที่ 5.86 รูปสัญญาณแรงดัน  $V_o$ ,  $V_d$  และกระแส  $i_a$  ที่มุมนำกระแส  $20^\circ$  ที่  $a = 1:1:1, k = 1:1$



(ก) รูปสัญญาณ  $V_o$ ,  $V_d$  ที่มุมนำกระแส  $25^\circ$

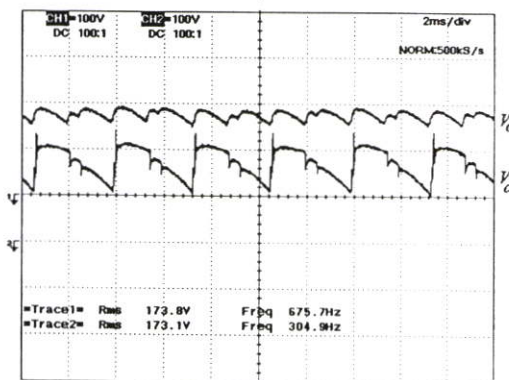
$$V_o = 50\text{V/div}, V_d = 100\text{V/div}$$



(ข) รูปสัญญาณ  $i_a$  ที่มุมนำกระแส  $25^\circ$

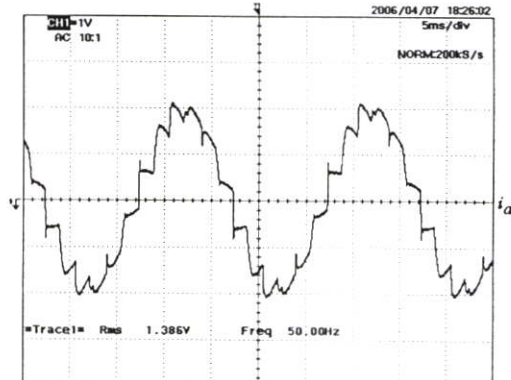
$$i_a = 1\text{A/div}$$

รูปที่ 5.87 รูปสัญญาณแรงดัน  $V_o$ ,  $V_d$  และกระแส  $i_a$  ที่มุมนำกระแส  $25^\circ$  ที่  $a = 1:1:1, k = 1:1$



(ก) รูปสัญญาณ  $V_o$ ,  $V_d$  ที่มุมนำกระแส  $30^\circ$

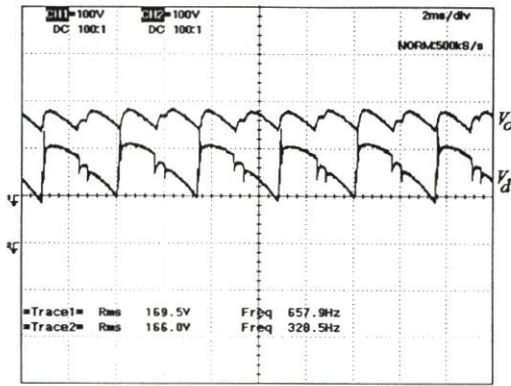
$$V_o = 100\text{V/div}, V_d = 100\text{V/div}$$



(ข) รูปสัญญาณ  $i_a$  ที่มุมนำกระแส  $30^\circ$

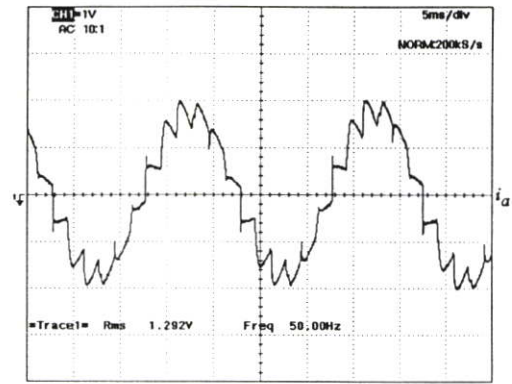
$$i_a = 1\text{A/div}$$

รูปที่ 5.88 รูปสัญญาณแรงดัน  $V_o$ ,  $V_d$  และกระแส  $i_a$  ที่มุมนำกระแส  $30^\circ$  ที่  $a = 1:1:1, k = 1:1$

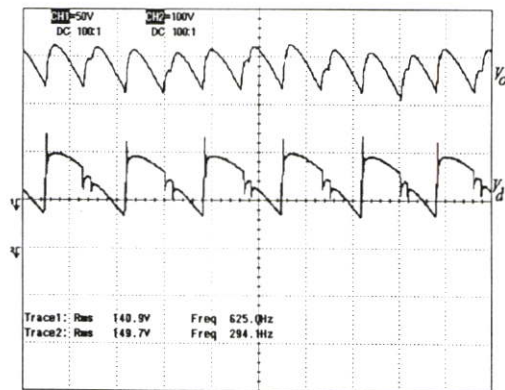
(ก) รูปสัญญาณ  $V_o$ ,  $V_d$  ที่มุมนำกระแส  $35^\circ$ 

$$V_o = 100\text{V/div}, V_d = 100\text{V/div}$$

รูปที่ 5.89 รูปสัญญาณแรงดัน  $V_o$ ,  $V_d$  และกระแส  $i_a$  ที่มุมนำกระแส  $35^\circ$  ที่  $a = 1:1:1, k = 1:1$

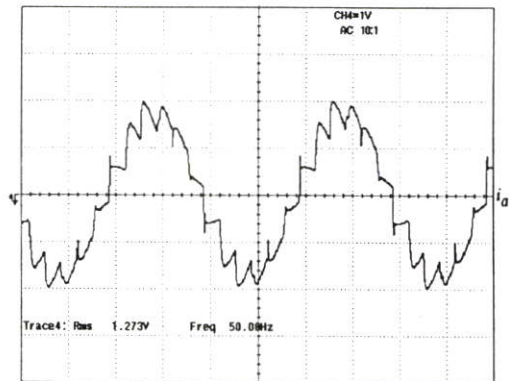
(ข) รูปสัญญาณ  $i_a$  ที่มุมนำกระแส  $35^\circ$ 

$$i_a = 1\text{A/div}$$

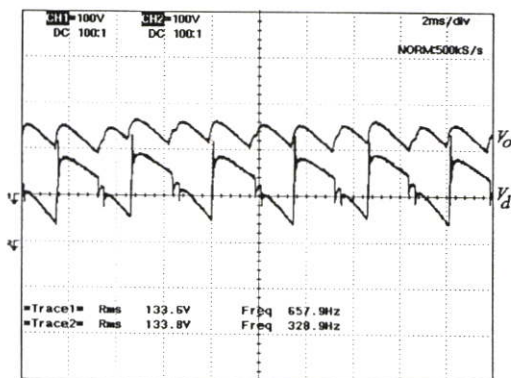
(ก) รูปสัญญาณ  $V_o$ ,  $V_d$  ที่มุมนำกระแส  $40^\circ$ 

$$V_o = 50\text{V/div}, V_d = 100\text{V/div}$$

รูปที่ 5.90 รูปสัญญาณแรงดัน  $V_o$ ,  $V_d$  และกระแส  $i_a$  ที่มุมนำกระแส  $40^\circ$  ที่  $a = 1:1:1, k = 1:1$

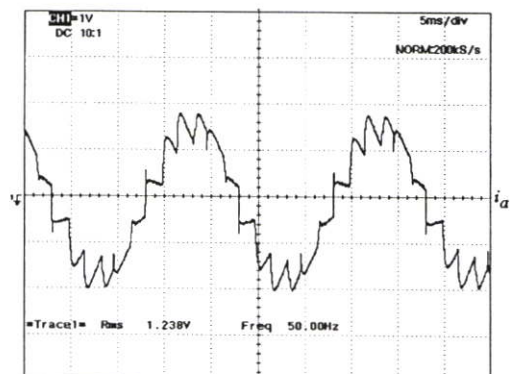
(ข) รูปสัญญาณ  $i_a$  ที่มุมนำกระแส  $40^\circ$ 

$$i_a = 1\text{A/div}$$

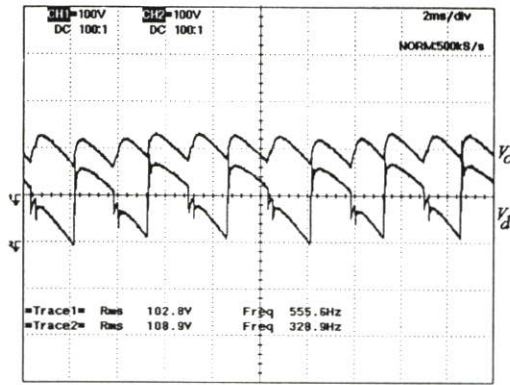
(ก) รูปสัญญาณ  $V_o$ ,  $V_d$  ที่มุมนำกระแส  $50^\circ$ 

$$V_o = 100\text{V/div}, V_d = 100\text{V/div}$$

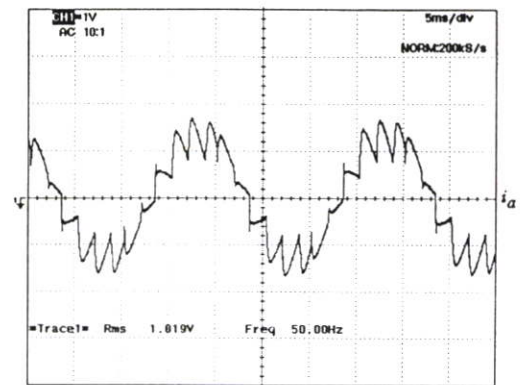
รูปที่ 5.91 รูปสัญญาณแรงดัน  $V_o$ ,  $V_d$  และกระแส  $i_a$  ที่มุมนำกระแส  $50^\circ$  ที่  $a = 1:1:1, k = 1:1$

(ข) รูปสัญญาณ  $i_a$  ที่มุมนำกระแส  $50^\circ$ 

$$i_a = 1\text{A/div}$$

(ก) รูปสัญญาณ  $V_o$ ,  $V_d$  ที่มุมนำกระแส  $60^\circ$ 

$$V_o = 100\text{V/div}, V_d = 100\text{V/div}$$

(ข) รูปสัญญาณ  $i_a$  ที่มุมนำกระแส  $60^\circ$ 

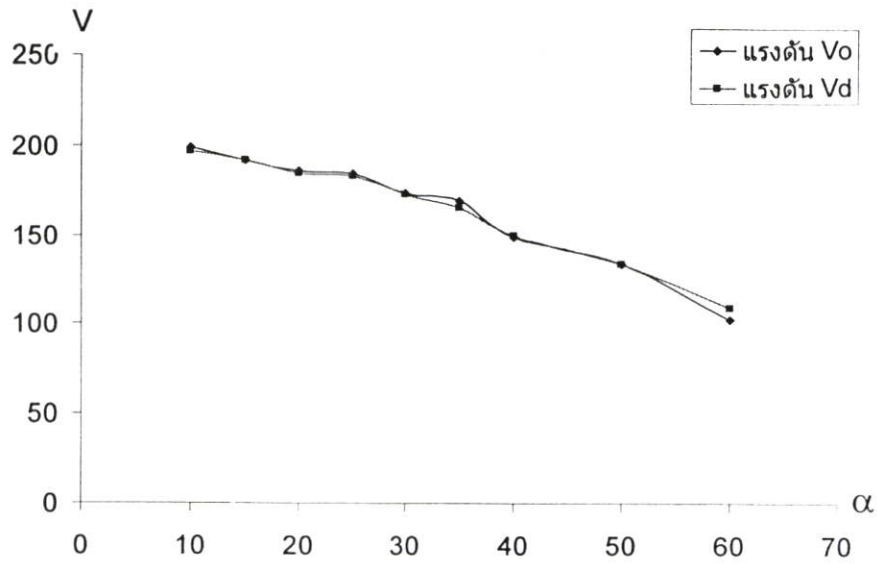
$$i_a = 1\text{A/div}$$

รูปที่ 5.92 รูปสัญญาณแรงดัน  $V_o$ ,  $V_d$  และกระแส  $i_a$  ที่มุมนำกระแส  $60^\circ$  ที่  $a = 1:1:1$ ,  $k = 1:1$

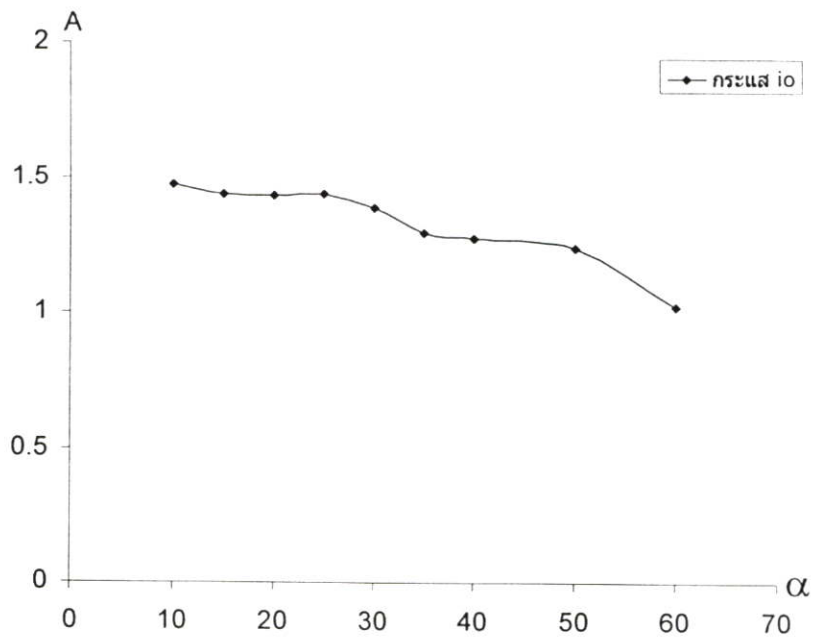
จากการทดสอบการปรับมุมนำกระแสไตรแอสเตอร์ตั้งแต่  $0^\circ$  ถึง  $60^\circ$  พบว่าเมื่อปรับมุมนำกระแสมากขึ้นแรงดันทางด้านไฟฟ้ากระแสตรงจะติดลบมากขึ้นจากรูปที่ 5.84 ถึง 5.92 กล่าวคือขณะที่มีการปรับมุมนำกระแสให้มากขึ้น  $90^\circ$  คอนเวอร์เตอร์จะทำงานในโหมดอินเวอร์เตอร์ และการส่งคืนพลังงานไฟฟ้ากลับไปยังระบบไฟฟ้ากระแสสลับ โดยการทำงานในสถานะอินเวอร์เตอร์เท่ากับ  $180^\circ$  ลบกับมุมนำกระแส  $\alpha$  ซึ่งจะให้แรงดันทางด้านไฟฟ้ากระแสตรงติดลบมากขึ้น[9] และที่ความถี่ของสัญญาณทางด้านเอาท์พุทจะมีค่าของรีเปิ้ลเท่ากับ 12 เท่าของความถี่ทางด้านอินพุท (50Hz)

ตารางที่ 5.6 กำหนดให้มุมนำกระแส ( $\alpha = \beta$ ) ปรับมุมนำกระแสตั้งแต่  $10^\circ$  ถึง  $60^\circ$

$(\alpha, \beta)$	$V_o$ (V)	$V_d$ (V)	$i_o$ (A)	$i_a$ (A)	Power(W)	THDi (%)
$10^\circ$	199.4	197.3	1.39	1.473	277.1	9.88
$15^\circ$	192	191.9	1.37	1.434	263	11.61
$20^\circ$	185.9	184.3	1.34	1.431	249.1	11.81
$25^\circ$	184.5	183	1.21	1.435	223.2	12.39
$30^\circ$	173.8	173.1	1.15	1.386	199.8	12.98
$35^\circ$	169.5	166	1.1	1.292	186.6	15.24
$40^\circ$	140.9	149.7	0.94	1.273	140	15.35
$50^\circ$	133.6	133.8	0.87	1.238	116.2	17.69
$60^\circ$	102.8	108.9	0.83	1.019	85.3	21.44

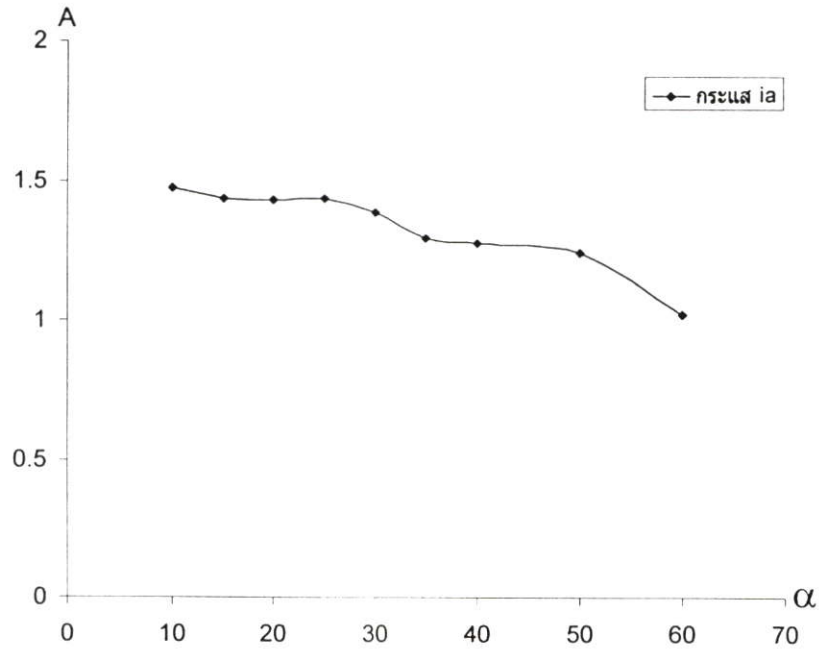


รูปที่ 5.93 แสดงค่าของแรงดัน  $V_o$  และแรงดัน  $V_d$  โดยกำหนดให้มุมนำกระแส ( $\alpha = \beta$ ) และปรับมุมนำกระแสตั้งแต่  $10^\circ$  ถึง  $60^\circ$

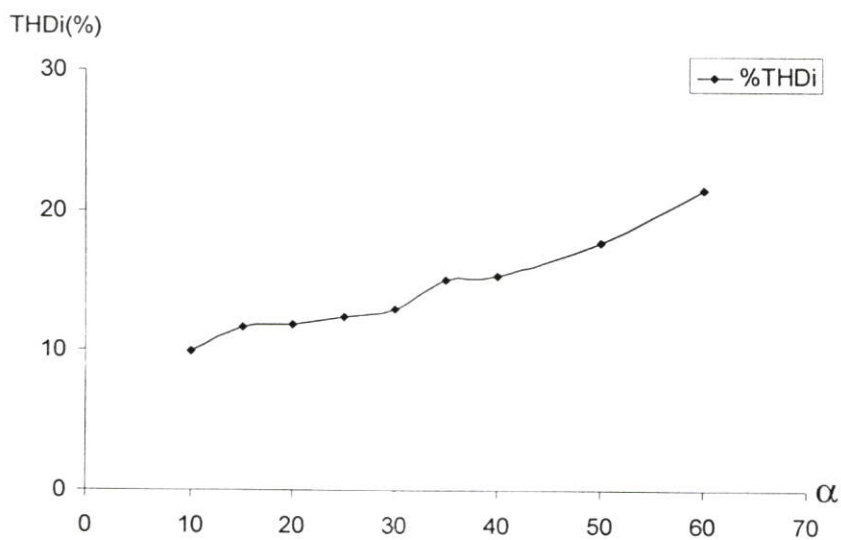


รูปที่ 5.94 แสดงค่าของกระแส  $i_o$  โดยกำหนดให้มุมนำกระแส ( $\alpha = \beta$ ) และปรับมุมนำกระแส ตั้งแต่  $10^\circ$  ถึง  $60^\circ$

จากตารางที่ 5.6 ได้แสดงถึงสภาวะการทำงานที่  $10^\circ$  ถึง  $60^\circ$  เมื่อกำหนดให้มีการปรับเปลี่ยนมุมนำกระแสมากขึ้นแรงดันเอาต์พุตจะลดลง และกระแสเอาต์พุตก็จะลดลง ส่วนค่าฮาร์มอนิกของกระแสอินพุตจะมีค่าสูงขึ้นสามารถดูได้จากรูปที่ 5.95



รูปที่ 5.95 แสดงค่าของกระแส  $i_a$  โดยกำหนดให้มุมนำกระแส ( $\alpha = \beta$ ) และปรับมุมนำกระแส ตั้งแต่  $10^\circ$  ถึง  $60^\circ$



รูปที่ 5.96 แสดงค่า THDi ที่การปรับมุมนำกระแส ( $\alpha = \beta$ ) ตั้งแต่  $10^\circ$  ถึง  $60^\circ$

จากข้อมูลการทดลองที่หัวข้อ 5.6 เมื่อทำการปรับมุมนำกระแสตั้งแต่  $10^\circ$  ถึง  $60^\circ$  โดยโพลดองที่ จากตารางที่ 5.7 ผลการทดสอบเมื่อปรับมุมนำกระแสให้มีค่ามากขึ้นแรงดันทางด้านเอาต์พุทของระบบมีค่าต่ำลงจากรูปที่ 5.93 สัญญาณรูปคลื่นกระแสอินพุทในระบบจะเริ่มไม่เข้าใกล้รูปคลื่นไซน์ THDi จึงมีค่าเพิ่มขึ้น แรงดันทางด้านไฟฟ้ากระแสตรงมีค่ารีปเปิ้ลสูงขึ้นตามรูปที่ 5.84

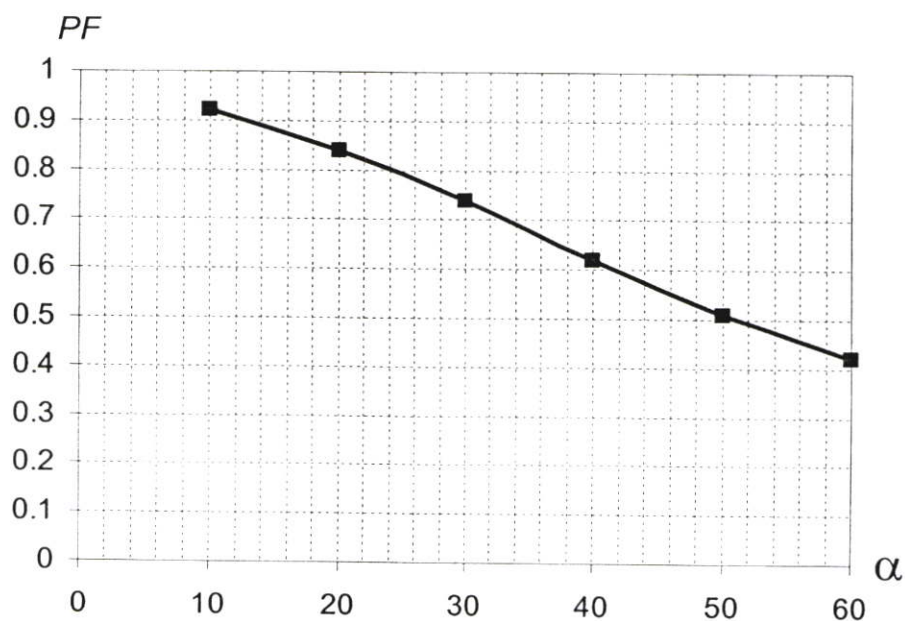
ถึง 5.92 เป็นผลจากการปรับมุมนำกระแสมากขึ้น จากรูปที่ 5.94 และ 5.95 ค่าของกระแส  $i_a$ ,  $i_b$  จะลดลง ดังนั้นค่ากำลังไฟฟ้าก็จะลดลงตาม

ค่าตัวประกอบกำลังจากการทดสอบวัดค่าทางด้านแรงดันอินพุต 3 เฟสที่ต่อแบบสตาร์ จากตารางที่ 5.7 จะเห็นว่าเมื่อมุมนำกระแสมากขึ้นค่าตัวประกอบกำลังก็จะลดลงดูได้จากรูปที่ 5.97

ตารางที่ 5.7 ค่า  $PF$  เมื่อค่ามุมนำกระแส ( $\alpha = \beta$ ) ปรับมุมนำกระแสตั้งแต่  $10^\circ$  ถึง  $60^\circ$

$(\alpha, \beta)$	$PF$
$10^\circ$	0.92
$20^\circ$	0.86
$30^\circ$	0.74
$40^\circ$	0.62
$50^\circ$	0.51
$60^\circ$	0.42

ค่าตัวประกอบกำลังที่ได้จากการทดสอบที่มุมนำกระแสตั้งแต่  $10^\circ$  ถึง  $60^\circ$

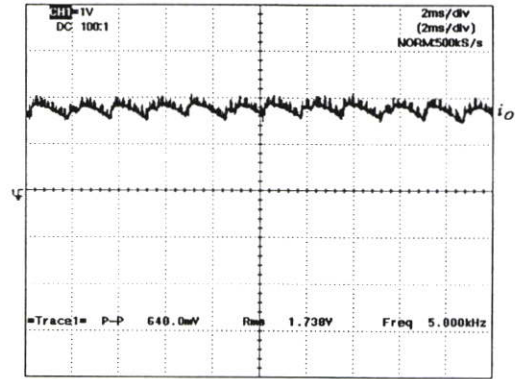
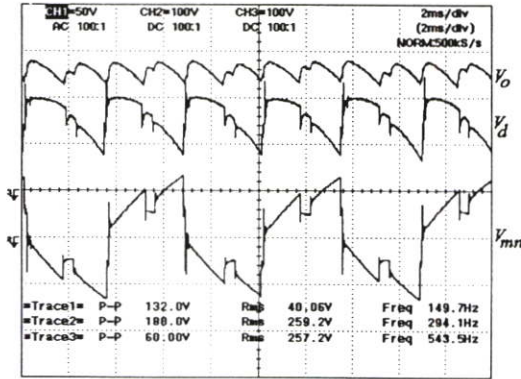


รูปที่ 5.97 แสดงค่า  $PF$  ที่การปรับมุมนำกระแส ( $\alpha = \beta$ ) ตั้งแต่  $10^\circ$  ถึง  $60^\circ$

5.6.2 ทดสอบแรงดันอินพุท

ทำการทดสอบแรงดันอินพุทเมื่อปรับแรงดันไฟฟ้าให้สูงขึ้น โดยกำหนดให้กระแส  $i_o$  มีค่าไม่เกิน 2A ความถี่ 50Hz ที่มุมนำกระแสทรานซิสเตอร์ ( $\alpha = \beta$ ) เท่ากับ  $30^\circ$  ที่โหลดเป็นหลอดไฟ

1. ทดสอบโดยให้พิกัดแรงดันไฟฟ้ากระแสสลับ ที่แรงดันอินพุท  $V_{LL}$  ประมาณ 220V



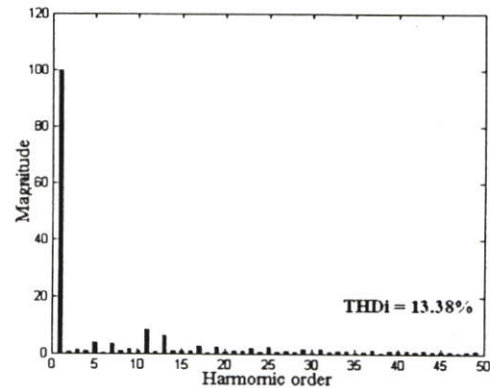
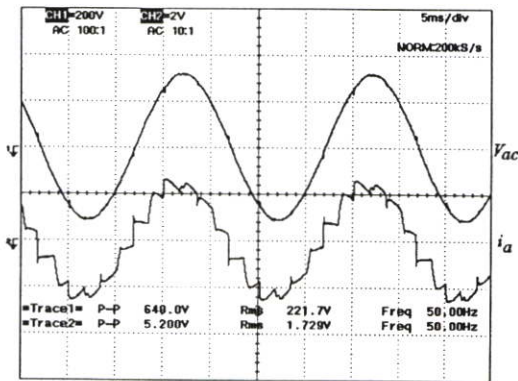
(ก) รูปสัญญาณ  $V_{mn}$ ,  $V_d$ ,  $V_o$  ที่มุมนำกระแส  $30^\circ$

(ข) รูปสัญญาณ  $i_o$  ที่มุมนำกระแส  $30^\circ$

$V_{mn} = 50V/div$ ,  $V_d = 100V/div$ ,  $V_o = 100V/div$

$i_o = 1A/div$

รูปที่ 5.98 รูปสัญญาณแรงดัน  $V_{mn}$ ,  $V_o$ ,  $V_d$  และกระแส  $i_o$  ที่มุมนำกระแส  $30^\circ$



(ก) รูปสัญญาณ  $V_{ac}$ ,  $i_a$  ที่ได้จากการทดลอง

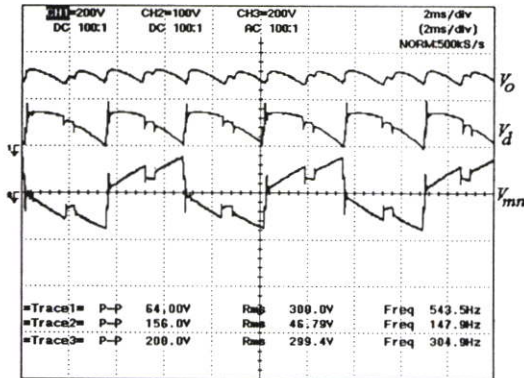
(ข) ค่า THDi ของกระแส  $i_a$

$V_{ac} = 200V/div$ ,  $i_a = 2A/div$

รูปที่ 5.99 รูปสัญญาณกระแสและแรงดัน  $V_{ac}$ ,  $i_a$  และ ค่า THDi ของกระแส  $i_a$

จากการทดสอบที่แรงดัน  $V_{LL}$  ประมาณ 220V จากรูปที่ 5.98 (ก) แรงดัน  $V_o$  จะได้เท่ากับ 257V และจากรูป 5.98 (ข) กระแส  $i_o$  จะได้เท่ากับ 1.738A เมื่อนำมาคำนวณหาค่ากำลังไฟฟ้าจะได้เท่ากับ 380.2W ค่า THDi จากรูปที่ 5.99 (ข) จะได้เท่ากับ 13.38%

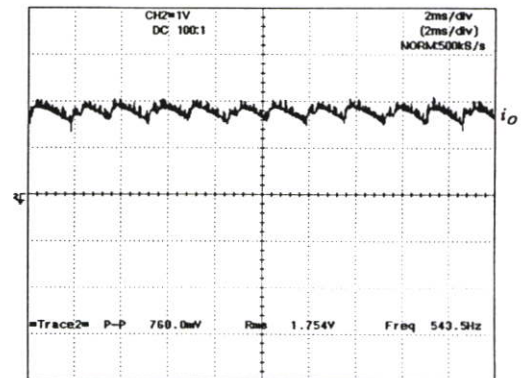
## 2. ทดสอบโดยให้พิกัดแรงดันไฟฟ้ากระแสตรง $V_{LL}$ ประมาณ 256V



(ก) รูปสัญญาณ  $V_o$ ,  $V_{mn}$ ,  $V_d$  ที่มุมนำกระแส  $30^\circ$

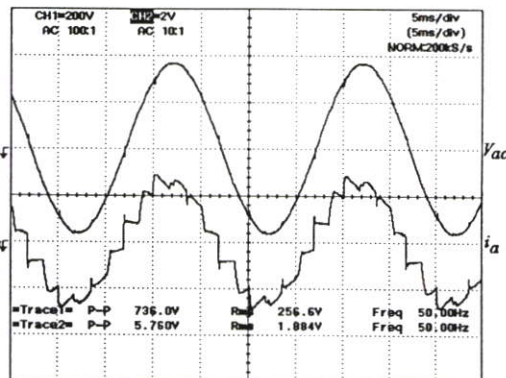
$V_o = 200\text{V/div}$ ,  $V_{mn} = 100\text{V/div}$ ,  $V_d = 100\text{V/div}$ ,

รูปที่ 5.100 รูปสัญญาณแรงดัน  $V_o$ ,  $V_{mn}$ ,  $V_d$  และกระแส  $i_o$  ที่มุมนำกระแส  $30^\circ$



(ข) รูปสัญญาณ  $i_o$  ที่มุมนำกระแส  $30^\circ$

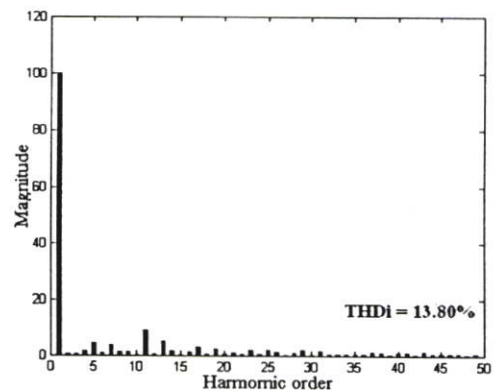
$i_o = 1\text{A/div}$



(ก) รูปสัญญาณ  $V_{ac}$ ,  $i_a$  ที่ได้จากการทดลอง

$V_{ac} = 200\text{V/div}$ ,  $i_a = 2\text{A/div}$

รูปที่ 5.101 รูปสัญญาณกระแสและแรงดัน  $V_{ac}$ ,  $i_a$  และ ค่า THDi ของกระแส  $i_a$



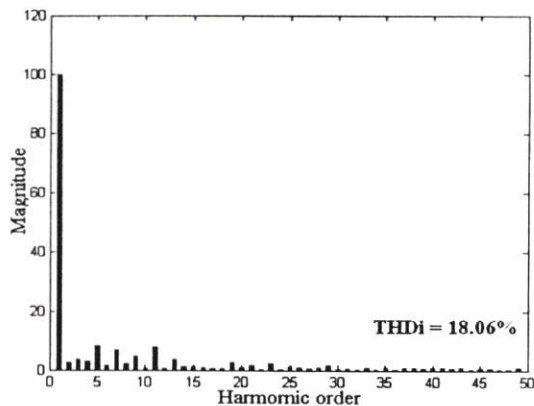
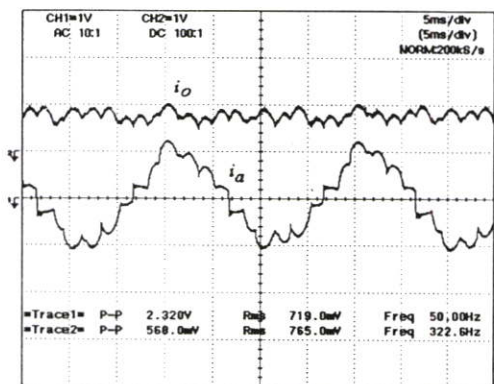
(ข) ค่า THDi ของกระแส  $i_a$

จากการทดสอบที่แรงดัน  $V_{LL}$  ประมาณ 256V จากรูปที่ 5.100 แรงดัน  $V_o$  จะได้เท่ากับ 300V และกระแส  $i_o$  จะได้เท่ากับ 1.754A เมื่อนำมาคำนวณหาค่ากำลังไฟฟ้าจะได้เท่ากับ 526.2W ค่า THDi จากรูปที่ 5.101 (ข) จะได้เท่ากับ 13.8%

### 5.6.3 การทดสอบกับมอเตอร์ไฟฟ้ากระแสตรง

การทดสอบของวิทยานิพนธ์นี้ได้ทำการทดสอบมอเตอร์ไฟฟ้ากระแสตรง ในสภาวะไม่มีภาระทางกล โดยค่าพารามิเตอร์ที่ค่าพิกัดแรงดันไฟฟ้ากระแสตรงเท่ากับ 130V ที่รอบสูงสุด 1800 รอบต่อนาที เมื่อแรงดันที่ขดลวดฟิวส์เท่ากับ 180V แล้วทำการทดสอบประสิทธิภาพของมอเตอร์ที่

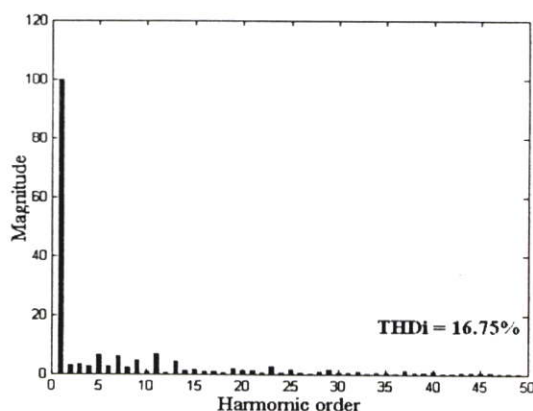
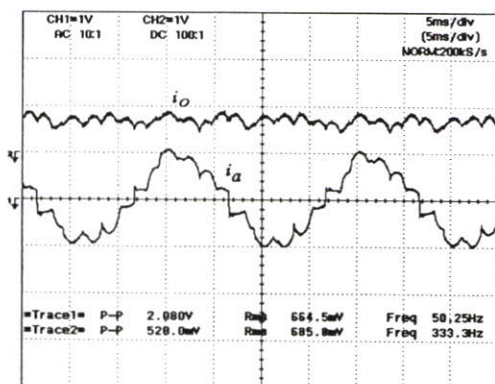
80%, 70%, 60% และ 50% เพื่อศึกษาผลของรูปคลื่นสัญญาณกระแสอินพุท ( $i_a$ ) และกระแสทางด้านเอาต์พุท ( $i_o$ ) และฮาร์มอนิกที่เกิดขึ้นกับระบบ โดยกำหนดให้มุมนำกระแส ( $\alpha, \beta = 30^\circ$ )



(ก) รูปสัญญาณ  $i_o$ :(1A/div),  $i_a$ :(1A/div)

(ข) ค่า THDi ของกระแส  $i_a$  ได้จากการทดลอง

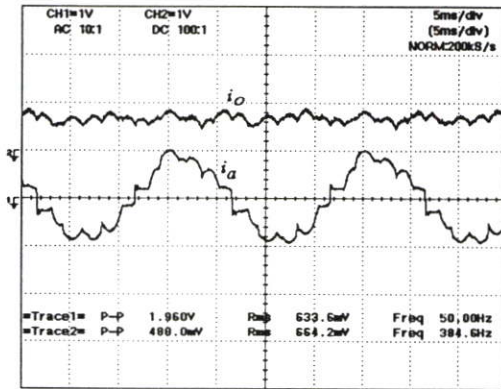
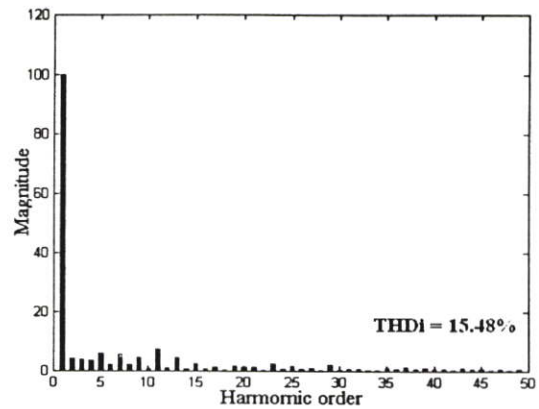
รูปที่ 5.102 รูปสัญญาณแรงดัน  $i_o, i_a$  และฮาร์มอนิกของกระแส  $i_a$  ที่ไฟต์ 80%



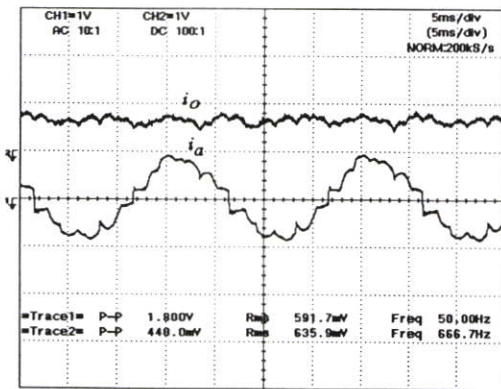
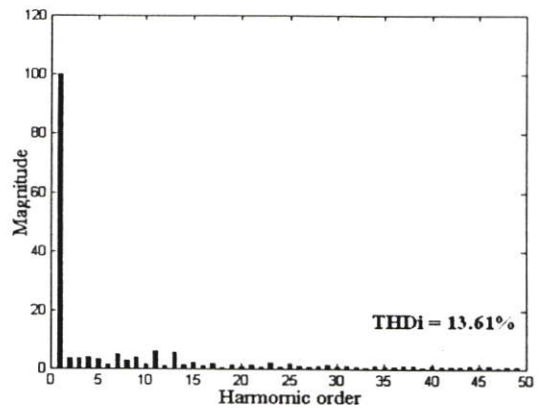
(ก) รูปสัญญาณ  $i_o$ :(1A/div),  $i_a$ :(1A/div)

(ข) ค่า THDi ของกระแส  $i_a$  ได้จากการทดลอง

รูปที่ 5.103 รูปสัญญาณแรงดัน  $i_o, i_a$  และฮาร์มอนิกของกระแส  $i_a$  ที่ไฟต์ 70%

(ก) รูปสัญญาณ  $i_o$ :(1A/div),  $i_a$ :(1A/div)(ข) ค่า THDi ของกระแส  $i_a$  ได้จากการทดลอง

รูปที่ 5.104 รูปสัญญาณแรงดัน  $i_o$ ,  $i_a$  และฮาร์มอนิกของกระแส  $i_a$  ที่พิกัด 60%

(ก) รูปสัญญาณ  $i_o$ :(1A/div),  $i_a$ :(1A/div)(ข) ค่า THDi ของกระแส  $i_a$  ได้จากการทดลอง

รูปที่ 5.105 รูปสัญญาณแรงดัน  $i_o$ ,  $i_a$  และฮาร์มอนิกของกระแส  $i_a$  ที่พิกัด 50%

ตารางที่ 5.8 การทดสอบมอเตอร์ไฟฟ้ากระแสตรงในสถานะไม่มีภาระทางกล

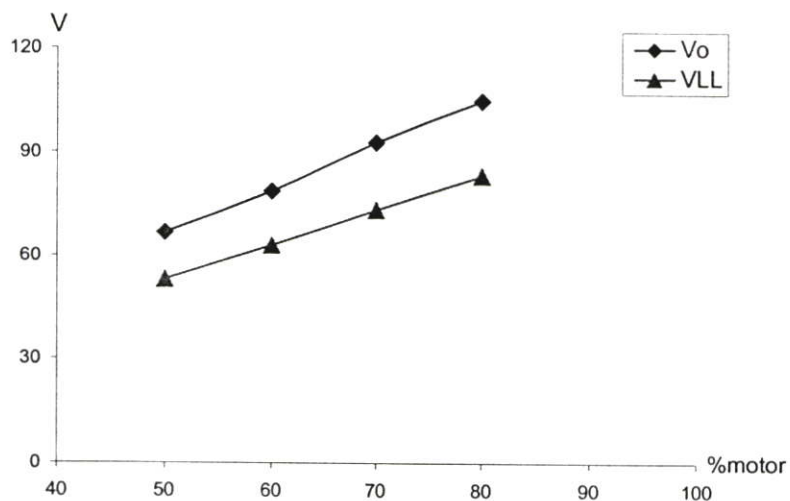
ทดสอบพิกัด มอเตอร์ (%)	แรงดัน $V_o$ (V)	แรงดัน $V_{LL}$ (V)	กระแส $i_a$ (A)	กระแส $i_o$ (A)	จำนวนรอบ (rpm)
80	104.6	83	0.765	0.719	1455.5
70	92.8	73	0.685	0.664	1294.4
60	78.8	63	0.664	0.633	1106.6
50	66.8	53	0.635	0.591	923.6

จากการทดสอบมอเตอร์ไฟฟ้ากระแสตรงที่ 80%, 70%, 60%, และ 50% จากรูปที่ 5.102 ถึง 5.105 จะเห็นว่าการทำงานที่สถานะไม่มีภาระทางกลกระแสที่ได้จะมีค่าน้อย รูปคลื่นสัญญาณของกระแสอินพุท  $i_a$  จะมีลักษณะเข้าใกล้รูปคลื่นไซน์ กระแสเอาต์พุท  $i_o$  และกระแสอินพุท  $i_a$  จาก

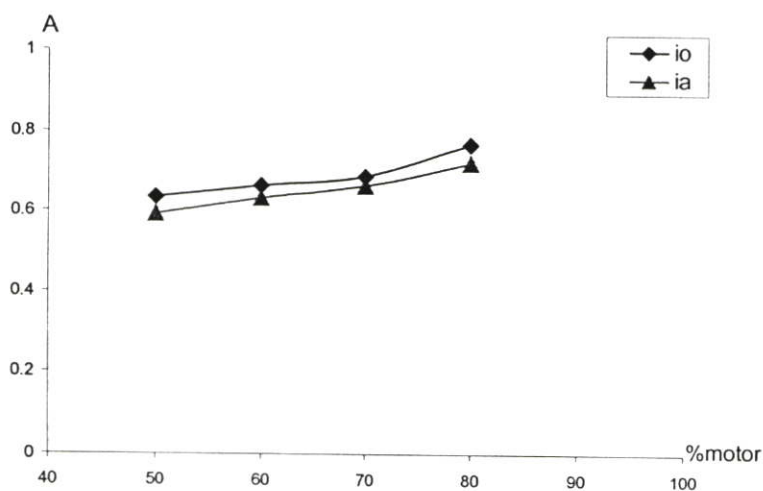
ตารางที่ 5.8 เมื่อมีการปรับแรงดันไฟฟ้าอินพุต  $V_{LL}$  กระแสและจำนวนรอบของมอเตอร์ไฟฟ้าจะมีค่าแปรผันตามกัน กล่าวคือเมื่อลดแรงดัน ค่าของกระแสและจำนวนรอบมอเตอร์ก็จะลดลงตามค่า THDi ก็ลดลงจากตารางที่ 5.9

ตารางที่ 5.9 ค่า THDi ของมอเตอร์ไฟฟ้ากระแสตรงในสถานะไม่มีภาระทางกล

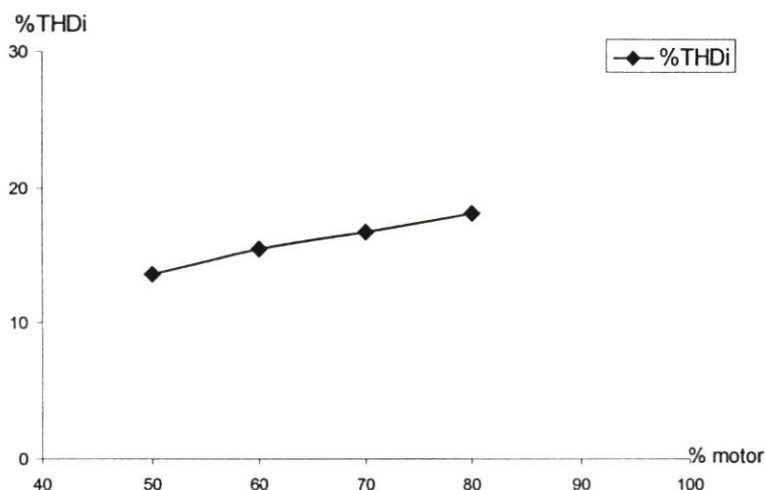
ทดสอบพิกัดมอเตอร์ (%)	THDi (%)
80	18.06
70	16.75
60	15.48
50	13.61



รูปที่ 5.106 แสดงค่าของแรงดัน  $V_o$  และแรงดัน  $V_{LL}$  ที่มีการปรับเปลี่ยนพิกัดมอเตอร์



รูปที่ 5.107 แสดงค่าของกระแส  $i_o$  และกระแส  $i_a$  ที่มีการปรับเปลี่ยนพิกัดมอเตอร์



รูปที่ 5.108 แสดงค่า THDi ของกระแส  $i_d$  ที่มีการปรับเปลี่ยนพิกัดมอเตอร์

## 5.7 สรุปผลการทดลอง

เมื่อนำการทำงานที่มุมนำกระแสไทรสเตอร์ ( $\alpha, \beta = 30^\circ$ ) เปรียบเทียบการทำงานที่อัตราส่วนของหม้อแปลงที่มีความแตกต่างกัน เริ่มจากอัตราส่วน  $a = 1:0.5:0.5$  การสร้างแรงดันพัลส์ที่หม้อแปลงวงจรช่วยไทรสเตอร์  $T_{Fm}$  ที่มีขนาดเล็กกว่า จากรูปที่ 5.21 สังเกตได้ว่าที่แรงดัน  $V_d$  การทำงาน 6 พัลส์คอนเวอร์เตอร์ จะทำงานในสภาวะปกติ ในขณะที่แรงดัน  $V_o$  ขนาดของพัลส์แรงดัน ที่สร้างระหว่างพัลส์แรงดัน  $V_d$  จะเกิดแค่ครึ่งหนึ่งของพัลส์แรงดัน  $V_d$  ซึ่งเกิดจากการออกแบบหม้อแปลงวงจรช่วยไทรสเตอร์ ที่อัตราส่วน  $a = 1:0.5:0.5$  เป็นการลดแรงดันทางด้านออกของหม้อแปลงวงจรช่วยไทรสเตอร์  $T_{Fm}$  จากรูปที่ 5.25 รูปคลื่นสัญญาณกระแส  $i_d$  จะมีลักษณะเข้าใกล้รูปคลื่นไซน์ ฮาร์มอนิกของกระแสยังสูงอยู่ดูได้จากรูปที่ 5.26

ที่อัตราส่วน  $a = 1:1.5:1.5$  การสร้างแรงดันพัลส์ที่หม้อแปลงวงจรช่วยไทรสเตอร์  $T_{Fm}$  ที่มีขนาดใหญ่กว่า จากรูปที่ 5.75 สังเกตได้ว่าที่แรงดัน  $V_d$  การทำงาน 6 พัลส์คอนเวอร์เตอร์ จะทำงานในสภาวะปกติ ในขณะที่แรงดัน  $V_o$  ขนาดของพัลส์แรงดัน ที่สร้างระหว่างพัลส์แรงดัน  $V_d$  จะเกินครึ่งหนึ่งของพัลส์แรงดัน  $V_d$  ซึ่งเกิดจากการออกแบบหม้อแปลงวงจรช่วยไทรสเตอร์ที่อัตราส่วน  $a = 1:1.5:1.5$  เป็นการเพิ่มแรงดันทางด้านออกของหม้อแปลงวงจรช่วยไทรสเตอร์  $T_{Fm}$  จากรูปที่ 5.79 รูปคลื่นสัญญาณกระแส  $i_d$  จะมีลักษณะเพี้ยนไปจากรูปคลื่นไซน์ ฮาร์มอนิกของกระแสจะสูงขึ้นดูได้จากรูปที่ 5.80

ที่อัตราส่วน  $a = 1:1:1$  ที่แรงดันด้านออกเท่ากับแรงดันทางด้านเข้าของหม้อแปลงวงจรช่วยไทรสเตอร์  $T_{Fm}$  จากรูปที่ 5.48 รูปคลื่นสัญญาณกระแส  $i_d$  จะมีลักษณะใกล้เคียงรูปคลื่นไซน์และค่าฮาร์มอนิกของกระแส  $i_d$  ลดลงมากกว่าที่อัตราส่วน  $a = 1:0.5:0.5$  กับ  $a = 1:1.5:1.5$  ดูได้จากรูปที่ 5.53

แรงดัน  $V_{mn}$  จากรูปที่ 5.49 จะมีลักษณะเป็นรูปคลื่นแบบฟันเลื่อยซึ่งเกิดจากการที่สัญญาณรูปคลื่นสี่เหลี่ยมของกระแส  $i_n$  ฉีดเข้าหม้อแปลงวงจรช่วยไตรสเตอร์  $T_{Fm}$  ทำให้เกิดแรงดัน  $V_{mn}$  เพื่อให้  $T_p, T_q$  นำกระแสช่วยในการเพิ่มสัญญาณพัลส์ ขณะที่การปรับมุนำกระแสของคอนเวอร์เตอร์ทั้งสองชุดจะต้องมีขนาดเท่ากัน จากรูปที่ 5.30 และ 5.48 แรงดัน  $V_d$  และแรงดัน  $V_o$  จะมีลักษณะเป็น 6 พัลส์และแรงดัน  $V_o$  จะมีลักษณะเป็น 12 พัลส์กล่าวคือเมื่อมีการกำหนดให้มุนำกระแสมีขนาดเท่ากันและอัตราส่วนของหม้อแปลงวงจรช่วยไตรสเตอร์  $T_{Fm}$  ที่เท่ากัน การเกิดฮาร์โมนิกก็จะน้อยลง เช่นจากรูป 5.35 และ 5.53 ฮาร์โมนิกลำดับที่ 5<sup>th</sup>, 7<sup>th</sup> ลดลงมากกว่าการที่กำหนดมุนำกระแสให้กับคอนเวอร์เตอร์ทั้งสองชุดไม่เท่ากัน

สรุปได้ว่าการที่จะสร้างชุดคอนเวอร์เตอร์แบบปรับปรุงใหม่นี้ จะต้องมีการกำหนดมุนำกระแสที่  $(\alpha = \beta)$  ให้มีค่าเท่ากัน และที่อัตราส่วน  $k$  ของหม้อแปลงอินเตอร์เฟส กับ อัตราส่วน  $a$  ของหม้อแปลงวงจรช่วยไตรสเตอร์ จากการทดสอบจะเห็นว่าจำเป็นต้องกำหนดให้อัตราส่วนของหม้อแปลงทั้งสองมีขนาดเท่ากัน

ผลการทดสอบการจำลองระบบ กับการทดสอบจริงจะเห็นว่ารูปคลื่นแรงดันและกระแสจะมีลักษณะใกล้เคียงกันแสดงว่าวงจรเรียงกระแสไฟฟ้า 3 เฟส 6 พัลส์คอนเวอร์เตอร์แบบปรับปรุงสามารถทำงานได้จริง

## บทที่ 6

### สรุปและข้อเสนอแนะ

วิทยานิพนธ์เล่มนี้ได้นำเสนอวงจรคอนเวอร์เตอร์ ที่มีการปรับปรุงรูปคลื่นแรงดันเอาต์พุท และกระแสอินพุท โดยใช้หม้อแปลงอินเตอร์เฟสและหม้อแปลงวงจรช่วยไตรสเตอร์ จากการจำลองระบบ และการทดสอบจริงได้แสดงการเปรียบเทียบถึงแรงดัน  $V_d$  ที่การทำงาน 6 พัลส์คอนเวอร์เตอร์แบบดั้งเดิม เมื่อทำการปรับปรุงใหม่แรงดัน  $V_d$  ที่ได้รูปคลื่นสัญญาณจะมีลักษณะเป็นแบบ 12 พัลส์คอนเวอร์เตอร์ส่วนกระแสอินพุท  $i_d$  จะมีลักษณะรูปคลื่นสัญญาณเข้าใกล้ไซน์

#### 6.1 สรุปผลการทดสอบ

เมื่อกระแส  $i_n$  ถูกฉีดเข้าไปที่หม้อแปลง  $T_{Fm}$  ทางด้านปฐมภูมิเพื่อเกิดสัญญาณแรงดัน  $V_{m_n}$  ขึ้นและนำไปควบคุมการทำงานที่วงจรไตรสเตอร์ช่วย จากผลการทดลองทั้ง 2 ระบบจะเห็นว่ารูปคลื่นสัญญาณที่ได้จะสอดคล้องตามทฤษฎี

##### 6.1.1 สรุปผลการทำงานของวงจร

จากการการทำงานของวงจรที่ 6 พัลส์คอนเวอร์เตอร์แบบปรับปรุง ได้นำเอาวงจรเรียงกระแสแบบมีการควบคุมมุมนำกระแสมาพัฒนาใหม่ให้มีการทำงานที่ดีขึ้นเมื่อเทียบกับ 6 พัลส์คอนเวอร์เตอร์ และยังเป็นวงจรที่ไม่ซับซ้อนมากโดยนำหลักการงานเดิมของ 6 พัลส์คอนเวอร์เตอร์มาเพิ่มในส่วนของหม้อแปลงอินเตอร์เฟสเพื่อให้เกิดการแบ่งแรงดันระหว่างซีกบวกกับซีกลบทางด้าน  $V_d$  เพื่อนำกระแส  $i_n$  ที่ได้ไปสร้างแรงดันที่หม้อแปลงวงจรช่วยไตรสเตอร์ แล้วนำวงจรไตรสเตอร์ช่วยมาควบคุมการทำงานของ 6 พัลส์คอนเวอร์เตอร์อีกทีหนึ่ง วงจรช่วยไตรสเตอร์จะทำงานหลังจากเมื่อเกิดสัญญาณนำกระแสของวงจรเรียงกระแส 6 พัลส์คอนเวอร์เตอร์

##### 6.1.2 สรุปการทำงานของหม้อแปลงอินเตอร์เฟสและหม้อแปลงวงจรช่วยไตรสเตอร์

จากการทดสอบในบทที่ผ่านมา การออกแบบหม้อแปลงอินเตอร์เฟสและหม้อแปลงวงจรช่วยไตรสเตอร์ที่อัตราส่วน  $k$  และ  $a$  นั้นจะขึ้นอยู่กับแรงดันทางด้านเอาต์พุทหรือแรงดันไฟฟ้ากระแสตรงที่  $V_d$  เพื่อนำมาคำนวณหาค่าอินพุทของหม้อแปลงอินเตอร์เฟสและหม้อแปลงวงจรช่วยไตรสเตอร์ จากการออกแบบที่ผ่านได้แสดงให้เห็นว่าอัตราส่วนที่ไม่เท่ากันของทั้งสองหม้อแปลงจะมีผลกระทบมากเมื่อเกิดสถานะแรงดันไม่สมดุล ดังนั้นการออกแบบจะต้องคำนึงถึงแรงดันระหว่างเฟสให้อยู่ในสถานะแรงดันสมดุลเป็นหลักและกระแสที่เกิดขึ้นกับโหลด การออกแบบให้หม้อแปลงมีขนาดที่ทนกระแสนั้นอาจจะเกิดผลกระทบของอินดักแตนซ์ที่แฝงอยู่ในหม้อแปลง

ซึ่งจะเกิดขึ้นในช่วงเวลาที่การทำงานไทรสเตอร์ตัวที่ 1 ยังนำกระแสอยู่ตัวที่ 2 เริ่มหยุดนำกระแส และตัวที่ 3 เริ่มนำกระแส

### 6.1.3 สรุปการเปรียบเทียบ 12 พัลส์คอนเวอร์เตอร์แบบดั้งเดิมและแบบปรับปรุง

การทำงานที่ 12 พัลส์คอนเวอร์เตอร์แบบดั้งเดิมนำมาเทียบกับระบบ 12 พัลส์แบบปรับปรุง เพื่อที่จะแสดงถึงราคาอุปกรณ์ในการใช้งานและต้องการค่าใช้จ่ายในภาพรวม

ตารางที่ 6.1 แสดงการเปรียบเทียบราคา 12 พัลส์แบบดั้งเดิม

12 พัลส์แบบ ดั้งเดิม	แรงดัน (V)	กระแส (A)	จำนวน (ชุด)	ราคาต่อ หน่วย	รวม (บาท)
หม้อแปลง 3 เฟส	220/380	3	2	8,500	17,000
ไทรสเตอร์ (SKKT27/12E)	1,300	32	6	1,300	7,800
(IC785)	-	-	6	170	1,020
อุปกรณ์อื่นๆ	-	-	12	550	6,600
				รวม	32,420

ตารางที่ 6.2 แสดงการเปรียบเทียบราคา 12 พัลส์แบบปรับปรุง

12 พัลส์แบบ ปรับปรุงใหม่	แรงดัน (V)	กระแส (A)	จำนวน (ชุด)	ราคา ต่อหน่วย	รวม (บาท)
หม้อแปลง 1 เฟส	220/380	3	3	2,000	6,000
ไทรสเตอร์ (SKKT27/12E)	1,300	32	4	1,300	5,200
หม้อแปลง อินเตอร์เฟส	110/110	2	1	600	600
หม้อแปลง วงจรช่วย	110/110/110	2	1	900	900
(IC785)	-	-	4	170	680
อุปกรณ์อื่นๆ	-	-	8	550	4,400
				รวม	17,780

ตารางที่ 6.3 แสดงการเปรียบเทียบราคา 12 พัลส์แบบปรับปรุงที่แรงดัน 2 เท่าทางด้านอินพุท

12 พัลส์แบบปรับปรุง	แรงดัน (V)	กระแส (A)	จำนวน (ชุด)	ราคา ต่อหน่วย	รวม (บาท)
หม้อแปลง 1 เฟส	220/760	3	3	3,000	9,000
ทรินสเตอร์ (SKKT27/12E)	1,300	32	4	1,300	5,200
หม้อแปลงอินเตอร์เฟส	220/220	2	1	900	900
หม้อแปลงวงจรช่วย	220/220/220	2	1	1300	1300
(IC785)	-	-	4	170	680
อุปกรณ์อื่นๆ		-	8	550	4,400
				รวม	21,480

จากตารางที่ 6.1 กับตารางที่ 6.2 ได้แสดงการเปรียบเทียบให้เห็นว่าการทำงานที่ 12 พัลส์คอนเวอร์เตอร์แบบดั้งเดิมจะมีค่าใช้จ่ายที่สูงกว่าการทำงาน 12 พัลส์แบบปรับปรุงและเมื่อเทียบกับแรงดันทางด้านเอาต์พุทที่เท่ากับแรงดันเอาต์พุท 12 พัลส์คอนเวอร์เตอร์แบบดั้งเดิมจากตารางที่ 6.3 แสดงที่ระดับแรงดันเท่ากับ 12 พัลส์คอนเวอร์เตอร์แบบปรับปรุงจะมีค่าใช้จ่ายน้อยกว่า 12 พัลส์แบบดั้งเดิม

## 6.2 สรุปผลการทำงาน

ที่แรงดันด้านเอาต์พุท  $V_o$  จะได้แรงดันพัลส์เป็นสองเท่าของแรงดัน  $V_d$  และกระแสที่แหล่งจ่าย  $i_d$  พบว่าวงจรเรียงกระแสไฟฟ้า 3 เฟส 6 พัลส์คอนเวอร์เตอร์ที่มีการปรับปรุงกระแสที่แหล่งจ่าย  $i_d$  จะมีลักษณะใกล้เคียงรูปคลื่นไซน์ มากกว่า 6 พัลส์คอนเวอร์เตอร์ ซึ่งเป็นผลให้ฮาร์มอนิกลำดับ 5<sup>th</sup>, 7<sup>th</sup> ลดลงและจากการวิเคราะห์สัญญาณ  $V_o, i_d$  จะเห็นได้ว่า การทำงานของวงจรที่มีการปรับปรุงใหม่จะมีลักษณะคล้ายกับการทำงานที่ 12 พัลส์คอนเวอร์เตอร์แบบดั้งเดิม และเมื่อนำมาเทียบกับ 12 พัลส์คอนเวอร์เตอร์ที่ใช้ทรินสเตอร์ถึง 12 ตัวนั้นจะมีความยุ่งยากทางด้านของหม้อแปลงแหล่งจ่าย ซึ่งจำเป็นจะต้องใช้หม้อแปลง 3 เฟส 2 ชุดที่มีการเลื่อนเฟสระหว่างกันแต่ด้วยเทคนิคนี้สามารถที่จะช่วยลดปัญหานี้ได้ และนอกจากนี้ยังสามารถช่วยลดอุปกรณ์ทรินสเตอร์ลงได้ ดูได้จากตารางที่ 6.1 ถึง 6.3 และสามารถทำงานได้จริง

### 6.3 ข้อเสนอแนะ

6.3.1 สำหรับงานวิจัยต่อไปควรมำระบบดิจิทัลใช้ในการควบคุมการทำงานเพื่อที่จะช่วยลดอุปสรรคการทำงานและง่ายต่อการควบคุม

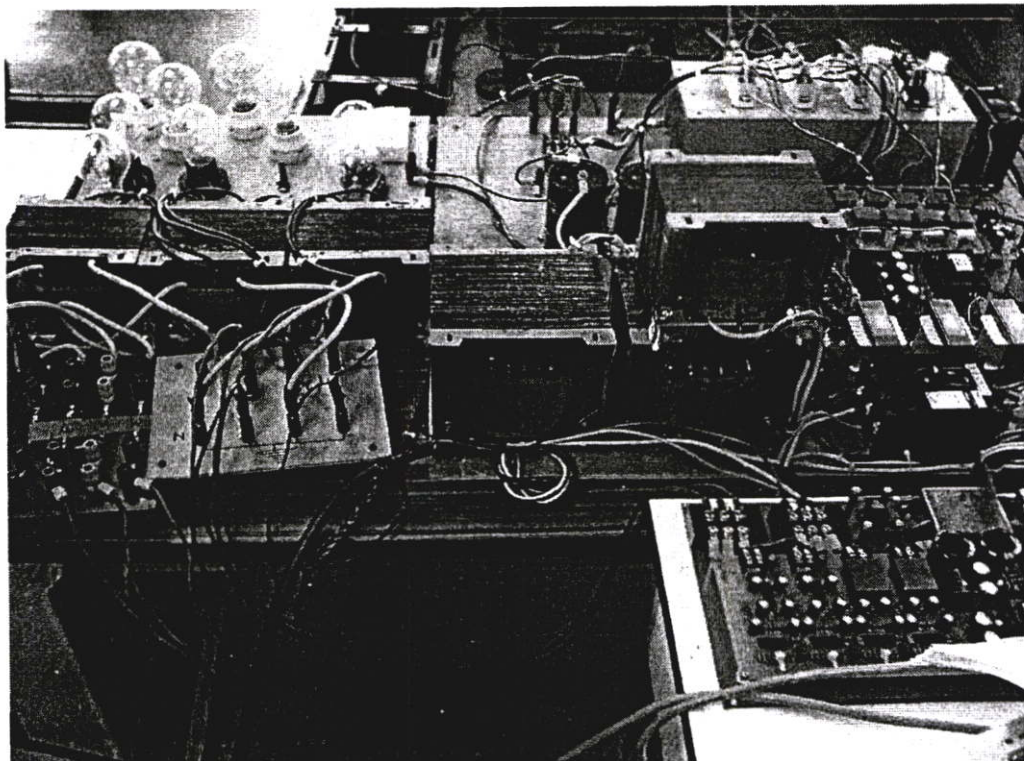
6.3.2 เทคนิคนี้ยังสามารถที่จะนำไปพัฒนาในการสร้างระบบการส่งถ่ายพลังงานไฟฟ้ากระแสตรง (HVDC)

6.3.3 สามารถที่จะหาเทคนิคการเพิ่มจำนวนพัลส์ได้อีกจากการวิจัย 12 พัลส์แบบปรับปรุงนี้ให้เป็น 18 พัลส์ หรือ 24 พัลส์

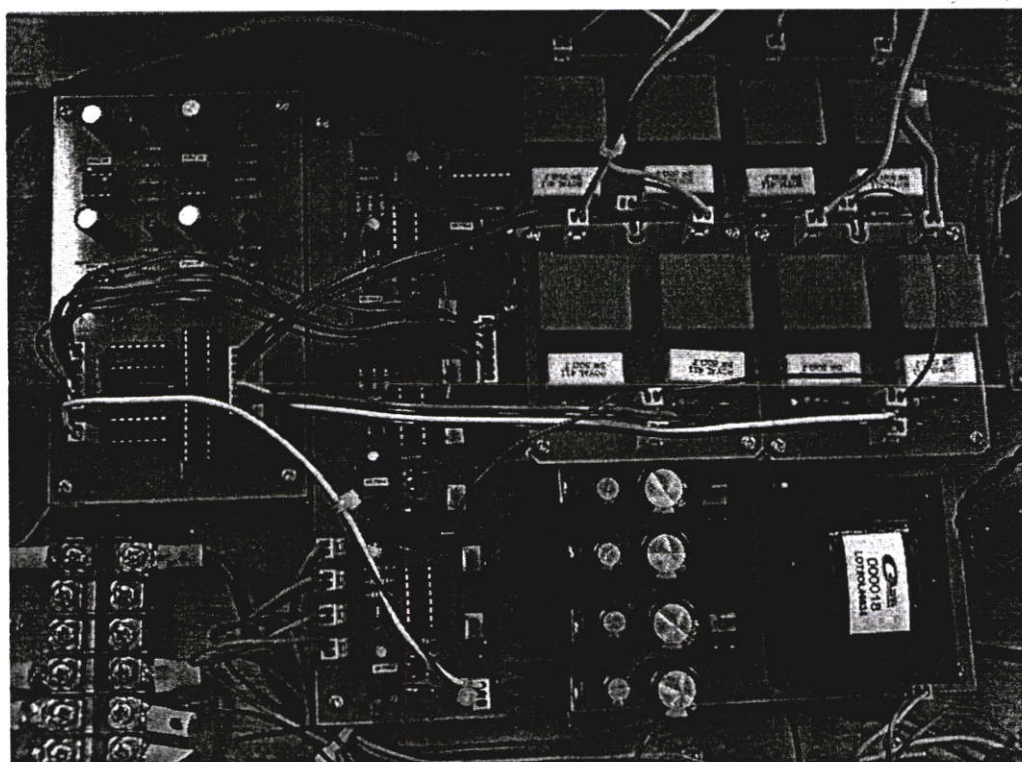
## เอกสารอ้างอิง

- [1] J.Arrillaga, "Pulse multiplication in parallel convertors by multitap control of interphase reactor," *IEE Proc.* Vol. 139, No. 1, Jan. 1992.
- [2] S.Miyairi et al., "New method for reducing harmonic involved input and output of rectifier with interphase transformer," *IEEE Trans. Ind, Applicat.*, vol. IA-22, pp.790-797, Sept./Oct. 1986.
- [3] J.Arrillaga and M. Villablanca, "24-Pulse HVDC conversion," *Proc. Inst. Elect. Eng.*, pt. C, Vol. 138, no. 1, pp. 57-64, Jan. 1991.
- [4] S.Choi, B. Lee, and P. Enjeti, "New 24-pulse diode rectifier systems for utility interface of high-power ac motor drives," *IEEE Trans. Ind. Applicat.*, vol. 33, pp.531-541, Mar./Apr. 1997.
- [5] D. J. Perreault and J. G. Kassakian, "Effects of firing of angle imbalance on 12-pulse rectifiers with interphase transformers," *IEEE Trans. Power Electron.*, vol. 10, pp. 257-262, May 1995.
- [6] Mohan N., Undeland T.M., Robins W.P. **Power Electronics Converters, Applications, and Design.** 2nd. New York : John Wiley & Sons, Inc. 1995.
- [7] ศิริวัฒน์ โทธิเวชกุล. ระบบไฟฟ้ากำลัง เล่ม 1 สถาบันเทคโนโลยีพระจอมเกล้าเจ้าคุณทหารลาดกระบัง, ปีพ.ศ. 2542
- [8] สกต กลิ่นหรั่ง และวิจิตร กิณเรศ. 2548. "การออกแบบและวิเคราะห์วงจรเรียงกระแสเอซี/ดีซี 6 พัลส์คอนเวอร์เตอร์แบบปรับปรุงใหม่โดยใช้หม้อแปลงอินเตอร์เฟส" วิศวกรรมลาดกระบัง ปีที่ 22, ฉบับที่ 4 ธันวาคม 2548, ลำดับที่ 5 หน้า 25-30
- [9] จักรพงษ์ จารุมิษฐ์. 2542. "คอนเวอร์เตอร์ 12 พัลส์ ประยุกต์ใช้ในระบบส่งถ่ายกำลังไฟฟ้ากระแสตรง" วิทยานิพนธ์วิศวกรรมศาสตรมหาบัณฑิต สาขาวิศวกรรม ไฟฟ้า บัณฑิตวิทยาลัย, สถาบันเทคโนโลยีพระจอมเกล้าเจ้าคุณทหารลาดกระบัง

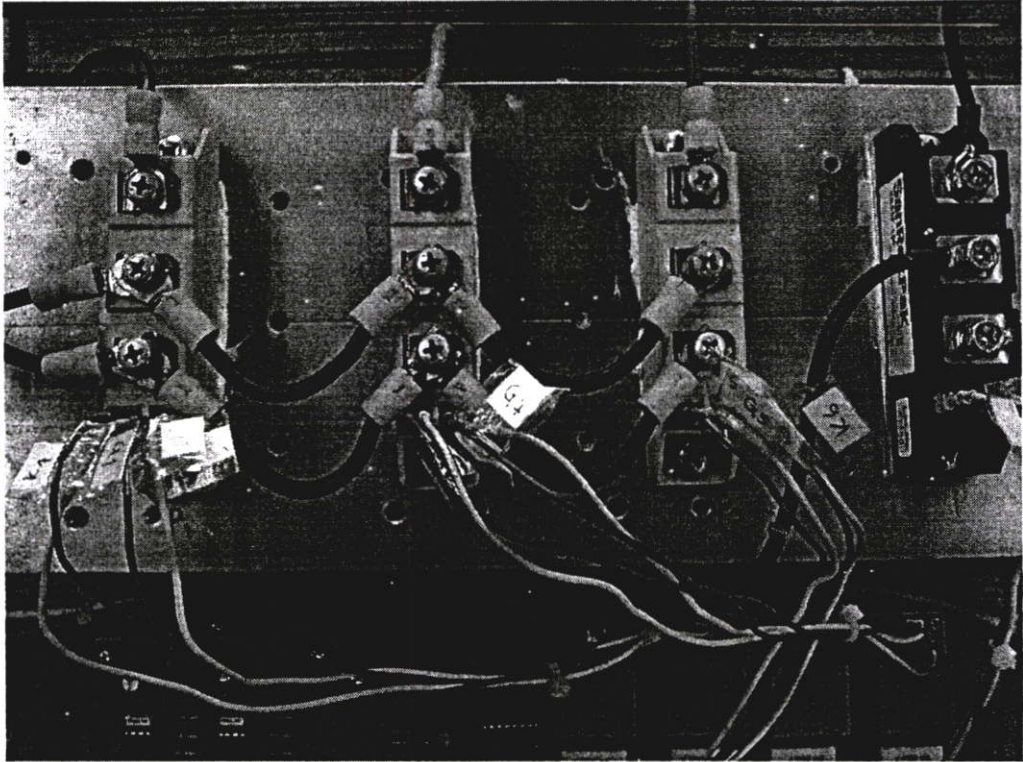
ภาคผนวก ก  
รายการอุปกรณ์ที่ใช้ในการทดลอง



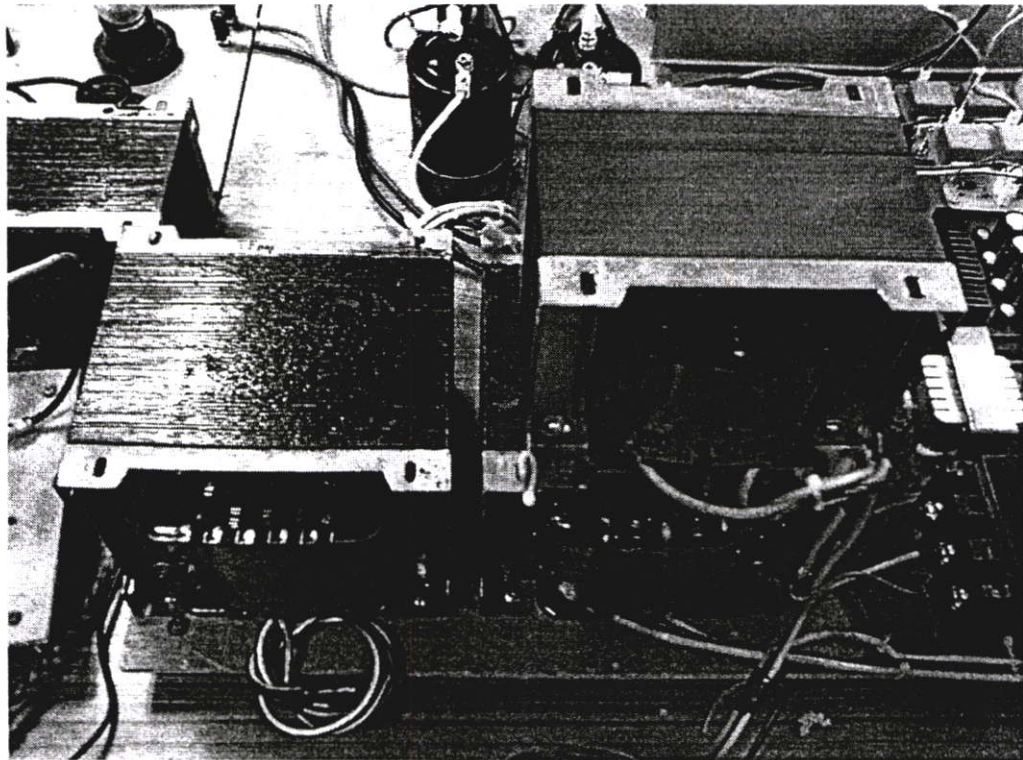
ระบบของชุดทดสอบ



ชุดกำเนิดสัญญาณนำกระแสอุปกรณ์ไทรสเตอร์

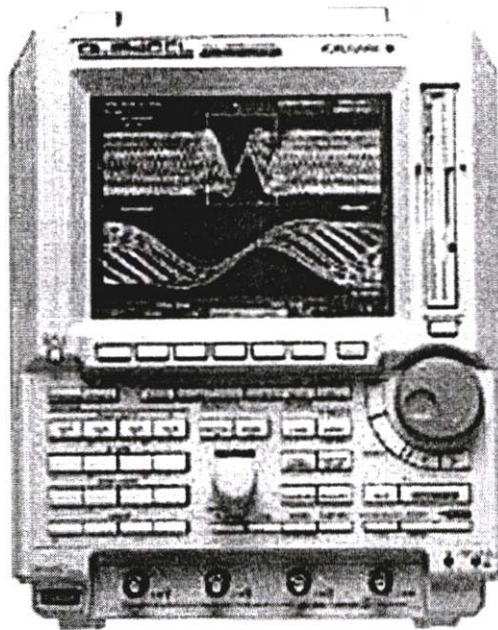


ชุดคอนเวอร์เตอร์



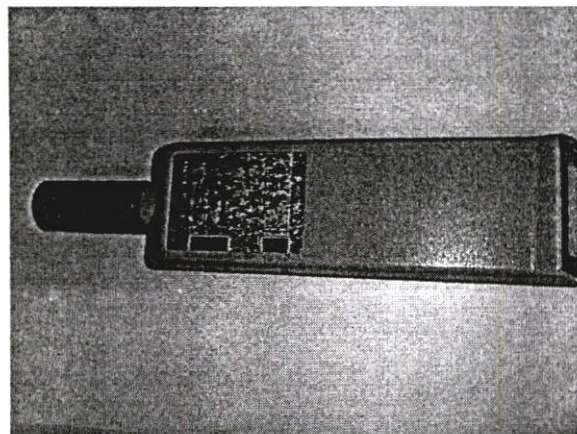
ชุดหม้อแปลงอินเตอร์เฟสและชุดหม้อแปลงวงจรช่วยไทรสเตอร์





Digital Oscilloscope (YOKOGAWA)

DL1540C (4 Channel)



เครื่องวัดรอบ (YOKOGAWA Model 3631)

ภาคผนวก ข

เอกสารกำกับอุปกรณ์อิเล็กทรอนิกส์

# SIEMENS

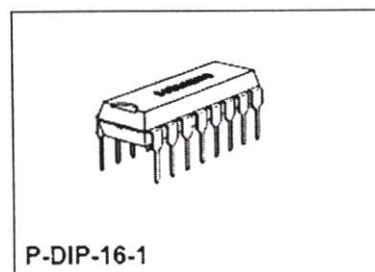
## Phase Control IC

TCA 785

Bipolar IC

### Features

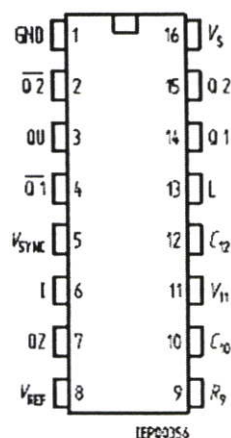
- Reliable recognition of zero passage
- Large application scope
- May be used as zero point switch
- LSL compatible
- Three-phase operation possible (3 ICs)
- Output current 250 mA
- Large ramp current range
- Wide temperature range



Type	Ordering Code	Package
TCA 785	Q67000-A2321	P-DIP-16-1

This phase control IC is intended to control thyristors, triacs, and transistors. The trigger pulses can be shifted within a phase angle between 0° and 180°. Typical applications include converter circuits, AC controllers and three-phase current controllers.

This IC replaces the previous types TCA 780 and TCA 780 D.



### Pin Configuration

(top view)

### Pin Definitions and Functions

Pin	Symbol	Function
1	GND	Ground
2	$\overline{Q2}$	Output 2 inverted
3	$\overline{QU}$	Output U
4	$\overline{QZ}$	Output 1 inverted
5	$V_{SYNC}$	Synchronous voltage
6	I	Inhibit
7	Q Z	Output Z
8	$V_{REF}$	Stabilized voltage
9	$R_9$	Ramp resistance
10	$C_{10}$	Ramp capacitance
11	$V_{11}$	Control voltage
12	$C_{12}$	Pulse extension
13	L	Long pulse
14	Q 1	Output 1
15	Q 2	Output 2
16	$V_s$	Supply voltage

SIEMENS

TCA 785

### Functional Description

The synchronization signal is obtained via a high-ohmic resistance from the line voltage (voltage  $V_s$ ). A zero voltage detector evaluates the zero passages and transfers them to the synchronization register.

This synchronization register controls a ramp generator, the capacitor  $C_{10}$  of which is charged by a constant current (determined by  $R_9$ ). If the ramp voltage  $V_{10}$  exceeds the control voltage  $V_{11}$  (triggering angle  $\varphi$ ), a signal is processed to the logic. Dependent on the magnitude of the control voltage  $V_{11}$ , the triggering angle  $\varphi$  can be shifted within a phase angle of  $0^\circ$  to  $180^\circ$ .

For every half wave, a positive pulse of approx.  $30 \mu\text{s}$  duration appears at the outputs Q 1 and Q 2. The pulse duration can be prolonged up to  $180^\circ$  via a capacitor  $C_{12}$ . If pin 12 is connected to ground, pulses with a duration between  $\varphi$  and  $180^\circ$  will result.

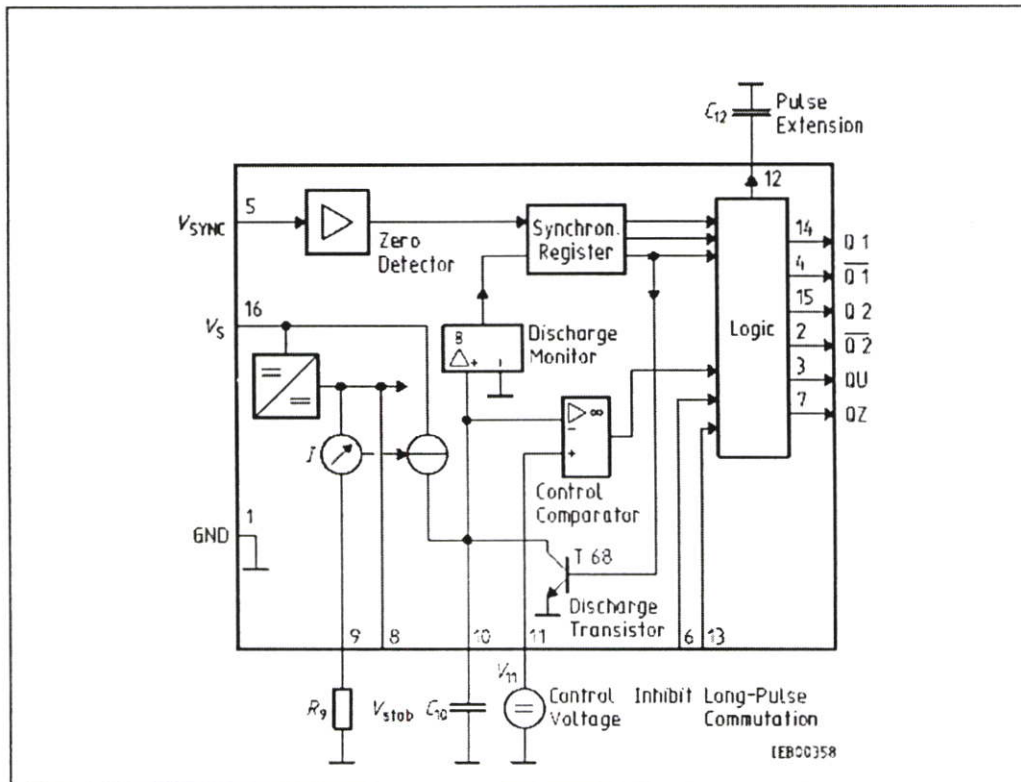
Outputs  $\overline{Q1}$  and  $\overline{Q2}$  supply the inverse signals of Q 1 and Q 2.

A signal of  $\varphi + 180^\circ$  which can be used for controlling an external logic, is available at pin 3.

A signal which corresponds to the NOR link of Q 1 and Q 2 is available at output Q Z (pin 7).

The inhibit input can be used to disable outputs Q1, Q2 and  $\overline{Q1}$ ,  $\overline{Q2}$ .

Pin 13 can be used to extend the outputs  $\overline{Q1}$  and  $\overline{Q2}$  to full pulse length ( $180^\circ - \varphi$ ).

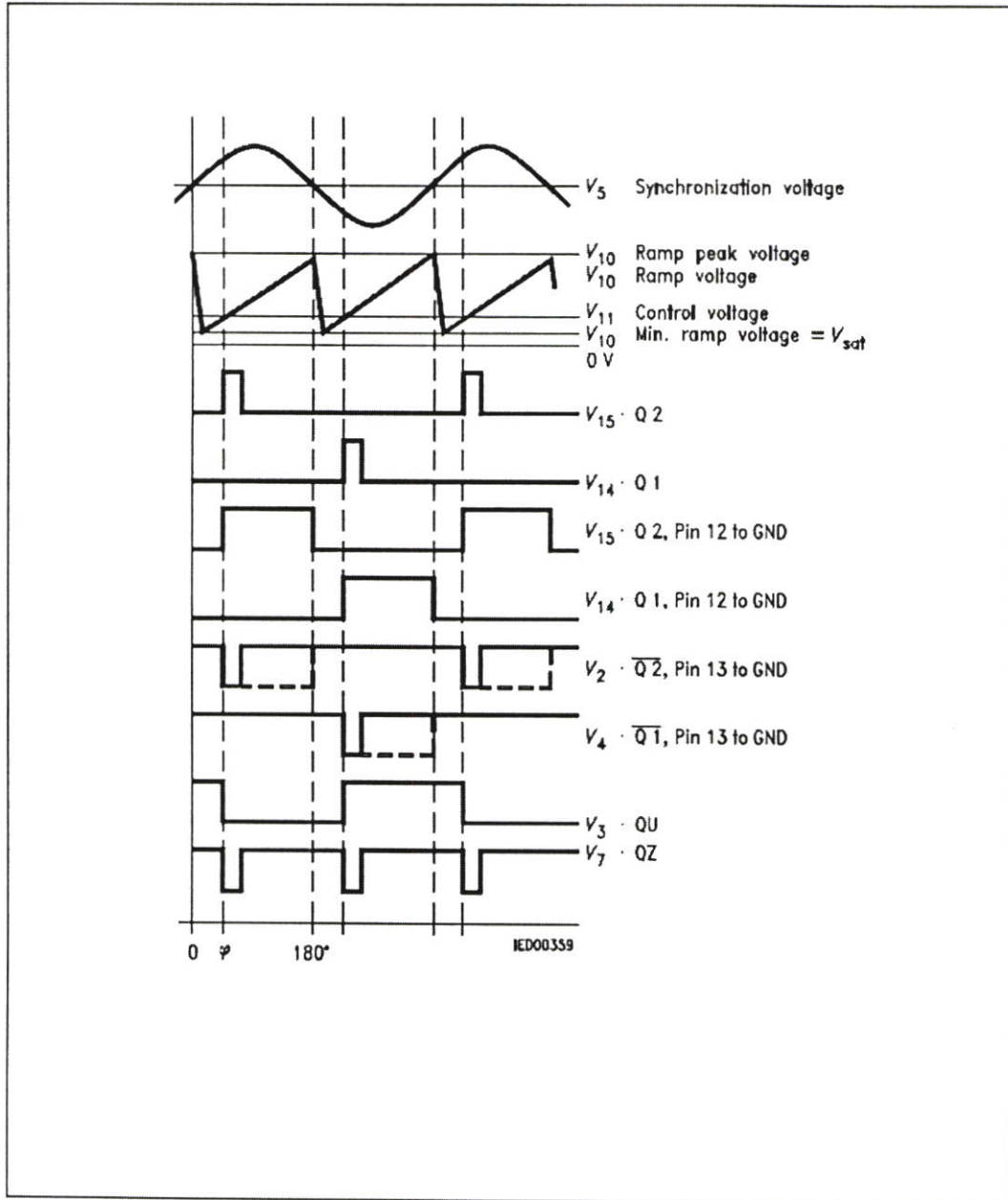


Block Diagram

Semiconductor Group

SIEMENS

TCA 785



Pulse Diagram



# SEMİKRON

## SEMIPACK® 1 Thyristor / Diode Modules

SKKT 26      SKKH 26  
SKKT 27      SKKH 27  
SKKT 27B



$V_{RSM}$	$V_{RRM}$	$(dv/dt)_{cr}$	$I_{T_{RMS}}$ (maximum value for continuous operation)			
			50 A			
V	V	V/ $\mu$ s	$I_{T_{AV}}$ (sin. 180; $T_{case} = 68^\circ\text{C}$ )			
			32 A			
500	400	500	–	–	SKKH 26/04 D	–
700	600	500	SKKT 26/06 D	–	SKKH 26/06 D	SKKH 27/06 D
900	800	500	SKKT 26/08 D	SKKT 27/08 D <sup>1)</sup>	SKKH 26/08 D	SKKH 27/08 D
1300	1200	1000	SKKT 26/12 E	SKKT 27/12 E <sup>1)</sup>	SKKH 26/12 E	SKKH 27/12 E
1500	1400	1000	SKKT 26/14 E	SKKT 27/14 E <sup>1)</sup>	SKKH 26/14 E	SKKH 27/14 E
1700	1600	1000	SKKT 26/16 E	SKKT 27/16 E <sup>1)</sup>	SKKH 26/16 E	SKKH 27/16 E
1900	1800	1000	SKKT 26/18 E	–	–	SKKH 27/18 E

Symbol	Conditions	SKKT 26	SKKT 27	Units
		SKKH 26	SKKT 27B SKKH 27	
$I_{T_{AV}}$	sin. 180; $T_{case} = 68^\circ\text{C}$		32	A
$I_D$	$T_{case} = 85^\circ\text{C}$		25	A
	B2/B6 $T_{amb} = 45^\circ\text{C}$ ; P 3/180		38 / 50	A
$I_{RMS}$	$T_{amb} = 35^\circ\text{C}$ ; P 3/180 F		60 / 77	A
	W1/W3 $T_{amb} = 45^\circ\text{C}$ ; P 3/180		52 / 3 x 37	A
$I_{TSM}$	$T_{vj} = 25^\circ\text{C}$ ; 10 ms		550	A
	$T_{vj} = 125^\circ\text{C}$ ; 10 ms		480	A
$i^2t$	$T_{vj} = 25^\circ\text{C}$ ; 8,3 ... 10 ms		1 500	A <sup>2</sup> s
	$T_{vj} = 125^\circ\text{C}$ ; 8,3 ... 10 ms		1 150	A <sup>2</sup> s
$t_{gd}$	$T_{vj} = 25^\circ\text{C}$ ; $I_G = 1\text{ A}$ $di_G/dt = 1\text{ A}/\mu\text{s}$		1	$\mu\text{s}$
$t_{gr}$	$V_D = 0,67 \cdot V_{DRM}$		1	$\mu\text{s}$
$(di/dt)_{cr}$	$T_{vj} = 125^\circ\text{C}$		150	A/ $\mu\text{s}$
$t_q$	$T_{vj} = 125^\circ\text{C}$		typ. 80	$\mu\text{s}$
$I_H$	$T_{vj} = 25^\circ\text{C}$ ; typ./max.		100 / 200	mA
$I_L$	$T_{vj} = 25^\circ\text{C}$ ; $R_G = 33\ \Omega$ ; typ./max.		250 / 400	mA
$V_T$	$T_{vj} = 25^\circ\text{C}$ ; $I_T = 75\text{ A}$		max. 1,8	V
$V_{T(RO)}$	$T_{vj} = 125^\circ\text{C}$		0,9	V
$r_T$	$T_{vj} = 125^\circ\text{C}$		12	m $\Omega$
$I_{DD}$ ; $I_{RD}$	$T_{vj} = 125^\circ\text{C}$ ; $V_{RD} = V_{RRM}$ $V_{DD} = V_{DRM}$		max. 10	mA
$V_{GT}$	$T_{vj} = 25^\circ\text{C}$ ; d.c.		3	V
$I_{GT}$	$T_{vj} = 25^\circ\text{C}$ ; d.c.		150	mA
$V_{GD}$	$T_{vj} = 125^\circ\text{C}$ ; d.c.		0,25	V
$I_{GD}$	$T_{vj} = 125^\circ\text{C}$ ; d.c.		5	mA
$R_{\theta jc}$	cont.	} per thyristor / per module	0,9 / 0,45	$^\circ\text{C}/\text{W}$
	sin. 180		0,95 / 0,48	$^\circ\text{C}/\text{W}$
	rec. 120		1,0 / 0,5	$^\circ\text{C}/\text{W}$
			0,2 / 0,1	$^\circ\text{C}/\text{W}$
$T_{vj}$			- 40 ... + 125	$^\circ\text{C}$
$T_{slg}$			- 40 ... + 125	$^\circ\text{C}$
$V_{isol}$	a. c. 50 Hz; r.m.s.; 1 s/1 min		3600 / 3000	V-
$M_1$	to heatsink	} SI (US) units	5 (44 lb. in.) $\pm 15\%$ <sup>2)</sup>	Nm
$M_2$	to terminals		3 (26 lb. in.) $\pm 15\%$	Nm
a			5 · 9,81	m/s <sup>2</sup>
w	approx.		95	g
Case	→ page B 1 – 95	SKKT 26: A 5 SKKH 26: A 6	SKKT 27: A 46 SKKT 27B: A 48 SKKH 27: A 47	



SKKT 26      SKKH 26



SKKT 27      SKKH 27

### Features

- Heat transfer through aluminium oxide ceramic isolated metal baseplate
- Hard soldered joints for high reliability
- UL recognized, file no. E 63 532

### Typical Applications

- DC motor control (e.g. for machine tools)
- AC motor soft starters
- Temperature control (e.g. for ovens, chemical processes)
- Professional light dimming (studios, theaters)

<sup>1)</sup> Also available in SKKT 27B configuration (case A 48)  
<sup>2)</sup> See the assembly instructions

This technical information specifies semiconductor devices but promises no characteristics. No warranty or guarantee expressed or implied is made regarding delivery, performance or suitability.

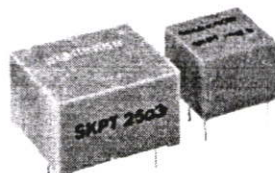
## 14.2 Pulse Transformers

### Range of preferred types

## Pulse Transformers

### SKPT 14 to SKPT 27

Absolute Maximum Ratings		
Symbol	Conditions	Values
$V_{NW}$	Crest working voltage	400 ... 650 V
$V_{ISO}$	A.C. rms; 1 minute, see table below <sup>1)</sup>	2,5 ... 5 kV
$T_{OP}$	Operating Temperature	-40 ... +85 °C
$T_{STG}$	Storage Temperature	-50 ... +90 °C



### Characteristics <sup>2)</sup>

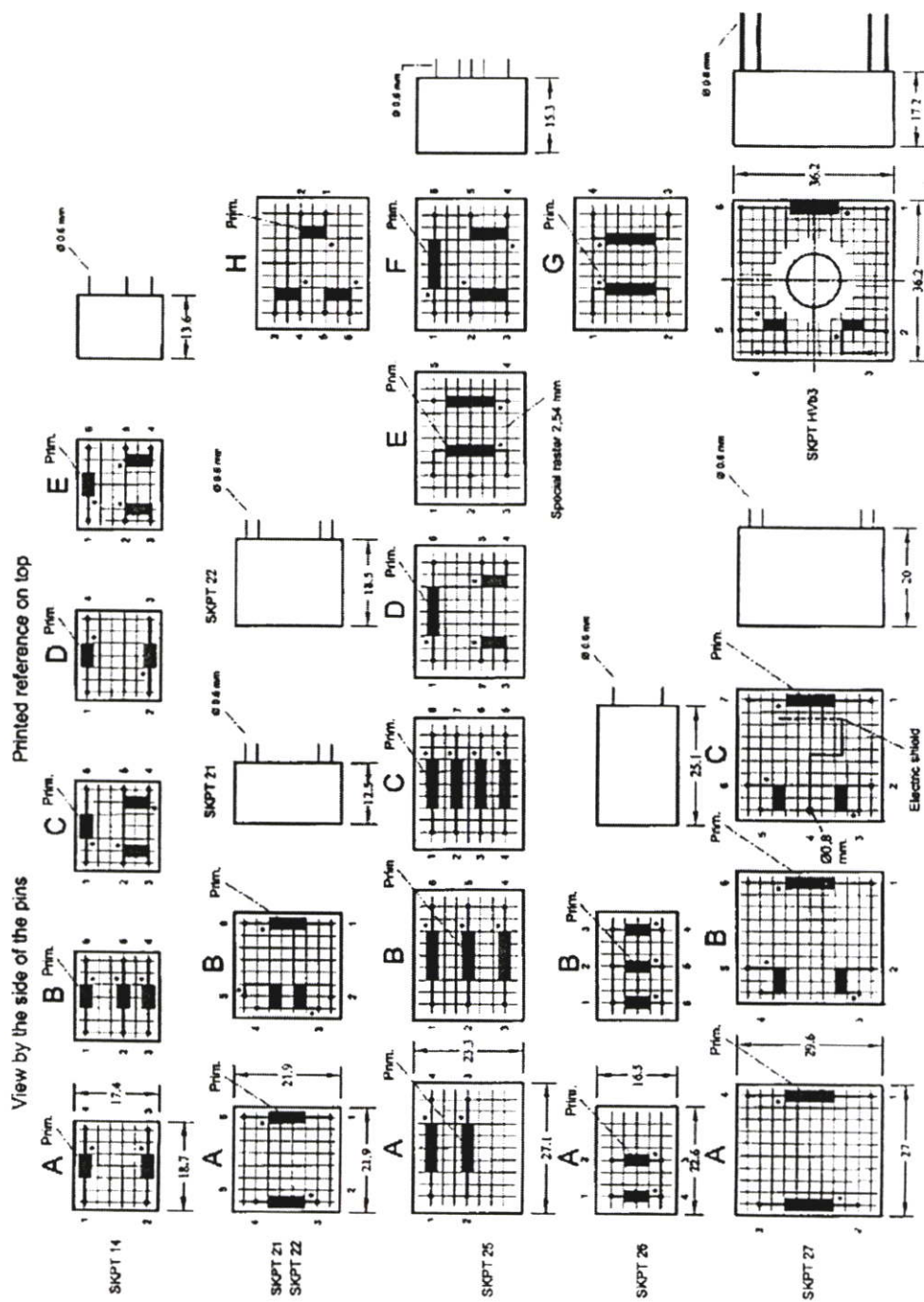
Types	$N_p/N_s$	$\int V dt$	$R_p$	$R_s$	$L_p$	$L_{ss}$	$C_{ps}$	$I_M$	$t_r$	$R_L$	$V_{NW}$	$V_{ISO}$	Winding
• New Type	s	$\mu Vs$	$\Omega$	$\Omega$	mH	$\mu H$	pF	mA	$\mu s$	$\Omega$	V	kV	conf
SKPT 14b2,5	1:1:1	250	0,86	0,86	1,8	85	10	150	2	80	500	4	B
SKPT 14k2,5	1:1:1	250	0,86	0,86	1,8	85	10	150	2	80	500	4	C
SKPT 14c2,5	2:1	250	1,6	0,86	7,5	400	12	150	2,5	80	500	4	D
SKPT 14a3	1:1	350	1,25	1,25	2,8	135	12	150	2,5	80	500	4	A
SKPT 14i3	1:1	350	1,25	1,25	2,8	135	12	150	2,5	80	500	4	D
SKPT 14g3	2:1:1	330	3,5	1,6	11	148	10	150	5	80	500	4	B
SKPT 14c3,5	2:1	350	3,5	2,4	13,5	82	9	150	2,5	80	500	4	D
SKPT 14i5	1:1	500	2,7	2,7	5,5	75	10	150	2,5	80	500	4	D
SKPT 14k6	1:1:1	600	2,8	2,8	9	250	10	150	2,5	80	500	4	C
SKPT 25j2	1:2:2	200	0,8	1,6	0,9/1,6	30/60	7	250	1,5	47	500	5	H
SKPT 25a3	1:1	300	0,55	0,55	2	45	8	250	1,5	47	500	4	A
SKPT 25b3	1:1:1	300	0,55	0,55	2	48	9	250	1,5	47	500	4	B
SKPT 25e3	3:1:1	300	1,7	0,55	15	300	10	250	1,5	47	500	4	B
SKPT 25h3	1:1:1:1	300	0,55	0,55	2	48	9	250	1,5	47	500	4	C
SKPT 25k3/650	1:1:1	300	0,55	0,55	2	38	9	250	1,5	47	650	4	F
SKPT 25m3	1:1	300	0,55	0,55	1,8	105	7	250	1,5	47	1000	6	G
SKPT 25n3	3:1	300	1,7	0,55	15	870	7	250	1,5	47	1000	6	G
SKPT 25p3/650	3:1:1	300	1,7	0,55	15	300	10	250	1,5	47	650	4	F
SKPT 25a4	1:1	400	0,6	0,6	4	50	10	250	2	47	500	4	A
SKPT 25b4	1:1:1	400	0,6	0,6	4	52	10	250	2	47	500	4	B
SKPT 25g4	2:1:1	400	2,3	1,1	9/15	260/490	7	250	1,5	47	500	5	H
SKPT 25a5	1:1	500	1	1	5,5	85	11	100 250	1,1 3	100 47	500	4	A

continued on next page

<sup>1)</sup> Material used is according to UL94-V0. Isolation test and pin distance according to IEC 60664-1(1992); (VDE 0110-1:1997-4)

<sup>2)</sup> Explanations see Chapter A, Section 14.2

## Winding Configurations and Dimensions in mm 2,5 mm grid



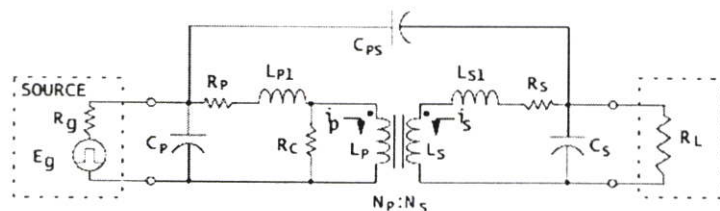
## PULSE TRANSFORMERS

### TRANSFORMER EQUIVALENT CIRCUIT:

The influences of a transformer's parameters can best be understood by considering the equivalent circuit in below.

This circuit shows a typical output pulse waveform. Assuming that this output pulse is the result of injecting an ideal rectangular input pulse, one can see that a number of parameters are distorted.

Overshoot, droop, back swing, rise time, etc. appear as unwanted signal distortion on the output pulse. Assuming the pulse transformer is properly matched and the source is delivering an ideal rectangular pulse, the transformer should have low values of leakage inductance and distributed capacitance while having a high open circuit inductance. This will limit the deterioration of the pulse shape. Also, the fact that the source will never produce an ideal rectangular pulse adds to the problems of distortion.



Transformer Equivalent Circuit.

Where:

$R_g$  = Internal resistance of the driving source.

$E_g$  = Open circuit source voltage.

$R_p$  = DC Resistance of the primary winding.

$R_s$  = DC Resistance of the secondary winding.

$R_L$  = Load Resistance on the secondary winding.

$R_c$  = Core losses expressed as a shunt resistance in parallel with the primary windings.

$C_p$  = Primary shunt and distributed capacitance.

$C_s$  = Secondary shunt and distributed capacitance.

$C_{PS}$  = Primary-to-Secondary capacitance (Inter-winding capacitance).

$L_p$  = Primary inductance that is mutually coupled to the secondary.

$L_s$  = Secondary inductance that is mutually coupled to the primary.

$L_{p1}$  = Primary inductance that does not link the secondary (Primary leakage inductance).

$L_{s1}$  = Secondary inductance that does not link the primary (Secondary leakage inductance).


$i_p$  = Current in the primary turns.

$i_s$  = Current in the secondary turns.

$N_p$  = Number of turns on the primary.

$N_s$  = Number of turns on the secondary.

Specifications subject to change without notice.

 Rhombus  
Industries Inc.

15801 Chemical Lane, Huntington Beach, CA 92649-1305  
Tel: (714) 898-0960 • Fax: (714) 896-0971

## LM555 Timer

### General Description

The LM555 is a highly stable device for generating accurate time delays or oscillation. Additional terminals are provided for triggering or resetting if desired. In the time delay mode of operation, the time is precisely controlled by one external resistor and capacitor. For astable operation as an oscillator, the free running frequency and duty cycle are accurately controlled with two external resistors and one capacitor. The circuit may be triggered and reset on falling waveforms, and the output circuit can source or sink up to 200mA or drive TTL circuits.

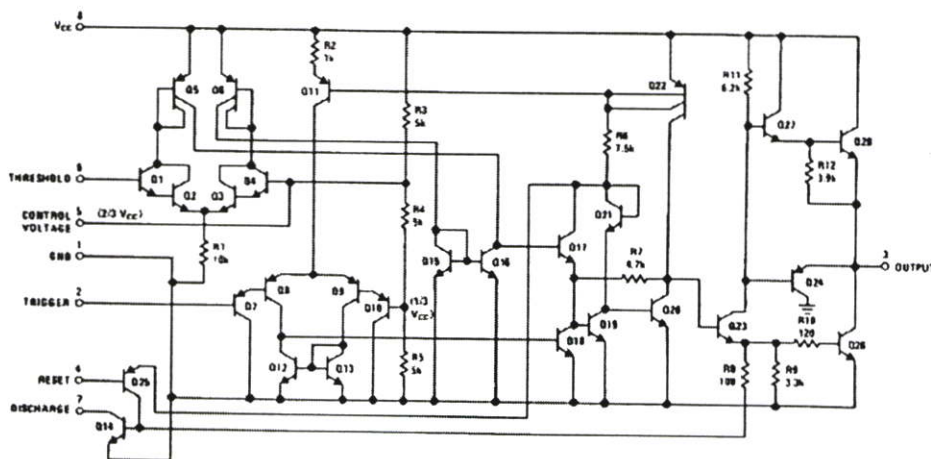
### Features

- Direct replacement for SE555/NE555
- Timing from microseconds through hours
- Operates in both astable and monostable modes
- Adjustable duty cycle
- Output can source or sink 200 mA
- Output and supply TTL compatible
- Temperature stability better than 0.005% per °C
- Normally on and normally off output
- Available in 8-pin MSOP package

### Applications

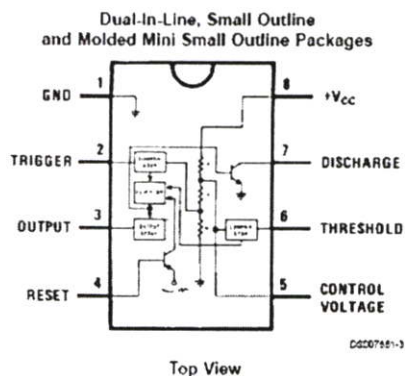
- Precision timing
- Pulse generation
- Sequential timing
- Time delay generation
- Pulse width modulation
- Pulse position modulation
- Linear ramp generator

### Schematic Diagram



DS007851-1

## Connection Diagram



## Ordering Information

Package	Part Number	Package Marking	Media Transport	NSC Drawing
8-Pin SOIC	LM555CM	LM555CM	Rails	M08A
	LM555CMX	LM555CM	2.5k Units Tape and Reel	
8-Pin MSOP	LM555CMM	Z55	1k Units Tape and Reel	MUA08A
	LM555CMMX	Z55	3.5k Units Tape and Reel	
8-Pin MDIP	LM555CN	LM555CN	Rails	N08E

**Absolute Maximum Ratings** (Note 2)

If Military/Aerospace specified devices are required, please contact the National Semiconductor Sales Office/Distributors for availability and specifications.

Supply Voltage	+18V
Power Dissipation (Note 3)	
LM555CM, LM555CN	1180 mW
LM555CMM	613 mW
Operating Temperature Ranges	
LM555C	0°C to +70°C
Storage Temperature Range	-65°C to +150°C

**Soldering Information**

Dual-In-Line Package	
Soldering (10 Seconds)	260°C
Small Outline Packages (SOIC and MSOP)	
Vapor Phase (60 Seconds)	215°C
Infrared (15 Seconds)	220°C

See AN-450 "Surface Mounting Methods and Their Effect on Product Reliability" for other methods of soldering surface mount devices.

**Electrical Characteristics** (Notes 1, 2)

( $T_A = 25^\circ\text{C}$ ,  $V_{CC} = +5\text{V}$  to  $+15\text{V}$ , unless otherwise specified)

Parameter	Conditions	Limits			Units
		LM555C			
		Min	Typ	Max	
Supply Voltage		4.5		16	V
Supply Current	$V_{CC} = 5\text{V}$ , $R_L = \infty$ $V_{CC} = 15\text{V}$ , $R_L = \infty$ (Low State) (Note 4)		3 10	6 15	mA
Timing Error, Monostable					
Initial Accuracy			1		%
Drift with Temperature	$R_A = 1\text{k}$ to $100\text{k}\Omega$ , $C = 0.1\mu\text{F}$ , (Note 5)		50		ppm/°C
Accuracy over Temperature			1.5		%
Drift with Supply			0.1		%/V
Timing Error, Astable					
Initial Accuracy			2.25		%
Drift with Temperature	$R_A, R_B = 1\text{k}$ to $100\text{k}\Omega$ , $C = 0.1\mu\text{F}$ , (Note 5)		150		ppm/°C
Accuracy over Temperature			3.0		%
Drift with Supply			0.30		%/V
Threshold Voltage			0.667		$\times V_{CC}$
Trigger Voltage	$V_{CC} = 15\text{V}$ $V_{CC} = 5\text{V}$		5 1.67		V V
Trigger Current			0.5	0.9	$\mu\text{A}$
Reset Voltage		0.4	0.5	1	V
Reset Current			0.1	0.4	mA
Threshold Current	(Note 6)		0.1	0.25	$\mu\text{A}$
Control Voltage Level	$V_{CC} = 15\text{V}$ $V_{CC} = 5\text{V}$	9 2.6	10 3.33	11 4	V V
Pin 7 Leakage Output High			1	100	nA
Pin 7 Sat (Note 7)					
Output Low	$V_{CC} = 15\text{V}$ , $I_T = 15\text{mA}$		180		mV
Output Low	$V_{CC} = 4.5\text{V}$ , $I_T = 4.5\text{mA}$		80	200	mV

LM555

**Electrical Characteristics** (Notes 1, 2) (Continued)(T<sub>A</sub> = 25°C, V<sub>CC</sub> = +5V to +15V, unless otherwise specified)

Parameter	Conditions	Limits			Units
		LM555C			
		Min	Typ	Max	
Output Voltage Drop (Low)	V <sub>CC</sub> = 15V				
	I <sub>SINK</sub> = 10mA		0.1	0.25	V
	I <sub>SINK</sub> = 50mA		0.4	0.75	V
	I <sub>SINK</sub> = 100mA		2	2.5	V
	I <sub>SINK</sub> = 200mA		2.5		V
	V <sub>CC</sub> = 5V				
Output Voltage Drop (High)	I <sub>SOURCE</sub> = 8mA		0.25	0.35	V
	I <sub>SINK</sub> = 5mA				
	I <sub>SOURCE</sub> = 200mA, V <sub>CC</sub> = 15V		12.5		V
Rise Time of Output	I <sub>SOURCE</sub> = 100mA, V <sub>CC</sub> = 15V	12.75	13.3		V
	V <sub>CC</sub> = 5V	2.75	3.3		V
			100		ns
Fall Time of Output			100		ns

Note 1: All voltages are measured with respect to the ground pin, unless otherwise specified.

Note 2: Absolute Maximum Ratings indicate limits beyond which damage to the device may occur. Operating Ratings indicate conditions for which the device is functional, but do not guarantee specific performance limits. Electrical Characteristics state DC and AC electrical specifications under particular test conditions which guarantee specific performance limits. This assumes that the device is within the Operating Ratings. Specifications are not guaranteed for parameters where no limit is given, however, the typical value is a good indication of device performance.

Note 3: For operating at elevated temperatures the device must be derated above 25°C based on a +150°C maximum junction temperature and a thermal resistance of 108°C/W (DIP), 170°C/W (SO-8), and 204°C/W (MSOP) junction to ambient.

Note 4: Supply current when output high typically 1 mA less at V<sub>CC</sub> = 5V.

Note 5: Tested at V<sub>CC</sub> = 5V and V<sub>CC</sub> = 15V.

Note 6: This will determine the maximum value of R<sub>A</sub> + R<sub>B</sub> for 15V operation. The maximum total (R<sub>A</sub> + R<sub>B</sub>) is 20MΩ.

Note 7: No protection against excessive pin 7 current is necessary providing the package dissipation rating will not be exceeded.

Note 8: Refer to RETS555X drawing of military LM555H and LM555J versions for specifications.

## ULN2003AI HIGH-VOLTAGE, HIGH-CURRENT DARLINGTON TRANSISTOR ARRAY

SLRS054A – JULY 2003 – REVISED MARCH 2004

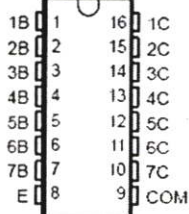
- 500-mA-Rated Collector Current (Single Output)
- High-Voltage Outputs . . . 50 V
- Output Clamp Diodes
- Inputs Compatible With Various Types of Logic
- Relay-Driver Applications

### description/ordering information

The ULN2003AI is a high-voltage, high-current Darlington transistor array. This device consists of seven npn Darlington pairs that feature high-voltage outputs with common-cathode clamp diodes for switching inductive loads. The collector-current rating of a single Darlington pair is 500 mA. The Darlington pairs can be paralleled for higher current capability. Applications include relay drivers, hammer drivers, lamp drivers, display drivers (LED and gas discharge), line drivers, and logic buffers.

The ULN2003AI has a 2.7-k $\Omega$  series base resistor for each Darlington pair for operation directly with TTL or 5-V CMOS devices.

D OR N PACKAGE  
(TOP VIEW)



### ORDERING INFORMATION

TA	PACKAGE†		ORDERABLE PART NUMBER	TOP-SIDE MARKING
-40°C to 105°C	PDIP (N)	Tube of 425	ULN2003AIN	ULN2003AIN
		SOIC (D)		
		Tube of 40 Reel of 2500	ULN2003AID ULN2003AIDR	ULN2003AI

† Package drawings, standard packing quantities, thermal data, symbolization, and PCB design guidelines are available at [www.ti.com/sc/package](http://www.ti.com/sc/package).



Please be aware that an important notice concerning availability, standard warranty, and use in critical applications of Texas Instruments semiconductor products and disclaimers thereto appears at the end of this data sheet.

**PRODUCTION DATA** Information is current as of publication date. Products conform to specifications per the terms of Texas Instruments standard warranty. Production processing does not necessarily include testing of all parameters.

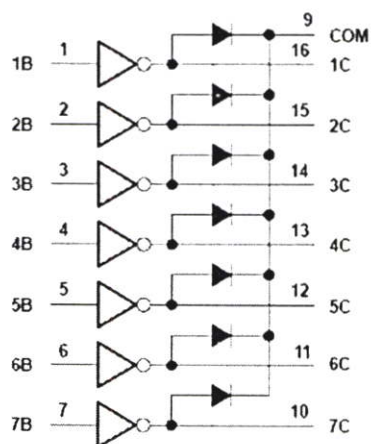
**TEXAS  
INSTRUMENTS**

POST OFFICE BOX 655303 • DALLAS, TEXAS 75265

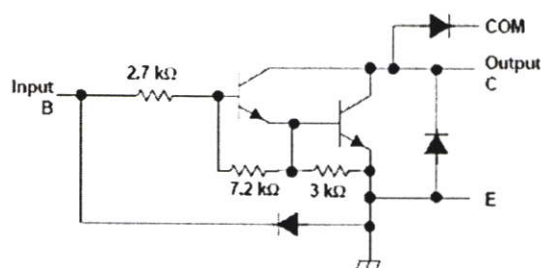
Copyright © 2004, Texas Instruments Incorporated

**ULN2003AI**  
**HIGH-VOLTAGE, HIGH-CURRENT**  
**DARLINGTON TRANSISTOR ARRAY**  
 SLRS054A - JULY 2003 - REVISED MARCH 2004

logic diagram



schematics (each Darlington pair)



All resistor values shown are nominal.

**ULN2003AI**  
**HIGH-VOLTAGE, HIGH-CURRENT**  
**DARLINGTON TRANSISTOR ARRAY**

SLRS054A - JULY 2003 - REVISED MARCH 2004

**absolute maximum ratings at 25°C free-air temperature (unless otherwise noted)†**

Collector-emitter voltage	50 V
Clamp diode reverse voltage (see Note 1)	50 V
Input voltage, $V_I$ (see Note 1)	30 V
Peak collector current (see Notes 2 and 4)	500 mA
Output clamp current, $I_{OK}$	500 mA
Total emitter-terminal current	-2.5 A
Operating free-air temperature range, $T_A$	-40°C to 105°C
Package thermal impedance, $\theta_{JA}$ (see Notes 2 and 3): D package	73°C/W
N package	67°C/W
Operating virtual junction temperature, $T_J$	150°C
Storage temperature range, $T_{stg}$	-65°C to 150°C

† Stresses beyond those listed under "absolute maximum ratings" may cause permanent damage to the device. These are stress ratings only, and functional operation of the device at these or any other conditions beyond those indicated under "recommended operating conditions" is not implied. Exposure to absolute-maximum-rated conditions for extended periods may affect device reliability.

- NOTES: 1. All voltage values are with respect to the emitter/substrate terminal E, unless otherwise noted.  
 2. Maximum power dissipation is a function of  $T_J(\max)$ ,  $\theta_{JA}$ , and  $T_A$ . The maximum allowable power dissipation at any allowable ambient temperature is  $P_D = (T_J(\max) - T_A)/\theta_{JA}$ . Operating at the absolute maximum  $T_J$  of 150°C can affect reliability.  
 3. The package thermal impedance is calculated in accordance with JESD 51-7.

**electrical characteristics,  $T_A = 25^\circ\text{C}$**

PARAMETER	TEST FIGURE	TEST CONDITIONS		MIN	TYP	MAX	UNIT
$V_{I(on)}$ On-state input voltage	5	$V_{CE} = 2\text{ V}$	$I_C = 200\text{ mA}$			2.4	V
			$I_C = 250\text{ mA}$			2.7	
			$I_C = 300\text{ mA}$			3	
$V_{CE(sat)}$ Collector-emitter saturation voltage	4	$I_I = 250\text{ }\mu\text{A}$ , $I_C = 100\text{ mA}$		0.9	1.1	V	
		$I_I = 350\text{ }\mu\text{A}$ , $I_C = 200\text{ mA}$		1	1.3		
		$I_I = 500\text{ }\mu\text{A}$ , $I_C = 350\text{ mA}$		1.2	1.6		
$I_{CEX}$ Collector cutoff current	1	$V_{CE} = 50\text{ V}$ , $I_I = 0$			50	$\mu\text{A}$	
$V_F$ Clamp forward voltage	7	$I_F = 350\text{ mA}$		1.7	2	V	
$I_{I(off)}$ Off-state input current	2	$V_{CE} = 50\text{ V}$ , $I_C = 500\text{ }\mu\text{A}$		50	65	$\mu\text{A}$	
$I_I$ Input current	3	$V_I = 3.85\text{ V}$		0.93	1.35	mA	
$I_R$ Clamp reverse current	6	$V_R = 50\text{ V}$			50	$\mu\text{A}$	
$C_I$ Input capacitance		$V_I = 0$ , $f = 1\text{ MHz}$		15	25	pF	



POST OFFICE BOX 655303 • DALLAS, TEXAS 75265

**ULN2003AI**  
**HIGH-VOLTAGE, HIGH-CURRENT**  
**DARLINGTON TRANSISTOR ARRAY**

SLRS054A - JULY 2003 - REVISED MARCH 2004

electrical characteristics,  $T_A = -40^\circ\text{C}$  to  $105^\circ\text{C}$

PARAMETER	TEST FIGURE	TEST CONDITIONS	MIN	TYP	MAX	UNIT
$V_{I(on)}$ On-state input voltage	5	$V_{CE} = 2\text{ V}$	$I_C = 200\text{ mA}$		2.7	V
			$I_C = 250\text{ mA}$		2.9	
			$I_C = 300\text{ mA}$		3	
$V_{CE(sat)}$ Collector-emitter saturation voltage	4		$I_I = 250\text{ }\mu\text{A}$ , $I_C = 100\text{ mA}$	0.9	1.2	V
			$I_I = 350\text{ }\mu\text{A}$ , $I_C = 200\text{ mA}$	1	1.4	
			$I_I = 500\text{ }\mu\text{A}$ , $I_C = 350\text{ mA}$	1.2	1.7	
$I_{CEX}$ Collector cutoff current	1	$V_{CE} = 50\text{ V}$ , $I_I = 0$			100	$\mu\text{A}$
$V_F$ Clamp forward voltage	7	$I_F = 350\text{ mA}$		1.7	2.2	V
$I_{I(off)}$ Off-state input current	2	$V_{CE} = 50\text{ V}$ , $I_C = 500\text{ }\mu\text{A}$	30	65		$\mu\text{A}$
$I_I$ Input current	3	$V_I = 3.85\text{ V}$		0.93	1.35	$\text{mA}$
$I_R$ Clamp reverse current	6	$V_R = 50\text{ V}$			100	$\mu\text{A}$
$C_i$ Input capacitance		$V_I = 0$ , $f = 1\text{ MHz}$		15	25	$\text{pF}$

switching characteristics,  $T_A = 25^\circ\text{C}$

PARAMETER	TEST CONDITIONS	MIN	TYP	MAX	UNIT
$t_{PLH}$ Propagation delay time, low- to high-level output	See Figure 8		0.25	1	$\mu\text{s}$
$t_{PHL}$ Propagation delay time, high- to low-level output	See Figure 8		0.25	1	$\mu\text{s}$
$V_{OH}$ High-level output voltage after switching	$V_S = 50\text{ V}$ , $I_O = 300\text{ mA}$ , See Figure 9	$V_S - 20$			mV

switching characteristics,  $T_A = -40^\circ\text{C}$  to  $105^\circ\text{C}$

PARAMETER	TEST CONDITIONS	MIN	TYP	MAX	UNIT
$t_{PLH}$ Propagation delay time, low- to high-level output	See Figure 8		1	10	$\mu\text{s}$
$t_{PHL}$ Propagation delay time, high- to low-level output	See Figure 8		1	10	$\mu\text{s}$
$V_{OH}$ High-level output voltage after switching	$V_S = 50\text{ V}$ , $I_O = 300\text{ mA}$ , See Figure 9	$V_S - 50$			mV



POST OFFICE BOX 655303 • DALLAS, TEXAS 75265

ULN2003AI  
 HIGH-VOLTAGE, HIGH-CURRENT  
 DARLINGTON TRANSISTOR ARRAY  
 SLRS054A - JULY 2003 - REVISED MARCH 2004

PARAMETER MEASUREMENT INFORMATION

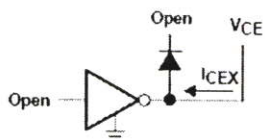


Figure 1.  $I_{CEX}$  Test Circuit

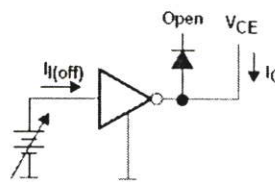


Figure 2.  $I_{I(off)}$  Test Circuit

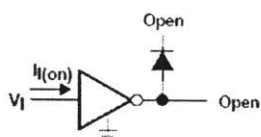
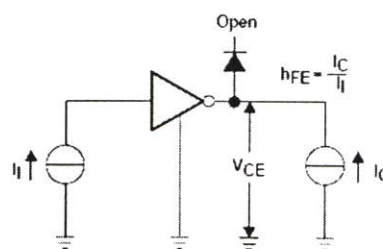


Figure 3.  $I_I$  Test Circuit



NOTE:  $I_I$  is fixed for measuring  $V_{CE(sat)}$ , variable for measuring  $h_{FE}$ .

Figure 4.  $h_{FE}$ ,  $V_{CE(sat)}$  Test Circuit

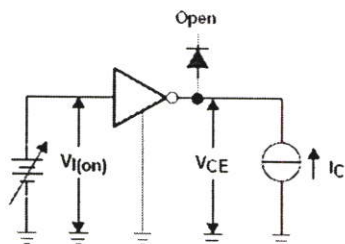


Figure 5.  $V_{I(on)}$  Test Circuit

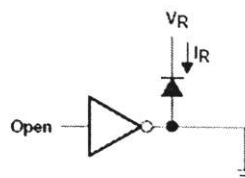


Figure 6.  $I_R$  Test Circuit

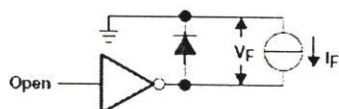


Figure 7.  $V_F$  Test Circuit

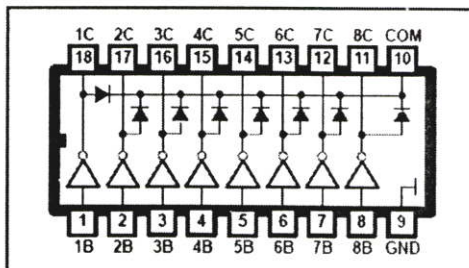
## ULN2804A DARLINGTON TRANSISTOR ARRAY

SLLS311 – JUNE 1998

### HIGH-VOLTAGE, HIGH-CURRENT DARLINGTON TRANSISTOR ARRAY

- 500-mA-Rated Collector Current (Single Output)
- High-Voltage Outputs . . . 50 V
- Output Clamp Diodes
- Inputs Compatible With Various Types of Logic
- Relay Driver Applications
- Compatible With ULN2800A-Series

N DUAL-IN-LINE PACKAGE  
(TOP VIEW)



#### description

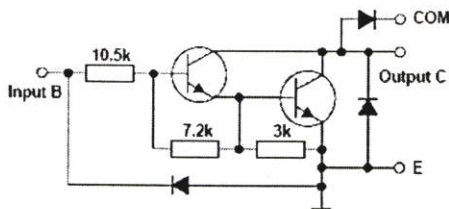
The ULN2804A is a monolithic high-voltage, high-current Darlington transistor array, comprising eight npn Darlington pairs. All units feature high-voltage outputs with common-cathode clamp diodes for switching inductive loads. The collector-current rating of each Darlington pair is 500 mA. Outputs and inputs can each be paralleled for higher current capability.

Applications include relay drivers, hammer drivers, lamp drivers, display drivers (LED and gas discharge), line drivers, and logic buffers.

The ULN2804A has an approximate 10.5-k $\Omega$  series input resistor to allow its operation directly from CMOS or PMOS, utilizing supply voltages of 6 to 15 volts.

The ULN2804A is characterized for operation from  $-20^{\circ}\text{C}$  to  $85^{\circ}\text{C}$ .

#### schematic (each Darlington pair)



Please be aware that an important notice concerning availability, standard warranty, and use in critical applications of Texas Instruments semiconductor products and disclaimers thereto appears at the end of this data sheet.

PRODUCTION DATA information is current as of publication date. Products conform to specifications per the terms of Texas Instruments standard warranty. Production processing does not necessarily include testing of all parameters.

 **TEXAS  
INSTRUMENTS**  
POST OFFICE BOX 655303 • DALLAS, TEXAS 75265

Copyright © 1998, Texas Instruments Incorporated

## ULN2804A DARLINGTON TRANSISTOR ARRAY

SLLS311 – JUNE 1998

### absolute maximum ratings at 25°C free-air temperature (unless otherwise noted)

Collector-emitter voltage	50 V
Input voltage (see Note 1)	30 V
Continuous collector current	500 mA
Output clamp diode current	500 mA
Total substrate-terminal current	-2.5 A
Continuous dissipation (total package) at (or below) 25°C free air temperature (see Note 2)	1150 mW
Operating free-air temperature range	-20°C to 85°C
Storage temperature range	-65°C to 150°C
Lead temperature 1/16 inch from case for 10 seconds	260°C

- NOTES: 1. All voltages values, unless otherwise noted, are with respect to the emitter/substrate terminal E.  
2. For operation above 25°C free-air temperature, refer to the Dissipation Derating Curves in the Thermal Information section.

### electrical characteristics at 25°C free-air temperature (unless otherwise noted)

PARAMETER	TEST FIGURE	TEST CONDITIONS	ULN2804A			UNIT
			MIN	TYP	MAX	
$I_{CEX}$ Collector cutoff current	1	$V_{CE} = 50\text{ V}$ , $I_I = 0$			50	$\mu\text{A}$
	2	$T_A = 70^\circ\text{C}$ , $V_I = 1\text{ V}$ , $V_{CE} = 50\text{ V}$			500	
$I_{I(off)}$ Off-state input current	3	$V_{CE} = 50\text{ V}$ , $I_C = 500\ \mu\text{A}$ , $T_A = 70^\circ\text{C}$	50	65		$\mu\text{A}$
$I_{I(ON)}$ Input current	4	$V_I = 3.85\text{ V}$				mA
		$V_I = 5\text{ V}$		0.35	0.5	
		$V_I = 12\text{ V}$		1.0	1.45	
$V_{I(on)}$ On-state input voltage	6	$V_{CE} = 2\text{ V}$ , $I_C = 125\text{ mA}$			5	V
		$V_{CE} = 2\text{ V}$ , $I_C = 200\text{ mA}$			6	
		$V_{CE} = 2\text{ V}$ , $I_C = 250\text{ mA}$			7	
		$V_{CE} = 2\text{ V}$ , $I_C = 300\text{ mA}$			8	
		$V_{CE} = 2\text{ V}$ , $I_C = 350\text{ mA}$			8	
$V_{CE(sat)}$ Collector-emitter saturation voltage	5	$I_I = 250\ \mu\text{A}$ , $I_C = 100\text{ mA}$		0.9	1.1	V
		$I_I = 350\ \mu\text{A}$ , $I_C = 200\text{ mA}$		1.0	1.3	
		$I_I = 500\ \mu\text{A}$ , $I_C = 350\text{ mA}$		1.3	1.6	
$I_R$ Clamp-diode reverse current	7	$V_R = 50\text{ V}$			50	$\mu\text{A}$
$V_F$ Clamp-diode forward voltage	8	$I_F = 350\text{ mA}$		1.7	2	V
$C_i$ Input capacitance		$V_I = 0\text{ V}$ , $f = 1\text{ MHz}$		15	25	pF

### switching characteristics at 25°C free-air temperature

PARAMETER	TEST CONDITIONS	MIN	TYP	MAX	UNIT
$t_{PLH}$ Propagation delay time, low- to high-level output	See Figure 9		0.25	1	$\mu\text{s}$
$t_{PHL}$ Propagation delay time, high- to low-level output			0.25	1	$\mu\text{s}$
$V_{OH}$ High-level output voltage after switching	$V_S = 50\text{ V}$ , $I_O = 300\text{ mA}$ , See Figure 10	$V_S - 20$			mV

**ULN2804A  
DARLINGTON TRANSISTOR ARRAY**

SLLS311 – JUNE 1998

**PARAMETER MEASUREMENT INFORMATION**

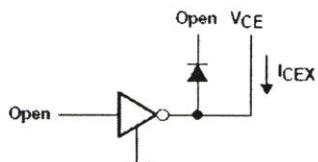


Figure 1.  $I_{CEX}$

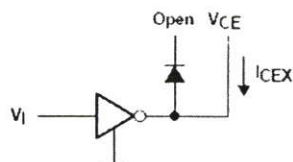


Figure 2.  $I_{CEX}$

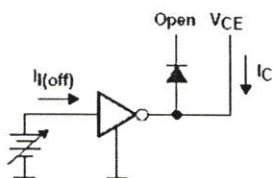


Figure 3.  $I_{I(off)}$

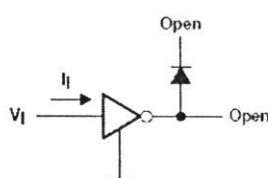


Figure 4.  $I_{I(on)}$

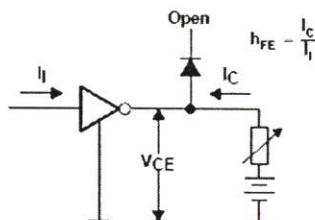


Figure 5.  $h_{FE}$ ,  $V_{CE(sat)}$

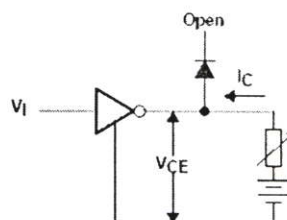


Figure 6.  $V_{I(on)}$

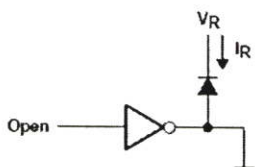


Figure 7.  $I_R$

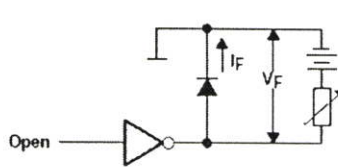


Figure 8.  $V_F$

ภาคผนวก ค  
บทความที่ได้รับการตีพิมพ์



# ลาดกระบัง

คณะวิศวกรรมศาสตร์ สถาบันเทคโนโลยีพระจอมเกล้าเจ้าคุณทหารลาดกระบัง

## ENGINEERING

ปีที่ 22 ฉบับที่ 4

ธันวาคม 2548

1.	Self-Organizing Map หลายลำดับชั้นสำหรับการตรวจจับการบุกรุก สุรพล ไชยประทีปรัฐ เอื้อน ปิ่นเงิน	1
2.	การวัดกลุ่มโหนดใน Self-Organizing Map โดยใช้แอมัลกอลกอริทึม กษานต์ ศรีกุลนาค พรเทพ ไรจนวนุส ไทฑูรย์ ศรีนิต เอื้อน ปิ่นเงิน	7
3.	การวิเคราะห์โครงสร้างการเชื่อมต่อบน IPv6 ภายในองค์กรและการประยุกต์ใช้งาน สุริยา เจริญชุดินวาร กอบชัย เชนหาญ	13
4.	การออกแบบและสร้างหม้อแปลงไฟฟ้าแรงสูงความถี่สูงขนาด 20 kv 2 mA กิตติพงษ์ ต้นมิตร อำนวย สุขศรี ชัยพร ถัดโคตร	19
5.	การออกแบบและวิเคราะห์วงจรเรียงกระแสเซมิคอนดักเตอร์ที่มีการปรับปรุงรูปคลื่นแรงดันเอาต์พุต และกระแสอินพุต สกล กลิ่นหั่น วิจิตร กิณนท	25
6.	ผลกระทบของน้ำยาเคมี และน้ำ DI ที่มีต่อคุณสมบัติทางไฟฟ้าและแม่เหล็กของหัวอ่าน-เขียนข้อมูล สมัยเกียรดี ปราบภา วิสุทธิ วิจิตรูเรือง สัตตาวลัย จุภาติ	31
7.	การสังเคราะห์คาร์บอนนาโนทิวด้วยวิธี CVD แบบลดอุณหภูมิความร้อนที่ความดัน 1 บรรยากาศ โดยใช้แอลกอฮอล์ และไนโตรเจนเป็นก๊าซกลาง ณธวรรณ กสิกรุ่งโรจน์ ปฎิคม ศรีชมพล สุธีชัย ชัยสิทธิ์ศักดิ์	36
8.	วงจรถ่ายเป็นดิจิทัลขึ้นอิเล็กทรอนิกส์ใหม่เขียนทำงานในโหมดกระแสใช้แรงดันต่ำด้วยเทคโนโลยีจุ่มอด มนตรี คำเงิน วิรุฬห์ บุญมา กอบชัย เชนหาญ	42
9.	วงจรถ่ายทางเทคนิคหลายหน้าที่ด้วยซีมอส มนตรี คำเงิน คมกฤษ โนมลเจตศิริ กอบชัย เชนหาญ	46
10.	ผลกระทบของเครื่องนัที่ใช้ควบคุมหลักส่งการควบคุมย่อยเพียงควบคุมเดียวของระบบแฉ่งเหตุเพลิงไหม้ วิไลศ พิ้วไพรเทียม กอบชัย เชนหาญ	52
11.	การวิเคราะห์สมรรถนะของระบบ DS-SSK CDMA โดยใช้ของสัญญาณการวางแบบภาคภูมิ เกียรติภูมิ จรุงศักดิ์ กอบชัย เชนหาญ	57

การออกแบบและวิเคราะห์วงจรเรียงกระแสเอซี/ดีซี 6 พัลส์  
คอนเวอร์เตอร์ที่มีการปรับปรุงรูปคลื่นแรงดันเอาต์พุตและ  
กระแสอินพุต

**Design and Analysis of a 6-Pulse Converter with Improved  
Output Voltage and Input Current Wave-Shapes**

นายสกล กลิ่นหรั่ง

วิจิตร กิณเรศ

ภาควิชาวิศวกรรมไฟฟ้า คณะวิศวกรรมศาสตร์ สถาบันเทคโนโลยีพระจอมเกล้าเจ้าคุณทหารลาดกระบัง

**บทคัดย่อ**

บทความนี้เป็น การนำเสนอ การออกแบบและวิเคราะห์วงจรเรียงกระแสเอซี/ดีซี 6 พัลส์ คอนเวอร์เตอร์ที่มีการปรับปรุงรูปคลื่นแรงดันเอาต์พุตและกระแสอินพุต โดยใช้วงจรเรียงกระแส 3 เฟสที่มีวงจรถายตัวช่วยที่เชื่อมต่อกับแทปหม้อแปลงอินเวอร์เตอร์เฟส โดยมีวัตถุประสงค์เพื่อช่วยในการกำจัด ฮาร์มอนิก ของกระแสทางคานอินพุต และการเพิ่มจำนวนพัลส์ แรงดันทางคานเอาต์พุต โดยการกำหนดมุมนำกระแสให้กับไทรสเตอร์ ซึ่งในหลักการที่จะนำเสนอจะมีโครงสร้างที่ง่าย ด้วยการ ใช้ชุดอุปกรณ์ไทรสเตอร์ทั้งหมด 8 ตัว และในงานวิจัยยังได้มีการออกแบบการทำงานโดยใช้โปรแกรม MATLAB/SIMULINK เพื่อยืนยันความถูกต้อง การทำงานของวงจรพร้อมด้วยผลการทดลอง

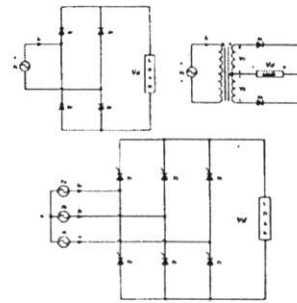
**Abstract**

This paper presents the design and analysis of a 6-pulse converter with improved output voltages and input current wave-shapes using a conventional three-phase full bridge converter having auxiliary thyristors connected to taps on the interphase transformer. The objective of this study is to multiply the pulse number and eliminate the harmonic input current by controlling the firing angle of thyristors. The proposed structure is simple with 8 thyristors. Designed circuit simulation using MATLAB/SIMULINK is also given in order to verify circuit operations together with experimental results.

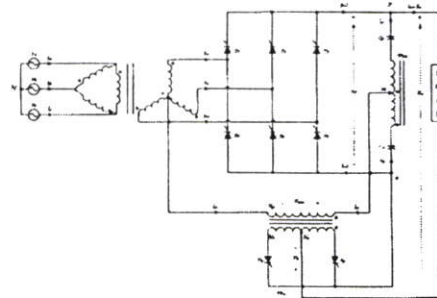
1. บทนำ

ในปัจจุบันนี้การใช้ระบบกำลังไฟฟ้ากระแสตรงได้มีการใช้อย่างแพร่หลาย เพราะมีค่ากำลังงานที่สม่ำเสมอ คงที่ไม่แปรเปลี่ยนไปตามเวลาทำให้มีความสามารถส่งผ่านพลังงานไฟฟ้าสูงสุด เมื่อเทียบกับระบบกำลังไฟฟ้ากระแสสลับ(1) และสามารถนำไปใช้ในอุปกรณ์ไฟฟ้าในโรงงานอุตสาหกรรม เช่นระบบควบคุมมอเตอร์(2) ระบบการควบคุมความร้อน ระบบส่งผ่านพลังงาน(HVDC) เป็นต้น ซึ่งการแปลงระบบไฟฟ้ากระแสสลับ ให้เป็นระบบไฟฟ้ากระแสตรง นั้นมีอยู่หลากหลายวิธีด้วยกัน เช่น วงจรเรียงกระแส 1 เฟสโดยใช้ไดโอดแบบเต็มคลื่น วงจรเรียงกระแส 3 เฟสโดยใช้ไดโอดแบบเต็มคลื่น ดังรูปที่ 1 เป็นต้น ซึ่งวงจรเรียงกระแสเหล่านี้ก่อให้เกิดฮาร์มอนิกปะปนเข้ามา กับกระแสด้านเข้าของวงจร ยกตัวอย่างเช่น วงจรเรียงกระแส 3 เฟส 6 พัลส์คอนเวอร์เตอร์ ที่ใช้อุปกรณ์ไทรสเตอร์เรียงกระแส จะมีกระแสไหลผ่านก็คือเมื่อขนาดของแรงดันทางด้านเข้าของวงจรเรียงกระแสมีค่ามากกว่าแรงดันทางด้านออก ส่งผลให้รูปคลื่นของกระแสทางด้านเข้าผิดเพี้ยนไปจากรูปคลื่นไซน์ กระแสฮาร์มอนิกนี้เองจะเข้าไปสร้างปัญหา โดยการเข้าไปรบกวนการทำงานของอุปกรณ์อื่นๆในระบบ และได้มีงานวิจัยอยู่หลายวิธีด้วยกันที่ต้องการลดค่าฮาร์มอนิก ทางด้านกระแสอินพุท โดยให้รูปคลื่นใกล้เคียงกับสัญญาณรูปคลื่นไซน์มากที่สุด และลดขนาดริบเบิลของแรงดันทางด้านเอาต์พุท

ดังนั้นในบทความนี้จึงได้นำเสนอ เทคนิคการออกแบบการสร้างและการจำลองระบบ โดยแบ่งเป็น 2 ส่วนด้วยกันคือ ส่วนที่ 1 วงจรเรียงกระแส 3 เฟสแบบเต็มคลื่น ชนิด 6 พัลส์คอนเวอร์เตอร์ เชื่อมต่อกับส่วนที่ 2 วงจรไทรสเตอร์ช่วยโดยใช้หม้อแปลงอินเตอร์เฟส(3)ช่วยในการสวิทช์ซึ่งเพื่อเพิ่มจำนวนพัลส์(4) โดยใช้ไทรสเตอร์(SCR) ทำหน้าที่ควบคุมมุมนำกระแส จากรูปที่ 2 จะเห็นได้ว่าการออกแบบไม่ซับซ้อนมากนัก และสามารถที่จะลดฮาร์มอนิกทางด้านกระแสอินพุท(4),(5) และช่วยให้การเกิดริบเบิลที่แรงดันเอาต์พุทน้อยลง ในส่วนของหม้อแปลงอินเตอร์เฟส  $T_{Fm}$  จะเป็นตัวดูดซับแรงดันที่แตกต่างระหว่างคอนเวอร์เตอร์ทั้ง 2 ส่วน ที่เกิดอย่างรวดเร็ว



รูปที่ 1 วงจรเรียงกระแส 1 เฟส โดยใช้ไดโอดแบบเต็มคลื่นและวงจรเรียงกระแส 3 เฟสแบบควบคุมเฟส



รูปที่ 2 วงจรคอนเวอร์เตอร์ที่มีการปรับรูปแรงดันเอาต์พุท และกระแสอินพุท

2. การวิเคราะห์การทำงานของวงจร

จากวงจรรูปที่ 2 แสดงถึงวงจรคอนเวอร์เตอร์ที่มีการปรับรูปคลื่นแรงดันเอาต์พุท และกระแสอินพุท ซึ่งจะเพิ่มในส่วนที่ 2 คือวงจรไทรสเตอร์ช่วยที่เชื่อมต่อกับหม้อแปลง  $T_{Fm}$  ซึ่งจะต่อระหว่างแท่งของหม้อแปลงอินเตอร์เฟส  $T_{Fm}$  (เพื่อช่วยในการฉีดกระแส  $i_u$ ) และต่อเข้ากับจุดนิวตรอนของหม้อแปลง 3 เฟส แบบสตาร์ส่วนของแรงดันไฟฟ้ากระแสตรงที่  $V_d$  จะเพิ่มในส่วนของตัวเก็บประจุ  $C_p$  และ  $C_f$  เพื่อช่วยในการลดการรีปเปล โดยสมมติให้ค่ารีปเปลของแรงดันไฟฟ้ากระแสตรงมีค่าน้อยและกำหนดให้  $C$  ทั้ง 2 ตัวมีค่าการเก็บประจุมากกว่า กระแส  $i_u$  ที่มาจากหม้อแปลงอินเตอร์เฟส  $T_{Fm}$  เมื่อไหลเข้าสู่วงจรไทรสเตอร์ช่วยที่เชื่อมต่อกับหม้อแปลง  $T_{Fm}$  จะสร้างแรงดัน  $V_m$

ทางด้านขดลวดปฐมภูมิ ซึ่งจะมีลักษณะสัญญาณรูปคลื่นแรงดัน  $V_{in}$  เป็นรูปคลื่นแบบฟันเลื่อยจากรูปที่ 4 แรงดัน  $V_{in}$  หาได้จากสมการที่ (1) ขณะที่กระแส  $i_p$  จะได้รูปคลื่นสัญญาณสี่เหลี่ยม จากรูปที่ 4 หาได้จากสมการที่ (2) โดยกำหนดมุมนำกระแสของคอนเวอร์เตอร์ทั้ง 2 ส่วน ให้เท่ากับ  $30^\circ$  จากรูปที่ 2 เมื่อมีการทำงานตามวงจรเรียงกระแส 3 เฟส 6 พัลส์คอนเวอร์เตอร์ที่  $T_p, T_q$  นำกระแสทำให้มีกระแส  $i_p$  ไหลเข้าจุด  $p$  และถูกแบ่งกระแสที่  $i_p$  และ  $i_n$  เมื่อ  $i_p$  ไหลเข้าทางด้านขั้วบวกของโหลด และไหลออกที่ขั้วลบ โดยจะไหลเข้าทางหม้อแปลงจอร์ทรินเตอร์ช่วยในขณะที่แรงดัน  $V_{in}$  เป็นแรงดันทางด้านขั้วบวกก็จะทำให้  $T_p$  นำกระแสและมีกระแสไหลออกจากจุด  $q$  และก็จะถูกแบ่งกระแสเป็น  $i_{p1}$  และ  $i_{p2}$  เพื่อที่จะสร้างสัญญาณพัลส์เพิ่มในทางกลับกันที่  $T_q, T_r$  นำกระแสก็จะมีกระแสไหลออก  $i_{q1}$  ไหลเข้าจุด  $p$  และถูกแบ่งกระแสที่  $i_p$  เมื่อ  $i_p$  ไหลเข้าทางด้านขั้วบวกของโหลดและไหลออกที่ขั้วลบ โดยให้ไหลเข้าทางหม้อแปลงจอร์ทรินเตอร์ช่วยเมื่อแรงดัน  $V_{in}$  เป็นแรงดันทางด้านลบก็จะให้  $T_q$  นำกระแสเพื่อที่จะสร้างพัลส์เพิ่ม ดังนั้นการทำงานของคอนเวอร์เตอร์ในช่วงเวลาต่อไป ก็จะมีลักษณะการทำงานที่เหมือนกัน

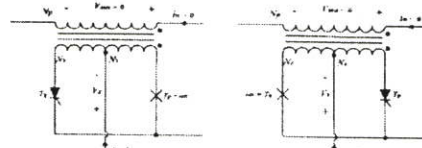
$$V_{in} = V_m - \frac{V_c}{2} \quad (1)$$

$$i_p = I_m \frac{N_p}{N_r} \quad \text{และ} \quad i_n = -I_m \frac{N_p}{N_r} \quad (2)$$

กำหนดให้  $\alpha$  แทนมุมนำกระแสของคอนเวอร์เตอร์ส่วนที่ 1 และ  $\beta_p, \beta_q$  แทนมุมนำกระแสของวงจรช่วยทรินเตอร์คอนเวอร์เตอร์ในส่วนที่ 2 จากรูปที่ 3 ถ้าแรงดัน  $V_{in}$  เป็นบวก ( $V_{in} > 0$ ) ทรินเตอร์  $T_p$  จะนำกระแส ส่วน  $T_q$  จะหยุดนำกระแส ขณะเดียวกันถ้าแรงดัน  $V_{in}$  เป็นลบที่ ( $V_{in} < 0$ ) ทรินเตอร์  $T_q$  จะนำกระแส ส่วน  $T_p$  จะหยุดนำกระแส

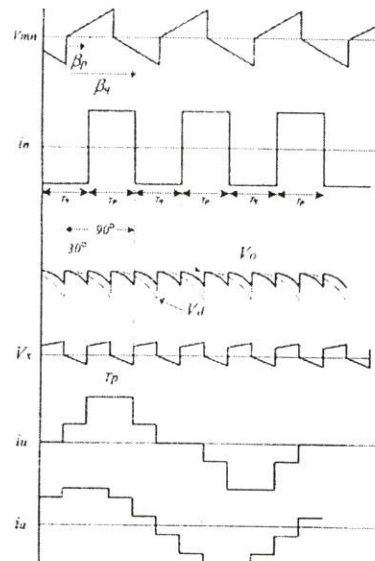
กระแส  $i_p$  และ  $i_q$  ทางด้านแรงดันไฟฟ้าที่กระแสตรงได้จากสมการที่ (3) ส่วนกระแส  $i_{p1}, i_{p2}, i_{q1}$  จะเป็นกระแสทางด้านแรงดันไฟฟ้าที่กระแสสลับที่หม้อแปลงแบบ

เคล็ดคำนวณ สามารถวิเคราะห์หาค่าของกระแสที่ไหลรวมกับของกระแส  $i_p$  ได้จากสมการที่ (4-5)



รูปที่ 3 แสดงการทำงานของทรินเตอร์  $T_p, T_q$

$$i_p = i_q = \frac{I}{2} \quad (3)$$



รูปที่ 4 รูปคลื่นสัญญาณตามทฤษฎีจากวงจรในรูปที่ 2 โดยการกำหนดมุม  $\alpha = 30^\circ$  และ  $\beta_p = 30^\circ, \beta_q = 90^\circ$

$$\begin{aligned} i_{p1} &= ai_p + \frac{i}{3} \\ i_{p2} &= ai_p + \frac{i}{3} \\ i_{q1} &= ai_q + \frac{i}{3} \end{aligned} \quad (4)$$

ดังนั้น

$$i_s = i_m - i_a \quad (5)$$

กระแสทางเอาต์พุต  $i_s$  และ  $i_a$  ที่เชื่อมต่อกันระหว่างคอนเวอร์เตอร์ส่วนที่ 1 และวงจรทรานส์เฟอร์ช่วย ในส่วนที่ 2 ได้จากสมการที่ (6)

$$\begin{aligned} i_{ref} &= i_m + \frac{i}{2} \\ i_s &= i_s - \frac{i}{2} \end{aligned} \quad (6)$$

กระแสทางคานอินพุตจะขึ้นอยู่กับกรณีกระแส  $i_s$  และอัตราส่วน  $a$  ของหม้อแปลงวงจรทรานส์เฟอร์ช่วยที่  $a = (N_p/N_s)$  กำหนดที่ 1:1 และที่อัตราส่วน  $k$  ของหม้อแปลงอินเวอร์เตอร์เฟส  $k = (N_{p2}/N_s)$  กำหนดที่ 2:1 เมื่อกำหนดให้คอนเวอร์เตอร์ส่วนที่ 1 มุมนำกระแส  $\alpha = 30^\circ$  การคิดมุมนำกระแสวงจรทรานส์เฟอร์ช่วยในส่วนที่ 2 ที่มุม  $\beta_p$  และ  $\beta_q$  จะได้ว่า  $\beta_p = \alpha$  และ  $\beta_q = \alpha + 60^\circ$  ดังนั้นจากรูปที่ 4 ที่  $\beta_p = 30^\circ$  และ  $\beta_q = 90^\circ$  ในส่วนของแรงดัน  $V_o$  เท่ากับการทำงานแบบ 6 พัลส์คอนเวอร์เตอร์

แรงดัน  $V_o$  เป็นแรงดันที่ตกคร่อมทรานส์เฟอร์  $T_p, T_q$  ส่วนแรงดันทางด้านเอาต์พุต  $V_o$  จะถูกเพิ่มแรงดันไฟฟ้ากระแสตรงเป็น 2 เท่าของแรงดัน  $V_o$  จะสังเกตได้ว่ารูปคลื่นสัญญาณของแรงดันเอาต์พุตมีลักษณะเป็น 12 พัลส์ และรูปคลื่นสัญญาณกระแสอินพุต จะมีลักษณะเข้าใกล้ไซน์ หรือเรียกอีกอย่างหนึ่งว่าการทำงานจะมีลักษณะเป็น 12 พัลส์คอนเวอร์เตอร์ซึ่งแสดงอยู่ในรูปที่ 4 ดังนั้นที่แรงดันของ  $V_o$  และ  $V_i$  จะหาได้จากสมการที่ (7-9)

$$V_o = V_p + V_q \quad (7)$$

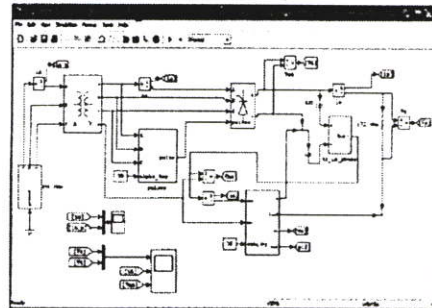
$$T_p \text{ ทำงาน แรงดัน } V_i \text{ เท่ากับ } V_i = V \frac{N_p}{N_s} \quad (8)$$

$$T_q \text{ ทำงาน แรงดัน } V_i \text{ เท่ากับ } V_i = -V \frac{N_p}{N_s} \quad (9)$$

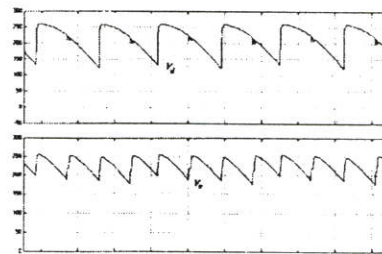
3. ผลการทดลอง

3.1 การจำลองด้วยโปรแกรมคอมพิวเตอร์

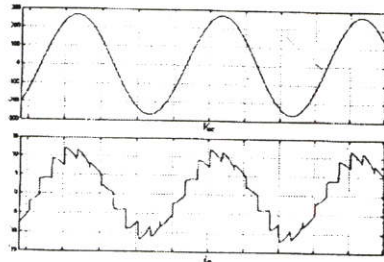
ทำการศึกษาการทำงานของระบบด้วยโปรแกรมคอมพิวเตอร์เพื่อที่ในการทดสอบระบบจริงจะไม่เกิดปัญหาคอระบบ และทำการเปรียบเทียบความแตกต่างระหว่างการทำงานของระบบทดลองจริง กับการจำลองระบบ เพื่อคุณลักษณะของสัญญาณ โดยนำวงจรเรียงกระแส 3 เฟส 6 พัลส์คอนเวอร์เตอร์แบบที่มีการควบคุมแรงดันเฟสในโครงสร้างรูปที่ 1 เพื่อนำมาทำการปรับปรุงรูปคลื่นสัญญาณแรงดันเอาต์พุตและกระแสอินพุต ตามโครงสร้างในรูปที่ 2 วงจรคอนเวอร์เตอร์มีการปรับปรุงรูปคลื่นสัญญาณ เริ่มจากการจำลองระบบด้วยโปรแกรม MATLAB/SIMULINK จากรูปที่ 5 ได้กำหนดค่าพารามิเตอร์  $V_L = 190V, R = 243 \Omega, a = 1:1, k = 2:1, C_p$  และ  $C_q = 2200 \mu F, \alpha = 30^\circ, \beta_p = 30^\circ$  และ  $\beta_q = 90^\circ$



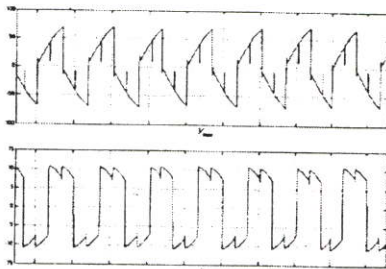
รูปที่ 5 การจำลองระบบด้วย โปรแกรม MATLAB/SIMULINK



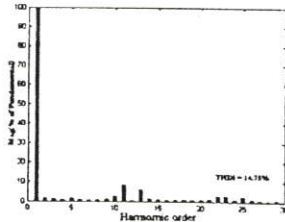
รูปที่ 6 รูปคลื่นสัญญาณ  $V_o, I_o$  ที่ได้จากการจำลอง



รูปที่ 7 รูปคลื่นสัญญาณแรงดันอินพุต  $V_u$  และ กระแสอินพุต  $i_g$  ที่ ( $i_g : 0.1A/div$ )



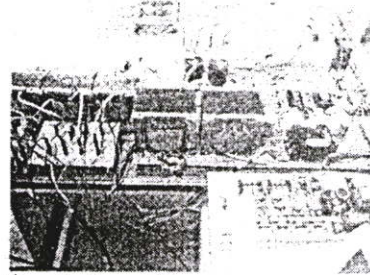
รูปที่ 8 รูปคลื่นสัญญาณ  $V_{uo}$ ,  $i_o$  ที่ ( $i_o : 0.1A/div$ )



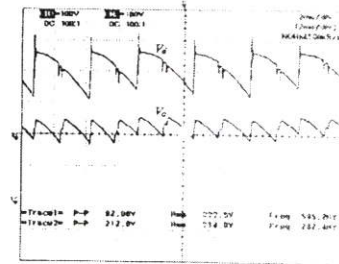
รูปที่ 9 ผลเปอร์เซ็นต์ของกระแส  $i_g$  ที่ THDi = 14.75%

3.2 การทดสอบกับเครื่องต้นแบบ

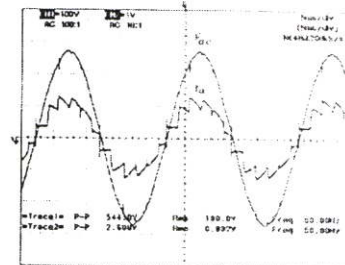
การทดสอบเครื่องต้นแบบของวงจรเรียงกระแส 3 เฟส 6 พัลส์คอนเวอร์เตอร์ที่มีการปรับปรุงรูปคลื่นสัญญาณแรงดันอินพุตทุกและกระแสอินพุต ได้แสดงอยู่ในรูปที่ 10 ได้กำหนดค่าพารามิเตอร์  $V_{LL} = 190V$ ,  $a = 1:1$ ,  $k = 2:1$ ,  $C_p$  และ  $C_v = 2200 \mu F$ ,  $\alpha = 30^\circ$ ,  $\beta_p = 30^\circ$  และ  $\beta_v = 90^\circ$



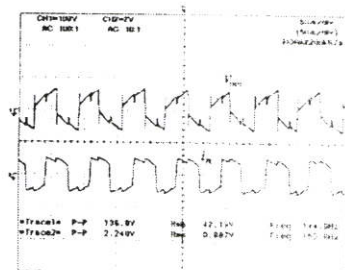
รูปที่ 10 เครื่องต้นแบบ ที่มีการปรับปรุงแรงดันและกระแส



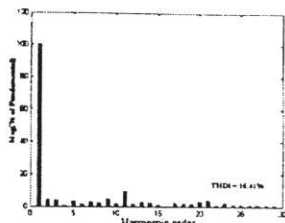
รูปที่ 11 รูปคลื่นสัญญาณ  $V_o$ ,  $i_o$  ที่ได้จากการทดสอบ



รูปที่ 12 รูปคลื่นสัญญาณ  $V_o$ ,  $i_o$  ที่ได้จากการทดลอง



รูปที่ 13 รูปคลื่นสัญญาณ  $V_o$ ,  $i_o$  ที่ได้จากการทดลอง



รูปที่ 14 ผลการทดลองของกระแส  $i_u$  ที่ THDi = 16.41%

4. ผลการทดลอง

ในบทความได้นำเสนอวงจรคอนเวอร์เตอร์ที่มีการปรับปรุงรูปคลื่นแรงดันเอาต์พุต และกระแสอินพุต โดยมีวงจรโทริสเตอร์ช่วยจากการจำลองระบบ ในรูปที่ 6 แสดงการเปรียบเทียบถึงแรงดัน  $V_u$  ที่การทำงาน 6 พัลส์คอนเวอร์เตอร์แบบคั้งเคิม เมื่อทำการปรับปรุงใหม่แรงดัน  $V_u$  ที่ได้รูปคลื่นสัญญาณจะมีลักษณะเป็นแบบ 12 พัลส์คอนเวอร์เตอร์ ส่วนกระแส  $i_u$  จะมีลักษณะรูปคลื่นสัญญาณเข้าใกล้ไซน์ดูได้จากรูปที่ 7 ส่วนในรูปที่ 8 แสดงถึงเมื่อกระแส  $i_u$  ถูกฉีดเข้าไปที่หม้อแปลง  $T_{2n}$  ทางด้านปฐมภูมิและจะเกิดสัญญาณแรงดัน  $V_{2n}$  ขึ้นเพื่อนำไปควบคุมการทำงานของวงจรโทริสเตอร์ช่วย ในรูปที่ 9 แสดงถึงสเปกตรัมของกระแส  $i_u$  ที่ฮาร์มอนิกลำดับ 5<sup>th</sup>, 7<sup>th</sup> ลดลง โดยมีค่า THDi = 14.75% และส่วนของการทดสอบเครื่องต้นแบบ จากรูปที่ (11-13) แสดงรูปคลื่นสัญญาณที่ได้จากการทดลองจริง จะเห็นว่าสัญญาณที่ได้จะเหมือนกับการจำลองระบบ แต่มีลักษณะของสัญญาณที่ไม่เรียบมากนักจึงทำให้ ฮาร์มอนิกอันดับ 5<sup>th</sup> 7<sup>th</sup> สูงกว่าการจำลองระบบเล็กน้อยที่สเปกตรัมของกระแส  $i_u$  ค่า THDi = 16.41% ดูได้จากรูปที่ 14 จากผลการทดลองทั้ง 2 ระบบจะเห็นว่ารูปคลื่นสัญญาณที่ได้จะสอดคล้องความถี่

5. บทสรุป

ที่แรงดันด้านเอาต์พุต  $V_u$  จะได้แรงดันพัลส์เป็นสองเท่าของแรงดัน  $V_d$  และกระแสที่แหล่งจ่าย  $i_u$  พบว่าวงจรเรียงกระแส 3 เฟส 6 พัลส์คอนเวอร์เตอร์ ที่มีการปรับปรุงกระแสที่แหล่งจ่าย  $i_u$  จะมีลักษณะใกล้เคียงรูปคลื่นไซน์ มากกว่า 6 พัลส์คอนเวอร์เตอร์ ซึ่งเป็นผลให้ฮาร์มอนิก

ลำดับ 5<sup>th</sup>, 7<sup>th</sup> ลดลงและจากการวิเคราะห์สัญญาณ  $V_u, i_u$  จะเห็นได้ว่า การทำงานของวงจรที่มีการปรับปรุงใหม่จะมีลักษณะคล้ายกับการทำงานที่ 12 พัลส์คอนเวอร์เตอร์แบบคั้งเคิม และเมื่อนำมาเทียบกับ 12 พัลส์คอนเวอร์เตอร์ที่ใช้โทริสเตอร์ถึง 12 ตัวนั้นจะมีความยุ่งยากทางด้านหม้อแปลงแหล่งของจ่าย ซึ่งจำเป็นจะต้องใช้หม้อแปลง 3 เฟส 2 ชุดที่มีการเลื่อนเฟสระหว่างกันแต่ด้วยเทคนิคนี้สามารถที่จะช่วยลดปัญหานี้ได้ และนอกจากนี้ยังสามารถลดคลอปรณโทริสเตอร์ลงได้และทำงานได้จริง โดยมีผลสอดคล้องกันกับการจำลองระบบและเป็นไปตามทฤษฎี

6. เอกสารอ้างอิง

[1] J.Arrillaga and M. Villablanca, "24-Pulse HVDC conversion," *Proc. Inst. Elect. Eng.*, pt. C, Vol. 138, no. 1, pp. 57-64, Jan. 1991.

[2] S.Choi, B. Lee, and P. Enjeti, "New 24-pulse diode rectifier systems for utility interface of high-power ac motor drives," *IEEE Trans. Ind. Applicat.*, vol. 33, pp.531-541, Mar./Apr. 1997.

[3] D. J. Perreault and J. G. Kassakian, "Effects of firing of angle imbalance on 12-pulse rectifiers with interphase transformers." *IEEE Trans. Power Electron.*, vol. 10, pp. 257-262, May 1995.

[4] J.Arrillaga, "Pluse multiplication in parallel converters by multitap control of interphase reactor," *IEE Proc.* Vol. 139, No. 1, Jan. 1992.

[5] S.Miyairi et al., "New method for reducing harmonic involved input and output of rectifier with interphase transformer." *IEEE Trans. Ind. Applicat.*, vol. IA-22, pp.790-797, Sept./Oct. 1986.

## ประวัติผู้เขียน

ชื่อ-นามสกุล	นายสกล กลิ่นหรั่ง
วัน เดือน ปีเกิด	19 พฤษภาคม 2518 ที่จังหวัดกรุงเทพฯ
ที่อยู่	292/2 หมู่ 4 ซ.เสนาวัฒนา ถ.พหลโยธิน ต.คลองถนน อ.สายไหม จ.กรุงเทพฯ 10220
ประวัติการศึกษา	2542 วิศวกรรมศาสตรบัณฑิต สาขาวิศวกรรมไฟฟ้า-ไฟฟ้ากำลัง มหาวิทยาลัยเทคโนโลยีมหานคร